

*В.С.Крикоров*

# ***ЕДИНЫЙ КОСМОС***

*Том V*

**Рассекреченная Магия**

Издательский дом  
«Космический интеллект»  
Москва, 2005

**Нет выше Религии, чем Истина!**  
**Введение в Магию:**  
**основы теории Единого Космоса**

*Приступим к анализу информации, накопленной современной Магией [1, 2].*

*Изучение Магии будем проводить с позиции теории Единого Космоса, изложенной в моих ранее опубликованных работах.*

*Для удобства изложения и изучения Магии напомним основные концепции теории.*

\*  
\*\*

**Космос Един** и его Единство определяется Энергией. Вне Энергии Космос не существует.

**Энергия** - это Движение бесконечного множества форм субстанции Космоса.

**Движение** реализует себя как переход из одной области Пространства в другую область и как **переход из одной формы Энергии в другую форму.**

**Пространство** Единого Космоса трёхмерно и обладает шестью степенями свободы перемещения ( $\pm x, \pm y, \pm z$ ).

**Вне Энергии Пространства нет.**

Энергия существует в Пространстве и **Продолжительности** перехода из одной Формы в другую. **Времени, как самостоятельной формы Энергии Единого Космоса, нет.** Есть последовательно-параллельная череда Продолжительностей.

\*

\*\*

Переход из одной формы Энергии в другую определяется **скоростью трансформации ( $v$ )**, равной отношению потенциала поля к продолжительности:

$$v = \frac{\text{потенциал поля}}{\text{продолжительность}}. \quad (0.1)$$

Единый Космос пульсирует в **резонансно-антирезонансном режиме**.

**При антирезонансе** происходит взаимодействие **самостоятельно существующих** форм энергии, например фотон и фонон, энергетические потенциалы которых **складываются-вычитаются**. Например, в поле света:

Антирезонанс:  $m_c + E_\lambda \equiv 1/\pi + 1/\pi = 2/\pi \equiv 1/\omega_0$ ,  
где:  $\omega_0$  - угловая скорость точечного участка волны света,  
 $m_c$  - фотон,  $E_\lambda$  - фонон, равные  $1/\pi$ .

 (0.2)

**При резонансе** самостоятельно существующие формы Энергии заканчивают свою самостоятельность и формируют новую Форму Энергии, математическое описание которой связано с умножением-делением, возведением в степень и извлечением корня. Например, резонанс фотона с фононом приводит к появлению ядерного вещества в форме жидкой ядерной плазмы:

Резонанс:  $m_c \cdot E_\lambda \equiv 1/\pi^2 \Leftrightarrow 1 = m_c : E_\lambda$ ,  
где:  $m_c \cdot E_\lambda$  - жидкая лазерная плазма ядра,  
 $m_c : E_\lambda = 1$  - уровень равновесия в ядре.

 (0.3)

Движение Единого Космоса подчиняется закону сохранения Энергии: **"Энергия не исчезает и не появляется вновь, но, трансформируемая взаимодействиями в поле света, переходит из одной формы в другую"**.

Закон сохранения энергии справедлив как для антирезонанса, так и для резонанса (0.2, 0.3):

Антирезонанс: Хаос	Резонанс: Гармония
$m_c - E_\lambda = 1/\pi - 1/\pi = 0$	$m_c : E_\lambda = 1/\pi : 1/\pi = 1$
$m_c + E_\lambda \equiv 2/\pi \equiv 1/\omega_0$	$m_c \cdot E_\lambda = 1/\pi^2$

(0.4)

Появление ноль - потенциала приводит к **Хаосу** броуновского движения, например фотон - фононов, и их число удваивается (0.4).

Возникновение Единицы создаёт разность потенциалов и направленность движения к полюсам, то есть **Гармонию**.

\*  
\*\*

Единый Космос и все его микро-макрокомпоненты пульсируют между Хаосом и Гармонией, формируя интегральную разность потенциалов, равную  $\pm 0,5$ :

$$Дзиан \equiv \int_0^1 \varphi d\varphi = +\frac{1}{2} = 0,5 \Leftrightarrow -0,5 = -\frac{1}{2} \equiv \int_1^0 \varphi d\varphi.$$

(0.5)

**Пульсация между Хаосом и Гармонией является основой цис-транс изомерии**, присущей любому энергетическому полю, а также **создаёт пятеричную связь изомерических половинок Единого Равновесного Поля** (0.5).

\*\*

Дробный потенциал, равный половине, назван великой Цивилизацией Дзиан, а в Книге Дзиан описаны законы Космо-, Антропо- и Теогенезиса [3, 4, 5].

С расшифровкой Станц Книги Дзиан можно познакомиться, прочитав первый том моей работы Единый Космос.

\*\*

Любые процессы **всегда, везде и во всём** протекают во взаимодействиях (столкновениях) энергетических волн-квантов и имеют свои эффективности взаимодействий (табл.0.1).

Таблица 0.1

**Эффективности взаимодействий в ядерном веществе**

Формы взаимо- действий	Дальнодействие		Короткодействие		Свет
	Гравитаци- онные	Электро- магнитные	Слабые	Ядерные	
Эффектив- ности	$\rho_1 = 10^{-24}$	$\rho_3 = 10^{12}$	$\rho_2 = 10^{-1}$	$\rho_4 = 10^{14}$	$\rho_5 = 10$
Постоян- ные	Ядерная		Логарифмическая		
	$\rho_1 \rho_2 \rho_3 \rho_4 \rho_5 = 10^2$		$\lg \rho_1 \rho_2 \rho_3 \rho_4 \rho_5 = 2.$		

Переход от **эмпиризма**, как методологического фактора **Познания** для нашей науки, к **взаимодействиям** (табл.0.1) исключает **Приближения** и становится высокой Наукой великой Цивилизации.

\*

\*\*

Единый Космос имеет три основные формы Энергии: Тонкую Энергию самосуших волн гармонических колебаний со скоростями выше скорости света; Энергию Материи, в которой трансформация энергетических форм имеет максимальную скорость, равную скорости света; и Свет (табл.0.2).

Таблица 0.2

### Энергетическая структура Единого Космоса

Формы Энергии	Тонкая Энергия	Свет	Энергия Материи
Название по Книге Дзиан	<b>Самосушие волны (Корень)</b>	<b>Свет</b>	<b>Сгустки</b>
Термия	эндо-	переход	экзо-
Взаимодействия	$\rho_1 \rho_2 = 10^{-25}$	$\rho_5 = 10$	$\rho_3 \rho_4 = 10^{26}$
Скорость трансформации	Равна и больше скорости света	Скорость света	Равна и меньше скорости света
Части от Единицы Единого Космоса	$E_1 = 2/3$	$-k_1 = \frac{1}{2} \rightarrow$ $\leftarrow 2 = k_2 -$	$E_2 = 1/3.$

**Источником Энергии сгустков является синтез самосуших волн; самосушие волны формируются за счёт мультиплетности сгустков.**

\*

\*\*

Синтез сгустков из самосуших волн протекает за счёт ядерных процессов, ядерная постоянная которой равна 100 (табл.0.1) и является эпицентром столкновений - взаимодействий, формирующих ядра сгустков.

Удаление от эпицентра столкновений - взаимодействий приводит к охлаждению и появлению полей логарифмических колебаний, потенциал которых равен 2 (табл.0.2).

Отношение потенциалов в эпицентре столкновений и в области логарифмических волн:

$$\frac{\rho_1 \rho_2 \rho_3 \rho_4 \rho_5}{\lg \rho_1 \rho_2 \rho_3 \rho_4 \rho_5} = \frac{100}{2} = 50, \quad (0.6)$$

обуславливает **Пятеричность** колебаний Единого Космоса.

**Пятеричность** колебаний Единого Космоса формирует свет и его производные:

1. Внутреннее поле света имеет пять уровней и пульсирует в резонансно - антирезонансном режиме:

<b>Внутреннее поле света</b>	
$\frac{\text{резонанс}}{\text{антирезонанс}}$	$\equiv \frac{1 \cdot 2 \cdot 3 \cdot 4 \cdot 5}{1 + 2 + 3 + 4 + 5} = \frac{120}{15} = 8 \Leftrightarrow$
$\frac{1}{8} = \frac{15}{120}$	$\equiv \frac{\text{антирезонанс}}{\text{резонанс}}.$

(0.7)

2. Пять уровней внутреннего поля света (0.7), названные в Книге Дзиан формовщиками, формируют **пять фазовых состояний Единого Космоса**: эфир, газы, жидкости, твёрдые тела и жидкую плазму ядерных веществ, а также волны с золотым сечением, связанные с пятеричностью правилом золотого сечения:

$$1 : \frac{\sqrt{5} + 1}{2} = \frac{\sqrt{5} - 1}{2} : 1. \quad (0.8)$$

\*\*

**Внутреннее поле света имеет спектр**, длины волн и разности длин волн в котором нам известны (табл.0.3).

Таблица 0.3

**Спектр солнечного белого света,  $\times \text{\AA}$**

Цвет	Крас- ный	Оран- жевый	Жёлтый	Жёлто- зелёный	Зелё- ный	Голу- бой	Синий	Фиоле- товый	Белый
Диапазон длин волн	7600 6200	6200 5820	5820 5750	5750 5500	5500 5100	5100 4800	4800 4500	4500 4000	7600 4000
Разность длин волн	$\Delta K =$ 1400	$\Delta O =$ 380	$\Delta Ж =$ 70	$\Delta ЖЗ =$ 250	$\Delta З =$ 400	$\Delta Г =$ 300	$\Delta С =$ 300	$\Delta Ф =$ 500	$\Delta Б =$ 3600
Деление при $\lambda = 4800$	<div><div><math>\longleftrightarrow</math><math>2800 =</math><math>\longrightarrow</math></div><div><math>7600 - 4800</math></div></div> <div><div><math>4800 \longleftarrow</math><math>800 =</math><math>\longrightarrow</math></div><div><math>4800 - 4000</math></div></div>								
Возмущение среды	<div><div><math>2800 - 800 = 2000 \equiv \rho_5 \cdot \int_{(100-1)}^{(100+1)} \varphi d\varphi .</math></div></div>								

На границе раздела сине-голубой области спектра, то есть при длине волны в  $4800\text{\AA}$ , то есть в области чакры Третий Глаз, возникают разности потенциалов, равные  $2800\text{\AA}$  и  $800\text{\AA}$  (табл.0.3).

При резонансе отношение этих разностей формирует 3,5 оборота спирали Кундалини:

$$2800 : 800 = 3,5, \quad (0.9)$$

а антирезонанс влечёт за собой пульсацию ядерной постоянной (табл.0.3):

$$(\rho_5^2 \pm 1 \equiv 100 \pm 1) \Leftrightarrow \int_{(100-1)}^{(100+1)} \varphi d\varphi = 200 . \quad (0.10)$$

В чакре Третий Глаз начинаются взаимодействия с гравитационным (лунным) полем в расширяющейся Вселенной (табл.0.4).



**Композиции Вселенной в поле спектра света**

Гравитация	Свет	Гравитация	
	$2800\text{Å}$	$\equiv$	$\rho_5^2 \cdot (28 = 1+2+3+4+5+6+7)$
Расширение	Свет	Расширяющаяся Вселенная	
	$800\text{Å}$	$\equiv$	$\rho_5^2 \cdot (T_0 \cdot c / \omega_0 \equiv c^3 / \omega_0^3 = 8)$
Кундалини	Свет	Кундалини	
	$\frac{2800\text{Å}}{800\text{Å}}$	$\equiv$	
		расширение	сжатие
		$\frac{7}{2} \equiv 3,5$	$и \quad 3,5 - 1 = 2,5$
Пальма	Свет	Пальма	
	$\frac{2800\text{Å}}{800\text{Å}} \left( \pm \int_0^1 \varphi d\varphi \right)$	положительная	отрицательная
		$\frac{7}{2} \int_0^1 \varphi d\varphi = \frac{7}{4}$	$\Leftrightarrow -\frac{7}{4} \equiv \frac{7}{2} \int_0^1 \varphi d\varphi$

\*\*

Спектр света подобен *Вселенной*. Он имеет бесконечную множественность сочетаний, перестановок, перемещений своих спектральных волн.

Рассмотрим, как пример, некоторые композиции (табл.0.3):

Излучение белого света	Разность $\Delta B$	Потенциально- кинетическое поле	Связь с взаимодействиями
$\frac{\Delta K}{\Delta J} \Delta O = \frac{7600\text{Å}}{7600\text{Å}}$	$(\Delta C + \Delta \Gamma)^2 = \rho_5^2 \cdot 3600\text{Å}^2$	$\frac{\Delta \Phi}{\Delta J \Delta Z} \Leftrightarrow \frac{\Delta J \Delta Z}{\Delta \Phi}$ $2 \Leftrightarrow 1/2$	$\Delta Z + \Delta C + \Delta \Gamma = 10^3 \text{Å} \equiv \rho_5^3$

(0.11)

\*  
\*\*

Потенциально-кинетические колебания в поле спектра света (0.11) создают Рупу ( $T_0=4$ ) при резонансном равновесии и Арупу ( $\tau=3$ ) при антирезонансном:

Рупа - Арупа: из спектра света в Космос		
Свет	Рупа	Арупа
	Резонанс	Антирезонанс
$\frac{\Delta\Phi}{\Delta\mathcal{K}3} \Leftrightarrow \frac{\Delta\mathcal{K}3}{\Delta\Phi}$ $2 \Leftrightarrow 1/2$	$T_0 \equiv 4 \Leftrightarrow 1$ $\int_0^1 \varphi d\varphi - \int_1^0 \varphi d\varphi = 1$	$\tau \equiv (3 \Leftrightarrow 4 - 1) \Leftrightarrow 0$ $\int_0^1 \varphi d\varphi + \int_1^0 \varphi d\varphi = 0.$

(0.12)

Формированию Рупы и Арупы в спектре света, а затем в Космосе, **предшествует существование самосущих волн** с потенциалом, равным  $1/2$ , названных великой Цивилизацией **Дзиан** [3, 4, 5].

\*  
\*\*

Природа света динамична: он и волна (фонон), он и частица (фотон); и они неразделимы.

Частица ( $m_c$ ) летит прямолинейно (по траектории диаметра сферы); волна, распространяясь, формирует поверхность ( $E_\lambda$ ) сферы (рис.0.1).

**Связь между волной и частицей света в Пространстве (рис.0.1)будет описываться уравнением поверхности сферы:**

Фотон-фононная взаимосвязь
$E_\lambda = \pi m_c^2$ , где $E_\lambda$ - поверхность, а $m_c$ - диаметр сферы.

(0.13)

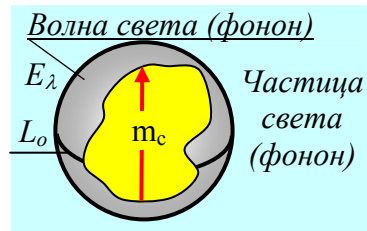


Рис.0.1 Корпускулярно-волновой равновесный квант света

Равновесие между фотоном и фононом возникнет при их равенстве потенциалу, обратному по величине числу  $\pi$ :

$$m_c = E_\lambda = 1/\pi$$

и 
$$E_\lambda = \pi \cdot m_c^2 = 1/\pi. \quad (0.14)$$

\*\*

**И фотон, и фонон - компоненты света и совершают движение со скоростью света  $c$ .**

В поле логарифмической постоянной взаимодействий импульсы фотона и фонона могут быть равны между собой:

$$(\lg \rho_1 \rho_2 \rho_3 \rho_4 \rho_5 = 2) \equiv (1+1 = m_c c + E_\lambda c), \quad (0.15)$$

где: **скорость света  $c = \pi$** , так как  $(m_c = 1/\pi) \cdot c = 1$ .

Однако движение фотона со скоростью света приводит к равномерному прямолинейному полёту частицы, а движение фонона - к электромагнитным колебаниям волны света:

Дуализм форм движения в поле света		
Компоненты	Фотон	Фонон
Скорость	$m_{\epsilon}c=1$ и $c=\pi$	$E_{\lambda}c$ и $c=\pi$
Форма движения	Равномерное прямолинейное	Электромагнитные колебания
Структура скоростей	$c=\frac{путь(\lambda)}{"время"(\tau)}$	$\lambda \cdot \nu = c$
Взаимосвязь	(Продолжительность) $1/\tau \Leftrightarrow \nu$ (частота).	

(0.16)

\*\*

Взаимодействия в поле света происходят при резонансе между квантами света или его компонентами.

Символизмом взаимодействия являются точки пересечения диаметра с окружностью, где отношение окружности к диаметру равно числу  $\pi$ :

Геометрический символизм света в Пространстве		(0.17)
Скорость света	Фотон-фонон	
$\frac{L_0 = \pi \cdot D_0}{D_0} = \pi = c$	$\frac{D_0}{L_0 = \pi \cdot D_0} = \frac{1}{\pi} \equiv m_c \equiv E_\lambda$	

В поле света, где диаметр  $D_0 \equiv 1/\pi$ , экваториальная окружность  $L_0 = \pi \cdot D_0 = 1$  (рис.0.1).

Появление экваториальной равновесной окружности  $L_0 = 1$  (рис.0.1) реализует себя в **формировании квантованных орбит вокруг сгустков микро-макро Миров Вселенных.**

\*\*

**Пространства вне Энергии нет.** Пространство, заполненное энергией, пульсирует. Пульсация предопределяется поступлением квантов света импульсами. В интервале, где импульсы света отсутствуют, **кривизна пространства** компенсирует их отсутствие. Поступление фотон - фононов в Пространство устраняет её кривизну:

Искривление-спрямление Пространства светом					(0.18)
Волны Пространство	Объёмная	Поверх- ностная	Линей- ная	Переход	
Искривлённое	$V = \frac{4}{3} \pi \cdot R^3$	$Q = 4\pi R^2$	$L = 2\pi R$	$\frac{V}{Q} \Leftrightarrow$	
Не искривлённое	$V m_c = \frac{4}{3} R^3$	$Q E_\lambda = 4R^2$	$LE_\lambda = 2R$	$\frac{QE_\lambda}{Vm_c}$	

В контуре колебаний между **искривлённым и не искривлённым Пространством**(0.18) равновесие наступает при условии:

$$\frac{V}{Q} = \frac{m_e V}{E_\lambda Q} = \frac{1}{3} R, \quad (0.19)$$

а наличие инверсии света (выворачивание наизнанку) влечёт за собой появление колебаний с обратными потенциалами (0.18):

$$\frac{V}{Q} = \frac{R}{3} \Leftrightarrow \frac{3}{R} = \frac{E_\lambda Q}{m_e V}, \quad (0.20)$$

где: Q и V - соответственно поверхность и объём сферы с экваториальной окружностью  $L_0$  (0.18).

\*\*

При равновесной пульсации Пространства (0.19) соблюдается **закон сохранения веса вещества**, влекущий за собой **эффект мыльного пузыря: какую бы форму не принял мыльный пузырь, а количество мыльного раствора, образующего его поверхность, остаётся постоянным.**

Эффект мыльного пузыря позволяет, например, считать поверхность кванта света как сферическую (рис.0.1), хотя она может измениться на эллипсоидальную или какую-то иную:

Пример эффекта мыльного пузыря			
Поверхность	Сфера	Энергия	Эллипсоид
Формулы	$Q_0 = 4\pi R^2$	$\equiv 1/\pi$	$\equiv \pi \cdot a \cdot b \equiv S_0$
Линейные потенциалы	$R^2 = (1/2\pi)^2$	$\Leftrightarrow 1$	$\Leftrightarrow a \cdot b = 1/\pi^2 \equiv E_\lambda m_c$
Примечание	R - радиус сферы, a и b - полуоси эллипса.		

(0.21)

$$S_o = \pi \cdot R_o^2 = 1/4\pi$$

$$R_o = D_o/2 = 1/2\pi$$

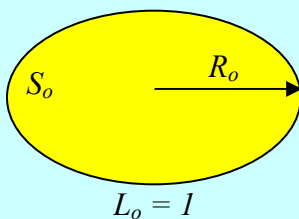


Рис.0.2 Сечение кванта света по экваториальной окружности (рис.0.1).

Искривление Пространства, например сферы на эллипсоид (0.21), происходит за счёт излучателя во внутреннем поле света с потенциал-эквивалентом (рис.0.2):

$$S_o = \pi R_o^2 = 1/4\pi, \quad (0.22)$$

равным телесному углу в один стерадиан вокруг точки излучателя.

Образно говоря, Космос вечной тьмы самосущих волн надувает "мыльный пузырь" корпускулярно-волнового поля света.

Причём, периодичность поступления импульсов равна отношению:

$$Q_o : S_o = 1/\pi : 1/4\pi = 4 \equiv \sqrt{2}^4 \equiv \left( \sec \frac{\pi}{4} \right)^4 \equiv \dots, \quad (0.23)$$

где:  $\sqrt{2} = \sec \pi/4 = \cos \pi/4$  является потенциалом самосущих волн вечной тьмы [3, 5].

\*\*

Наличие инверсионных колебаний Пространства (рис.0.20) проявляет себя в законах квантового излучения - поглощения энергии колебательным контуром:

$$\frac{3}{R} \Leftrightarrow \frac{R}{3} \quad \text{и} \quad 3^2 \Leftrightarrow R^2 \quad \text{или} \quad 3 \Leftrightarrow R. \quad (0.24)$$

Законы квантования можно сформулировать как уточнение гипотезы М.Планка:

1. **Энергия излучается квантами** в момент достижения квантом квадрата первоначальной величины (0.24):

Излучатель	Излучённый квант	Среда
$3^2 \Leftrightarrow R^2$	$3^2 \equiv (9+0)$	$0 \Leftrightarrow R^2 - 3^2.$

(0.25)

2. Любая энергетическая система пульсирует по амплитуде ( $3 \pm 1$ ) и длине волны ( $R \pm \lambda$ ) (0.24):

<b>Пульсация кванта света по амплитуде и длине волны</b>			
Постоянные	Контур колебания	Пульсация	
		по амплитуде	по длине волны
$R = 2 \equiv$ $\lg \rho_1 \rho_2 \rho_3 \rho_4 \rho_5$	$3 \pm 1 \Leftrightarrow R \pm \lambda;$	$2 \Leftrightarrow 3 \Leftrightarrow 4$	$0 \Leftrightarrow 2 \Leftrightarrow 4$
$\lambda = 2 \equiv$ $(3+1) - (3-1)$	$3 \pm 1 \Leftrightarrow 2 \pm 2$	$\int_2^4 \varphi d\varphi = 6$	$\int_0^4 \varphi d\varphi = 8.$

(0.26)

Пульсация света **по амплитуде** ( $2 \Leftrightarrow 3 \Leftrightarrow 4$ ) нам давалась две тысячи лет назад в форме потенциалов в Круге Универсуме ([6], 0.26).

При пульсации света по амплитуде вокруг фотона возникает фонон (поверхностная волна), потенциал которой равен Кундалини (0.26):

$$6 = 3,5 + 2,5 = 3,5^2 - 2,5^2. \quad (0.27)$$

Пульсация света по длине волны формирует расширение фотона, а вместе с ним, и всей Вселенной (0.26).

3. Энергия поглощается квантами в момент, когда потенциал поглощаемого кванта достигнет корня квадратного от первоначальной величины (0.24):

До поглощения	Поглощение	Инверсия	(0.28)
$3 \Leftrightarrow R = 2$	$\sqrt{3} \Leftrightarrow \sqrt{2}$	$\frac{1}{\sqrt{2}} \Leftrightarrow \frac{1}{\sqrt{3}}$	

При поглощении света в макро Мирах возникают **астрономические Чёрные Дыры**, излучающие самосу-щие волны.

**Самосушие волны являются микро- Чёрными Дырами:** их поверхность чёрная (тьма), ибо она поглощает, а ядро состоит из плазмы света с потенциалом  $\pi/4 \equiv c/T_0$  (табл.0.5).

Таблица 0.5

**Самосушие волны тьмы - носители света**

Компоненты волн	Тёмные поверхности самосуших волн: инверсионный цикл	Свет: ядро самосуших волн (сумма)
Потенциалы и их суммы	$\begin{aligned} \sin \frac{\pi}{4} = \frac{1}{\sqrt{2}} &\Leftrightarrow \sqrt{2} = \operatorname{Sc} \frac{\pi}{4} \\ \Downarrow & \quad \quad \quad \Downarrow \\ \operatorname{Csc} \frac{\pi}{4} = \sqrt{2} &\Leftrightarrow \frac{1}{\sqrt{2}} = \operatorname{Cos} \frac{\pi}{4} \end{aligned}$	$\begin{aligned} \frac{\pi}{4} &= \arcsin\left(\frac{1}{\sqrt{2}}\right) \\ \frac{\pi}{4} &= \operatorname{ar} \operatorname{csc}(\sqrt{2}) \\ \frac{\pi}{4} &= \arccos\left(\frac{1}{\sqrt{2}}\right) \end{aligned}$
	Сумма:	$\frac{\pi}{4} = \arccos\left(\frac{1}{\sqrt{2}}\right)$
	$\frac{1}{\sqrt{2}} + \sqrt{2} + \frac{1}{\sqrt{2}} + \sqrt{2} = 3\sqrt{2} \equiv \tau \cdot \sqrt{2}$	$\frac{\pi}{4} = \operatorname{arccs}(\sqrt{2})$ <hr/> $4 \cdot \pi/4 = \pi \equiv c.$

Наличие самосуших волн - основа возникновения живого в отдельных сгустках Единого Космоса, ибо самосушие волны, **как термосы**, переносят тепло звёзд к планетам через эндотермию Космоса Невесомости.



Великая Цивилизация описала **сгущение самосу- щих волн вектор - эпюрой с пропорциями великой Пи- рамиды Египта** (рис.0.3).

Со слов жрецов, хранителей Пирамиды, Геродот за- писал формулу, по которой построена Пирамида, полу- чившая название формула Геродота:

$$H^2 = r \cdot \ell, \quad (0.29)$$

где:  $H$  - высота Пирамиды,  
 $\ell$  - апофема её грани,  
 $r$  - радиус окружности, вписанной в основание Пира- миды (рис.0.3).

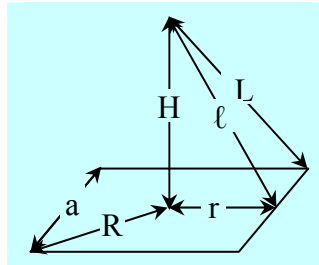


Рис.0.3 Элементы  
 великой Пирамиды  
 Египта

В эпюре - Пирамиде за высоту Пирамиды взято отношение  $Q_o:S_o = 4$  (0.23) в области сжатых самосу- щих волн:

$$H \equiv 4 \sqrt{\sin \frac{\pi}{4}} = 4 \cdot 2^{\frac{1}{4}} = 2^{\frac{7}{4}}, \quad (0.30)$$

а за радиус окружности, вписанной в основание Пирамиды, то есть за  $r \equiv \sqrt{2}$ , взяты самосу- щие волны

$$Sc \pi/4 = Csc \pi/4 = \sqrt{2}.$$

При таком подходе великая Цивилизация определя- ла по элементам Пирамиды (рис.0.3) любую стадию сгу- щения Небесных Тел по всему лунному ряду (табл.0.6).

Анализ пропорций великой Пирамиды с позиции физико-математического аппарата нашей науки сводится к **статике замеров параметров Пирамиды по теореме Пифагора.**

**Элементы великой Пирамиды:  
описание сгущения самосуших волн (рис.0.3)**

Элементы	r	R	a	2R	r·R <sup>2</sup>	a <sup>2</sup> и ℓ	L
потенциалы	√2 <sup>1</sup>	√2 <sup>2</sup>	√2 <sup>3</sup>	√2 <sup>4</sup>	√2 <sup>5</sup>	√2 <sup>6</sup>	√2 <sup>7</sup>
Лунный ряд	√2 <sup>1+2+3+4+5+6+7=28</sup> ≡ (Sc π/4) <sup>28</sup>						
Солнечный ряд	√2 <sup>28</sup> (T <sub>0</sub> <sup>2</sup> = 4 <sup>2</sup> ) ≡ √2 <sup>28</sup> · √2 <sup>8</sup> = √2 <sup>36</sup> ≡ (Csc π/4) <sup>36</sup>						
Солнечно-лунные колебания света	Солнечный				Лунный		
	[arcs √2] <sup>36</sup> ≡ (π/4) <sup>36</sup> ⇔ (π/4) <sup>28</sup> = [arcs √2] <sup>28</sup> .						

Минимальная ошибка измерений в режимах статики и динамики может быть определена путём сравнения высот Пирамиды, определённых по правилу Геродота (0.29) и теореме Пифагора:

Расчёт статики и динамики высоты Пирамиды				
Цивилизации	Параметры			
	Методология расчёта	Формулы	Потенциалы	Ошибка
Наша (статика)	Теорема Пифагора	$H^2 = r^2 + \ell^2$	66	$\approx 5,8$ .
Великая (динамика)	Правило Геродота	$H^2 = r \cdot \ell$	$8\sqrt{2}$	

\*\*

**Книга Перемен** описывает сгусток Тянь с потенциал - эквивалентом 64 иероглифам, и небеса - Цинь с 32 иероглифами в двух изомерических полусферах.

Анализ солнечно-лунных потенциалов самосущих волн показывает, что Тянь и Цинь возникают как логарифмические волны солнечно-лунных сгустков самосущих колебаний (табл.0.6).

Сгусток волн самосущих гармонических солнечно-лунных полей формирует Чёрную Дыру с потенциалом, равным (табл.0.6).

$$\text{Чёрная Дыра} \equiv \sqrt{2}^{36} \cdot \sqrt{2}^{28} = \sqrt{2}^{64}. \quad (0.32)$$

Излучая логарифмические волны, Чёрная Дыра образует в окружающей Галактике сгустки Тянь микро-макро Миров (0.32):

$$\text{Тянь} \equiv \log_{\sqrt{2}} \sqrt{2}^{64} = 64. \quad (0.33)$$

Попадая в пульсирующий с потенциалом Дзиан Космос, сгусток Тянь формирует над собой изомерические полусферы небес Цинь:

Формирование Цинь над сгустком Тянь		
Сгусток Тянь	Изомерия Цинь	
	Цис-	Транс
64	$= \left( 64 \int_0^1 \varphi d\varphi = 32 \right)$	$- \left( 64 \int_1^0 \varphi d\varphi = -32 \right).$

(0.34)

\*  
\*\*

Сгусток Тянь и небеса Цинь, пульсируя по амплитуде, возмущают окружающую среду, в которой возникают волновые поля (Сияние Ли), увеличивающие потенциал сгустка и потенциал Цинь в 100 раз (табл.0.7).

Таблица 0.7

**Пульсация Тянь и Цинь по амплитуде (0.34)**

Компоненты Параметры	Тянь	Изомерия Цинь	
		Цис-	Транс
Пульсация по амплитуде	$64 \pm 1 \equiv$	$32 \pm 1 \equiv$	$32 \mp 1 \equiv$
	$63 \Leftrightarrow 64 \Leftrightarrow 65$	$33 \Leftrightarrow 32 \Leftrightarrow 31$	$31 \Leftrightarrow 32 \Leftrightarrow 33$
Частота пульсации	25	50	50
Равновесие в средах	$25 \int_{63}^{65} \varphi d\varphi =$ 6400	$50 \int_{31}^{33} \varphi d\varphi =$ 6400	$50 \int_{33}^{31} \varphi d\varphi =$ - 6400
Арупа ÷ Рупа	<b>Рупа Тянь</b> $4 \cdot 6400 = 25600$	<b>Сияние Ли</b> $\equiv \tau \cdot [64 - (-64)] \cdot 10^2 =$ $384 \cdot 10^2$ (Арупа).	

В поле пульсации Цинь - Тянь по амплитуде возникает Арупа ( $\tau = 3$ ) **Сияние Ли** и Рупа ( $T_o = 4$ ) электрической атмосферы над сгустком (табл.0.7):

$$\begin{aligned} \text{Рупа Тянь} &= 25600 \equiv 16^2 \cdot 10^2 \equiv q \cdot q^* \cdot \rho_5^2, \\ \text{Сияние Ли} &= 38400 \equiv 1,5 \cdot 16^2 \cdot 10^2 = 1,5 \cdot q q^* \cdot \rho_5^2. \end{aligned} \quad (0.35)$$

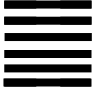


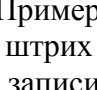
где:  $q = 16 \cdot 10^{-20}$  - элементарный электрический заряд,  
 $q^* = 16 \cdot 10^{20}$  - электрический импульс Памяти,  
**1,5 - отношение Продолжительности взаимодействий в Арупе:**

$$\frac{\tau}{\lg \rho_1 \rho_2 \rho_3 \rho_4 \rho_5} = \frac{3}{2} \equiv \frac{6}{4} \equiv \frac{9}{6} \equiv \frac{27}{18} \equiv \frac{81}{54} \equiv \dots \equiv 1,5. \quad (0.36)$$

Теогенезис *Книги Дзиан* говорит о том, что Человек Будущего (**Человек Воли и Йоги**) появится после того, как **Обод Колеса Вселенной** сделает **полтора оборота** [5].

**Книга Перемен** связывает Эволюцию Живого (перемены) с геномом *наследственности*.

Физиологи установили **закономерности периодической системы геномов** (рис.0.6) и обнаружили, что она подчиняется штрих - записи:

Книга Перемен:					Примеры штрих - записи.
-------------------	---	---	---	---	-------------------------------

(0.37)

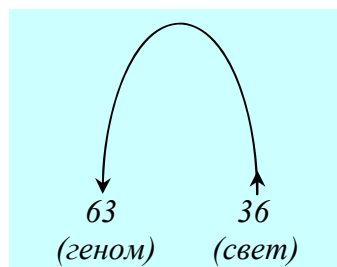


Рис.0.4 Свет и геном

Максимальный потенциал генома наследственности имеет потенциал, равный  $63 \equiv 64 - 1$  (табл.0.7) и связан с прохождением света в поле инверсионной пульсации, изменяющей порядок цифр в числе на обратный (рис.0.4).

Между светом и геномом возникает сумма-разность потенциалов, равная (рис.0.4):

$$(63+36 = 99)+(63-36 = 27) = 126 \equiv 27+28+35+36, \quad (0.38)$$

и эквивалентная сумма потенциалов геномов, вытесненных ядром ( $6 \Leftrightarrow 9$ ) периодической системы геномов.

Энергетическое поле вокруг ядра периодической системы геномов, эквивалентное сумме потенциалов вытесненных геномов (0.38), создаёт **Свечение Тонко-энергетических полей** (концентрированная Аура).

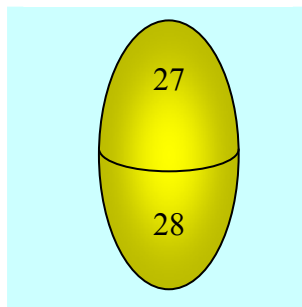


Рис.0.5 Свечение  
Тонкой Энергии

Это Свечение (рис.0.5) получено экспериментально, а его воздействие на **Живое** приводит к увеличению эффективности физиологических процессов *размножения растений в Семь раз*.

Источником Энергии для тонко-энергетических свечений (рис.0.5) являются самосущие волны, сгущающиеся в пропорциях элементов великой Пирамиды (рис.0.3, табл.0.6):

$$\int_{r=\sqrt{2}}^{L=8\sqrt{2}} \varphi d\varphi = 63, \quad (0.39)$$

где:  $r$  - минимальный (первый),

$L$  - максимальный (последний) элемент Пирамиды.

Теогенезис Книги Дзиан описывает сгущение самосущих волн в свет и геномы следующим образом:

**"6. Царь явился сам и сейчас был известен им. "Я первый" (это  $r = \sqrt{2}$ ), сказал Он, "и я - последний" ( $L = 8\sqrt{2}$ ), и оба мы - одно лицо (Пирамида, табл.0.6). Свет пришёл из тьмы (табл.0.5). Всё пришло из ничего (Материя из полей Тонких Энергий). Из Смерти пришла вечная жизнь. Дело сделано" ([5], Станца VII).**

\*\*

Ядро периодической системы геномов (рис.0.6):

6	9
9	6

(0.40)

формирует совместная пульсация Кундалини и Арупы ( $\tau^2 = 9$ ), в которой зарождается субструктура (9+0) материнской биоклетки в условиях изомерии резонансно-антирезонансных колебаний (рис.0.6).

Пульсация ядра периодической системы геномов			
Режим и изомерия	Антирезонанс		Резонанс
	Цис	Транс	
Потенциалы	$(9+0)+6 = \Leftrightarrow -(9+0)-6 =$ $15 \Leftrightarrow -15$		$6 \cdot 9 = 54 \Leftrightarrow$ $+ (-6) \cdot (-9) = 54$
Результат	$(\Delta\Gamma+\Delta C)\rho_2 \equiv 15 - (-15) = 30$ сине-голубая Чакра Третий Глаз		108 - Число реинкарнаций.

(0.41)

Результатом пульсации Арупы Кундалини в ядре периодической системы геномов (0.36, 0.41) будет появление водных растворов ядерного вещества и формирование Чакр, а также энергетического потенциал - эквивалента 108 реинкарнациям, о которых говорит Буддизм.

\*\*

Периодическая система геномов включает в себя шестьдесят геномов, число которых эквивалентно потенциалу Тянь без четырёх, которые вытеснены ядром (рис.0.6).

Геномы в периодической системе			
Поля	Геномы в Системе	Вытесненные	
Количество	60	4	(0.42)
Потенциалы	$1890 = \frac{1+63}{2} \cdot 63 - 126$	$126 = 27+28+35+36$	

\*  
\*\*

**Периодическая Система геномов формируется при пульсации резонансного сгустка света с потенциалом  $1 \cdot 2 \cdot 3 \cdot 4 \cdot 5 = 5!$**

Поля	Свет	Геномы		Ядро
		Цис	Транс	
Потенциалы	$5! \int_0^1 \varphi d\varphi$ 60	$60 \int_0^1 \varphi d\varphi$ 30	$60 \int_0^1 \varphi d\varphi$ -30	$\pm 30 \equiv$ $\pm(6+9+9+6) \equiv$ $\pm(1^2+2^2+3^2+4^2).$
Равновесие	60	$\equiv$ 30	$- (-30) \equiv$	

(0.43)

Свет в условиях резонансной пульсации образует ядро из двух полушарий (как мозг) с потенциалами плюс-минус 30, которые, пульсируя, формируют ядро периодической системы геномов ( $6 \Leftrightarrow 9$ ) в магнитном поле ( $1^2+2^2+3^2+4^2 = 30$ ) ядерного вещества (0.43).

\*  
\*\*

Общий потенциал геномов в периодической системе геномов равен сумме арифметической прогрессии от 1 до 63 без суммарного потенциала вытесненных геномов (0.42):

$$P = \frac{1+63}{2} \cdot 63 - 126 = 1890, \quad (0.44)$$

который распределяется по периодам и группам Периодической Системы Геномов Наследственности, где ядро имеет жёлто-красный цвет, а геномы оранжевый, так как  $\Delta K \cdot \Delta O / \Delta J = 7600$  (рис.0.6).



Пери- оды	Группы								Суммы
	I	II	III	IV	V	VI	VII	VIII	
1	0	1	2	3	4	5	6	7	$\Gamma_1 = 28$
2	8	9	10	11	12	13	14	15	$\Gamma_2 = 92$
3	16	17	18	19	20	21	22	23	$\Gamma_3 = 156$
4	24	25	26	6	9	29	30	31	$\Gamma_4 = 165$
5	32	33	34	9	6	37	38	39	$\Gamma_5 = 213$
6	40	41	42	43	44	45	46	47	$\Gamma_6 = 348$
7	48	49	50	51	52	53	54	55	$\Gamma_7 = 412$
8	56	57	58	59	60	61	62	63	$\Gamma_8 = 476$
									$\Gamma = 1890$

Сум- мы	$\Pi_1$ 224	$\Pi_2$ 232	$\Pi_3$ 240	$\Pi_4$ 186	$\Pi_5$ 192	$\Pi_6$ 264	$\Pi_7$ 272	$\Pi_8$ 280	$\Pi =$ 1890
------------	----------------	----------------	----------------	----------------	----------------	----------------	----------------	----------------	-----------------

Рис.0.6 Периодическая система геномов с ядром

Наличие ядра ( $6 \Leftrightarrow 9 \Leftrightarrow 9 \Leftrightarrow 6$ ) смещает равновесие по периодам и группам, формируя изомерию геномов:

Изомерия	Цис				Транс				
Разности	$\Pi_1-\Gamma_1$	$\Pi_2-\Gamma_2$	$\Pi_3-\Gamma_3$	$\Pi_4-\Gamma_4$	$\Pi_5-\Gamma_5$	$\Pi_6-\Gamma_6$	$\Pi_7-\Gamma_7$	$\Pi_8-\Gamma_8$	
	196	140	84	21	-21	-84	-140	-196	
Крутящий момент	$441 \equiv$				$\rightleftharpoons$	$-441 \equiv$			(0.45)
Субструк- тура в оболочке	$(9+0) \cdot 7^2$				$\rightleftharpoons$	$-(9+0) \cdot 7^2$			

Возникает субструктура (9+0) материнской биоклетки в **оболочке** с потенциалом 49, где формирование оболочки происходит за счёт периодической системы Тонких Энергий, описанных **Русскими Рунами** и расшифрованных мною [7].

\*  
\*\*

Врачующий эффект тонко-энергетических Свечений связан с их взаимодействиями с ядрами геномов (рис.0.5, рис.0.6) в условиях резонансно-антирезонансной пульсации (табл.0.8).

Таблица 0.8

**Ядро геномов в свечении над ядром**

Компоненты		60 Геномов	42 Божества Сердца
Ядро	9+6+9+6=30	$126 \times 30 \int\limits_0^1 \varphi \, d\varphi =$ 1890 (рис.0.6).	$\frac{126}{30} = 42 \equiv$ $(28 \equiv \rho * \rho) + (14 \equiv \mu * \mu)$
Свечение	27+28+35+36 = 126		
Примечание	$\rho = 28 \cdot 10^{-20}$ , $\rho^* = 28 \cdot 10^{+20}$ - гравитационные заряд и Мысль [8]. $\mu = 14 \cdot 10^{-20}$ , $\mu^* = 14 \cdot 10^{+20}$ - магнитные заряд и Память [8].		

Поглощение ( $126+30 = 156$ ) - излучение ( $126-30 = 96$ ) энергии Свечения ядром приводит к формированию в периодической системе геномов потенциал - эквивалента резонансного внутреннего поля света:

$$(156 - 96) \cdot \lg \rho_1 \rho_2 \rho_3 \rho_4 \rho_5 = 60 \cdot 2 = 120 = 5! \quad (0.46)$$

Дальнейший анализ возможен только при знании и понимании кинематики движения точечного участка волны света, ибо именно он является **инструментом трансформации одной формы энергии в другую**.

\*  
\*\*

Частица и волна света совершают равномерное движение: фотон летит прямолинейно, фотон - пульсирует.

Кинематику пульсации точечного участка волны света можно определить по законам равномерного вращения вокруг центра симметрии по окружности  $L_0 = \pi \cdot (D_0 = 1/\pi) = 1$  (рис.0.7).

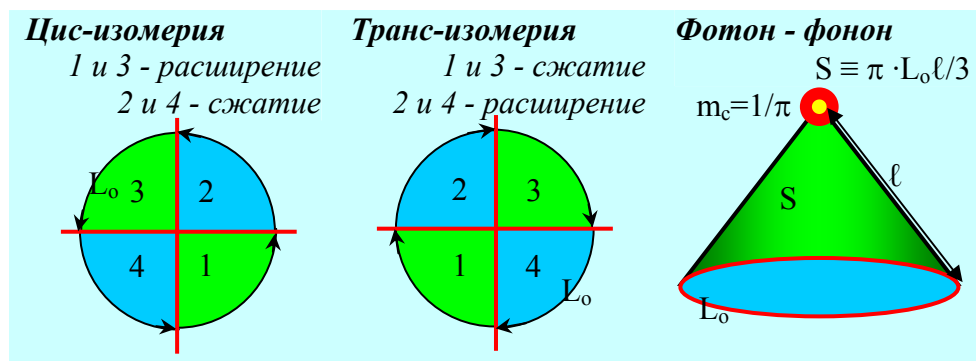


Рис.0.7 Этюры взаимосвязи фотон-фонона и кинематики вращения точечного участка волны света по квантованной орбите  $L_0 = 1$

Цис-транс изомерию кинематики вращения точечного участка волны света по квантованной орбите  $L_0 = 1$  объединяет то, что между сжатием и расширением точечный участок волны света успевает сделать только четверть оборота ( $n_0 = 1/4$ ), а фронт волны света – развернуться (поляризоваться) на угол  $\varphi_0 = \pi/2$  (рис.0.7).

Знание числа оборотов достаточно для определения всех динамических характеристик точечного участка волны света (табл.0.9).

Продолжительность поворота в цис- и транс-изомерии имеет одну направленность (табл.0.9):

$$\tau_0 = \frac{\varphi_0}{\omega_0} = \frac{-\varphi_0}{-\omega_0} = 1, \quad (0.47)$$

и поэтому космический энергетический вихрь самосуших волн движется в одном направлении с Востока на Запад.

**Кинематические характеристики  
точечного участка волны света**

Параметры		Число оборотов	Период вращения	Угловая скорость	Продолжительность поворота
Формула		$n_o = 1/4$	$T_o = 1/n_o$	$\omega_o = 2\pi n_o$	$\tau_o = \varphi_o/\omega_o$
Изо-мерия	цис	$+n_o = 1/4$	$T_o = 4$	$\omega_o = \pi/2$	$\tau_o = 1$
	транс	$-n_o = 1/4$	$-T_o = 4$	$-\omega_o = \pi/2$	$+\tau_o = 1$
Примечание		Знаки плюс-минус описывают разнонаправленность вращения (рис.0.7).			

\*\*

Смена сжатие  $\Leftrightarrow$  растяжение точечного участка волны света (рис.0.7) приводит к периодической инверсии, или **инверсионной пульсации, при которой оболочка выворачивается наизнанку и энергия внутреннего поля оказывается в окружающей среде как у фотон-фонона (рис.0.7).**

Инверсия подобна взрыву, при котором равновесная квантованная орбита  $L_o = 1$  становится Космосом Невесомости с ноль-потенциалом.

Этот инверсионный переход между Гармонией и Хаосом происходит за счёт колебаний:

<b>Формирование фотон-фонона самосущими волнами</b>			
Волны	Самосущие	Переход	Самосущие
Фотон ( $m_c$ ) фонон ( $E_\lambda$ )	$\frac{1}{\arccos(-1)} =$	$\frac{1}{\pi} \Leftrightarrow \pi =$	$\arccos = 1$
Примечание	Формирование фотон - фонона		Инверсия и появление $c \equiv \pi$ .

(0.48)

Энергия инверсионного взрыва волны света  $E_\lambda$  - это энергия тяги для фотона (рис.0.7).

Распространяясь противоположно направлению фотона, энергия инверсионной тяги ( $S$ ) создают резонансное равновесие  $E_\lambda S = S/\pi$ , где  $S = \pi \equiv c$  (рис.0.7).

В окружающем Пространстве энергия инверсионной тяги создаст Луч - Конус с боковой поверхностью  $S = \pi$ , равной трети длины окружности  $L_0 = 1$ , на образующую конуса  $\ell$  (рис.0.7).

$$S = L_0 \ell / 3 = \pi \quad \text{и} \quad \ell = 3\pi = \tau c. \quad (0.49)$$

Возникает **Арупа Света**, которая реализует себя в коническом луче света (рис.0.7, 0.49).

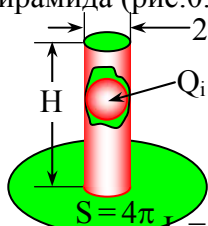
\*\*

Квант света дуалистичен и обладает цис- транс-изомерией, как любая биполярная система. Поэтому для биполярной системы будет характерно наличие транс-изомеров:

$$-S = -\pi \quad \text{и} \quad -\ell = -3\pi \equiv -\tau\pi. \quad (0.50)$$

Поле с потенциалом  $\pm\pi$  может реализовать себя как в форме материи, так и в форме Тонкой Энергии.

В поле Материи возникнут: энергетический импульс ( $2\pi$ ), энергия ( $-\pi^2$ ), гармонические колебания ( $-1 = \cos \pi$ ) и канал экстрасенсорной проводимости с ноль - потенциалом, символом которого может являться высота  $H$  великой Пирамиды (0.51, рис.0.3, табл.0.6).

Пример реализации $\pm\pi$ в Едином Космосе			
Поле	Материя	Тонкая Энергия	Примечание
Пирамида (рис.0.3). 	$\pi + (-\pi) = 0$ $\pi - (-\pi) = 2\pi$ $\pi(-\pi) = -\pi^2$ $\frac{\pi}{-\pi} = -1 \equiv \cos \pi$	$-\pi \equiv Q_i/T_o =$ $4\pi i_2/4 = -\pi$	$Q_i$ - поверхность сферы с радиусом $i = \sqrt{-1}$ . (0.51)

В поле Тонкой Энергии образуется квант, например Праны, с поверхностью  $Q_i = -\pi T_o$ , который будет совершать движение по каналу экстрасенсорной Проводимости (ноль-потенциал) "длиною" в  $H$ , под воздействием разности потенциалов  $[S - (-S)]$ . Возникнут небеса Цинь:

Формирование небес Цинь Тонкими Энергиями	
$Цинь_o \equiv Q_i[S - (-S)] \cdot (H = T_o \sqrt[4]{\sin \pi/4}) =$ $-4\pi \cdot 2\pi \cdot 4 \cdot \sqrt[4]{\sin \pi/4} \equiv -32\pi^2 \sqrt[4]{\sin \pi/4} \equiv -32 \cdot 2^{-\frac{1}{4}} c^2.$	(0.52)

Пульсирующий Космос сформирует в Небесах изомерию, а изомерия Цинь приведёт к синтезу сгустка Тянь:

Динамика формирования Тянь - Цинь			
Поля \ Космос	Изначальное Цинь (0.52).	Цинь в Космосе	
		Цинь-изомер	Транс-изомер
Цинь	$Цинь_o =$ $32 \cdot c^2 \cdot 2^{-1/4}$	$Цинь_o \int_0^1 \varphi d\varphi$ $= 32c^2 \cdot 2^{-5/4}$	$Цинь_o \int_1^0 \varphi d\varphi$ $= -32c^2 \cdot 2^{-5/4}$
Тянь <sub>o</sub>	$Тянь_o \equiv 32c^2 \cdot 2^{-5/4} + 32c^2 \cdot 2^{-5/4} = 64c^2 \cdot 2^{-1/4}.$		

(0.53)

При изменении Космосом изначальных Тянь-Цинь возникают колебания  $2^{-1/4} \Leftrightarrow 2^{-5/4}$  или  $2 \Leftrightarrow 1/2$ .

\*\*

Равновесный фотон-фонон формируется как импульс и как энергия:

Формы равновесного фотон-фонона				
Импульсы (моменты количества движения)				Энергия
Электро-магнитные колебания	Равномерное прямолинейное движение	Вращение	Неравномерное движение	
$E_\lambda c = 1$ $\frac{1}{\pi} \pi = 1$	$m_c c = 1$ $\frac{1}{\pi} \pi = 1$	$(m_c + E_\lambda) \omega_0 =$ $\frac{2}{\pi} \cdot \frac{\pi}{2} = 1$	$m_c (m_c + E_\lambda) c \omega_0 =$ $\frac{1}{\pi} \frac{2}{\pi} \pi \frac{\pi}{2} = 1$	$m_c E_\lambda c^2 =$ $\frac{1}{\pi^2} \pi^2 = 1$
Примечание: $\pm j_0 = \pm c \omega_0 \equiv \pm c^2/2$ , - является центробежно - центростремительным ускорением.				

(0.54)

Равновесный антирезонансный фотон-фонон вращения, находясь на поверхности волны света, формирует Кундалини:

Формирование Кундалини лучом света
$\begin{aligned} \text{Кундалини} \equiv E_\lambda \cdot (m_c + E_\lambda) \cdot \omega_0 \cdot [(\ell = 3c) - (-\ell = -3c)] \equiv \\ -\frac{1}{\pi} \left( \frac{1}{\pi} + \frac{1}{\pi} \right) \cdot \frac{\pi}{2} \cdot 6\pi = 6 = 3,5 + 2,5 = 3,5^2 - 2,5^2. \end{aligned}$

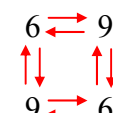
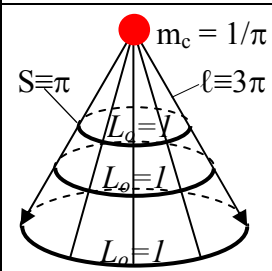
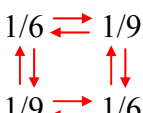
(0.55)

*Кундалини, которую Космогенезис Книги Дзиан описывает как **одинокый Луч в водах**, является моментом количества движения или **импульсом**.*

***Кундалини - импульс в цитоплазме биоклетки трансформируется в энергию и формирует субструктуру (9+0) материнской биоклетки:***

<b>Формирование субструктуры (9+0)</b>
$\begin{aligned} \text{Субструктура (9+0)} &\equiv m_c^2 \cdot E_\lambda^2 c^2 \cdot (\ell = 3c) \cdot (-\ell = -3c) \equiv \\ &\left(\frac{1}{\pi}\right)^4 \pi^2 \cdot (-9 \pi^2) = -9 = -(9+0). \end{aligned} \quad (0.56)$

*Кундалини - импульс и энергия субструктуры (9+0) биоклетки формируют пульсирующее ядро периодической системы геномов:*

<b>Структура ядра Периодической Системы геномов</b>		
До инверсии	Свет в геноме	После инверсии
 <p>Цис-транс изомерия</p>		 <p>Цис-транс изомерия</p>

(0.57)

Свет, попадая в ядра генома, ведёт себя как излучённый луч-конус, формируя по сечению конуса шестьдесят равновесных геномов (рис.0.6).

**Каждый геном заканчивает свою спираль, которая "наматывается на конус" (0.57) при условии равновесия с окружающей средой.**

Равновесие среды и генома является подобием квантованной орбиты  $L_o = 1$  (0.57):

$$L_o \equiv \frac{7}{2} \cdot \frac{2}{7} \equiv \frac{5}{2} \cdot \frac{2}{5} \equiv 6 \cdot \frac{1}{6} \equiv 9 \cdot \frac{1}{9} \equiv \dots \quad (0.58)$$

Природа разделила среду и геномы, создав среду в виде женской яйцеклетки и поместив геномы в головку мужского сперматозоида.



\*\*

*Квантовая равновесная орбита, как и любое иное энергетическое поле, пульсирует в интервале от нуля до  $\pi \equiv c$ , и от нуля до единицы:*

Пульсация света в Космосе			
Поля	Космос: Дзиан		Свет: $c \equiv \pi$
Колебания	$\pm \int_0^1 \varphi d\varphi = \pm \frac{1}{2}$		$\Leftrightarrow \pm \frac{\pi^2}{2} = \pm \int_0^\pi \varphi d\varphi$
Гравитация, энергия, волны	Ускорения	Равновесия	Волны
	$\pm \pi^2/2 \equiv$ $\pm c\omega_0 =$ $\pm j_0$ гравитация	$\pm 1 \Leftrightarrow \pm \pi^2 \equiv$ $c^2$ энергия	$0 = \sin \pi = \cos \pi/2 = \dots$ $-1 = \cos \pi = \sin \pi/2 = \dots$ $1 = \sin \pi/2 = \cos 2\pi = \dots$ $\pi = \arccos(-1) = \dots$

(0.59)

**Гравитация** при центростремительном ускорении, **антигравитация** при центробежном ускорении, энергия при равновесии и волновые поля реализуют себя, например, при электромагнетизме (0.59, рис.0.8).

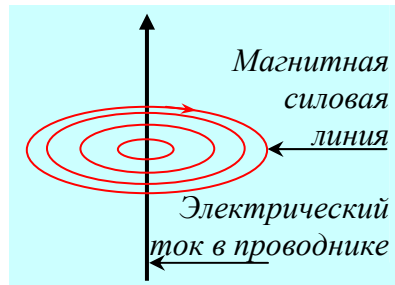


Рис.0.8 Ячейка электро-магнитной индукции

Если по проводнику течёт электрический ток, то вокруг проводника возникают магнитные силовые линии, направленность движения которых определяется правилами левой и правой руки, или правилом буравчика (рис.0.2).

**Магнитная силовая линия является основой квантованной орбиты (0.57).**

Магнитные силовые линии пульсируют в диапазоне  $0 \Leftrightarrow 1$ , формируя каналы сверхпроводимости.

При ноль-потенциале и центробежно-центростремительных ускорениях электроны, например, переходят с орбиты на орбиту, а точечный участок света будет делать полтора оборота (рис.0.9).

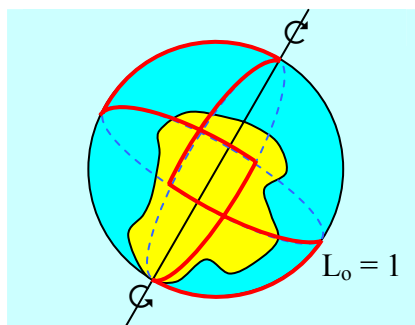


Рис.0.9 Полтора оборота точечного участка волны света при магнитном смещении

Половина оборота, по две четверти, приходится на вращение по квантованной орбите (рис.0.9), и вызвано тем, что в поле света появилась электромагнитная среда (0.60).

Возникает электромагнитное смещение концентрических окружностей  $L_0 = 1$  в поле света, и появляются эллипсоидальные поля и эллиптические орбиты (0.10).

Фонон	Фотон	Среда	Сумма
$E_\lambda c \int_0^1 \phi d\phi =$	$m_c \omega_0 =$	$\varepsilon_0 \mu_0 c^2 \int_0^1 \phi d\phi =$	
1/2	+	1/2	= 1,5.

(0.60)

\*\*

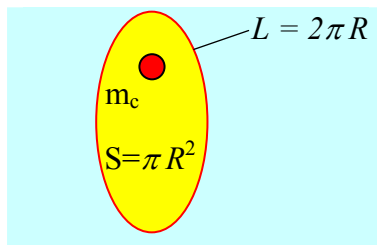


Рис.0.10 Эллиптическая орбита при магнитном смещении (0.60)

Появление магнитного смещения на одну треть сказывается и на фотоне, и на фононе: в волновом поле фонона происходит искривление квантованной орбиты, а у массы фотона появляется спин  $\left(\vec{S} = \pm \frac{1}{2}\right)$ , то есть вращение вокруг собственной оси (рис.0.10).

Волна	Частица
$E_{\lambda}c + \frac{\omega_0}{c} = \frac{3}{2} \Leftrightarrow \frac{1}{2} \equiv m_c c \cdot \frac{\omega_0}{c}.$	

(0.61)

Между волной и частицей возникает разность потенциалов, равная единице, и позволяющая переходить из одного равновесного состояния в другое, например:

$$1+2+3+4+5+6+7 = 28 \quad \text{или}$$

$$\frac{S}{L} = \frac{\pi R^2}{2\pi R} = \frac{R}{2} = 1, \quad \text{при } R = 2, \quad (0.62)$$

где L - длина квантованной орбиты,

S - площадь - эквивалент **окружности с учётом эффекта мыльного пузыря:** *какую бы* форму не принял мыльный пузырь, количество мыльного раствора его поверхности остаётся постоянным.

\*\*

**Отношение (0.62) является справедливым для тех полей, у которых поле S и орбита L (рис.0.10) имеют одинаковую (одну и ту же) форму энергии.**

**В полях с различными формами энергии происходит раздельная мультиплетность импульсов на квантованной орбите и энергии во внутреннем поле, ограниченном орбитой:**

$$\frac{S = \pi R^2(\text{энергия})}{L = 2\pi R(\text{импульс})} \equiv \frac{(R^2 \equiv r_1^2 + r_2^2 + r_3^2 + \dots)}{(R \equiv r_1 + r_2 + r_3 + \dots)}. \quad (0.63)$$

Совместная пульсация полей гравитации и магнетизма (0.63) приводит, например, к формированию биоклетки (0.62):

Био-клетка	Гравитация – знаменатель, магнетизм - числитель	
5	$\frac{1^2+2^2+3^2+4^2+5^2+6^2+7^2}{1+2+3+4+5+6+7} = \frac{140}{28}$	(7.3)
7	$\frac{1^2+2^2+3^2+4^2+5^2+6^2+7^2+8^2+9^2+10^2}{1+2+3+4+5+6+7+8+9+10} = \frac{385}{55}$	
(9+0)	$\frac{1^2+2^2+3^2+4^2+5^2+6^2+7^2+8^2+9^2+10^2+11^2+12^2+13^2}{1+2+3+4+5+6+7+8+9+10+11+12+13} = \frac{819}{91}$	

Между магнитным и гравитационным полями в биоклетке (0.64) возникает разность потенциалов:

$$K = (140+385+819) - (28+55+91) = 1344 - 174 = 1170, \quad (0.65)$$

и в поле Арупы света ( $\tau^2 \rho_5^2 = 90$ ) начинают функционировать биочасы, ритмика которых соответствует ритмике 13-и лунного календаря цивилизации Майи (0.65):

$$13 \equiv \frac{k=1170}{\tau^2 \rho_5^2 = 90} \quad \text{при } 13 \times 28 = 364 \text{ дня.} \quad (0.66)$$

\*\*

При митозе биоклетки возникает субструктура (9+2), которая в поле гравитации приводит к потенциалу  $11 \times 28 = 308$ .

Биоклетка делится пополам; в тринадцатилунном календаре возникает **День вне Времени**; в энергетическом поле формируется цис-транс изомерическая разность потенциалов:

Энергетическая структура Дня вне Времени			
Режим и изомерия	Антирезонанс		Резонанс
	Цис	Транс	
Потенциалы поля	$13 \cdot 28 - 11 \cdot 28 = 56 = 4 \cdot 14$	$11 \cdot 28 - 13 \cdot 28 = -56 = -4 \cdot 14$	$13 \cdot 28 \cdot 11 \cdot 28 = 143 \cdot 28^2 = 112112$
	$112 = 56 - (-56)$		
Приведённый потенциал	$\frac{112112}{112} = 1001.$		

(0.67)

(0.67)

Приведённый потенциал пульсации в поле Дня вне Времени (0.67) можно охарактеризовать как зеркально отображенное поле, которое описывается двоичным языком потенциалов Гармонии (единица) и Хаоса (ноль).

Результатом пульсации поля День вне Времени является накопление разноименно заряженных гравитационных, магнитных, электрических элементарных зарядов ( $\rho$ ,  $\mu$  и  $q$ ) и импульсов мысли ( $\rho^*$ ), памяти ( $\mu^*$ ) и воображения ( $q^*$ ), к анализу появления которых мы переходим.

\*\*

Гравитацию, магнетизм и электричество формируют фотон-фононы.

С.И.Вавилов установил, что в пределах насыщения люминофора участвуют  $10^{20}$  фотонов.

Эти фотоны формируют вихри, а вихри имеют свои Продолжительности.

Вихри фотонов могут гасить друг друга, формируя элементарные заряды, усиливать друг друга, формируя импульсы мысли, памяти и воображения (табл.0.10).

Таблица 0.10

**Единство гравитационно-электромагнитных полей**

Поля	Элементарные заряды			Импульсы в Арупе		
Формы энергии	Гравитация	Магнетизм	Электричество	Гравитация	Магнетизм	Электричество
Названия зарядов-импульсов	Гравитационный	Магнитный	Электрический	Мысль	Память	Воображение
Продолжительности	$T_0(T_0+\tau) = 28$	$28 \cdot \omega_0/c = 14$	$T_0^2 = 16$	$T_0(T_0+\tau) = 28$	$28 \cdot \omega_0/c = 14$	$T_0^2 = 16$
Потенциалы	$\rho = 28 \cdot 10^{-20}$	$\mu = 14 \cdot 10^{-20}$	$q = 16 \cdot 10^{-20}$	$\rho^* = 28 \cdot 10^{20}$	$\mu^* = 14 \cdot 10^{20}$	$Q^* = 16 \cdot 10^{20}$
В поле вне Времени (0.63)	$112 = 7\sqrt{qq^*} = 8\sqrt{\mu\mu^*} = 4\sqrt{\rho\rho^*}$					
Пальма	$\frac{7}{4} \equiv \frac{T_0 + \tau}{T_0} \equiv \frac{\rho\rho^*}{qq^*} \equiv \frac{\rho}{q} \equiv \frac{\rho^*}{q^*} = \frac{2\mu}{q} \equiv \frac{2\mu^*}{q^*}$					

Заряды, импульсы, геномы и атомы появляются из поля света с концентрацией фотонов в пределах насыщения люминофоров, равной  $10^{20}$  фотонов:

Кванты	Заряды	Импульсы
Фотоны	$1/10^{20}$	$10^{20}$

 $\Leftrightarrow$ 
(0.68)

где разность длин волн равна  $3600\text{\AA}$  для солнечного белого света.

Геномы в поле солнечного белого света появляются на гребне бегущей волны с частотой - продолжительностью в одну пальму:

$$Геномы \equiv \frac{\Delta B = 3600 \overset{\circ}{A}}{\lambda = 100 \overset{\circ}{A}} \left( \frac{T_0 + \tau}{T_0} = \frac{7}{4} \right) = 63. \quad (0.69)$$

Во внутреннем поле вне Времени возникают 112 химических элементов, формирующих Периодическую систему 112 химических элементов, число электронов в которой равно сумме арифметической прогрессии ряда из 112 элементов [7]:

$$\boxed{\text{Число электронов 112 элементов} \equiv \frac{1+112}{2} \cdot 112 = 6328.} \quad (0.70)$$

Электроны (0.70) создаются солнечным белым светом в поле гравитации:

$$N_q = 3600 \cdot 7/4 + 28 = 6300 + 28 = 6328 \equiv 56 \cdot 113, \quad (0.65)$$

где 113 - библейское Число Человека [9].

\*\*

**Любая Периодическая Система по своей Сущности является равновесной системой, так же как любой Атом или любой компонент в этой периодической системе.**

Равновесие между Системой и Компонентом в системе даёт возможность определить число **отрицательно заряженных** магнитных и гравитационных квантов по числу электронов в Системе (0.71):

Число отрицательных магнитных квантов	Число отрицательных гравитационных квантов	(0.72)
$N_{\mu}^{-} = \frac{\mu}{q} N_q^{-} \equiv$ $7/8 \cdot 56 \cdot 113 = 49 \cdot 113$	$N_{\rho}^{-} = \frac{\rho}{q} N_q^{-} \equiv$ $7/4 \cdot 56 \cdot 113 = 98 \cdot 113.$	

У Человека с библейским потенциалом 113 появляется **магнитная оболочка**, защищенная удвоенной (98 = 2·49) **гравитационной оболочкой**, например кожей.

\*\*

Резонансно-антирезонансная пульсация Периодической Системы и Атомов - Компонент в этих Системах приводит при антирезонансе к появлению равного количества разноименно заряженных компонент:

$$0 \equiv q + (-q) \equiv \mu + (-\mu) \equiv \rho + (-\rho) \equiv$$

$$q^* + (-q^*) \equiv \mu^* + (-\mu^*) \equiv \rho^* + (-\rho^*) \equiv \dots \quad (0.73)$$

Антирезонансное равновесие Хаоса (0.73) приводит к появлению цис-транс изомерии в энергетических полях, а нам даёт возможность рассчитать общее количество зарядов - импульсов в Периодической Системе химических элементов (табл.0.11).



**Число разноименных зарядов - импульсов  
в Периодической Системе химических элементов**

Поля	Электрическое	Магнитное	Гравитационное
Число разноименных зарядов	$K_1 = N_q^- + N_q^+ = 112 \cdot 113$	$K_3 = N_\mu^- + N_\mu^+ = 98 \cdot 113$	$K_5 = N_p^- + N_p^+ = 196 \cdot 113$
Число разнонаправленных импульсов	$K_2 = (N_q^- + N_q^+) = 112 \cdot 113$	$K_4 = (N_\mu^- + N_\mu^+) = 98 \cdot 113$	$K_6 = (N_p^- + N_p^+) = 196 \cdot 113$
Максимумы	$q \cdot q^* \cdot K_1 \cdot K_2 = (16 \cdot 112 \cdot 113)^2$	$\mu \cdot \mu^* \cdot K_3 \cdot K_4 = (14 \cdot 98 \cdot 113)^2$	$\rho \cdot \rho^* \cdot K_5 \cdot K_6 = (28 \cdot 196 \cdot 113)^2$
Антирезонансная сумма	$K \equiv 113^2(16^2 \cdot 112^2 + 14^2 \cdot 98^2 + 28^2 \cdot 196^2) \equiv$ $113^2 \cdot (16^2 \cdot 8^2 \cdot 14^2 + 7^2 \cdot 14^4 + 2^2 \cdot 14^6) \equiv$ $113^2 \cdot 14^2 \cdot (16^2 \cdot 8^2 + 7^2 \cdot 14^4 + 2^2 \cdot 14^4)$		
Формирование живых магнитов	$K = 113^2 \mu \mu^* [q q^* \cdot 64 + (T_0 + \tau)^2 \cdot \mu \mu^* + T_0 \mu \mu^*],$ <p>где 64 - сгусток Тянь, а 113 - число Человека.</p>		

\*\*

**Книга Мёртвых** - одно из Произведений, дошедших до нас как **Слово** великой Цивилизации.

Египетский [11] и Тибетский [10] варианты **Книги Мёртвых** являются нашими импровизациями на тему великой Книги.

К счастью наши импровизации не смогли исказить математику **первоисходной Книги Мёртвых**, согласно которой в теле человека находится 110 Божеств: 58 Божеств в голове, 42 Божества с Сердце и 10 Божеств в области шеи.

Мифологическо-религиозные Божества в теле Человека точно описывают потенциалы зарядов - импульсов в этих органах (табл.0.12).

Таблица 0.12

**Божества и потенциалы  
сердца, головы и шеи человека**

Орган тела	Сердце	Шея	Мозг
Потенциал (табл.0.10)	$42 = \sqrt{\rho\rho^*} + \sqrt{\mu\mu^*}$	10	$58 = \sqrt{\rho\rho^*} + \sqrt{\mu\mu^*} + \sqrt{qq^*}$
Число Божеств [10]	42	10	58
Примечание	Мозг содержит мысль и воображение, а Сердце только "мысль" и "память".		

Кундалини, воздействуя при расширении на сердце, а при сжатии на мозг, приводит пульсирующую систему сердце  $\Leftrightarrow$  мозг к равновесию с логарифмической постоянной взаимодействий, то есть с 2:

Совместная пульсация мозга и сердца					
Параметры	Мозг		Сердце		Разности
	Сжатие	Расширение	Расширение	Сжатие	
Потенциалы, где $(3,5+2,5)$ - Кундалини	$58 \cdot 2,5 = 145$	—	$42 \cdot 3,5 = 147$	$\equiv$	-2
		$58 \cdot 3,5 = 203$	—	$42 \cdot 2,5 = 105$	$= 98$
Сине-голубая волна $\lambda = 48000 \text{Å}$ в чакре Третий Глаз	$58 \int_{2,5}^{3,5} \varphi d\varphi + 42 \int_{3,5}^{2,5} \varphi d\varphi = (58 - 42) \cdot 3 = 48,$ <p>где: <math>(3,5^2 - 2,5^2 = 6)</math> - соответствует Кундалини</p>				

Пульсация Мозга и Сердца в поле Кундалини формирует оболочки органов человека (0.74):

<b>Оболочки органов</b>
$98 : (-2) = -49 \equiv - (T_0 + \tau)^2 \equiv \dots$

(0.75)

а также волну длиной в  $4800\text{\AA}$ , разделяющую синюю и голубую области спектра в чакре Третий Глаз (табл.0.3):

$$48 \cdot \rho_5^2 = 4800 \equiv 4800\text{\AA} \equiv \lambda. \quad (0.76)$$

Пульсирующие Мозг и Сердце будут находиться в состоянии резонансного равновесия при условии, когда (0.74):

<b>Состояние равновесия между Мозгом и Сердцем</b>
$48 + 98/(-2) = 48 - 49 = -1 = \cos \pi.$

(0.77)

\*\*

Импульсы - заряды между сердцем и мозгом **проходят через шею** (табл.0.12).

Шея - проводник взаимодействий, в том числе при ядерных и логарифмических постоянных (табл.0.1):

<b>Взаимодействия 10 Божеств в области шеи</b>				
Процессы	С ядерной постоянной	Среда перехода	С логарифмической постоянной	Пятиричная связь
Потенциалы	$\rho_5^2 = 100$	$\int_2^{10} \varphi d\varphi = 48$	$\lg \rho_1 \rho_2 \rho_3 \rho_4 \rho_5 = 2$	$\frac{\rho_5}{2} \Leftrightarrow \frac{2}{\rho_5}$ $5 \Leftrightarrow 1/5.$

(0.78)

В области шеи возникают пятеричные гравитационно-магнитные колебания (0.78):

Гравитационно-магнитная пульсация шеи	
Цис-изомерия	Транс-изомерия
$\frac{140}{28} \equiv \sqrt{\frac{\mu\mu^*}{\rho\rho^*}} \rho_5 = 5$ $\updownarrow$ $\frac{28}{140} \equiv \sqrt{\frac{\rho\rho^*}{\mu\mu^*}} \rho_2 = \frac{1}{5}$	$\frac{1}{5} \equiv \sqrt{\frac{\rho\rho^*}{\mu\mu^*}} \rho_2 = \frac{28}{140}$ $\updownarrow$ $5 \equiv \sqrt{\frac{\mu\mu^*}{\rho\rho^*}} \rho_5 = \frac{140}{28}$

(0.79)

Цис-транс изомерическая пульсация в области шеи (0.73) является подобием пульсации света - Кундалини и присуща любому микро-макро **равновесному** физиологическому компоненту органа человека и человеку в целом.

\*\*

Человек дышит не только воздухом, но и Тонкими Энергиями Кундалини.

**Первые девять месяцев, находясь в форме зародыша - плода, человек обходится без воздуха и дышит только Тонкими Энергиями, источником которых является Космос.**

*Органами "Дыхания" при дыхании не воздухом, а Тонкой Энергией, являются не лёгкие, а **Семь Чакр**.*

Наличие Семи Чакр организма Человека обусловлено переходом  $5 \rightarrow 7$  и мультиплетностью 7 на десятичные магнитный и гравитационный ряды (0.64):

$$7 = \frac{385}{55} = \frac{5 \cdot 77}{5 \cdot 11} \equiv \frac{5 \cdot 7 \cdot (9+2)}{5 \cdot (9+2)}, \quad (0.80)$$

где: (9+2) - субструктура биологической клетки при митозе (делении пополам).

Если в лёгкие поступает воздух, то в чакры поступает Кундалини.

Кундалини в чакрах функционирует в солнечно-лунной среде с постоянной, равной 140 (табл.0.13).

Таблица 0.13

**Постоянная Чакр в солнечно-лунной среде**

Поля	Ряды	Суммы
Солнечное поле	1 → 2 → 3 → 4 → 5 → 6 → 7 → 8	36
	расширение	
Кундалини	7/4 → 7/2 → 7 → 14 → 28 → 56 → 112	215,25
	расширение	
№№ Чакр	1 2 3 4 5 6 7	2800Å
	Радуга Чакр, пульсация	
Кундалини	80 ← 40 ← 20 ← 10 ← 5 ← 5/2 ← 5/4	160,75
	сжатие	
Лунное поле	7 6 5 4 3 2 1 0	28
	Система геномов: первый период	
Постоянная чакр	$K_4 = 80 \cdot 7/4 = 40 \cdot 7/2 = 7 \cdot 20 = 14 \cdot 10 = 28 \cdot 5 = 56 \cdot 5/2 = 112 \cdot 5/4 = 140 \equiv 1^2 + 2^2 + 3^2 + 4^2 + 5^2 + 6^2 + 7^2 = 28 \cdot 5$	
Структура года	Год $\equiv (215,25 + 160,75 = 376) - (9 + 2) = 365 \equiv$ Эквивалент 365 дням в году по 13-ти лунному Календарю	
Свето Датель	$c^3/\omega_0^3 = 1 + 7 = 2 + 6 = 3 + 5 = 4 + 4 = 5 + 3 = 6 + 2 = 7 + 1 = 8 + 0$ (расширение Вселенной).	

\*\*

Пульсация Чакр (табл.0.13) смещает равновесие зародившегося митоза (0.8).

В биоклетке возникает процесс её деление в течение семи стадий митоза, а динамика процесса может быть описана колебательным контуром (80).

<b>Динамика пульсации Чакр (80)</b>	
<p>Вытеснение ядром геномов 35 и 36 (рис.0.6)</p> $7 \cdot (K_4 = 140) \Leftrightarrow \frac{5 \cdot 7 \cdot (9+2) \cdot (c^3/\omega_0^3 = 8)}{5 \cdot (9+2) \cdot (T_0 \omega_0/c = 2)} \equiv \dots$ $7 \cdot 140 \cdot 5 \cdot (9+2) \cdot 2 \stackrel{K}{\equiv} 107800 \Leftrightarrow 3080 = 5 \cdot 7 \cdot 11 \cdot 8;$ $35 \Leftrightarrow 1 \equiv -2 \Leftrightarrow 36.$	<p>(0.81)</p>

Кроме геномов с потенциалами 36 и 36 (0.81) из периодической системы геномов вытесняются геномы с потенциалами 27 и 28 (рис.0.6), где:

<b>22 буквы Авраама [12]</b>
$(35+36 = 71) - (27+28 = 55) = 22$

(0.82)

разность с потенциалом 22 является потенциал - эквивалентом 22 буквам Авраама, с помощью которых передавалась информация методом телепатии [12].

\*\*

Пульсация Кундалини Чакр в солнечной среде (табл.0.13) является процессом **прораствания семени в лоне матери**, и он подобен в своей энергетической основе прорастванию семени растения или развитию зародыша-плода у Священного Животного или Человека.

**Этот период внутриутробного "дыхания" Тонкой Энергией Единого Космоса сохраняется как в Жизни на всю Жизнь, так и в Жизни до и после Жизни.**

После рождения в Жизнь "дыхание" Тонкой Энергией существует одновременно с дыханием лёгкими.

При открытом Третьем Глазе дыхание Тонкими Энергиями подобно медитации, ведущей по эволюционному пути созидания Человека Воли и Йоги Теогенезиса, где между вытесненными геномами и геномами информации возникает разность потенциалов:

Телепатическая информация в полях света и Свечений (рис.0.10)					
Поля и сумма	Тонкие Свечения		Свет		Сумма
	Арупа	$\sqrt{\rho\rho^*}$	$36^2 - 35^2 = 71$		
Вытес- ненные геномы	27	28	35	36	126
Квант те- лепатии	22	22	22	22	88
Разности	5	6	13	14	38
Примеча- ния	Связь: $5^2=T_0^2+\tau^2$	Кунда- лини = 3,5+2,5	Биочасы	Магне- тизм: $\sqrt{\mu\mu^*}$	Взаимо- действия: $88-38=50 \equiv$ $\lg \frac{\rho_3\rho_4}{\rho_1}$

(0.83)

(0.83)

\*\*

В поле Арупы ( $\tau = 3$ ) магнетизм увеличивается, и возникают 42 Божества Сердца:

$$14 \cdot \tau = 42 \equiv 42 \text{ Божества} \equiv \sqrt{\rho\rho^*} + \sqrt{\mu\mu^*}, \quad (0.84)$$

о которых в **Книге Мёртвых** сказано: **на шестой день пребывания в Бордо перед тобой предстанут 42 Грозных Божества. Они выйдут из твоего чистого сердца. Познай их [10].**

Если подойти к этой фразе без мистики, то мы поймём, что после биологической кончины из наших тел - сердец произойдёт излучение гравитационно-магнитных зарядов и импульсов (0.84).

\*\*

В "Откровениях" Иоанна Богослова сказано: **"Трон Христа на Небе окружен 24-мя Пресвятыми Престолами"**.

Если к этой фразе подойти без мистики, то мы увидим синтез науки и религиозных конфессий:

К Единству науки и религии			
Наука великой Цивилизации	Откровения	Пальма	Книга Мёртвых
$\sqrt{\mu\mu^*} \cdot \tau \int_0^1 \varphi d\varphi = 24 \rightarrow 2,4 \times \frac{7}{4} = 42.$			

(0.85)

Появление электрического поля на поверхности гравитационно-магнитного формирует мозг (58 Божеств), а затем и человека (110 Божеств):

110 Божеств Человека
$110 \text{ Божеств} \equiv (\text{Мозг: } \sqrt{\rho\rho^*} + \sqrt{\mu\mu^*} + \sqrt{q q^*} = 58) +$ $(\text{Сердце: } \sqrt{\rho\rho^*} + \sqrt{q q^*} = 42) + (\text{шея} = 10).$

(0.86)

А какое количество научных данных лежит в грязи мистицизма? Пора магию рассматривать с позиции причинно-следственных связей без ненужной секретности от глупости.



# Глава 1

## Анализ основ магии

### с позиции Науки великой Цивилизации

Социум, ныне заселяющий планету Земля, имеет в основном четыре формы познания причинно-следственных связей окружающего нас Единого Космоса - это **язычество, религия, эзотерика и наука**.

\*  
\*\*

**Язычество базируется на непосредственном наблюдении за явлениями природы и их объяснением с помощью представителей великой Цивилизации.**

Помощью со стороны великой Цивилизации объясняются знания, например, племенами Малайзии звёздного неба Сириуса, или древне-языческой цивилизацией Майя "тайн" великой Цивилизации, в том числе тайны 13-и лунного Календаря [18].

Носителями "тайны" являются и языческие народы Севера и Сибири России и аборигены Австралии.

\*  
\*\*

**Религии вышли из Язычества**, и даже сама история возникновения трёх фундаментальных религий Запада базируется на участии в них Богов, их Сыновей и пророков, то есть представителей *вне Земной* великой Цивилизации.

Изначальной задачей религиозных конфессий являлось сохранение **Слова, которое было в Начале, которое было у Бога, и которое было Бог**.

Задачу по сохранению **Слова** религиозные конфессии выполнили, законсервировав Слова - Знания в форме **Догм**. Догм, которые должны были трансформироваться в высокую Науку великой Цивилизации.

Великая Цивилизация знала, что **Догма** существует в среде социума Носителей Разума, которым свойственен закон **Кармы, то есть познания причинно-следственных связей Единого Космоса.**

Противоречия между Догмой и Кармой породили науку и эзотику.

\*\*

**Наука** - это методология познания причинно-следственных связей окружающего нас мира путем **эмпири-окритицизма**: опыт - эксперимент, обобщение опыта на основе парадигм - иллюзий и следующий эксперимент.

Факторами, искажающими усилия нашей науки, являются: отсутствие ментальной (вышей, духовной) цели, работа методами приближений, игнорирование анализа явлений по их взаимодействиям.

Великая Цивилизация организовала свою науку с точностью наоборот нашей: **базисом изучения явились взаимодействия, принципиально исключаящие приближения; эксперимент объяснялся с позиции Реалий Единого Космоса без всяких Парадигм - Иллюзий.**

\*\*

**Эзотерика**, или эзотерическая наука, возникла в современном социуме Земли как Необходимость в разрешении противоречий между язычеством, религией и наукой.

В отличие от язычества и религий эзотерика опирается на **Слово**, данное в Книгах великой Цивилизации: **Книга Дзиан, Книга Перемен, Книга Мёртвых.**

Информация из этих Книг была взята за основу религиозной литературы всех конфессий. Однако многочисленные редакторские правки религиозной литературы в ряде случаев исказили смысл текстов, **заимствованных из Книг великой Цивилизации.**

Вторичная эзотерическая литература, как и религиозная, также не избежала искажений и использование не по прямому назначению.

**Книга Перемен**, например в Китае, стала использоваться для гадания, а законы Единого космоса, **вырванные из контекста Перемен, засекреченные властолюбием и алчностью, создали магию (Белую и Чёрную)**, где слово магия означает Моя власть.

Сегодня в эзотерике возникло новое направление: **Варагия** - власть света. Но все они: Магия, Варагия, Калагия и так далее берут своё начало из алгебры великой Цивилизации, где алгебраические знаки - символы **Ба (Ва)**, **Ра** и **Ка** были обожествлены Религией Древнего Египта:

Алгебра	Ба (Ва)	Ра	Ка
Боги	Двойник Бога Солнца	Бог Солнца	Двойник Бога Солнца
Производные	Варагия, Калагия, Магия и так далее.		

(1.1)

Моя задача состоит в том, чтобы перевести **язык магии** на научный язык реальных энергетических процессов.

## 1.1 Анализ посвящения магии Луне

Д.А.Халс посвятил "Энциклопедию современной магии" Луне: **"Первая Книга посвящается моей тайной руководительнице - богине Луны, чьё имя соответствует числу 480"** [1, 2].

С позиции современной науки нашей цивилизации такое посвящение - бред; с позиции Науки великой Цивилизации и само посвящение, и число 480 отражает реальность Единого Космоса.

Проблема доказательности в данном случае сводится к вопросу: **может ли Луна быть живой Сущностью?**

\*\*

Луна вращается со скоростью 28 суток в месяц и создаёт Продолжительности, отсчёт которых заложен в Календарь цивилизации Майя: **Луна владыка времени.**

Вращение Луны создаёт вихри эндотермических фотон-фононов с потенциалом  $\sqrt{\rho\rho^*} = 28$ , который расщепляется пополам на два магнитных кванта:  $28 = 2 \cdot 14 = 2\sqrt{\mu\mu^*}$ .

Возникает потенциал - эквивалент потенциалу сердца (табл.0.12): **Луна владыка сердца.**

Импульсы Тонкой Энергии, исходящие от Луны, являются Подобием Космической Мысли с потенциалом  $\rho^* = 28 \cdot 10^{20}$ : **Луна владыка Мысли.**

Космическая Мысль, излучаемая Луной, является **источником энергии** для семени и плода в период их развития в Лоне Матери: **Луна является источником Жизни на Земле.**

\*\*

Луна действует на все жидкие среды Земли, **порождая в них спирали Кундалини.**

Спирали Кундалини возникают и в магме Земли, ломая её литосферу на блоки с преимущественным коэффициентом  $7/2 = 3,5$  и сгущая небесные тела вокруг Земли с преимущественным коэффициентом  $5/2 = 2,5$  [16].

**Инициированное Луной Кундалини - свет, формирует, в том числе и ядро Периодической Системы Геномов наследственности - ядро с потенциалом 6 (рис.0.6).**

Ядро геномов (рис.0.6) пульсирует в резонансно-антирезонансном режиме, создавая свет с потенциалом (-36), субструктуру биоклетки (9+0) и пятеричную связь (рис.0.6):

Пульсация ядра геномов под влиянием Луны	
Пульсация геномов	$\frac{9 \cdot 6}{9-6} \Leftrightarrow \frac{9+6}{9/6} \Leftrightarrow \frac{9+6}{6/9} \Leftrightarrow \frac{9 \cdot 6}{9-6}$ (1.2)
Производные	$9^2 \Leftrightarrow 9^2 - 6^2 \Leftrightarrow 9^2 - 6^2 \Leftrightarrow 6^2$ $-36 \Leftrightarrow 9$ и $-4 \Leftrightarrow 1$ или $0 \Leftrightarrow 5$ .

**Луна принимает основную нагрузку в процессе физиологического размножения путём передачи генной наследственности.**

*Посади семя в почву, и оно прорастет, хотя солнечный свет до семени не доходит: лунный свет действует на **Корень**, а солнечный - на побеги над почвой.*

\*\*

Солнечно-лунное влияние сказывается на режиме дыхания растений: днём растения вдыхают кислород, а выдыхают уже углекислый газ; ночью вдыхают углекислый газ, а выдыхают кислород (табл.1.1).

Таблица 1.1

**Режим дыхания растений**

Параметры	День	Ночь	Молекулярные веса		Результат
			День	Ночь	
Вдох -	$O_2 \rightarrow$	$2CO \rightarrow$	$32 \rightarrow$	$40 \rightarrow$	$\frac{2(40+32)}{2(40-32)} = \frac{12^2}{16} = (9+0)$
Выдох	$\rightarrow 2CO$	$\rightarrow O_2$	40	32	
Суммы	$O_2 + 2CO \Leftrightarrow 2CO + O_2$		72 ядерная плазма	72 ядерная плазма	

**Форма дыхания Растения инициирует рост субструктуры (9+0) в биоклетке и развитие Жизни белковых тел.**

\*\*

Жидкая плазма нашего тела, обладающая суммарной плотностью  $\gamma = 72+72 \equiv 144 = 12^2$ , поглощает Тонкую Энергию, излучаемую Луной.

Поглощает в резонансном режиме Арупа - Рупа, то есть при  $T_0 \cdot \tau = 12$ .

При периодичности  $T_0$  потенциал поглощения увеличивается, а при наличии слабых взаимодействий величина потенциала достигнет числа 480 и станет равным числу имени богини Луны:

<b>Структура числа имени богини Луны</b>
$\frac{T_0^2 \tau}{\rho_2} = \frac{48}{10^{-1}} = 480.$

(1.3)

Появление взаимодействий солнечного белого света приведёт к длине волны  $\lambda = 4800 \text{ \AA}$ , разделяющей синюю и голубую области спектра света (табл.0.3):

$\frac{T_0^2 \tau}{\rho_2} \cdot \rho_5 = \frac{48}{10^{-1}} \cdot 10 = 4800 \equiv 4800 \text{ \AA}.$
--

(1.4)

В сине-голубой чакре Третий Глаз импульс электрического заряда и импульс *Воображения*:

Воображение	$\frac{q \cdot c}{\lambda} = \frac{16 \cdot 10^{20} \cdot 3 \cdot 10^{18} \cdot A \cdot c \cdot \overset{\circ}{A}/c}{4800 \overset{\circ}{A}} = 10^{36} A$
Заряд	$\frac{qc}{\lambda} = \frac{16 \cdot 10^{-20} \cdot 3 \cdot 10^{18} \cdot A \cdot c \cdot \overset{\circ}{A}/c}{4800 \overset{\circ}{A}} = 10^{-4} A$
скорость	$c = 300 \text{ тыс. км/с} = 3 \cdot 10^{18} \text{ \AA/с}.$

(1.5)

создадут контур электрических колебаний с силой тока, равной (1.5):

$$\boxed{\frac{I = 10^{36} A}{I = 10^{-4} A} \equiv 10^{40} \Leftrightarrow 10^{-40} \equiv \frac{10^{-4} A = I}{10^{36} A = I}}. \quad (1.6)$$

Возникает электромагнитная индукция фотонов с концентрацией  $(10^{20})^2$  в пределах насыщения люминофора. Появляется перенасыщенный фотон - фононами люминофор, то есть ядерная плазма (1.6).

\*\*

Ядерная плазма пульсирует и излучает логарифмические волны (1.7):

Логарифмические волны ядерной плазмы			(1.7)
Сокровенная Сороковица	Расширение Вселенной	Экстремальные области волны	
$\lg 10^{40} \Leftrightarrow \lg 10^{-40}$ $40 \Leftrightarrow -40$	$+80 \Leftrightarrow 0 \Leftrightarrow -80$ антирезонанс	$+1 \Leftrightarrow -1$ резонанс.	

В цис-транс изомерическом веществе ядерной плазмы:

$$(\gamma_n = 72) + (\gamma_n = 72) \equiv 144 = 12^2 \equiv T_o^2 \cdot \tau^2, \quad (1.8)$$

возникают разности потенциалов, характеризующие появление геномов наследственности в структуре Тянь (табл.1.2).

На этой стадии пульсации ядерного вещества зарождается 13-ти лунная пульсация, которую отсчитывает 13-ти лунный Календарь цивилизации Майя (табл.1.2).

**Условия возникновения геномов наследственности в  
ядерном веществе сгустка Тянь (1.7)**

Ядерное ве- щество	Рупа	Арупа	Разность	Сумма
$T_o^2 \cdot \tau^2 = 144$	$T_o^\tau = 64$ Тянь	0	$144 - 64 = 80$	$144 + 64 = 208$
$\tau^2 \cdot T_o^2 = 144$	0	$\tau^{T_o} = 81 \equiv (9+0)^2$	$144 - 81 = 64$ гены	$144 + 81 = 225 = 15^2$ электромаг- нетизм.

$$\frac{208}{80} \rho_5 \int_0^1 \varphi d\varphi = 2,6 \cdot 10 \cdot \frac{1}{2} = 13, \quad (1.9)$$

где отсчёт продолжительностей происходит в электромагнитном поле:

$$225 = 15^2 \equiv [(\sqrt{qq^*} = 16+14 = \sqrt{\mu\mu^*}) \int_0^1 \varphi d\varphi = 1/2]^2. \quad (1.10)$$

В пульсирующем электромагнитном поле (1.10) возникают сумма и разность потенциалов, а также разность между суммой и разностью:

$$(225+64 = 289 = 17^2) - (225 - 64 = 161) = 128 = 2^7. \quad (1.11)$$

Полученный потенциал, равный  $2^7$  (1.11), с одной стороны, может обеспечить систему:

$$\text{Цинь} + \text{Тянь} - (-\text{Цинь}) \equiv 32+64 - (-32) = 128, \quad (1.12)$$

а с другой стороны, описывается пропорциями великой Пирамиды (рис.0.3, табл.0.6).

**Луна влияет на Корни, дающие нам физиологический рост.**



\*\*

Луна влияет на нашу ментальность.

**Влияние Луны на ядерное вещество Капли плазмы** (кровь, серое вещество головного мозга, цитоплазма и так далее) проявляет себя во взаимодействиях, логарифмические волны которых приводят к двадцать пятому кадру:

<b>Возникновение двадцать пятого кадра. Подсознание</b>				(1.13)
Процесс	Эндотермия	Переход	Экзотермия	
Потенциал	$\lg \rho_1 \rho_2 = -25$	$\lg \rho_2 \rho_3 \rho_4 = +25$	$\lg \rho_3 \rho_4 / \rho_5 = +25$	

Двадцать пятый кадр воздействует на наш менталитет на уровне **Подсознания**.

На уровне **Сознания** наш мозг и тело испытывают воздействие 24 кадров пульсации в Единицу Продолжительности.

Начало пульсации в 24 кадра дают гравитационные взаимодействия и их эквиваленты:

<b>Возникновение 24 кадров: Сознание</b>			(1.14)
Процесс	Эндотермия	Экзотермия	
Потенциал	$\lg \rho_1 = -24$	$\lg \rho_2 \rho_3 \rho_4 / \rho_5 = +24$	

\*\*

Двадцать четвёртый кадр проявляет себя **на поверхности Капли ядерного вещества** на уровне Сознания, а цис-транс изомерия в условиях эндотермии приводит к потенциал - эквиваленту длины волны раздела синей и голубой областей спектра в чакре Третий Глаз (табл.0.3):

$$\text{Сознание} \equiv \left[ \lg \frac{\rho_2 \rho_3 \rho_4}{\rho_5} - \lg \rho_1 = 24 - (-24) = 48 \right] \rho_5^2 = 4800 = 4800 \text{ \AA}. \quad (0.15)$$

Двадцать пятый кадр проявляет себя в Недрах Капли ядерного вещества на уровне Подсознания, и его Термия в условиях цис-транс изомерии будет связана с разностью (1.13):

$$\text{Подсознание} \equiv (\lg \rho_2 \rho_3 \rho_4 - \lg \rho_1 \rho_2) \cdot \rho_5 \equiv [25 - (-25)] \cdot 10 = 500 \equiv \Delta \Phi. \quad (0.16)$$

Пульсация энергетического поля **Подсознания во взаимодействиях и Дзиан** ( $2 \Leftrightarrow 1/2$ ) формирует зелёную, голубую, синюю и жёлто-зелёную области спектра света (табл.0.3):

<b>Спектр Подсознания (1.16), \AA</b>				
синяя	голубая	зелёная	колебания (недра)	жёлто-зелёная
$\Delta C =$ 300	$\Delta G =$ 300	$\Delta Z =$ 400	$\left( \frac{c}{\omega_0} \Leftrightarrow \frac{\omega_0}{c} \right) \Delta \Phi =$ $1000 \Leftrightarrow 250$	$\Delta JZ =$ 250.

(1.17)

Сознание, связанное с процессами на поверхности Капли ядерного вещества мозга, будет окрашено в красный, оранжевый и жёлтый цвета, формируя белый свет с длиной волны в  $7600 \text{ \AA}$ :

<b>Спектр Сознания (табл.0.3), \AA</b>				
жёлтый	оранжевый	красный	белый	колебания
$\Delta J =$ 70	$\Delta O =$ 380	$\Delta K =$ 1400	$\lambda = \frac{\Delta K \Delta O}{\Delta J} =$ 7600	$\Delta J \cdot \lambda = \Delta K \Delta O$ $28 \cdot 19 \cdot 10^3$ .

(1.18)

**Колебания спектра сознания (1.18) приводят к гравитации:**

$$28 \cdot 19 \cdot 10^3 \equiv \sqrt{\rho \rho^*} \cdot 19 \cdot 10^3, \quad (1.19)$$

и в поле гравитационного лунного импульса  $\rho^* = 28 \cdot 10^{20}$  Кл появляется элементарный гравитационный заряд  $\rho = 28 \cdot 10^{-20}$  Кл, который используется как источник жизнеобеспечения белковых тел.

\*\*

Любая энергетическая система, выведенная из состояния равновесия, стремится вернуться в состояние равновесия. Наш головной мозг не исключение, ибо он является энергетической системой.

Головной Мозг состоит из левого и правого полушарий, назначение которых сгущать небесные космические гравитационные импульсы, например  $Q_i \rho^*$  (0.51).

Процесс сгущения небесных волн описывается пропорциями великой Пирамиды (рис.0.3, табл.0.4) и будет завершаться в коре головного мозга формированием электрического импульса воображения:

$$[Q = 4\pi \cdot (R=2)^2] \cdot q^*, \quad (1.20)$$

где  $Q$  - поверхность сферы с радиусом  $R = 2$  (эквивалент потенциала коры головного мозга).

Энергетические потенциалы поверхности зародышевого пузырька Тонкой Энергии, достигая квадрата первоначальной величины ( $Q_i^2$ ), становятся равными потенциалам поверхности коры головного мозга (рис.1.1, табл.1.3).

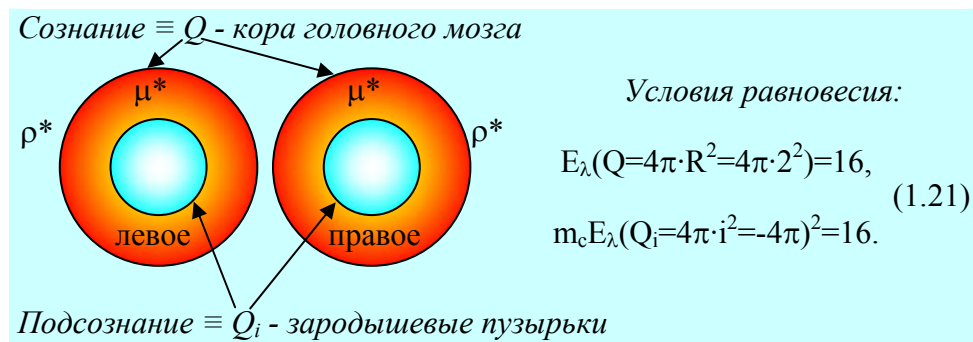


Рис.1.1 Полушария головного мозга при равновесии поверхностей зародышевых пузырьков и коры головных полушарий (1.21)

**Поверхность зародышевого пузырька** (поверхность сферы с радиусом  $i = \sqrt{-1}$ ) **будет находиться** на уровне **ПОДСОЗНАНИЯ** и пульсировать с частотой 25 кадров в единицу Продолжительности (рис.1.1, табл.1.3).

Поверхность с радиусом  $R = 2$  (аналог коры головного мозга или литосферы Земли) будет находиться на уровне **СОЗНАНИЯ** и пульсировать с частотой 24 кадра в единицу Продолжительности (рис.1.1, табл.1.3).

Таблица 1.3

**Воображение: взаимосвязь Подсознания и Сознания**

Поля	Подсознание		Сознание		Мысль и Вообра- жение
	Поверхность	Число кадров	Поверхность	Число кадров	
Гравитация	$m_c E_{\lambda} Q_i^2$ 16	25 25	$E_{\lambda} Q =$ 16	24 24	$28^2 = \rho \rho^*$ $784 = 28^2$
Электричество	400		384		$16 = \sqrt{q q^*}$
Движение магнитного поля ядра	$\frac{28^2}{16} \equiv 28 \cdot \frac{28}{16} \equiv 28 \cdot \frac{7}{4} \equiv \frac{T_0 + \tau}{T_0} \cdot \left( \sqrt{\mu \mu^*} - \left( -\sqrt{\mu \mu^*} \right) \right).$				

Движение магнитного поля в ядре - Капле протекает в условиях формирования Дзиан, что влечёт за собой трансформацию пальмы в Кундалини (табл.1.3).

Энергетические потоки в недрах ядер			
Направленность	Переход к Гармонии	Пальма	Переход к Хаосу
Переход пальма ÷ Кундалини	$28 \frac{7}{2} \int_0^1 \varphi d\varphi$	$\equiv 28 \cdot \frac{7}{4}$	$\equiv 28 \frac{7}{2} \int_1^0 \varphi d\varphi$
Формирование оболочки [7]	$7^2 = 49 \Leftrightarrow$	$49 \Leftrightarrow$	$-49 = 7^2.$

(1.22)

Появление Кундалини в жидкой плазме или любом ином растворе ядерного вещества приводит к движению растворов-расплавов из Недр сгустка к его литосфере.

Так движется магма земли [16], так движется серое вещество головного мозга.

Поскольку движение жидких сред во внутреннем поле объёма сгустка связано с цис-транс изомерией, то Природа формирует, например, для головного мозга левое и правое полушария с электрическими потенциалами  $\pm \sqrt{qq^*} = 16$  (табл.1.3).

Эта цис-транс изомерия формирует небеса - Цинь, то есть воображение и заряд:

$$\text{Цинь} \equiv \sqrt{qq^*} - (-\sqrt{qq^*}) = 16 - (-16) = 32, \quad (1.23)$$

а **Книга Перемен** описывает динамику Эволюции.

\*\*

Для того, чтобы свободно владеть процессами, изложенными в **Книге Перемен**, необходимо понять энергетические структуры **Подсознания** и **Сознания**.

**Подсознание**, то есть поле  $m_c E_\lambda Q_i^2 = 16$  (1.21) формирует самосушщие волны (рис.0.3), так как  $16 \equiv \sqrt{2}^8$ .

Формирование Подсознания начинается в **поле Арупы - Рупы** ( $T_0 + \tau$ ), куда с частотой в 25 кадров поступает лунный импульс  $\rho^*$ .

В этих условиях формирования потенциал в области Сознания будет связан с квадратом пальмы в вихре фотонов:

$$K \equiv \text{Подсознание} \equiv \frac{(T_0 + \tau) \rho^* 25}{\sqrt{2}^8} = \frac{7 \cdot 700 \cdot 10^{20}}{16} \equiv \left(\frac{7}{4}\right)^2 10^{22}. \quad (1.24)$$

Наличие цис-транс изомерии на уровне **Подсознания** приводит к тому, что ядерное вещество, пульсируя между Арупой и Рупой достигает потенциал-эквивалента потенциала, равного по величине объёму ( $V_n$ ) великой Пирамиды (рис.0.3):

Подсознание: энергетическая плотность в объёме			
Поле	Арупа	Рупа	Объём Пирамиды
Колебания	$Q_i^2 \rho^* 25 \sqrt[4]{\sin \pi/4} \Leftrightarrow Q_i^2 \rho^* 25 \sqrt[4]{\sin \pi/4} \Leftrightarrow$ $\tau$ $V_n \equiv \frac{T_0^2}{\tau} 2 \sqrt[4]{\sin \pi/4} \Leftrightarrow$	$Q_i^2 \rho^* 2 \mu^* 25 \int_0^1 \phi d\phi$ $T_0^2$ $1$	$V_n =$ $\frac{1}{3} 8 \cdot 2^{7/4} \equiv$ $\frac{1}{3} a^2 H.$

В поле Подсознания Космическая Мысль трансформируется в импульсы Памяти ( $\rho^* \Leftrightarrow 2\mu^*$ ), а поверхность  $Q_i^2$  поля Подсознания формирует электромагнитные среды с постоянными  $\varepsilon_0$  и  $\mu_0$ :

Электромагнитные среды Подсознания	
$Q_i^2 = (4\pi)^2 \equiv (4\pi = \mu_0 10^7) \cdot \left( 4\pi = \frac{10^7}{\varepsilon_0 c^2} \right) \equiv$ $m_c E_\lambda \frac{\mu_0}{\varepsilon_0} (10^{14} = \rho_4),$ <p style="text-align: center;">где <math>\varepsilon_0 = \frac{10^7}{4\pi \cdot c^2}</math> Ф/м и <math>\mu_0 = 4\pi \cdot 10^{-7}</math> Гн/м [14].</p>	(1.26)

\*\*

Между Подсознанием и Сознанием происходит движение разноименных магнитных импульсов ( $\pm\mu^*$ ), формирующих магнитное ядерное вещество, например магму Земли или серое вещество головного мозга (рис.1.1).

Между литосферой и поверхностью Недр в Капле Ядра возникает разность потенциалов, связанная с красно-жёлтой областью спектра (табл.1.4).

Разность квадратов частот кадров формирует оболочку (табл.1.4).

Арупа - Рупа фотон - фононов сливается в резонансный вихрь Продолжительностью  $T_0^2 + \tau^2$  (табл.1.4).

Из Недр Подсознания продолжает поступать энергия с потенциалом К (1.24), возникают ядерные взаимодействия в Продолжительностях (табл.1.4).

Таблица 1.4

**Ядерные взаимодействия магнитной магмы**

Поля	Между литосферой и поверхностью недр (рис.1.1)	Между 25 и 24 кадрами	Поток из Недр Зародыша (1.24)
Разности потенциалов	$K_1 = (Q - Q_i) \cdot m_c = 16 - (-4) = 20 \equiv$ $\frac{\Delta K = 1400 \overset{o}{A}}{\Delta \mathcal{K} = 70 \overset{o}{A}}$	$K_2 = 25^2 - 24^2 = 49 = 7^2$ оболочка	$K = \left(\frac{7}{4}\right)^2 10^{22}$ $22 = \lg 10^{22}$
Энергия ядерного вещества: продолжительность, взаимодействия	$E_\mu \equiv \frac{\pm \mu^* K_1 K_2 K}{T_0^2 \tau^2} = \frac{\pm 49}{72} \left(\frac{7}{2}\right)^3 10^{43} \equiv$ $\frac{(T_0 + \tau)^5}{T_0^2 \tau^2} \rho_5 \rho_4^\tau.$		

Ядерное вещество включает множество форм энергии (табл.1.4). Например,  $\lg \rho_4^\tau = \lg 10^{42} = 42$  является потенциалом сердца, а  $72 = \gamma_n$  - плотностью ядерного вещества, но, в конечном счете, все энергетические формы могут быть сведены к Продолжительностям и взаимодействиям, как это сделано в табл.1.4:

\*\*

Чтобы мы, люди, научились понимать неизбежность ядерных взаимодействий в Продолжительности, великая Цивилизация дала в воспитательных целях религиозные догмы рая и ада.

Наши сердца:

$$42 \equiv \sqrt{\rho \rho^*} + \sqrt{\mu \mu^*} = \lg(10^{42} = \rho_4^\tau), \quad (1.27)$$

по мере продвижения по спирали Эволюции подвергаются переплавке на каждой из 108 реинкарнаций:



$$42 = 7 \cdot 6 \Leftrightarrow 18 \cdot 6 = 108 \quad \text{или} \quad 7 \Leftrightarrow 18, \quad (1.28)$$

где 18 - эквивалент молекулярному весу воды,  
6 - Кундалини.

\*\*

Поток ядерного магнитного вещества (табл.1.4) из Недр Ядра направляется к литосфере Ядра и возбуждает пульсацию и дрейф литосферы по жидкому раствору магмы (рис.1.1, табл.1.4):

<b>Дрейф - пульсация литосферы по магме. Релаксационная пульсация коры головного мозга</b>			(1.29)
Формула	Потенциалы	Переход	
$\frac{m_c Q}{E_\mu} \Leftrightarrow -\frac{E_\mu}{E_\lambda Q}$	$\equiv 16^2 \Leftrightarrow -E_\mu^2 = \frac{7^{10}}{12^4} 10^{86}$	$K = E_\mu^2 / 16^2 = 5^2 \cdot 10^{88} / 16^2.$	

При релаксационных колебаниях поверхностей с продолжительностью  $(T_0^{T_0})^2 = 4^8$ , поверхности образуют сгусток Тянь с потенциалом 64.

Выделение сгустком Тянь Кундалини :

$$64 - (6 = 3,5 + 2,5) = 58. \quad (1.30)$$

Пульсирующий с потенциалом Дзиан Космос формирует изомерию двух Цинь, а также левое и правое полушария мозга (табл.1.5).

*Потенциал - эквивалент Мозга реализует себя в формировании мысли, памяти, воображения (табл.1.5):*

$$(58 = 28+14+16) \cdot 10^{90} = (\rho^* + \mu^* + q^*) \cdot 10^{70}, \quad (1.31)$$

где воображение, как электрическая шаровая молния будет являться разрядами между левым и правым полушариями мозга (1.30).

Таблица 1.5

**Формирование Тянь - Цинь и Мозга**

	Сгусток Тянь		Мозг	
Потенциалы	$K \cdot (T_0^{T_0})^2 = \frac{5^2}{16^2} 10^{88} \cdot 16^4$ $= 64 \cdot 10^{90}$		$(64 - 6) \cdot 10^{90} =$ $58 \cdot 10^{90}$	
Изомерия Цинь и полушарий мозга	Цинь $\times 10^{90}$		Полушария $\times 10^{90}$	
	Цис	Транс	Левое	Правое
	$64 \int_0^1 \varphi d\varphi =$ $32$	$64 \int_1^0 \varphi d\varphi =$ $-32$	$58 \int_0^1 \varphi d\varphi =$ $29$	$58 \int_1^0 \varphi d\varphi =$ $-29.$

\*  
\*\*

*Электрическая молния воображения, как **великий Дракон Мудрости** [3], иницируется Луной, и блажен тот, кто почитает Луну как Богиню. Такие люди чтят Единый Космос.*


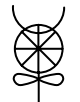
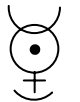
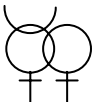
*Но среди нас есть и другая порода Ното Sapiens, например политики, которые тоже когда-то были детьми, а повзрослев решили провести ядерные испытания на Луне. Однако Космос не дал свершиться этой подлости.*

## 1.2 Ключ к магическому квадрату Еноха

"Энциклопедия современной магии" состоит из двух Книг: первая Тайны *Востока*, вторая - Тайны *Запада* [1,2].

Материал "энциклопедии" подаётся как **расшифровка эзотерических знаний**.

Дается таблица расшифровки некоторых символов:

Форма символа	Монада	Колесо	Вселенский дух	Янор	Гермафродит
Символ					
Магические силы	Магия	Ясновидение	Медитация	Опьянение	Секс
Эзотерические традиции	Астрология	Таро	Йога	Подвиг	Тантра
Божественные характеристики	Бог	Путь	Истина	Вода	Любовь.

(1.32)

Таких перечисленных **расшифрованных** строк - 12 [1].

Якобы, **расшифрованный символизм (1.32) имеет один недостаток: он не имеет причинно-следственной связи, то есть не подчиняется первому основному закону Единого Космоса - закону Карма.**

Отсутствие подчиненности символизма Магии закону Карма во многом объясняется секретностью магических Мистерий, разъединяющих мистиков как исследователей.

Учёные и мистики действовали в одном направлении: они искали **"точку опоры" в статике равновесных процессов, пренебрегая неравновесием в динамике.**

Наука нашла выход из статико-динамического парадокса в том, что стала работать методами приближения; магия в том, что разделилась на белую и чёрную, оставив объективную реальность между ними.

\*  
\*\*

Объективная реальность любого символизма, в том числе и символизма Магии, состоит в том, что **символ описывает стадию динамического процесса перехода одной формы энергии в другую. И не только описывает, но и воздействует на субъект как сама Энергия.**

В этой связи показательной является **Книга Перемен**, данная нам великой Цивилизацией.

Пять тысяч лет назад китайцы приспособили **Книгу Перемен** для гадания, то есть предсказания Судьбы, но затем обнаружили, что **Книга Перемен** не только предсказывает, но и влияет на судьбу.

Влияние на Судьбу нашей цивилизации, наши создатели и воспитатели, то есть великая Цивилизация, заложили во все свои Книги, и Книги, продиктованные ими нам, например, в **Книгу Бытия.**

Шифр-код Книги Бытия имеет потенциал, равный:

$$(1/T_0^2 = 0,0625) \cdot 10^9 = 62500. \quad (1.33)$$

Это значит, что зашифрованная буква повторяется через 62500 букв и связана с ритмической пульсацией Единого Космоса.

Исследователи **Библии** установили, что события, зашифрованные в Книге Бытия, исполняются точно в срок, вплоть до числа, месяца и года, например нападение Саддама Хусейна на Израиль.

\*

\*\*

**Магия не является единственным направлением в работе над символизмом, но любая работа над символизмом должна опираться на Знание Законов Единого Космоса, ибо Знание Реалий исключает Иллюзии Парадигм.**

При опоре на законы Единого Космоса, описывающие трансформации одних форм Энергии в другие формы, мне удалось расшифровать:

- символ-фразу из семи **Химических Слогов**, описывающих врачующую ритмику пульсации Космоса [20];

- символ-рассказ из тридцати символов *Русских Рун*, описывающих периодическую систему Тонких Энергий, формирующих фазовый состав субстанций Вселенной [7];

- расшифровать символизм русского алфавита как описание энергетического процесса общего для Земли и мысли [21].

Более того, **такие великие Символы как Круг Универсум, данный в Откровениях Иоанна Богослова [15]** становится понятным только при комплексном рассмотрении [7], но совершенно теряют смысл при рассмотрении каждого круга в отдельности.

\*

\*\*

*Современные наука и магия подобны семи мудрецам, ощупывающих слона: кто что ощупал, тот о том и говорит, как о слоне в целом. В результате слон - в стороне, а мудрецы слово за слово пускают друг другу кровь.*

Взяв ключом к расшифровке магического символизма, квадрат Еноха: тринадцать ангелов-хранителей, тринадцать магических языков, мудрецы от магии стали объяснять непонятные им символы непонятными терминами.

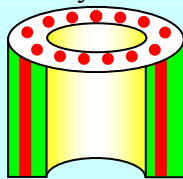
Но всё проще и всё величественнее, чем это представляется мистикам от Магии: квадрат Еноха - это **квадрат вне Формы** [3], то есть  $T_0 = 4$ , а тринадцать - не "**чёртова дюжина**", а череда Продолжительностей трансформаций одних форм энергий в другие (Время), которое отсчитывалось, например, 13-ти лунным Календарём цивилизации Майя, биочасами каждой живой Клетки.

\*  
\*\*

За миллионы лет до появления магии великая Цивилизация описывала **миры обитания тринадцати ангелов-хранителей** [1] в Книге Дзиан следующим образом ([3]. Станца IV. Космогенезис):

Таблица 1.6

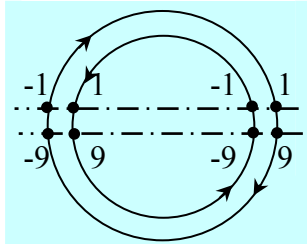
Текст Станцы	Расшифровка текста						
<b>Ои-На-Нои есть тьма</b>	<p>Тьмой являются самосущие волны <math>\sin \pi/4 \rightarrow \cos \pi/4 \rightarrow \dots</math>, которые пульсируют в Арупе (вне Формы) с периодичностью <math>\tau \pm 1</math>, стремясь от Арупы к Рупе (Форма) с периодичностью <math>T_0 = 4</math>.</p> <p>Продолжительность перехода пульсирующей Арупы к Рупе равна 13:</p> $13 = (\tau - 1) + \tau + (\tau + 1) + T_0 = 2 + 3 + 4 + 4. \quad (1.34)$ <p>Эта 13-ти тактовая пульсация создавала свои Подобия типа расширения Вселенной в пятеричной связи:</p> <table><tr><td></td><td>Вселенная</td><td>Связь</td></tr><tr><td>13</td><td><math>= c^3/\omega^2 = 8</math></td><td><math>+ T_0 + 1 = 5.</math></td></tr></table> <p style="text-align: right;">(1.35)</p> <p>и расщепляла вихри фотонов на Арупу и Рупу:</p> $13^2 \equiv T_0^2 \tau^2 + T_0^2 + \tau^2 = 12^2 + 4^2 + 3^2. \quad (1.36)$ <p>В поле гравитации Арупы - Рупы элементарного заряда и Космической Мысли формировался год из 364 дней:</p> $13 \cdot (\sqrt{\rho \rho^*} = 28) = 364. \quad (1.37)$		Вселенная	Связь	13	$= c^3/\omega^2 = 8$	$+ T_0 + 1 = 5.$
	Вселенная	Связь					
13	$= c^3/\omega^2 = 8$	$+ T_0 + 1 = 5.$					

Текст Станцы	Расшифровка текста									
	<p>Микротрубочка поры ядра реагировала на 13-ти лунную пульсацию и создавала биочасы с 13-ю субъединицами [22]:</p> <p>13-ть субъединиц</p> <div></div> <p>Рис.1.2 Сечение микротрубочки поры ядра биоклетки [22]</p> <p>Материалом микротрубочки был <b>табулин с молекулярным</b> весом 110000 кислородных единиц [22], то есть кратный 110 Божествам в теле человека [10].</p> <p>Кундалини сжимала белковое тело в спираль двух с половиной оборотов, а продолжительность оказывалась равной длине спирали:</p> <p>Число дней: <math>13 \cdot 28 = 364</math> + день вне Времени.</p> <p>Микротрубочка: <math>13 \cdot 110000 \cdot 2,55 = 364,25</math>.</p>									
Беспредельность, или же Не-Число, Ади-Нидана, Свабхават О	<p><b>Бесконечная череда Продолжительностей трансформаций одних форм энергии в другие</b>, которую мы называем временем, возникает ещё в Космосе Невесомости, где потенциал поля равен нулю (<b>Не Число</b>).</p> <p>В Космосе Невесомости возникает контур колебания продолжительностей:</p> <table><tr><td>Ади</td><td></td><td>Нидана</td></tr><tr><td>13·28</td><td>↔</td><td>1/364 = 2,7... ≈ e = m<sub>c</sub></td></tr><tr><td>364</td><td></td><td>масса относительного покоя</td></tr></table> <p>Масса относительного покоя формирует в поле света (<math>c \equiv \pi</math>) постоянную тонкой структуры [14]:</p> $1/\alpha = 137,0000021 \equiv \pi \cdot e^{\pi \frac{T_0 + 1}{T_0 - 1}}. \quad (1.38)$ <p>В Космосе Невесомости возникает квантованная орбита, по которой вращается масса относительного покоя (1.38).</p> <p>Возникает эллипсоидальное свечение, подобное Свечению от генератора Тонкой Энергии с потенциалами 27 и 28. это Свечение и <b>есть Свабхават О</b>.</p>	Ади		Нидана	13·28	↔	1/364 = 2,7... ≈ e = m <sub>c</sub>	364		масса относительного покоя
Ади		Нидана								
13·28	↔	1/364 = 2,7... ≈ e = m <sub>c</sub>								
364		масса относительного покоя								

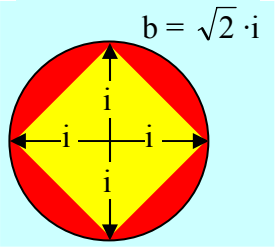
Текст Станцы	Расшифровка текста									
<b>1. Ади-Санат, Число, ибо Он Один</b>	Речь идёт о переходе от нуля к единице, то есть о переходе от антирезонансного равновесия к резонансному:									
	<table><tr><th colspan="3">Равновесие</th></tr><tr><td>Поля</td><td>антирезонанс</td><td>резонанс</td></tr><tr><td><math>x = y</math></td><td><math>x - y = 0</math></td><td><math>x/y = 1.</math></td></tr></table> (1.39)	Равновесие			Поля	антирезонанс	резонанс	$x = y$	$x - y = 0$	$x/y = 1.$
	Равновесие									
	Поля	антирезонанс	резонанс							
	$x = y$	$x - y = 0$	$x/y = 1.$							
	В энергетических многоуровневых полях единица возникает при антирезонансе как разность соседних потенциалов:									
	<table><tr><td>Кундалини</td><td>Свечение</td><td>Любое поле</td></tr><tr><td><math>3,5 - 2,5 = 1</math></td><td><math>28 - 27 = 1</math></td><td><math>(n+1) - n = 1.</math></td></tr></table> (1.40)	Кундалини	Свечение	Любое поле	$3,5 - 2,5 = 1$	$28 - 27 = 1$	$(n+1) - n = 1.$			
	Кундалини	Свечение	Любое поле							
	$3,5 - 2,5 = 1$	$28 - 27 = 1$	$(n+1) - n = 1.$							
	В таких полях изначальный потенциал поля сохраняется и переходит с уровня на уровень, например:									
$13 \cdot (3,5 - 2,5) = 13 \cdot (28 - 27) = 13 \cdot (n+1 - n) = 13.$ (1.41)										
Потенциал, равный единице, возникает и в полях логарифмических колебаний:										
$\lg \rho_5 = \lg \frac{\rho_3 \rho_4}{\rho_1 \rho_2} = 1 \Leftrightarrow -1 = \lg \frac{\rho_1 \rho_2}{\rho_3 \rho_4} = \lg \rho_2.$ (1.42)										
Дальнейшее логарифмирование приводит к нулю и бесконечности:										
$\log_x x = 1 \rightarrow \log_x 1 = 0 \rightarrow \log_x 0 = \infty.$ (1.43)										
Однако, есть одно состояние ( <b>ибо Он Один</b> ), связанное с формированием массы ( $m_0 = e$ ) относительного покоя и уравнением Эйлера:										
$1 = e^{2\pi i} \quad \text{и} \quad \lg 1 = 0 \Leftrightarrow 2\pi i \cdot \ln e,$ (1.44)										
при котором логарифмические волны образуют каналы экстрасенсорной проводимости, сечение которых есть окружность $2\pi i$ с радиусом $i$ .										



Текст Станцы	Расшифровка текста										
	<p>Пифагор и магия принимают поле с потенциа- лом, равным Единице за Монаду [1, 12], а великая Цивилизация использует логарифмические Монады как приём определения энергии в атмосфере над (внутри) равновесной системы. Например, в поле Тонкой Структуры (1.38):</p> $\log_x 1/\alpha \Leftrightarrow \log_5(T_o+1 = 5) -$ $\log_3(T_o - 1 = 3) + \log_\pi \pi + \ln e^\pi \equiv$ $1 - 1 + 1 + \pi \equiv 1 + \pi. \tag{1.45}$										
<b>2. Глас Слова, Свабхават, Числа, ибо Он Один и Де- вять</b>	<p>Тонкие Энергии трансформируются в Рупе с периодичностью <math>T_o = 4</math>, и при 13-ти лунной pulsa- ции возникает разность квадратов:</p> <table><tr><th colspan="2">Возникновение магнитных сред</th></tr><tr><td><math>13 \cdot (T_o = 4) = 52 \equiv 14^2 - 12^2 \equiv</math> <math>\mu\mu^* - T_o^2 \cdot \tau^2.</math></td><td><math>\tag{1.46}</math></td></tr></table> <p>В этих магнитных средах возникают звуковые колебания (<b>Глас Слова</b>), инициируемые разностью потенциалов между Кундалини и пальмой (<b>Сваб- хават</b>):</p> $13 \cdot T_o(7/2 - 7/4) = 52 \cdot 7/4 = 91, \tag{1.47}$ <p><b>ибо Он Один и девять.</b></p> <p>Поле с потенциалом <b>Один</b> и <b>Девять</b> возникло как результат расщепления эффективности взаимо- действия света на Монаду и Арупу:</p> <table><tr><th>Свет</th><th>Монада</th><th>Арупа</th></tr><tr><td><math>\rho_5 = 10</math></td><td><math>= 1</math></td><td><math>+ 9 \equiv \tau^2.</math></td></tr></table> $\tag{1.48}$	Возникновение магнитных сред		$13 \cdot (T_o = 4) = 52 \equiv 14^2 - 12^2 \equiv$ $\mu\mu^* - T_o^2 \cdot \tau^2.$	$\tag{1.46}$	Свет	Монада	Арупа	$\rho_5 = 10$	$= 1$	$+ 9 \equiv \tau^2.$
Возникновение магнитных сред											
$13 \cdot (T_o = 4) = 52 \equiv 14^2 - 12^2 \equiv$ $\mu\mu^* - T_o^2 \cdot \tau^2.$	$\tag{1.46}$										
Свет	Монада	Арупа									
$\rho_5 = 10$	$= 1$	$+ 9 \equiv \tau^2.$									

Текст Станцы	Расшифровка текста																
3. "Квадрат без Формы"	<p>Магия называет <b>"Квадрат без Формы"</b> магическим квадратом Еноха [1].</p> <p>Совершенно не понимая энергетической Сущности этого Квадрата, чёрно-белые Маги суют в квадрат любую Парадигму и любые символы, читая их, как Бог на душу положит, то сверху вниз, то снизу вверх, то слева направо, то справа налево.</p> <p>Не знаю как Енох, но квадрат всё терпит, ибо "Квадрат без Формы" является вектор - эпюрой сгущения Тонких Энергий в поле Материи, а таких энергетических переходов бесконечное множество, умноженное на изомерию волн (рис.1.3).</p> <div></div> <p>Рис.1.3 Движение волн в "Квадрате без Формы"</p> <p>Если движение цис-транс изомерических волн находится на одном энергетическом уровне взаимодействий, то потенциалы волн будут равны:</p> $\begin{aligned} \pm 8 &\equiv \pm(9 - 1), \\ \pm 10 &\equiv \pm(9 + 1) \text{ и} \\ (9^2 - 1^2) &= 81 - 1 = 80. \end{aligned} \quad (1.49)$ <p>Если потенциалы волн будут находиться на разных энергетических соседних уровнях взаимодействий, то возникнет сумма - эквивалент 110 Божествам в теле человека и разность, равная потенциалу плотности ядерной плазмы <math>\gamma_n = 72</math>:</p> <table><tr><th>Изомерия</th><th>Потенциалы</th><th>Сумма</th><th>Разность</th></tr><tr><td>Цис</td><td><math>9\rho_5 + 1</math></td><td><math>= 91</math></td><td>91</td></tr><tr><td>Транс</td><td><math>1\rho_5 + 9</math></td><td><math>= 19</math></td><td>19</td></tr><tr><td colspan="2">Результат</td><td>110</td><td>72.</td></tr></table> <p>(1.50)</p> <p>Многие Мистики сталкивались с этими Числами. Каббала, например, обожествила потенциал 72 [12], но ни один из Магов Древности или Современности не определил разности квадратов своих Богов:</p>	Изомерия	Потенциалы	Сумма	Разность	Цис	$9\rho_5 + 1$	$= 91$	91	Транс	$1\rho_5 + 9$	$= 19$	19	Результат		110	72.
Изомерия	Потенциалы	Сумма	Разность														
Цис	$9\rho_5 + 1$	$= 91$	91														
Транс	$1\rho_5 + 9$	$= 19$	19														
Результат		110	72.														

Текст Станцы	Расшифровка текста													
	<table><tr><th colspan="3">110 Божеств в ядерном веществе</th></tr><tr><td><i>Число Божеств</i></td><td><i>Плотность плазмы</i></td><td><i>19 лет</i></td></tr><tr><td><math>110^2</math></td><td><math>- 72^2</math></td><td><math>\equiv 13 \cdot 28 \cdot 19.</math></td></tr></table> <div>(1.51)</div> <p><i>Маги молодцы, обожествить кого - всегда пожалуйста, подсчитать разность потенциалов - у нас гуманитарное образование и нам с арифметикой трудно.</i></p> <p style="text-align: center;">* **</p> <p><i>В поле (1.51) множитель <math>13 \cdot 28 = 364 \equiv 364</math> дня характеризует число дней одного года, а 19 - число лет по 364 дня в 13-ти лунном календаре цивилизации Майя.</i></p> <p><i>Календарь цивилизации Майя вкладывает в число дней одного года один 365-ый день вне Времени.</i></p> <p><i>Первопричиной, порождающей День вне Времени, должно быть внутреннее поле солнечного белого света (то есть спектр), трансформирующее все формы энергии в эквивалентной Продолжительности.</i></p> <p><i>Скорость трансформации энергии:</i></p> $v \equiv \frac{\text{количество энергии}}{\text{продолжительность}} \equiv 1. \tag{1.52}$ <p><i>С позиции потенциала, равного 19 (1.48), в спектре света возникает жёлто-красное отношение, при котором излучается Монада или равновесный квант:</i></p> <table><tr><th colspan="2">Излучение Монады спектром света</th></tr><tr><td colspan="2"><math display="block">19 \equiv \frac{\Delta K = 1400 \overset{\circ}{A}}{\Delta \mathcal{J} = 70 \overset{\circ}{A}} - 1 = 20 - 1.</math></td></tr></table> <div>(1.53)</div>	110 Божеств в ядерном веществе			<i>Число Божеств</i>	<i>Плотность плазмы</i>	<i>19 лет</i>	$110^2$	$- 72^2$	$\equiv 13 \cdot 28 \cdot 19.$	Излучение Монады спектром света		$19 \equiv \frac{\Delta K = 1400 \overset{\circ}{A}}{\Delta \mathcal{J} = 70 \overset{\circ}{A}} - 1 = 20 - 1.$	
110 Божеств в ядерном веществе														
<i>Число Божеств</i>	<i>Плотность плазмы</i>	<i>19 лет</i>												
$110^2$	$- 72^2$	$\equiv 13 \cdot 28 \cdot 19.$												
Излучение Монады спектром света														
$19 \equiv \frac{\Delta K = 1400 \overset{\circ}{A}}{\Delta \mathcal{J} = 70 \overset{\circ}{A}} - 1 = 20 - 1.$														

Текст Станцы	Расшифровка текста
	<p>При сжатии (-1) ядерным веществом возникает потенциал <math>\sqrt{-1} = i</math>.</p> <p>Появляются окружности - сферы с радиусом <math>i</math> (1.44), которые реализуют себя как каналы экстрасенсорной проводимости, или поверхности квантов Праны:</p> $\ell_i = 2\pi(r_i = i) \quad \text{и} \quad Q_i = 4\pi(r_i^2 = i^2). \quad (1.54)$ <p style="text-align: center;">* **</p> <p>И канал экстрасенсорной проводимости, и квант Праны не имеют формы, но они имеют энергетические потенциалы и подчиняются закону взаимной перпендикулярности различных форм энергий в Едином Космосе.</p> <div style="display: flex; align-items: center;">  <div style="margin-left: 20px;"> <p>Поэтому вектор - эпюрой "квадрата вне Формы" [3], или магического квадрата Еноха [1] будет являться квадрат со стороной (рис.1.4):</p> <math display="block">b^2 = i^2 + i^2 = (-1) + (-1) = -2</math> </div> </div> <p>Рис.1.4 "Квадрат вне Формы" и <math>b = \sqrt{2} i. \quad (1.55)</math></p> <p><b>Поле квадрата вне Формы (1.55, рис.1.4), то есть поля Тонких Энергий, создают самосущие волны гармонических колебаний.</b></p> <p style="text-align: center;">* **</p> <p>Великая Цивилизация использовала потенциал <math>b^2 = -2</math> и <math>b = \sqrt{2} \cdot i</math>, взяв их за радиусы <math>R</math> и <math>r</math> окружности, описывающей - вписанной в основание великой Пирамиды Египта (рис.0.3, табл.0.6).</p> <p>Там, где наша цивилизация болтала парадигмы - глупости, великая Цивилизация творила научно-технический Прогресс.</p>

Текст Станцы	Расшифровка текста																				
<b>И эти Три, заключенные внутри О, суть Сокровенная Четверица, и Десять суть Арупа Вселенная</b>	Потенциал - эквивалент сокровенной Четверице берёт своё начало в ядерных процессах Монады: $1 = 10^{40} \cdot 10^{-40}, \tag{1.56}$ когда пределы насыщения люминофора фотон-фононами достигают квадратов первоначальных величин. Равновесная Монада - сгусток фотонов, излучает логарифмические волны (1.56): $\lg 1 = 0 \Leftrightarrow \lg 10^{40} \cdot 10^{-40} \equiv 40 - 40, \tag{1.57}$ формируя цис-транс изомерическую разность с двумя потенциал - эквивалентами сокровенных сороковиц (1.57). Это поле разностей с ноль - потенциалом является каналом экстрасенсорной проводимости и называется Свабхават О: $\text{Свабхават О} = n - n = \log_x 1. \tag{1.58}$ <div style="text-align: center;">**</div> Логарифмические волны с потенциалом сокровенной сороковицы пульсируют в резонансно - антирезонансном режиме:																				
	<table><tr><th colspan="4">Динамика пульсации сокровенной сороковицы</th></tr><tr><th>Режим</th><th>Дзиан</th><th>Расширяющаяся Вселенная</th><th>Дзиан</th></tr><tr><td>Анти-резонанс</td><td><math>40 - 40 = 0</math></td><td><math>40 + 40 \Leftrightarrow -40 - 40</math> <math>80 \Leftrightarrow -80</math></td><td><math>40^2 - 40^2 = 0</math></td></tr><tr><td>Резонанс</td><td><math>40/40 = 1</math></td><td><math>40 \cdot 40 \Leftrightarrow 1600/80</math> <math>1600 \Leftrightarrow 20</math></td><td><math>(40/40)^2</math> 1</td></tr><tr><td>Результат</td><td><math>\int_0^1 \varphi d\varphi = +1/2</math></td><td>Тянь <math>\equiv (80)^2 = 64 \cdot 10^2</math> Цинь <math>\equiv 1600 \cdot 20 = 32 \cdot 10^3</math></td><td><math>\int_1^0 \varphi d\varphi = -1/2</math></td></tr></table>	Динамика пульсации сокровенной сороковицы				Режим	Дзиан	Расширяющаяся Вселенная	Дзиан	Анти-резонанс	$40 - 40 = 0$	$40 + 40 \Leftrightarrow -40 - 40$ $80 \Leftrightarrow -80$	$40^2 - 40^2 = 0$	Резонанс	$40/40 = 1$	$40 \cdot 40 \Leftrightarrow 1600/80$ $1600 \Leftrightarrow 20$	$(40/40)^2$ 1	Результат	$\int_0^1 \varphi d\varphi = +1/2$	Тянь $\equiv (80)^2 = 64 \cdot 10^2$ Цинь $\equiv 1600 \cdot 20 = 32 \cdot 10^3$	$\int_1^0 \varphi d\varphi = -1/2$
	Динамика пульсации сокровенной сороковицы																				
	Режим	Дзиан	Расширяющаяся Вселенная	Дзиан																	
	Анти-резонанс	$40 - 40 = 0$	$40 + 40 \Leftrightarrow -40 - 40$ $80 \Leftrightarrow -80$	$40^2 - 40^2 = 0$																	
	Резонанс	$40/40 = 1$	$40 \cdot 40 \Leftrightarrow 1600/80$ $1600 \Leftrightarrow 20$	$(40/40)^2$ 1																	
	Результат	$\int_0^1 \varphi d\varphi = +1/2$	Тянь $\equiv (80)^2 = 64 \cdot 10^2$ Цинь $\equiv 1600 \cdot 20 = 32 \cdot 10^3$	$\int_1^0 \varphi d\varphi = -1/2$																	
	(1.59)																				
	В расширяющейся Вселенной возникает пульсация между Хаосом и Гармонией, возникают сгустки Тянь и Небеса Цинь <b>(1.87)</b>																				



Текст Станцы	Расшифровка текста																																																																						
	<p>Сейчас отметим, что в цис-транс изомерическом Абсолюте (Звезда Давида) будет накапливаться энергия, окрашенная в оранжевый цвет (1.61):</p> $152000 : 400 = 380 \equiv \Delta O. \tag{1.62}$ <p>Предполагаю, что оранжевая чакра, расположенная между красной (копчик) и жёлтой (солнечное сплетение), выполняют роль нашего второго сердца, которое перекачивает белую лимфу по приповерхностным слоям костной ткани.</p> <p style="text-align: center;">**</p> <p>Работа наших физиологических органов базируется на взаимодействиях света <math>\rho_5 = 10 \equiv R</math>, эквивалентных радиусу кольца Абсолюта (1.61), и <b>Десять суть Арупа Вселенная.</b></p>																																																																						
Затем идут Сыны, Семь Воителей, Один - Восьмой оставлен в стороне и Дыхание его есть Свето-Датель	<p>Речь идёт о солнечно-лунных рядах:</p> <table><tr><th colspan="10">Лунный свет в солнечном свете</th></tr><tr><td>Лунный ряд</td><td>0</td><td>1</td><td>2</td><td>3</td><td>4</td><td>5</td><td>6</td><td>7</td><td>28</td></tr><tr><td></td><td colspan="8">Семь Воителей</td><td></td></tr><tr><td>Солнечный ряд</td><td>8</td><td>7</td><td>6</td><td>5</td><td>4</td><td>3</td><td>2</td><td>1</td><td>36</td></tr><tr><td></td><td colspan="8">Один Восьмой в стороне</td><td></td></tr><tr><td>Сумма</td><td>8</td><td>8</td><td>8</td><td>8</td><td>8</td><td>8</td><td>8</td><td>8</td><td>64.</td></tr><tr><td></td><td colspan="8">Свето-Датель</td><td></td></tr></table> <p style="text-align: right;">(1.63)</p> <p>В этом поле (1.63) формируется гравитация, свет, Тянь и электромагнитный гравитационный заряд</p> $\rho = 28 \cdot 10^{-20} \text{ Кл.}$	Лунный свет в солнечном свете										Лунный ряд	0	1	2	3	4	5	6	7	28		Семь Воителей									Солнечный ряд	8	7	6	5	4	3	2	1	36		Один Восьмой в стороне									Сумма	8	8	8	8	8	8	8	8	64.		Свето-Датель								
Лунный свет в солнечном свете																																																																							
Лунный ряд	0	1	2	3	4	5	6	7	28																																																														
	Семь Воителей																																																																						
Солнечный ряд	8	7	6	5	4	3	2	1	36																																																														
	Один Восьмой в стороне																																																																						
Сумма	8	8	8	8	8	8	8	8	64.																																																														
	Свето-Датель																																																																						

6...Затем Вторые Семь, которые есть Липики (Мысли  $\rho^* = 28 \cdot 10^{20}$ ), порождённые Тремя (Фонон, 1.61). Отвергнутый Сын один. "Сыны Солнца" бесчисленны ([3], Космогенезис, Станца IV).

В этой Станце речь идёт о том, что после поляризации (поворот на угол  $\varphi_0 = \pi/2$ ) фронта волны света (переход к люминесценции) солнечный ряд белого света перестраивается (1.63):

Лунный свет в люминесцентном свете									
Лунный ряд	0	1	2	3	4	5	6	7	28
	Семь Воителей								
Люминесцентный ряд	1	2	3	4	5	6	7	8	36
	Отвергнутый Сын один								
Суммы	1	3	5	7	9	11	13	15	64.

(1.64)

(1.64)

Лунный ряд в люминесцентном белом свете формирует Космическую Мысль (Липики) с потенциалом  $28 \cdot 10^{20} = \rho^*$ , где  $10^{20}$  - фотонов Станца называет "бесчисленными Сынами Солнца".

В то же время сумма потенциалов в люминесцентно-лунном поле, хотя и остаётся равной 64, но уже имеет не форму сгустка Тянь, а форму двух полусфер небес - Цинь (1.64).

\*\*\*

Сравнивая между собой солнечно-лунный (1.63) и лунно-люминесцентный (1.64) переходы, можно констатировать справедливость закона сохранения энергии для этих переходов, хотя формы энергии изменяются:



Изменение формы энергии при поляризации света				
Компоненты	Лунная	Солнечная	Гравитация	Материя
Солнечно- лунное	28	36	$\rho = 28 \cdot 10^{-20}$ заряд	64 Тянь
Лунно- люминес- центное	28	36	$\rho^* = 28 \cdot 10^{20}$ мысль	32–(-32) Цинь.

(1.65)

Компоненты этих полей пульсируют между сжатием и расширением, формируя Кундалини.

Формирование Кундалини пульсацией				
Коэффициенты		Постоянные		Сгусток - Мозг
Сжатие	Расши- рение	Перио- дичность	Кундалини	
$T_0 \omega_0 / c = 2$	$T_0 c / \omega_0 = 8$	$T_0^2 = 16$	$8 - 2 = 6$	$64 - 6 = 58$ .

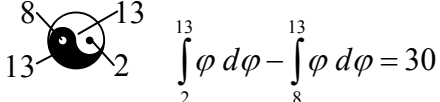
(1.66)

Под влиянием цис-транс изомерии мозг делится на два полушария (1.66), но интегральные разности между полушариями мозга, Тянь-Цинь и Цинь-Цинь остаются постоянными и равными 30:

Единство восприятия энергии окружающей среды		
Тянь-Цинь и два мозга (телепатия собеседников)	Тянь-Цинь  $\int_2^{64} \varphi d\varphi - \int_8^{64} \varphi d\varphi = 30$	Два Мозга  $\int_2^{58} \varphi d\varphi - \int_8^{58} \varphi d\varphi = 30$
	Цинь-Цинь  $\int_2^{32} \varphi d\varphi - \int_8^{32} \varphi d\varphi = 30$	Полушария мозга  $\int_2^{29} \varphi d\varphi - \int_8^{29} \varphi d\varphi = 30$ .

(1.67)

**Закон Единства восприятия энергии из окружающей среды** (1.67) затронув сгусток Тянь, небеса - Цинь, мозг и его полушария, затронет также и биочасы, функционирующие в каждой микротрубочке поры ядра живой биологической клетки:

<b>Пульсация биочасов Клетки</b>	
	$30 \cdot (T_0^2 - 13) = 90.$

(1.68)

Возникает резонансный сгусток света:

$$30 + 90 = 120 \equiv 1 \cdot 2 \cdot 3 \cdot 4 \cdot 5 \equiv 5!, \quad (1.69)$$

начинают формироваться Рупа и гравитационно-магнитные поля в ней.

$$30+90 = 30+3 \cdot 30 = 4 \cdot 30 \equiv T_0 \left( \frac{1^2 + 2^2 + 3^2 + 4^2}{1+2+3+4} \right) \rho_5, \quad (1.70)$$

возникает свечение Тонкой Энергии, полуэллипс которого имеет потенциал 27:

$$30 \cdot 90 = 2700 \equiv \tau^\tau \cdot \rho^2. \quad (1.71)$$

\*\*

Среди магов много шарлатанов, но истинно преданным магии, эзотерике, религии и науке необходимо познать те основы энергетики, о которых нам говорит **Слово великой Цивилизации**.

Путь познания труден. Результат радостен. Свет в конце туннеля испытания нас Кармой уже виден. Только вперёд, а впереди Теогенезис.

### 1.3 Живое - неживое в магическом квадрате азота

Д.А.Халс назвал "Энциклопедию современной магии" Ключом ко Всему [1] и перечислил эти ключи:

1	2	3	4	5	6
Клинопись	Древне-еврейский	Арабский	Санскрит	Тибетский	Китайский

 (1.72)

В перечень **Ключей**" не попали языческие и мировоззренческие взгляды народов России, Америки, Австралии и цивилизации Майи.

Отрицательным моментом работы Д.Халса является отсутствие даже ссылок на использованную литературу, в том числе Книги великой Цивилизации: **Книги Дзиан (Космогенезис, Антропогенезис, Теогенезис), Книгу Перемен, Книгу Мёртвых.**

Такое замалчивание **Слова от Бога** имеет древнейшие корни:

- древний Израиль составил Каббалу и Ветхий Завет, используя в ряде мест тексты из Книги Дзиан дословно, но на саму Книгу не ссылаясь;

- Китай приспособил Книгу Перемен для гадания, но анализ самой Сущности Книги топчется на месте и варианты Перемен подаются, как кому хочется;

- Тибет в своих философско-мировоззренческих позициях использовал **Книгу Мёртвых**, и многие тибетско-китайские концепции берут своё начало в Индии, о которой упоминаний нет даже там, где они обязаны быть.

В работе Халса рассматривается три стадии превращения нуля в единицу ([1], стр.150):

Три стадии превращения нуля в единицу			
Формула (имя Бога)	Каббала	Либер 777	Неаполитанский порядок
AIN	Отрицательное существование	Ничто	Нуль
AIN SYP	Безграничность	Без границ	Неопределённое пространство
AIN SYP AVP	Безграничный свет	Безграничность	Основа возможной вибрации.

(1.73)

Эта запись (1.73) из древнееврейского Ключа. Но такой пусто-болтливый ключ может сделать не только еврей, но любой шизофреник, хотя роль нуля и единицы огромна, ибо они создают разность потенциалов, равную Дзиан:

Дзиан		
Изомерия	Цис	Транс
Интегральные разности	$\int_0^1 \varphi d\varphi = \frac{1}{2}$	$\int_1^0 \varphi d\varphi = -\frac{1}{2},$

(1.74)

а на базе нуля и единицы формируется Космогенезис, Антропогенезис, Теогенезис.

Создаётся впечатление, что пока **Магия подбирала Ключи к космическому замку, какие-то жулики унесли дверь вместе с замком ко всему.**

Проще говоря, магия, как мировоззренческое начало, не смогла сформулировать, что такое **Всё** и что такое **нуль во Всём**? Формулирую.

**Всё - это Единый Космос, существующий как энергия в Движении под влиянием разности потенциалов в поле.**

*Ноль возникает как разность при антирезонансном равновесии ( $0 = X - Y$  при  $X = Y$ ), не имеет никакого отношения к точке в пространстве и проявляет себя как Хаос броуновского движения.*

**Ноль трансформируется в единицу при переходе пульсирующей системы от антирезонанса к резонансу:**

$$\overset{\text{антирезонанс}}{X} - \overset{\text{резонанс}}{Y} = 0 \Leftrightarrow 1 = X/Y, \text{ при } X = Y, \quad (1.75)$$

**где равновесие резонанса проявляет себя в Гармонии направленного поступательного антирезонансного движения:**

$$\underset{\text{резонанс}}{X} / \underset{\text{антирезонанс}}{Y} = 1 \equiv (X + 1) - Y, \text{ при } X = Y. \quad (1.76)$$

**Антирезонансные и резонансные равновесия с потенциалами 1 и 0 взаимосвязаны логарифмическими колебаниями:**

$$\log_x 1 = \log_y 1 = 0. \quad (1.77)$$

**Логарифмические колебания полей с антирезонансным равновесием приводят к бесконечности Единого Космоса:**

$$\log_y \log_x 1 = \log_y 0 = \infty. \quad (1.78)$$

*Вот и всё решение проблемы ноль-единицы. И не надо, оказывается, все трепать имена еврейских богов (1.73).*

\*  
\*\*

**Алхимия является составной частью магии, которая переводится как **Моя власть**.**

**Моя Власть** - это Власть Личности над Социумом, **власть меньшинства над большинством**, где реальные силы на стороне большинства, а правящему меньшинству приходится **сначала разделять большинство, и лишь затем властвовать над ним.**

Успех разделения большинства связан с его **мировоззренческим оглушением и секретностью тактико-стратегических методологий оглуляющих операций.**

Этим требованиям полностью отвечает Магия, которая реализует себя в **Секретности Мистерий** и призрачной недостаточностью - недосказанностью в информации для широкой публики.


Примером такого лукавого подхода к своим публикациям является магический квадрат азота ([1], табл.1.6).

Таблица 1.6

**Магический квадрат азота [1]**

c	k	A	1	$M \equiv \mu^*$
i	$8 = 6 + 2$	$8 = 7 + 1$	$\begin{smallmatrix} \circ \\ \vdots \\ \circ \end{smallmatrix}$	a
g	$8 = 5 + 3$	1	$8 = 1 + 7$	g
a	$8 = 4 + 4$	$8 = 3 + 5$	$8 = 2 + 6$	i
$M \equiv \mu$	n	a	i	c.

Поскольку большинству этот квадрат покажется абракадаброй, а авторы квадрата вымерли, то я буду рассматривать квадрат азота с позиции законов Единого Космоса.

 - символ означает, что поле, в котором формируются атомы, как равновесные планетарные системы микромира, в том числе и атом азота, черпают свою энергию из окружающей среды самосущих волн за счёт крутящих моментов вихрей (табл.1.6).

$$\begin{array}{c} \updownarrow \\ \leftarrow \rightarrow \\ \updownarrow \\ \leftarrow \rightarrow \end{array} \quad \begin{array}{l} T_o + \tau = 7 \cdot 1 \\ T_o + \tau = 7 \cdot 1 \end{array}$$

- показывает, что равновесный квант самосущих волн с потенциалом, равным  $1 = \sin \pi/4 \cdot \sec \pi/4 = \cos \pi/4 \cdot \csc \pi/4$ , попадая в Арупу - Рупу формирует при антирезонансе ( $T_o + \tau = 7$ ) семь электрон-позитронных пар, а их суммы являются источником формирования атомного веса азота:

Свет и Азот: атомный вес и число электронов				(1.79)
Масса света		Атомный вес азота без света в а.е.м	Сумма электрон- позитронов	
Сжатие	Расширение			
$m_c^{**} = 0,002$	$m_c^* = 0,008$	$14,008 - m_c^* = 14$	$7 + 4 = 14.$	

В точке пересечения электрон-позитронных пар, то есть при резонансе, возникает **энергетическая оболочка атома азота** с потенциалом, равным 49 [7].

$$\text{Символ } \bigcirc \equiv (T_o + \tau) \times 1 \times (T_o + \tau) \times 1 = 49 \cdot (1^2 = i^8), \quad (1.80)$$

где Единицы в магическом квадрате азота отстоят друг от друга **на ход шахматного коня**, то есть электрон-позитрон находятся на двух смещённых между собой орбитах (рис.1.5).

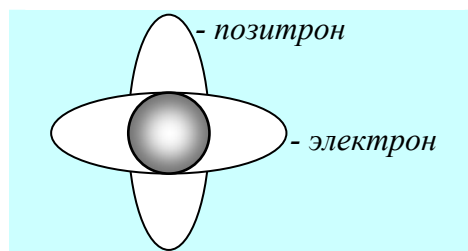


Рис.1.5 Электрон-позитронное смещение

Электрон-позитронное смещение динамично, и в режиме вращения происходит взаимная трансформация компонент.


излучение - символ указывает на то, что оболочка (1.80),  
  
 оболочка - наполненная массой - зарядами азота (1.79) периодически излучает энергию в окружающую среду (табл.1.7).

Таблица 1.7

**Динамический энергетический баланс атома азота**

Поступление из метагалактики	Азот			Периодичность электрической пульсации	Пульсация среды
	Оболочка	Атомный вес	Электрон-позитрон		
$(T_0 + \tau) \cdot \sqrt{2}^4$	49	14	7+7	$T_0^2 = 16$	$\frac{49}{16} = \left(\frac{7}{4}\right)^2 = \frac{\rho^2}{q}$ пальма в квадрате.
$= 28 \equiv$ $\rho \cdot \rho^*$	$\frac{49}{14 + 7 + 7} = \frac{7}{4} = \frac{\rho}{q}$ пальма			излучение	

**Во внутреннем поле азота коэффициент пульсации равен пальме, а над оболочкой атома коэффициент пульсации увеличивается до пальмы в квадрате.**

\*\*

Пульсирующая равновесная энергетическая система магического квадрата азота пульсирует, возмущая как своё внутреннее поле, так и поле окружающей среды.

1. **Во внутреннем поле азота** возникают магнитный сгусток - масса  $M \equiv 14 \cdot 10^{20} \equiv \mu^*$  (память) и магнитный элементарный заряд  $M \equiv 14 \cdot 10^{-20} \equiv \mu$  (табл.1.6, табл.1.7).

В магическом квадрате азота магнитный заряд и память расположены по диагонали друг к другу между полями 8 и 1 (табл.1.6).

Во внутреннем поле азота возникает магнитный крутящий момент:



$$\left. \begin{aligned} \mu \cdot (8^2 - 1^2) - \mu \cdot (8 \cdot 1) &= \mu \cdot 55 \Leftrightarrow \mu^*; \\ 55 &\Leftrightarrow 10^{40}, \end{aligned} \right| \quad (1.81)$$

где появляются  $10^{40}$  фотонов и пятеричная энергия магнито-гравитационной связи:

Магнетизм и гравитация в поле азота	
Гравитация	$55 = 1+2+3+4+5+6+7+8+9+10$
Магнетизм	$55 = \frac{1}{7} (1^2+2^2+3^2+4^2+5^2+6^2+7^2+8^2+9^2+10^2) = \frac{385}{7}.$

(1.82)

В поле резонансных колебаний, когда

$$7 = T_o + \tau \rightarrow \tau^2 \cdot T_o^2 \cdot \rho_5^2 = 14400,$$

возникает суммарный потенциал, обожествлённый древними греками, как Бог времени Кронис [15]:

$$\text{Бог времени Кронис} \equiv 55 + 14400 = 14455. \quad (1.83)$$

**2. Окружающая среда, возмущенная колебаниями оболочки атома азота, будет являться источником (1.63, 1.64).**

В солнечно-лунном свете появляются семь восьмёрок:  $1+7 = 8$ ;  $2+6 = 8$ ;  $3+5 = 8$ ;  $4+4 = 8$ ;  $5+3 = 8$ ;  $6+2 = 8$ ;  $7+1 = 8$ ; а  $8+0 = 8$  - отвергнуто как энергия, затраченная на формирование Тянь (1.63, табл.1.6).


Над оболочкой Недр Ядра (символ О) возникает облако зарядов, пульсирующих в резонансно-антирезонансном режиме:

Пульсация атома азота			
Режим	Антирезонанс	Резонанс	Инверсия
Потенциал	$7 \cdot 8 = 56$	$8^7$	$8^7 : 56 = 7 \cdot 8^6 \Leftrightarrow \frac{1}{7} 8^6.$

(1.84)

Инверсионная пульсация наиболее ярко проявляет себя в аммиаке  $\text{NH}_3$ , молекула-пирамида которого, пульсируя, выворачивается наизнанку и издаёт резкий запах, отрезвляющий пьяного.

Логарифмические волны, сопровождающие эпицентры инверсионной пульсации (1.84), формируют Кундалини в полях Рупы - Арупы:

Кундалини в атоме азота		
Эпицентр инверсии	Логарифмические волны Кундалини	Символизм Кундалини
$\frac{(T_0 + \tau) \cdot 8^6}{1} \Leftrightarrow \frac{1}{(T_0 + \tau) \cdot 8^6}$	$(T_0 + \tau) \cdot \log_8 8^6 = \frac{1}{(T_0 + \tau)} \log_8 8^{-6}$ $(T_0 + \tau)^2 (6 = 3,5 + 2,5) \Leftrightarrow -6 = -(3,5 + 2,5)$	 Шесть штрихов.

(1.85)

Магия преподносит штрих - запись изменения Кундалини как **Китайский Ключ** ([1], 1.85). Это неверно. Штрих - запись Кундалини пришла к нам от великой Цивилизации из **Книги Перемен**.

Книга Перемен описывала изменения Периодической Системы Геномов Наследственности (рис.0.6), где максимальный геном имеет потенциал:

$$8^2 - 1^2 = 63,$$

и пульсирует в цис-транс изомерии Кундалини ( $6 \Leftrightarrow -6$ ), заставляя колебаться оболочку генома, точно так же, как оболочку атома азота.

В магическом квадрате азота буквы занимают только периметр квадрата (табл.1.6), и, в то же время, физическую сущность периметра атома отражают импульсы вращения электрон-позитронных пар над ядром атома и положительно-отрицательно зарядов импульсов магнитных пар (рис.1.6).

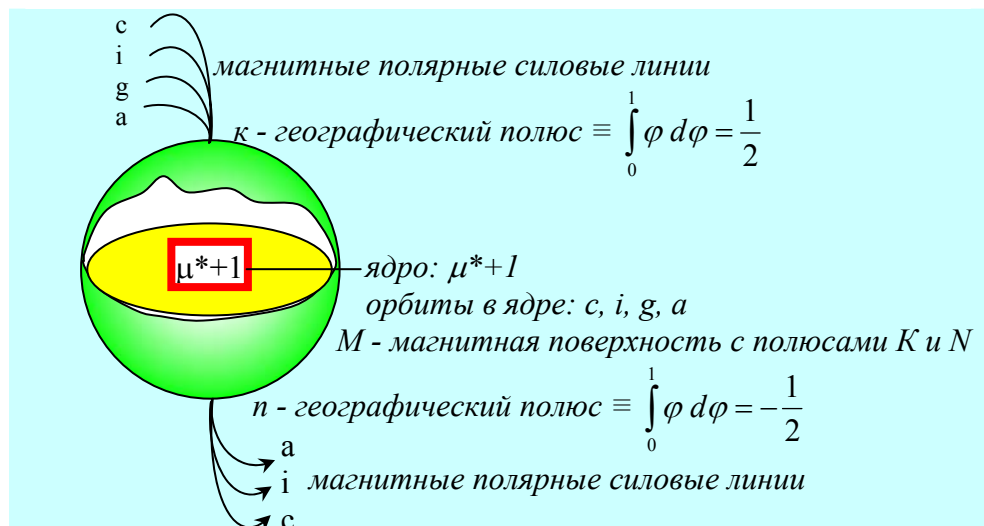


Рис.1.6 Магический квадрат азота (табл.1.6) в форме биполярного ( $\mu \Leftrightarrow \mu^*+1$ ) ядра и квантованных орбит над ядром и внутри ядра.

Каждая из букв, описывающая орбиту, описывает, в конечном счёте, импульс вращения кванта на орбите, а результирующий момент вращения в атоме азота будет равен разности импульсов вращения на орбите:

Колебательный контур магнитного поля атома азота			
Магнитные полюса	Орбиты		
	По горизонтали	По вертикали	Разности
$\mu^* + 1$	$a + k + c$	$a + g + i + c$	$k + g + i$
$\mu$	$n + a + i + c$	$a + g + i + c$	$n + g$
Разности	$k + n + i$	$\Leftrightarrow 0$	$\Leftrightarrow k + n + i.$

Колебания географических полюсов  $k + n$ , равных разности Дзиан (рис.1.6):

$$\pm(k + n) = 1/2 - (-1/2) = \pm 1, \quad (1.87)$$

и тогда контур магнитных колебаний (1.88) примет вид:

$$1 + i \Leftrightarrow 0 \Leftrightarrow -(1 + i). \quad (1.88)$$

Произойдёт перегруппировка квантов на орбитах, то есть кванты будут переходить с орбиты на орбиту:

$$+2i \Leftrightarrow 0 \Leftrightarrow -2 \quad \text{и} \quad i = \pm 1. \quad (1.89)$$

Атом будет сжиматься в пределах от  $2 \equiv T_o \omega_o / c$  до нуля, возмущая ядерное вещество и создавая в нём интегральную разность потенциалов:

Пульсация ядерного вещества в атоме азота	
Колебания	Периодичность формирования Тянь-Цинь
$\pm 2 \Leftrightarrow 0 \Leftrightarrow 72$	$T_o^2[(\pm 2)^2 - 0] = \pm 64 \equiv \pm[32 - (-32)].$

(1.90)

Формированием *Тянь-Цинь* заканчивается любое образование *микро-макро планетарных систем, в том числе и атома азота.*

\*  
\*\*

*Пульсация ядерного вещества (1.90) в пульсирующем Космосе приводит к равновесию:*

Волновое равновесие Космоса			
Космос	Ядерное вещество	Равновесие	Волна
$\pm \int_0^1 \varphi d\varphi = \pm \frac{1}{2}$	$\mp \int_0^2 \varphi d\varphi = \pm 2$	$(\pm 1/2) \cdot (72) = \pm 1$	$+1 \sim -1.$

(1.91)

Достижение волнового равновесия (1.91) приводит к формированию на оболочке двойного электрического слоя  $49 \pm 1$  (рис.1.7).

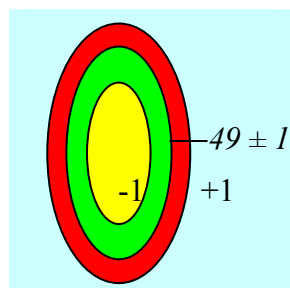


Рис.1.7 Двойной энергетический слой оболочки

В магическом квадрате азота появляются две единицы (табл.1.6).

Поверхностный слой биоклетки начинает двойные молекулярные спирали [7].

Потенциал внешней стороны поверхности, равный  $49+1 = 50$ , предопределяет пульсацию небес-Цинь, энергию пятеричной связи, **25 клеток магического квадрата азота** (табл.1.6), и обожествляется иудеями как вездесущий Бог Айн СОФ, являясь в реальности логарифмической волной взаимодействия:

<b>Физическая Сущность Бога Айн СОФ [12]</b>
$50 = \lg \rho_3 \cdot \rho_4 / \rho_1 = 10^{26} / 10^{-24}.$

(1.92)

Внутренняя сторона поверхности с потенциалом  $49 - 1 = 48$  функционирует на границе раздела синей и голубой областей спектра, то есть на волне длиной  $4800 \text{Å} \cdot \rho_2^2 = 48 \text{Å}$ .

Воздействие потенциала 48 мы ощущаем как воздействие на организм чакры Третий Глаз при медитации: электрический импульс  $q \cdot c$  вызывает на волне  $4800 \text{Å}$  биоток силой  $10^{-4} \text{A}$  и индукцию с потенциалом  $10^{+4} \text{V/A}$ .

Между внешней и внутренней сторонами поверхности оболочки (рис.1.7) возникает цис-транс изомерическая разность потенциалов, магнитное поле которой регенерирует оболочку, например, заживляет кожу:

Реставрация и рост оболочек			
Компоненты	Потенциалы	Паль- ма	Обо- лочка
$\frac{\text{Двойной слой}}{\text{магнитное поле}}$	$\frac{\pm [(50^2 - 48^2) - (48^2 - 50^2)]}{\sqrt{\mu\mu^*} = 14}$	$\frac{7}{4}$	$= 49.$

(1.93)

\*  
\*\*

**12. Тогда Свабхават посылает Фохата, чтобы отвергнуть Атомы. Каждый есть часть Ткани. Отражая, подобно зеркалу, Самосущего владыку, каждый, в свою очередь, становился Миром ([3], Космогенезис, Станца III).**

Смысл этого текста состоит в том, что из недр ядерного вещества поступают электрические кванты с потенциалом  $\tau^2 = 3^2 = 9$ .

Установлено, что поступление квантов из недр ядерного вещества, куда они поступают из тьмы самосущих волн (Космоса Невесомости) распределяют энергию между объёмом и поверхностью в отношении 1 : 9 [23].

Распределение энергии между объёмом и поверхностью	
$\frac{\text{Поверхность}}{\text{Объём}} \equiv \frac{Q = 4\pi \cdot R^2}{V = \frac{4}{3}\pi \cdot R^3} = \frac{3}{R} \equiv \frac{9}{1},$	
где $R = 1/3$ .	

(1.94)

Следствием такого распределения являются:

- расщепления генной наследственности 1:3 через два поколения (закон Г.Менделя);
- распределение энергии Космоса между энергией Материи и Тонкой Энергией в отношении 1:3;

- пульсация ядра периодической системы геномов в диапазоне  $6 \Leftrightarrow 9$  (0.54, рис.0.6);
- появление в цитоплазме биоклетки субструктуры (9+0);
- внедрение потенциала  $\tau^2$  в двойной слой оболочки (1.93):

$$49 + 9 = 58. \quad (1.95)$$

\*\*

Внедрение кванта  $\tau^2$  в оболочку насыщает энергетическую систему. Атом *отвердевает*. Появляются молекулы - *атомы* газов, жидкостей, твёрдых тел. Каждый Атом становится Миром, подобием Единого Космоса. Живым и неживым. Появляется внутреннее поле магического квадрата азота (табл.1.6), у живого возникает мозг:

Закон насыщения оболочки		
Насыщение оболочки	$49 + 9 = 58$	$49 - 9 = 40$ Сороковица
Азот (табл.1.6).	$1+7 \cdot 8+1 = 58$	$(58-2 = 26) \cdot 1/2 = 13$ биочасы
Мозг	$28 + 14 + 16 = 58$ $\sqrt{\rho\rho^*} + \sqrt{\mu\mu^*} + \sqrt{qq^*}$	$58 - 16 = 42$ сердце.

(1.96)

Насыщение оболочки является **Ключом**, но не ко Всему, а только к Атомам, Мозгу, Сердцу, Сороковице...(1.96).

\*\*

Ядром магического квадрата азота является резонансный потенциал (табл.1.6):

$$M^2 \equiv \mu\mu^* \equiv 14^2 \equiv 196. \quad (1.97)$$

Солнечно-лунный Свето-Датель формирует вокруг магнитного ядра поле с потенциалом, равным (табл.1.7):

$$K_1 \equiv 7 \cdot 8 + 1 = 57, \quad (1.98)$$

где  $K_1$  - пульсирующая магнитная магма в атоме азота, 1 - разность (3,5 – 2,5) в поле Кундалини, перемещающая магму от недр ядра к поверхности Атома, как это имеет место у магмы Земли [16].

Расщепляющаяся спираль Кундалини , обладающая 3,5 оборотами витков спирали совьёт из магмы азота 196 витков (1.97):

$$7 \cdot 8 \cdot 3,5 = 196 \equiv \mu\mu^*. \quad (1.99)$$

Число витков расширяющейся спирали магмы точно соответствует потенциалу магнитного ядра (1.99).

\*\*

Магнитное поле удерживается электрическим полем; магма Земли – её литосферой.

В магическом квадрате азота "магма" его внутреннего поля  $K_1 = 57$  (1.98) будет удерживаться электрическими электрон-позитронными орбитами, потенциал которых должен быть, как минимум, на единицу больше потенциала магмы:

Колебание оболочки азота (табл.1.6)		(1.100)
Электрическое сжатие	Магнитное расширение	
$K_2 = K_1 + 1 = 58$	$K_1 = 57.$	

Анализ магического квадрата азота показывает, что его электрическая оболочка  $K_2$  представлена буквами и единицей (1.100, табл.1.6):



$$K_2 \equiv c+k+a+1+a+g+i+c+i+a+n+a+g+i \equiv 4a+3i+2g+2c+n+k+1 = 58, \quad (1.101)$$

где  $k$  и  $n$  - полюса, обладающие спином и имеющие разность спинов, равную 1 и  $k+n = 1$  (рис.1.6).

С учётом полюсов выражение (1.101) примет вид:

$$2 \cdot (2a+g+c) + 3i = 56 = 58 - 1 - (k+n=1). \quad (1.102)$$

Эта электрическая оболочка с потенциалом 56 формируется энергетическим потоком из Космоса Невесомости, который сгущает небесные тела с преимущественным коэффициентом 2,5 [16].

Иными словами, в электрическое поле Земли (и магического квадрата азота) поступает спираль Кундалини сжатия в 2,5 оборота, и из электрического потенциала 56 (1.102) накручивается спираль в 140 оборотов:

$$56 \cdot 2,5 = 140 \equiv 2 \cdot (2a + g + c) + 3i. \quad (1.103)$$

В магическом квадрате азота (табл.1.6) возникает магнитное неравновесие:

Структура магического квадрата азота (табл.1.6)			(1.104)
Ядро	Магнитная плазма	Электрическая плазма	
$\mu\mu^* = 14^2$ 196	$K_1 =$ 57	$K_2 = 2 \cdot (2a+g+c)+3i+2 =$ 58.	

Полученные данные (1.104) объясняют причину неудач с термоядерным реактором: наши академики хотят загнать магнитное поле в электрическую ловушку, а Космос им не позволяет, так как Природа устроена вопреки академикам.

\*  
\*\*

Электрон-позитронные электрические импульсы на квантованных орбитах атома азота связаны друг с другом антирезонансными неравновесными контурами колебаний типа (табл.1.6):

$$\left| \begin{array}{l} a \Leftrightarrow 7 + 1 \Leftrightarrow 1 \Leftrightarrow 3 + 5 \Leftrightarrow \pm a \\ g \Leftrightarrow 5 + 3 \Leftrightarrow 1 \Leftrightarrow 1 + 7 \Leftrightarrow \pm g \\ c \Leftrightarrow 6 + 2 \Leftrightarrow 1 \Leftrightarrow 2 + 6 \Leftrightarrow \pm c, \end{array} \right| \quad (1.105)$$

в которых при одинаковой направленности волн возникают колебания типа:

$$(a - a) = (g - g) = (c - c) = 0 \Leftrightarrow 7 \equiv 8 - 1. \quad (1.106)$$

Эти колебания в условиях равновесия формируют семеричность Продолжительностей или **Семь вечностей Единого Космоса** [3].

Смена направлений вращения электрон-позитронного импульса (1.105) меняет разности потенциалов в выражении (1.106) на суммы:

$$(a + a) = (g + g) = (c + c) = 7,$$

где  $a = g = c = 7/2 \equiv \text{Кундалини}. \quad (1.107)$

Это электрическое поле, сжимающее литосферу, уравнивает энергетический магнит. Расширяющий литосферу поток с потенциалом  $7/2$ , пробивает себе путь из Недр сгустка (табл.1.8).

**Мгновенное равновесие в магическом квадрате азота**

Компоненты	Ядро	Магнитная магма	Первые электри- ческие поля
Потенциалы в одну Вечность (1.103, табл.1.6)	$\mu\mu^* =$ $14^2 =$ 196	$[(1+7)+(2+6)+(3+5)+$ $(4+4)+(5+3)+(6+2)+$ $(7+1) = 56] \cdot 7/2$ $= 196 = 14^2$	$2 \cdot (2a+g+c) =$ $2(2 \cdot 7/2 + 7/2 + 7/2)$ $= 28 = 196 \cdot 1/7$
Равновесие	196	196	$(T_o + \tau) \cdot 28 = 196$ Семь Вечностей.

Прекращение импульсного электрического равновесия на квантованных орбитах электрон-позитронных электрических пар (табл.1.8) связано с формированием трёх импульсов  $3i$  (1.103):

<b>Выход электрического поля из равновесия</b>	
$\Delta E = [2 \cdot (2a+g+c) + 3i = 56] - [2 \cdot (2a+g+c) = 28] =$ $3i = 56 \text{ отн.единиц.}$	(1.108)
$3i \Leftrightarrow 56 \cdot 7/2 = 196 = 14^2$ В поле энергетического потока Кундалини.	

В структуре магического квадрата азота электрический импульс  $i$  пульсирует как в антирезонансном, так и в резонансном режимах (табл.1.6):

<b>Пульсация электрического импульса <math>i</math></b>	
Антирезонанс	Резонанс
$i \Leftrightarrow 5+3 \Leftrightarrow 1 \Leftrightarrow 3+5 \Leftrightarrow \pm i$ $(i - i = 0) \Leftrightarrow 7$ $(i+i = 2i) \Leftrightarrow 7 \text{ и } i \Leftrightarrow 7/2$	$i \Leftrightarrow \pm i$ $i - i \Leftrightarrow 0$ $i + i \Leftrightarrow 7/2 + 7/2 = 7.$

Появление колебательного контура  $i + i \Leftrightarrow 7$  приводит к энергетической реализации Семи Вечностей и формированию равновесия в магическом квадрате азота (табл.1.8).

Пульсация  $-(i+i) = -7$  и  $+(i+i) = +7$  формирует семь электронов и семь позитронов в атоме азота, которые концентрируются на квантованных уровнях как магнитное поле семеричного ряда, переходящего в гравитационный:

$$140 = 1^2 + 2^2 + 3^2 + 4^2 + 5^2 + 6^2 + 7^2 \equiv 5 \cdot (1 + 2 + 3 + 4 + 5 + 6 + 7). \quad (1.110)$$

В нашей современной теории строения атома эти квантованные спектральные уровни обозначаются в справочной литературе как K, L, M, N, O, P, Q, но не понимая их наука ввела гипотетические (надуманные) главные и побочные квантовые числа.

\*\*

При антирезонансной пульсации электрических полей (1.103):

$$2 \cdot (2a + g + c) + 3i \Leftrightarrow 56; \quad 28 + 21/2 \Leftrightarrow 56; \quad 21 \Leftrightarrow 56, \quad (1.111)$$

над любым сгустком возникают полярные вихри с потенциалами  $\pm 21 \equiv \pm(5+7+9)$ , формирующими в живом биоклетку и сердце:

$$21 - (-21) = 42 \equiv 28 + 14 \equiv \sqrt{\rho\rho^*} + \sqrt{\mu\mu^*}. \quad (1.112)$$

Пульсация поля (1.111) с продолжительностью  $(T_0 + \tau)$  в поле  $H \equiv T_0 \sqrt{\sin \pi/4} = 2^{7/4}$ , приводит к сгустку, описать объём которого можно величиной объёма великой Пирамиды:

$$\frac{21}{T_0 + \tau = 7} = 3 \Leftrightarrow \frac{56}{T_0 + \tau = 7} H = 8 \cdot H \text{ и } 1 = \frac{1}{3} 8H = V_n, \quad (1.113)$$

где  $H$  - высота великой Пирамиды.

\*\*

Мой анализ структуры магического квадрата азота (табл.1.6) **коренным образом изменяет научные представления о Строении Веществ вообще и Строении Атома в частности.**

Модель строения Атома, предложенная *Нильсом Бором* и основанная на структуре атома как композиции трёх составляющих: нейтрона, протона и электрона - **будет отвергнута как несостоятельная.**

Такое отрицание **в Процессе Познания естественно**, ибо модель строения Атома по Н.Бору становится тормозом для наукоёмких производств, открывающих в Атоме позитрон, антипротон и дырки, несущие заряды электрона, протона, позитрона и антипротона.

Вместо трёх компонент Атома по Н.Бору мы сегодня перешли к десяти компонентам, формирующим Атом:

К Эволюции понимания строения Атома				
По Н.Бору	Электрон	Протон	Нейтрон	-
	Три компоненты атома			
Открыто на сегодня	Электрон-позитрон 2	Протон-антипротон 2	Нейтрон-дырка 2	Дырки с зарядами 4
	Десять компонент атома.			

(1.114)

Однако сегодняшние открытия на смогут трансформироваться в целостную теорию, во-первых, из-за инерционного влияния на умы авторитета Н.Бора, во-вторых, из-за принципиального отрицания современной наукой Тонких Энергий.

**Отрицая Тонкие Энергии, мы отвергаем источник энергии полей Материи.**

Мы установили, что Атом связан с дыркой, но понимаем дырку как пустоту - вакуум, в котором нет энергии.

Пичкая своё Мировоззрение призраком пустоты вне Энергии, мы не только нарушаем закон сохранения энергии, но и направляем научно-технический прогресс нашей цивилизации в сторону **Убожества Мышления и варварского разграбления энергетических ресурсов нашей Матери - Земли.**

Такова ситуация в науке. Но **Магия и Наука – близнецы-братья, если их рассматривать с позиции методологии Познания Человеком Реалий окружающего нас Единого Космоса.**

При всём различии исходных Парадигм в науке и в магии эти парадигмы остаются иллюзиями, как выводы семи слепцов-мудрецов, ощупывающих слона.

**Каждый хранит в Памяти То, Что успел ощупать.**

\*  
\*\*

Будущие научно-технические разработки по анализу строения веществ и Атомов возьмут за основу поток энергии самосуших волн космической гравитации и найдут их распределение по энергетическим уровням Арупы - Рупы (табл.1.9).

**Распределение Космической Энергии  
в Арупе - Рупе по скоростям трансформации форм**

Поступление энергии		Исходная энергия из Метагалактики $E = \rho\rho^* = 28^2 = 16 \cdot 49 \equiv T_0^2(T_0 + \tau)^2$			
Распределение по скоростям	Продолжительности	Арупа	Рупа	Арупа - Рупа	
		$\tau = 3$	$T_0 = 4$	антирезонанс	резонанс
				$T_0 + \tau = 7$	$T_0 \cdot \tau = 12$
	Гравитация: $\rho\rho^*/T$	Целого числа нет	$\frac{E}{T_0} = 196$	$\frac{E}{T_0 + \tau} = 112$	Целого числа нет
	Магнетизм: $\mu\mu^*/T$	Целого числа нет	$\frac{\mu\mu^*}{T_0} = \frac{196}{4} = 49$	$\frac{\mu\mu^*}{T_0 + \tau} = \frac{196}{7} = 28$	Целого числа нет
	Электричество: $qq^*/T$	Целого числа нет	$\frac{qq^*}{T_0} = \frac{256}{4} = 64$	Целого числа нет	Целого числа нет.

Поглощение - излучение квантов равновесными Монадами происходит всегда, когда потенциал кванта достигает целого числа и не является дробным (табл.1.9).

Поэтому сгусток любого вещества, в том числе и любой Атом, поглотит из равновесного поля скорости трансформации Космической Энергии:

$$v = \frac{\rho\rho^*}{T_0^2(T_0 + \tau)^2} = \frac{28^2}{16 \cdot 49} = \frac{784}{784} = 1, \quad (1.115)$$

сумму квантов с общим потенциалом, равным (табл.1.9):

$$K = 196 + 112 + 49 + 28 + 64 = 449. \quad (1.116)$$

Поглощенное К-поле (1.116), пульсируя в **Семи Вечностях** [3] будет излучать полярные вихри с потенциалами:

$$(K=449) - (T_o + \tau = 7 \equiv \mu\mu^*/28) = 441 \equiv (\pm 21)^2, \quad (1.117)$$

формирующими не просто вещества, но живые биоструктуры клеток.

Вместе с тем, в окружающей среде появляется разность потенциалов, равная (1.115, 1.117):

$$\rho\rho^* - (\pm 21)^2 = 784 - 441 = 3 \cdot 49 \equiv \tau \cdot (T_o + \tau)^2. \quad (1.118)$$

Возникнут электрические предпосылки для формирования оболочек в поле Арупы.

В ядрах сгустков, в том числе Атомов, возникнут предпосылки для формирования зародышевых пузырьков Недр ядер (1.118).

В Арупе Космоса Невесомости будут формироваться пузырьки - оболочки наших душ в процессе реинкарнации (1.118).



## Глава 2

### Круги Универсум Шумеров и Иисуса Христа

Второй том "Энциклопедии современной магии" анализирует алфавитный ход языков и символизма народов Запада, представленных в виде Ключей ко Всему:

№№ ключей	7	8	9	10	11	12	13
Наименование	Греческий	Коптский	Руны	Латынь	Энохианский	Таро	Английский (2.1)

Всего в энциклопедии представлено тринадцать ключей, и их объяснение связано с тринадцатью ангелами Эноха [2]

Предполагаю, что ангелы появились в магии после парадигм - иллюзий, а изначально всё было связано с периодическим изменением Продолжительностей перехода от одной формы энергии к другой, и отсчитываемых по тринадцати лунному Календарю.

\*  
\*\*

К алфавитному ходу изучения событий Магия Запада пришла под влиянием Ветхозаветной литературы, в которой, например, **Книга Бытия** имеет шифр: одна буква расшифровывается через 62500 букв.

Сегодня доказано, что зашифрованные в Библии События используются точно, если шифр производится буквами в пропорции 62500:1.

Однако, никто из магов, прославленных и не очень, так и не понял, что шифр - ключ повторяет ритмику Продолжительности Арупы в Едином Космосе:

<b>Шифр Библии и Единый Космос</b>	
$62500:1 \Leftrightarrow 10^9:(T_0^2 = 16 \equiv 0,0625),$ где $10^9$ - эффективность взаимодействий.	(2.2)

Посвящённые в тайны магии на Западе знали форму передачи информации телепатией: это 22 буквы Авраама (Тора) и работа Иисуса и Иоанна над "Откровениями" [12, 15].

Иисус передавал **Фразу и Ключ** к ней. После расшифровки рисовалась **Фигура**, то есть символ, математическая вектор - эпюра, буква, число и так далее.

Казалось, путь прост: рисуй букву, читай текст - поймёшь Смысл Бытия Единого Космоса.

Однако алфавиты, как и сам язык, изменялись, а языки, алфавитный ход которых изучала магия (2.1), не составляли исключения.

Составитель "Энциклопедии современной магии" Д.А.Халс закончил свой труд как патриот - **английским языком** [12].

**Он знал, но не захотел считаться с Пророчеством Святой Девы Марии о том, что истинное понимание законов Единого Космоса придёт из России.**

\*\*

Праславянский (русский) **язык Диваногари** в своём алфавите имел 220 букв, то есть в десять раз больше, чем 22 буквы Авраама, которым научили его Боги.

Это было во времена **длинных жизней и больших форм медленного ума**. Всё приходилось разъяснять подробно. Понимали с трудом. Например, Авраам родил сына, когда ему стало 500 лет.

Земля сжималась. Плотность упаковки энергии увеличивалась. **Увеличивалась скорость энергетических процессов.** Эволюционировали речь и алфавиты, и информатив в них увеличивался.

Алфавит языка Диваногари сократился с 220 букв до 30, но сама символика букв, их рисунок стали компактно вписываться в информационную матрицу Кундалини.

**Русский алфавит, записанный в матрицу Кундалини, описывает своим символизмом единство законов формирования Земли и Мозга [21].**

\*\*

Сущность моей расшифровки корней алфавитного хода современной азбуки русского языка состояла в следующем:

**За основу я взял ячейку - квадрат со стороной, равной 0,5 относительных единиц, то есть квадратный Дзиан.**

Дзиан был выбран потому, что он является генератором перемен - эволюций в Космогенезисе, Антропогенезисе [3, 4].


Для составления матрицы - информации я взял 12 квадратов Дзиан, что обеспечивало запись в форме Дзиан компонент продолжительности ( $T_0 \cdot \tau = 12$ ) Арупы - Рупы в резонансе, а также цис-транс изомерию поверхностной волны света - Кундалини:  $6 - (-6) = 12$ .

Таким образом, **информационная матрица Дзиан - Кундалини записывала процессы, скорость ( $v$ ) которых была равна единице:**

<b>Скорость процессов в информационной матрице Кундалини</b>	(2.3)
$v = \frac{(6 = 3,5 + 2,5) + (6 = 3,5^2 + 2,5^2)}{T_0 \tau = 12} \equiv 1.$	


Вписанные в информационную матрицу Кундалини Числа, буквы, знаки препинания, твёрдый и мягкий знаки, знаки математических операций занимали строго определённое место и их потенциалы всегда легко определялись по числу затронутых знаком граней Дзиан.

Например, буква **О**, она же ноль или Не-Число, она же Свабхават **О**, располагалась в матрице либо в двух (заглавная), либо одного (прописная) Дзиан:



Заглавная

Буква **О**



Прописная.

(2.4)

Буква **О** (или не число 0) была не единственной связью между Азбукой и Цифрами: знак бесконечности ( $\infty$ ), или символ над Вечностью, и цифра 8 также помогали определению связи цифра - буква [21].

**Взаимоперпендикулярность символов 8 и  $\infty$  описывала поляризацию фронта волны света при взаимном переходе солнечного света в люминесцентный в условиях расширяющейся с потенциалом восемь Вселенной.**

Анализ алфавитного хода Азбуки современного русского языка показал, что **русский современный алфавит включает в себя пять групп [21]:**

Пять групп русского современного алфавита				
1	2	3	4	5
А, ↓ Б,В,Г,Д	Е, ↓ Ж,З	Ы→И→Й ↓ К,Л,М,Н	О,  П,Р,С,Т,Х,Ш,Щ	Э,Ю,Я. (2.5)

**Потенциалы этих групп - букв описывают поле гравитации  $pp^* = 28$  и механизм синтеза - мультиплетности этого поля, наподобие показанного в таблице 1.10.**

В группе *буквы И* краткая *Й* описывает процесс излучения, подобно символу  $\Upsilon$ , а буква *Ы* - процесс поглощения, подобно символу  $\Phi$ .

Весь процесс гравитационного перехода по маршруту русского алфавита заканчивался Тонкой Энергией **"Я есмь"** или буквой Я, а **энергетика процесса была подобна как для планеты Земля, так и для живущего на ней человека**, то есть нас - вас, уважаемый Читатель!

Продолжим тему появления "Я - есмь".

## **2.1 Земля и Воображение: энергетика**

Сегодня появляется всё больше литературы на тему **Космос и Мы.**

Как правило, в этих работах за основу берётся паранормальное явление и выдвигается парадигма для её объяснения.

В религии базисом Парадигм являются непознаваемость сущности Бога, но уверенность: Добро - от Бога, Зло - от Дьявола.

Эзотерика и магия насыщают свои Парадигмы мистикой и необъяснимым символизмом, драпируясь секретностью Мистерий.

Наука делает вид, что хочет познать Природу Вещей, опираясь на экспериментальные данные, но принципиально отвергая две трети Реалий Единого Космоса в Форме Тонкой Энергии, называя их воздействия лженаучной метафизикой.

Такая мерзопакостная атмосфера вокруг Познания законов Единого Космоса приводит к мысли о никчёмности человеческого разума к познанию Космоса.

Люди начинают маскировать свои мысли, дописывая к работам **Космос и Мы**, слова **физика с пророчеством** [24].

Делаются такие приписки не потому, что верят в Пророчества, а потому, что надо обойти ситуацию кризиса в современной физике. Кризиса, созданного борцами с лженаукой, заслуженными холуями Закулисы.

Если эта малопочтенная публика начнёт "доставать" с позиции физики за то, что ваша физика отвергает физику нобелевских лауреатов А.Эйнштейна или В.Глозмана (современных "аналитиков" Мирового Яйца Каббалы), то всегда можно от них отвязаться: "Вы чё! Парни! Это же Пророчества".

Так и поступил В.И.Белесин, интерпретируя астрофизические данные [24].

Мой подход с позиции законов Единого Космоса вскрывает самую суть энергетической астрофизики. Поэтому перейдём к их рассмотрению.

\*\*

Массы Земли и Луны соотносятся как 6 к одному:

$$\frac{Земля}{Луна} \equiv \frac{6}{1} \Leftrightarrow \frac{1}{6} \equiv \frac{Луна}{Земля}. \quad (2.6)$$

Это уникальное сочетание является подобием пульсации света - Кундалини, формирующего резонансно-антирезонансные контуры колебаний (2.6):

$$36 = 6^2 \Leftrightarrow 1 \quad \text{и} \quad 6^2 - 1 = 35 \Leftrightarrow 0, \quad (2.7)$$

где кванты 35 и 36, в свою очередь, являются несостоявшимися (вытесненные ядром) геномами в Периодической Системе геномов наследственности (рис.0.6).

Космос Невесомости между Землёй и Луной создаёт разность квадратов потенциалов, равную (2.7):

<b>Космос Невесомости между Землёй и Луной</b>	
и	$(36^2 - 35^2 \equiv 71) \Leftrightarrow (1^2 - 0^2 \equiv 1^2),$ $71 - 1 = 70 \Leftrightarrow 0 \Leftrightarrow (T_0 + \tau) \cdot \rho_5.$

(2.8)

Это антирезонансное поле Арупы-Рупы с эффективностью взаимодействия света (2.8) возмущает окружающую среду, увеличивая её в два раза, и потенциал такой среды становится равным постоянной Чакр (2.8, табл.0.13):

<b>Постоянная Чакр: среда солнечно – лунного поля</b>
$0 \Leftrightarrow 70 \Leftrightarrow \int_{70-1}^{70+1} \varphi d\varphi = \int_{69}^{71} \varphi d\varphi = 140.$

(2.9)

В этой солнечно-лунной среде, при её попадании в жидкую фазу, при сжатии форматируется 56 витков Кундалини, а при расширении - 40:

<b>Число витков Кундалини в солнечно-лунном поле</b>			
Режим	Сжатие	Переход	Растяжение
"Дыхание" чакрами	$140/2,5 = 56$ $28 \sqrt{\rho\rho^*}$	$\Leftrightarrow$ $\Leftrightarrow$	$40 = 140/3,5$ $\Delta K : \Delta J = 20.$

(2.10)

В солнечно-лунном поле создаются предпосылки для поглощения - излучения энергии Чакрами (2.10).

"Дыхание" Чакрами, в свою очередь, влечёт за собой синтез - мультиплетность магнитного и гравитационного полей, связанных между собой пятеричной связью:

Синтез - мультиплетность при "дыхании" чакрами		
Поля	Потенциалы	Связь (2.11)
$\frac{\text{Магнетизм}}{\text{Гравитация}}$	$\frac{1^2 + 2^2 + 3^2 + 4^2 + 5^2 + 6^2 + 7^2}{1 + 2 + 3 + 4 + 5 + 6 + 7} = \frac{140}{28}$	$\xrightleftharpoons[\text{мульти-плетность}]{\text{синтез}} 5.$

При "дыхании" чакрами мы вдыхаем гравитационную космическую энергию, которую наш организм перерабатывает в магнитную (2.11). Мы становимся живыми магнитами.

\*\*

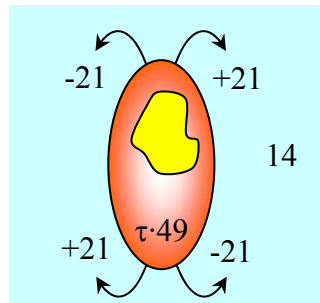


Рис.2.1 Оболочка и  
полярные вихри  
Арупы над сгустком

Любой сгусток, в котором самосущие волны вечной тьмы трансформируются светом, во-первых, создаёт оболочку  $\tau \cdot 9$  (1.118), во-вторых, излучает магнитные полярные вихри с потенциалами (1.117, рис.2.1):

$$\pm 21 \equiv 7 \cdot \left( \frac{441}{21} = \frac{21^2}{21} \right) \quad (2.12)$$

Попадая в магнитные поля окружающей среды, импульсы с потенциалами  $\pm 21$ :

$$(\pm 21) : (\pm 14 \equiv \sqrt{\mu\mu^*}) = 1,5, \quad (2.13)$$

совершают те полтора оборота, о которых говорит Теогенезис, как о плодах пурпурных, которые ещё человеку неизвестны, но станут пищей Людей Воли и Йоги [5].



В этом прекрасном и уже недалёком Будущем **плоды даром будут даваться живому из рук Богов** [5] потому, что в поле Земля - Луна (рис.2.6) появятся полярные вихри  $\pm 21$  (2.8):

Появление полярных вихрей 42 Божеств сердца			(2.14)
Изомерия	Цис-транс разность	Цис-транс сумма	
Потенциалы сердца	$\pm(36^2-35^2=71)-(\pm 21) =$	$\pm(36^2-35^2=71)+(\pm 21) =$	
	$\pm 50$	$\Leftrightarrow \pm 92$	
	$0$	$\Leftrightarrow (\pm 92)-(\mp 50) = \pm 42.$	

Появление 42 Божеств  $\equiv [(28=\sqrt{\rho\rho^*})+(14\sqrt{\mu\mu^*})]$  сердца в полярных вихрях между Землёй и Луной (2.14) означает **рождение чувствующего и вне Формы** [13].

Сделав **1,5 оборота Колеса на Обода Вселенной** [5], наше сердце приобретает космическую гравитацию, а при трёх оборотах - магнетизм:

Гравитация и Магнетизм сердец в Жизни до Жизни			(2.15)
Компоненты	гравитация	магнетизм	
$\frac{\text{сердце}}{\text{число оборотов}}$	$42/1,5 = 28 = \sqrt{\rho\rho^*}$	$42/3 = 14 = \sqrt{\mu\mu^*}.$	

"Дыхание" чакрами создаёт в чувствующем и вне Формы воображение (2.10):

$$56 - 40 = 16 \equiv \sqrt{qq^*}, \quad (2.16)$$

и новое семя прорастает для нового витка Жизни.

\*\*

Два энергетических потока: полярный вихрь с потенциалом  $\pm 21$  (рис.2.1) и космический луч  $\sqrt{\rho\rho^*} = 28$ , создают в атмосфере над сгустком оболочку Рупы - Арупы и пульсирующее магнитное поле (рис.2.1):

Атмосфера над сгустком (рис.2.1)				
Компоненты	Атмосфера	Переход	Оболочка	Магнитные линии
Потенциалы	$28^2 - 21^2 =$	$7^3$	$= (28 + 21 = 49) \times$ $\mu\mu^*$	$(28 - 21 = 7) \equiv$ $\sqrt{\mu\mu^*} \left( \pm \int_0^1 \varphi d\varphi \right).$

(2.17)

Оболочки над микро-макро сгустками заполняются энергией, формируя микро-макро спутники, неживые и живые (электроны - позитроны, планеты, живые пульсирующие биоклетки и так далее).

**Спутниками сгустков становятся и импульсы Тонкой Энергии наших душ после биологической кончины.**

Книга Мёртвых утверждает, что душа скончавшегося человека попадает в субстанцию, носящую название **Эфир Бордо** [10].

С позиции энергетики **Эфиром Бордо** является атмосфера над сгустком, пульсирующая в Арупе в резонансно-антирезонансном режиме (2.17):

$$\text{Эфир Бордо} \equiv \tau \frac{28^2 - 21^2}{28 \cdot 21} = 3 \frac{7^3}{12 \cdot 7^2} = 49 \cdot \frac{7}{4}. \quad (2.18)$$

**Эфиром Бордо является "пальма" в "оболочке".**

Новое рождение живого начинается с субструктуры биоклетки, где субструктура (9+0) до митоза *меняется* на субструктуру (9+2) при митозе и двум дочерним субструктурам (9+0) при митозе (рис.2.2).

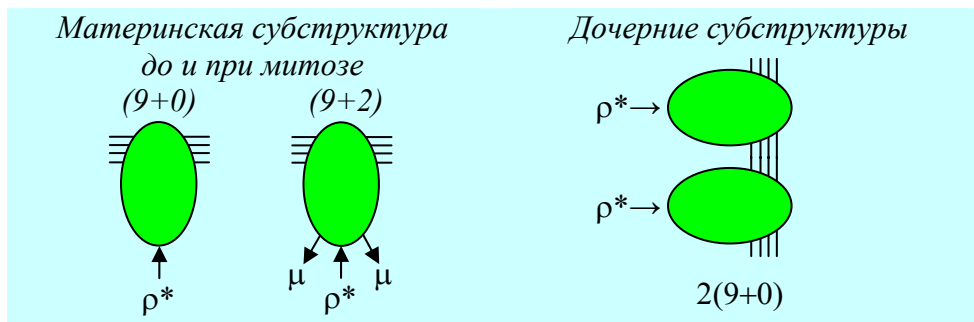


Рис.2.2 Субструктура в цитоплазме биоклетки

Субструктуры (9+0) и (9+2) биоклетки представляют собой мембранные молекулярные, замкнутые по объёму системы, снабженные волосками - жгутиками, через которую цитоплазма биоклетки перекачивается в объём субструктуры.

Возникает разность давлений: в биоклетке давление обычное:

$$p = R \cdot t^\circ / v \quad (2.19)$$

где:  $p$ ,  $v$ ,  $t$  - соответственно давление, объём и температура при газовой постоянной  $R$ , а в объёме биоклетки - осмотическое, превышающее обычное в  $10^7$  раз:

$$10^7 \cdot p = 10^7 \cdot R \cdot t^\circ / v. \quad (2.20)$$

Цитоплазма в объёме субструктуры под влиянием осмотического давления вступает в короткодействующие ядерные взаимодействия с эффективностью  $\omega$ , равной:

$$\sqrt{\rho_4} = \sqrt{10^{14}} = 10^7. \quad (2.21)$$

**Логарифмические волны от этих (2.21) взаимодействий обеспечивают протекание семи стадий митоза биоклетки:**

$$\lg 10^7 = 7 \equiv (T_o + \tau). \quad (2.22)$$

Ядерные взаимодействия при осмотическом давлении формируют в цитоплазме субструктуры среды с электрической ( $\epsilon_o$ ) и магнитной ( $\mu_o$ ) постоянными (2.21, [14]):

$$10^7 = \epsilon_o(4\pi \cdot c^2) \text{ Ф/м} = 4\pi/\mu_o \text{ Гн/м}. \quad (2.23)$$

\*\*

Электромагнитные среды цитоплазмы биоклетки возникают за счёт воздействия на цитоплазму Космического импульса - мысли с потенциалом  $\rho^* = 28 \cdot 10^{20}$  (рис.2.2):

$$\frac{\sqrt{\rho_4}}{\rho^*} = \frac{10^7}{28 \cdot 10^{20}} = \frac{1}{28} \cdot 10^{-13} \Leftrightarrow 28 \cdot 10^{13} \equiv \frac{\rho^*}{\sqrt{\rho_4}}. \quad (2.24)$$

Цитоплазма начинает пульсировать. Возникает **День вне Времени** по 13-ти лунному календарю цивилизации Майя:

<b>День вне Времени в цитоплазме субструктур</b>	
Пульсация цитоплазмы в субструктуре биоклетки (2.24)	Переход к логарифмическим волнам Календаря
$28 \cdot 10^{13} \Leftrightarrow \frac{1}{28 \cdot 10^{13}}$	$28^2 \Leftrightarrow \lg(10^{13})^2$ $28 \Leftrightarrow 13.$

(2.25)

Всё живое, уже на уровне микро компонент биоклетки, начинает приспосабливаться к ритмике пульсации по 13-ти лунному календарю. Клетка приобретает биочасы.

**Биочасы клетки "вмонтированы" в микротрубочку поры ядра клетки.**

Материалом биочасов является **табулин** с молекулярным весом в 110000 кислородных единиц.

Детальми биочасов являются 13-ть субъединиц - нитей, "вмонтированных" в микротрубочку и восьмигранник в её поперечном сечении.

Восьмигранник имеет, например, в микротрубочке клетки амфибии, расстояние между гранями, равное  $660\text{\AA}$ , то есть связанное с потенциалом Кундалини, внешний диаметр  $1200\text{\AA}$ , то есть эквивалентный  $T_0 \cdot \tau \cdot \rho_5$ ; а внутренний диаметр, равный  $780\text{\AA}$  связан с Кундалини числом 13:

$$780\text{\AA} : 6 = 130\text{\AA} = 13 \cdot \rho_5. \quad (2.26)$$

\*\*

*Поглощая* энергию Космоса, цитоплазма в объёме субструктуры насыщается.

Внутри цитоплазмы происходит деление Космического импульса  $\rho^* = 28 \cdot 10^{20}$  пополам с выделением фотонов и образованием двух магнитных зарядов:

Деление космической Мысли в цитоплазме		
Космический импульс	Магнитные заряды	Фотоны
$\rho^* = 28 \cdot 10^{20}$	$\rightarrow 2\mu \equiv 2 \cdot 14 \cdot 10^{20}$	$\times 10^{40}$

(2.27)

1. Деление Космического импульса  $\rho^*$  на два магнитных заряда является энергетической основой митоза клетки (2.27).

2. Появление в цитоплазме субструктуры биоклетки двух магнитных зарядов является основой формирования живых магнитов (2.27).

3. Поступление в цитоплазму Живого свободных фотонов в количестве  $10^{40}$  фотонов за импульс  $\rho^*$  является основой фотосинтеза - базисного процесса Жизни (2.27).

4. Наличие двух магнитных зарядов и свободных фотонов в цитоплазме субструктуры (9+0) ведёт к тому, что в субструктуре прорастают два жгутика для отвода магнитной энергии и формируется субструктура (9+2). Клетка делится (рис.2.2).

5. Поступление в цитоплазму самосушущих волн в количестве  $\sqrt{2}^8 \equiv T_0^2$ , приводит к их взаимодействию с фотонами и появлению разноимённых электрических импульсов - зарядов (рис.2.27):

$$\text{Биоток} \equiv \frac{\sqrt{2}^8 \times (-\sqrt{2}^8)}{10^{40}} = 16 \cdot 10^{-20} \cdot (-16 \cdot 10^{-20}) \equiv q(-\rho). \quad (2.28)$$

6. Наличие двух магнитных зарядов при митозе биоклетки реализует себя тем, что при пульсации живого соседние энергетические состояния отделены двумя единицами:

$$5 \xrightarrow{+2} 7 \xrightarrow{+2} (9+0) \xrightarrow{+2} (9+2) \xrightarrow{+2} (9+4 = 13). \quad (2.29)$$

7. Окончание митоза биоклетки двумя дочерними субструктурами (9+0) предопределяет Рождение биологической Жизни в воде с молекулярным весом  $H_2O = 18$ :

Рождение Жизни	
Дочерние субструктуры	Молекулярный вес воды
$(9+0)+(9+0) = 18 \Leftrightarrow \equiv \text{Mn}_2\text{O} = 2 + 16,$ где: 2 - молекулярный вес водорода, 16 - атомный вес кислорода.	

(2.30)

\*\*

На выходе из сгустка (рис.2.1), в том числе из цитоплазмы субструктуры (9+2), (рис.2.2), магнитные заряды и космические импульсы встречаются, формируя среду колебания:

Формирование сгустка и невесомости (рис.2.1)	
Поле	Колебания
Арупа - Рупа в поле фотонов	$\frac{28 \cdot 10^{20}}{21 \cdot 10^{-20}} \Leftrightarrow 28 \cdot 10^{20} \cdot 21 \cdot 10^{-20} \Leftrightarrow \frac{21 \cdot 10^{-20}}{28 \cdot 10^{20}};$ $\left(\frac{T_0}{\tau} = \frac{4}{3}\right) \cdot 10^{40} \Leftrightarrow 3 \cdot 4 \cdot 7^2 \Leftrightarrow \left(\frac{3}{4} = \frac{\tau}{T_0}\right) \cdot 10^{-40}$
В Невесомости	$\frac{T_0^2}{\tau^2} \Leftrightarrow \tau \cdot T_0 (T_0 + \tau)^2 \Leftrightarrow 10^{-80}$ отсутствие фотонов
В сгустке	$\frac{\tau^2}{T_0^2} \Leftrightarrow \frac{1}{\tau \cdot T_0 (T_0 + \tau)^2} \Leftrightarrow 10^{80}$ наличие фотонов.

(2.31)

Совмещение сгустка и Невесомости в ядерных процессах приводит к равновесию (2.31):

$$10^{80} \cdot 10^{-80} = 1, \quad (2.32)$$

а в полях логарифмических колебаний возникают свет и гравитация:

$$\lg(10^{80} : 10^{-80})^{\pm 1} = \pm 160 \equiv \pm \sqrt{qq}^* \rho_5. \quad (2.33)$$

\*

\*\*

Выходя из объёма субструктуры по двум волоскам - жгутикам поле на выходе имеет потенциал, равный  $2\mu = 2 \cdot 14 \cdot 10^{-20}$  (рис.2.2).

При выходе из объёма сгустка магнитное поле зарядов имеет потенциал  $21 \cdot 10^{-20}$  (рис.2.1).

Когда сгустком (рис.2.1) является биоклетка, то можно подсчитать, что переход от недр субструктуры (9+2) к излучениям на поверхности клетки - сгустка сжимает магнитное поле в 1,5 раза, создавая Арупу - Рупу:

<b>Магнитное смещение Вселенной</b>
$\frac{21 \cdot 10^{-20}}{\mu = 14 \cdot 10^{-20}} = \frac{3}{2} = 1,5 \Leftrightarrow \frac{4}{3} = \frac{2\mu = 28 \cdot 10^{-20}}{21 \cdot 10^{-20}}.$

(2.34)

Это магнитное смещение во Вселенной настолько важно, что Иисус продиктовал потенциалы 2:3:4 в "Откровения", а великая Цивилизация вынесла 1,5 оборота колеса Вселенной как условие достижения Теогенезиса [5, 15].

\*

\*\*

При наличии магнитного смещения две дочерние субструктуры (9+0) возникают в вихре Арупы - Рупы в условиях резонанса:

<b>Вода и дочерние субструктуры в магнитном смещении зарядов</b>		
Магнитное смещение	Вода	Дочерние субструктуры
$1,5(T_0 \cdot \tau = 12) = 18 \equiv$	$\text{Mn}_2\text{O}$	$\equiv (9+0) + (9+0).$

(2.35)



Магнитным смещением Вселенной объясняется, например, то обстоятельство, что Знаки Зодиака расположены не по окружности, а, в конечном счете, по спирали.

Движение по спирали в 1,5 оборота будет отличаться от движения по окружности квантованной орбиты точечного участка волны света ( $L_0 = \pi \cdot D_0 = 1$ ):

$$\pm[1,5 - (L_0=1) = 0,5] \equiv \pm \int_0^1 \varphi d\varphi, \quad (2.36)$$

где  $\pm 0,5$  - шаг Спиральи Вселенной, то есть Дзиан - это шаг Спиральи Вселенной [3,4].

\*\*

Энергетический полярный магнитный вихрь над сгустком с потенциалом  $\pm 21$  (2.1) является той энергией, которая даёт возможность функционировать субструктурам в цитоплазме живой биоклетки:

$$[21 \equiv 5 \xrightarrow{+2} +7 \xrightarrow{+2} (9+0)] \xrightarrow{+2} [(9+2) \xrightarrow{+2} (9+4 = 13) \equiv 25]. \quad (2.37)$$

| ← Биоклетка → |     | митоз и 13-ть субструктур |

Разность в полях субструктуры биоклетки до митоза и от митоза до формирования 13-ти субъединиц в микротрубочки поры ядра (2.37) с учётом магнитного смещения формирует Кундалини:

<b>Формирование Кундалини субструктурами в биоклетке</b>	(2.38)
$\pm(25 - 21) \cdot 1,5 = \pm 4 \cdot 1,5 = \pm 6 \equiv \pm(3,5+2,5) \equiv \pm(3,5^2 - 2,5^2).$	

Возникшее Кундалини с периодичностью Продолжительности ( $\tau = 3$ ) в Арупе создаёт воду с молекулярным весом  $MH_2O = 18$  и две дочерние субструктуры  $(9+0)+(9+0) = 18$ .

\*\*

Цис-транс изомерия полей с потенциалами  $6 \Leftrightarrow 9+0$  создаёт ядро периодической системы геномов (рис.0.6).

Максимальный потенциал ядра периодической системы геномов (эквивалент структуре  $(9+0)$ ) пульсирует в резонансно-антирезонансном режиме:

Геномы, свет и пульсация субструктуры (9+0)	
Волновой переход	Эквивалент волновому переходу
	$\frac{\text{резонанс} : (9+0)(9+0)}{\text{антирезонанс} : (9+0)(9+0)} \Leftrightarrow \frac{(9+0)(9+0)\text{антирезонанс}}{(9+0)(9+0)\text{резонанс}} \quad (2.39)$ $81 : 18 \Leftrightarrow 18 : 81$ $81+18 = 99 \quad \text{и} \quad 81 - 18 = 63 \text{ (геномы)}$
Появление света	$99 - 63 = 36 \equiv \Delta B \rho_2^2.$

Магнитное смещение формирует из света Святой Дух с потенциалом 24, а далее появляется сердце и постоянная Вселенной (табл.2.1).

Таблица 2.1

**Магнитные смещения живых магнитов (2.39)**

Форма полей	Геномы: Арупа в воде(2.39)	Сердце: магнитное смещение	Свет и Святой Дух(2.39)	Снова в сердце	Постоянная Вселенной
Потенциалы перехода	$63 = \tau^{T_0} - 2\tau^2 = 81 - 18$	$63 = (28+14) \cdot 1,5 = 42 \cdot 1,5$	$36/1,5 = 24$	$24 \cdot 7/4 = 42$	$1008 = 24 \cdot 42$ $36 \cdot 28 = 63 \cdot 16.$

Появление постоянной Вселенной, эквивалентной тысяче атомов водорода со светом, то есть с атомным весом  $A_H = 1,008$  приводит, в частности, к взаимодействию геномов в электрическом поле (табл.2.1):

$$1008 = 63 \cdot (16 = \sqrt{qq^*}). \quad (2.40)$$

Электрическое поле сжимает расширяющееся магнитное поле. Коэффициентом магнитоэлектрического перехода в нашем теле, в частности, является мозг.

Мозг имеет расширяющиеся гравитационно-магнитные компоненты и сжимающиеся электрические (табл.2.2).

Таблица 2.2

**Энергетика мозга:  
магнитное расширение - электрическое сжатие**

58 Божеств	Гравитационно-магнитные	Электрические	Сумма
До смещения	$\sqrt{\rho\rho^*} + \sqrt{\mu\mu^*} = 28+14$ 42	$\sqrt{qq^*} =$ 16	58
После смещения	$42 \times 1,5 =$ 63	$(16:2,5=6,4)\rho_5=$ 64	127
Разность квадратов	$64^2 - 63^2 = 127$		127 127.

При совместном магнитном расширении - смещении и электрическом сжатии в поле мозга наступает равновесие  $127/127 = 1$  (табл.2.2).

\*\*

**Биоклетка является носителем Космической Энергии в теле живого.** Она поступает в чакры и у семи чакр возникает гравитационно-магнитный потенциал, равный 140:

Семь чакр с постоянной 140			
Число Чакр	Постоянная	Без магнитного смещения	С магнитным смещением
7	$\times 140 =$	$980 = 7^2 \cdot 20$	$\times 1,5 = 30 \cdot 7^2 = E_4$
Эквивалент	$\frac{64}{2}$  $\frac{64}{8}$	$\left( \int_2^{64} \varphi d\varphi - \int_8^{64} \varphi d\varphi = 30 \right) \cdot 49$ Ян - Инь в оболочке.	

(2.41)

Тибетская мировоззренческая философия связывает чакры с **диаграммой Ян-Инь**, а магия Запада потенциал  $20 \equiv \Delta K / \Delta J$  (2.41) сравнивает с ликами 20 богов [2]:

Лики богов для описания $\Delta K / \Delta J = 20$				
1 Хан	2 Ка	3 Окс	4 Кэн	5 Хо
6 Вэк	7 Юак	8 Юэксек	9 Болон	10 Лейхан
11 Булак	12 Лака	13 Окслакан	14 Канлахан	15 Хоахан
16 Юаклахан	17 Юклахан	18 Юксалахан	19 Болонлахан	20 Ми.

(2.42)

Причём, маги приписывают этим богам такие личики, что **испуганные потребители магических услуг платили по повышенному тарифу.**

Этот коллектив богов (2.42) маги использовали для счисления года, а само счисление прошло три этапа [2]:

1 этап	2 этап	3 этап
1 год = 260 дней = $13 \times 20$	1 год = 360 дней = $18 \times 20$	1 год = 365 дней = $18 \times 20 + 5$

(2.43)

Эти колебания с годом (2.43) сравниваются с девятью временными циклами, принятыми цивилизацией Майя [2, стр.42], но факты просто констатируются и никаких выводов не делается. Поэтому выводы приходится делать мне.

Периодичность трансформации в Едином Космосе предопределяет период вращения точечного участка волны света, равный  $T_0 = 4$ .

Движением точечного участка волны света управляет пульсация Единого Космоса с потенциалом, равным  $\pm 0,5$ , называемым **Дзиан - дробь** [3, 4].

\*\*

*Стартуя* из области ноль - потенциала, Дзиан (дробь 0,5) увеличится до  $4 \equiv T_0$  за восемь тактов движения, не считая нуля (табл.2.3).

Дзиан - пульсация Космоса в солнечном ряду сдвигает энергетическое равновесие в солнечном ряду и включает 13-ти лунные биочасы (табл.2.3).

Таблица 2.3

**13-ти лунный Календарь солнечного ряда**

Характеристики полей	Вне времени [3] (формовщики)				Во Времени			
Суммы	$\rho_3 \equiv 1+2+3+4 = 10$				$5+6+7+8 = 26$			
Солнечный ряд	1	2	3	4	5	6	7	8
Дзиан - ряд	0,5	1	1,5	2	2,5	3	3,5	4
Суммы	$0,5+1+1,5+2 = 5$ Пятеричная связь				$2,5+3+3,5+4 = 13$ Биочасы			
"Время" вне времени (равновесие)	$13 = \frac{5}{10} \cdot 26 \Leftrightarrow \dots 130 \Leftrightarrow 130$							
Свет в бесконечности	$(26^2 - 10^2 = 4 \cdot 144) + (13^2 - 5^2 = 144) \equiv$ $5 \cdot 144 = 720 \equiv 6! \equiv 5 T_0^2 \tau^2.$							

Дзиан - колебания, попадая в солнечный свет, формируют пять базовых состояний субстанций Единого Космоса (по магии Пять Элементов Вселенной), пульсирующих по 13-ти лунному Календарю и вдвое увеличивая Продолжительности процессов в окружающей среде (13→26).

Появление разности квадратов, то есть потенциала  $5T_0^2\tau^2$  (табл.2.3) происходит в момент излучения в солнечном ряду и перехода к лунному ряду (табл.2.4).

Таблица 2.4

**13-ти лунный Календарь лунном ряду**

Характеристики	К телепатии 110 Божеств				Во времени			
Суммы	7+6+5+4 = 22 22 буквы Авраама				3+2+1+0 = 6 Кундалини			
Лунный ряд	7	6	5	4	3	2	1	0
Дзиан - ряд	0,5	1	1,5	2	2,5	3	3,5	4
Суммы	0,5+1+1,5+2 = 5 Пятеричная связь				2,5+3+3,5+4 = 13 Биочасы			
Неравновесие (Цинь)	22·5 = 10    ⇔    6·13 = 78 110 – 78 = 32 (Цинь).							

В отличие от равновесия в солнечном ряду (табл.2.3) в лунном ряду (табл.2.4) возникает неравновесие, которое приводит к формированию небес - Цинь (табл.2.4).

Небеса пульсируют (взаимодействуют) с потенциалом 50, который Каббала представляет своим почитателям как всесущего Бога Айн СОФ [12], а я рассчитываю потенциал Небес:

$$(110 - 78 = 32) \cdot \lg \left( \frac{\rho_3 \rho_4}{\rho_1} = 10^{50} \right) = 1600 \equiv \rho_5^2 \sqrt{qq^*}, \quad (2.44)$$

и утверждаю, что в потенциале - эквиваленте сердца появился электрический заряд - Воображение. Возник мозг. Появилась разность потенциалов.

Разность потенциалов между мозгом и сердцем				(2.45)
Компоненты	Мозг	Сердце	Разность	
Потенциалы (2.44), $\times 100$	$K_1=28+14=42$ + $K_2 = 16$	$K_3 =$ $28+14=42$	$K_1+K_2-K_3 =$ $K_2 = 16.$	

\*\*

Мозг без Воображения ( $q^* = 16 \cdot 10^{20}$ ) подобен сердцу. **Воображение - это Дракон Мудрости** [3, 4].

Энергия Мозга без Воображения, точно также как энергия сердца состоит из гравитационно-магнитных полей и испытывает магнитное смещение (2.45).

Магнитные смещения сердца и мозга (2.45)	(2.46)
$\rho_5 \cdot (K_1 + K_2 = 42 + 42 = 84) \cdot 1,5 = 1260 \equiv E_{c-m}.$	

Суммарная гравитационно-магнитная энергия сердца и мозга (2.46) на 210 относительных единиц больше общей энергии семи Чакр (2.41):

Разность потенциалов магнито-гравитационной энергии между чакрами и мозгом - сердцем			(2.47)
Чакры (2.41)	Мозг - сердце (2.46)	Полярные вихри	
$E_{\text{ч}} = 30 \cdot 7^2 = 1470$	$E_{c-m} = 1260$	$= 210.$	

Гравитационно-магнитные вихри с потенциалом 210 (2.47) создают магнитные силовые линии над полушариями сгустка, а электрическая энергия  $K_2 = 1600$  (2.45) пульсирует в резонансно-антирезонансном режиме в литосфере - атмосфере микро-макро сгустков.

\*\*

**Магия Небес - Цинь** связана с электрическим полем, возникающим между гравитационно-магнитными сгустками будь то полушария Земли или Мозга (2.44, рис.2.3).

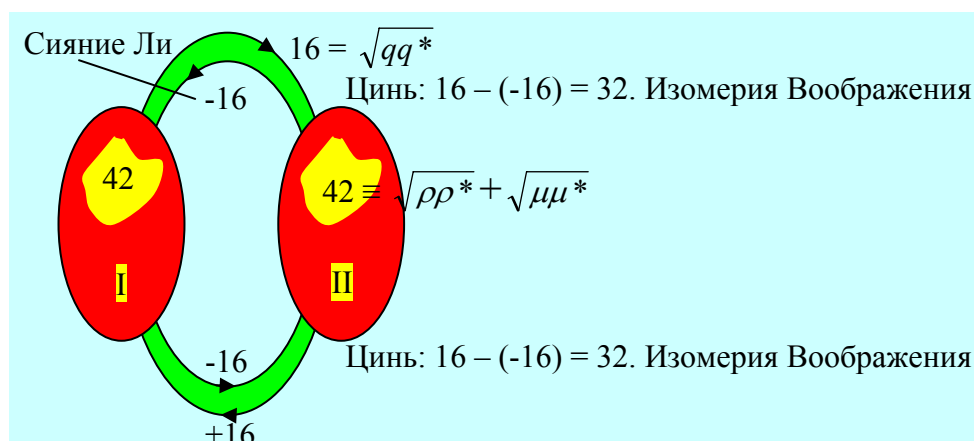


Рис.2.3 Левое (I) и правое (II) полушария головного мозга, связанные электрическим полем, носителем Воображения

Общность Земли и Мозга базируется на том, что внутреннее поле любого сгустка предопределяет сумма полей гравитации и магнетизма (рис.2.3):

Структура объёма сгустка				(2.48)
Поля	Потенциал	Гравитация	Магнетизм	
Сумма	42	$= 28 = \sqrt{\rho\rho^*}$	$+ 14 = \sqrt{\mu\mu^*}$	

**На поверхности сгустка возникают сжимающие сгусток электрические поля:**  $\pm 16 \equiv 7\sqrt{qq^*}$  и магнитные силовые линии.



\*\*

Электрическое поле (элементарный заряд  $q$  и изображение  $q^*$ ) - подобны электрической шаровой молнии, носителе электрического заряда и воображения, то есть потенциала  $\sqrt{qq^*} = 16$  (рис.2.3).

Великая Цивилизация в **Книге Перемен** назвала электрические шаровые молнии с потенциалом 16 **Сиянием Ли** (рис.2.3).

Сияние Ли обладает цис-транс изомерией и формирует разность - эквивалент небесам Цинь с потенциалом 32 (рис.2.3).

Небеса Цинь пульсируют с частотой  $50 \equiv \lg \rho_3 \rho_4 / \rho_1$ , формируя сгусток Тянь.

\*\*

В поле света при  $\rho_5^2 = 10^2$  Сияние Ли достигает величины  $\pm 1600$  (2.44).

Резонансно-антирезонансная пульсация Сияния Ли приводит к полю с потенциалом, равным 800:

Пульсация Сияния Ли	
$\frac{\text{резонанс}}{\text{антирезонанс}} \equiv \frac{16(-16)10^4}{[16 - (-16)]10^2} = 800 \Leftrightarrow \frac{1}{800} \equiv \frac{\text{антирезонанс}}{\text{резонанс}}$	(2.49)

В спектре света возникает разность длин волн, равная  $4800 - 4000 = 800\text{\AA}$ , формируя сине-голубой раздел в чакре Третий Глаз (табл.0.3).

Сияние Ли становится Подобием Расширяющейся по трём направлениям Вселенной, в которой возникает пятеричная связь (2.49):

$$1/800 = 5^3 \cdot 10^{-5}, \quad \text{при } 3 \equiv \tau \equiv x + y + z. \quad (2.50)$$

Вселенная и Сияние Ли во Вселенной пульсируют в ритме Кундалини:

Пульсация Сияния Ли в ритме Кундалини			
Ритм	1,5 оборота	Сжатие = 2,5	Расширение=3,5
Сияние Ли, × 100	$8 \times 1,5 = 12$	$8 \times 2,5 = 20$	$8 \times 3,5 = 28$
Зародыш - разность, ×10 <sup>2</sup>	$12 - 20 = -8$		$28 - 20 = 8.$

(2.51)

**Возмущенная колебаниями зародышей среда (2.51) формирует сгусток Тянь.**

Формирование Тянь колебаниями сред
$\int_{20}^{28} \varphi d\varphi - \int_{12}^{20} \varphi d\varphi = 192 - 128 = 64 .$

(2.52)

Великая Цивилизация описывает переходы  $2 \Leftrightarrow 8 \Leftrightarrow 64$  диаграммой Ян-Инь. "Мудрецы" нашей цивилизации создают Магию и секретные Мистерии к ней. Все при деле, **вне Дела**. Возникает общество потребления.

Члены общества потребления ещё не понимают, что на уровне  $(64 - 1 = 63)$  геномов и воображения появится постоянная Вселенной:

$$\text{Const} = 63 \cdot 16 = 1008, \quad (2.53)$$

возникнет Теогенезис - гармония среды и живого в среде [5].

## 2.2 Человек Воли и Йоги как Единство Цели Религии и Магии

Только **предвзятый** не заметит сходства между Религией и Магией (рис.2.4, табл.2.5).

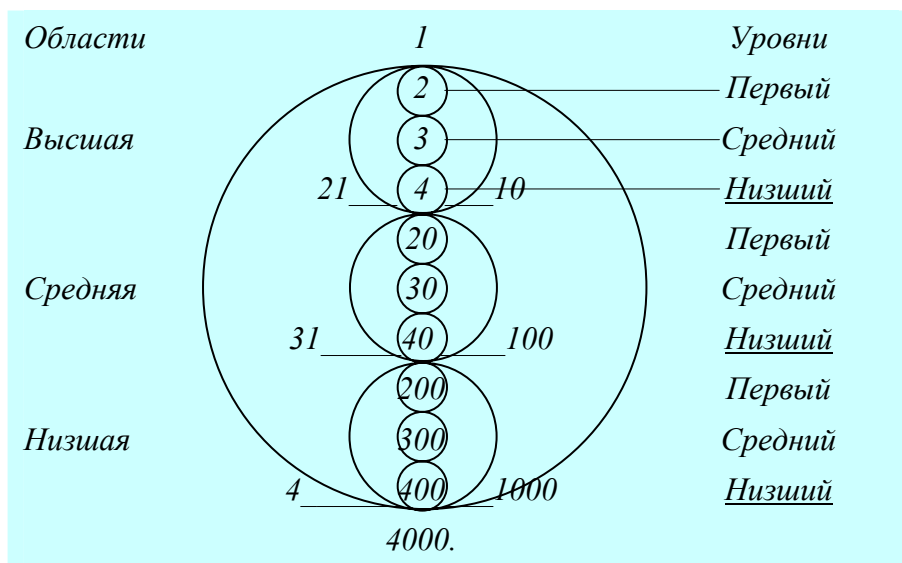


Рис.2.4 Круг Универсума из "Откровений" Иоанна [15]

Таблица 2.5

### Триединая система ? [2]

Троица	Парадигмы
Три мира	Высший Небесный Земной
Девять букв алфавита	В С Д Е Г О Н І К
Сущности человека	Дух Душа Тело.

Сама **Предвзятость** возникает потому, что для объяснения паранормальных явлений и Религия. и Магия выдвигают собственные Парадигмы - Иллюзии, а затем с настойчивостью, достойной лучшего применения, спорят у **кого лучше**. Отвечаю: пока ни у кого.

\*  
\*\*

**Религия и Магия имеют одну Ментальную Цель: познание причинно-следственных связей** в окружающей нас космической среде.

Подход Магии к Космосу проявляет себя, прежде всего, в признании изначального Триединства, например в системе Лаапа (табл.2.5), и это признание триединства точно соответствует религиозным представлениям, вершиной которых является Круг Универсума, продиктованный Иисусом Христом с Неба в "Откровениях" Св.Иоанна (рис.2.4, [15]).

**Сам Круг - это эпюра - вектор Перемен, происходящих в Едином Космосе.** Эти Перемены в Круге представлены Числами (рис.2.4), а Магия аналогичные переменные описывает буквами (табл.2.5).

Бывает наоборот: Религии описывают Перемены буквами, а Магия числами.

**Моя задача - объяснить Вам, уважаемый Читатель, сущность протекающих процессов, не вмешиваясь в религиозно-магические дразги.**

\*  
\*\*

Круг Универсума я расшифровал в предыдущих работах, например с позиции спектра света [7].

Применительно к свету области Круга Универсума описывают триединство фотон - фонона и электромагнитной среды между ними (рис.2.4):

Свет и Круг Универсума (рис.2.4)			
Области Круга	Высшая	Средняя	Низшая
Компоненты света	Фонон: $E_{\lambda c} = 1$	Электромагнитная среда $\varepsilon_0 \mu_0 c^2 = 1$	Фотон: $m_c c = 1$
Взаимодействия	$\rho_5 = 1$	$\rho_5^2 = 10^2$	$\rho_5^3 = 10^3$

(2.54)

Высшая область (фонон) завершается формированием из волновых полей сгустков Тянь, которые излучают полярные вихри  $\pm 21$ .

Таковыми сгустками являются, в частности, планета Земля и Мозг Человека, электрический импульс между полушариями мозга с разностью потенциалов, равной 210 (2.47).

\*\*

Продолжая давать нам сведения о Едином Космосе, Иисус помещает в Круг Универсума потенциал 31 (рис.2.4).

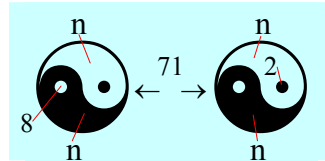


Рис.2.5 Ян-Инь:  
пульсация Вселенной

Иисус уверен, что мы, люди, в конечном счете, поймём диаграмму Ян-Инь и обнаружим разность потенциалов в пульсирующей системе (рис.2.5) всегда равной:

$$(m_c c = 1) + \int_2^n \varphi d\varphi - \int_8^n \varphi d\varphi = 1 + 30 = 31. \quad (2.55)$$

Появление в этом поле (рис.2.4) приведёт к потенциалу 29 и возмущению окружающей среды:

$$\int_{29}^{31} \varphi d\varphi = 60 \equiv (\Delta C + \Delta \Gamma) \rho_2 \equiv 120 \int_0^1 \varphi d\varphi. \quad (2.56)$$

Появится сине-голубая область спектра света, формирующая чакру Третий Глаз, которая есть не что иное, как резонансное пульсирующее внутреннее поле Кундалини (2.56):

$$60 \equiv (120 \equiv 1 \cdot 2 \cdot 3 \cdot 4 \cdot 5 = 5!) \cdot \left( \int_0^1 \varphi d\varphi = \frac{1}{2} \right) = \dots \quad (2.57)$$

Переход к антирезонансу во внутреннем поле света приводит к расширению Вселенной:

<b>Расширение Вселенной внутренним полем света</b>
$\frac{\text{резонанс}}{\text{антирезонанс}} \equiv \frac{1 \cdot 2 \cdot 3 \cdot 4 \cdot 5}{1 + 2 + 3 + 4 + 5} = \frac{120}{15} = 8.$

(2.58)

\*

\*\*

Потенциал 41 в Круге Универсума (рис.2.4) Иисус тоже дал не случайно.

Расширяющаяся Вселенная с потенциалом восемь обладает цис-транс изомерией и делится пополам:

<b>Изомерия расширяющейся Вселенной</b>		
Расширение	Цис-изомерия	Транс-изомерия
$c^3/\omega_0^3 = 8$	$\equiv 4 \equiv c^2/\omega_0^2$	$- (-4 \equiv c^2/\omega_0^2).$

(2.59)

**При изомерии происходит переход объёмной волны к поверхностной. Оболочка света освобождается от своего внутреннего поля, формируя Кундалини.**

Точечный участок волны света с периодичностью  $T_0 = 4$  взаимодействует с окружающей средой в волновом поле света (рис.2.4):

### 41 в Недрах сгустка и окружающей среде

$$41 \equiv E_{\lambda}c + m_{\epsilon}cT_0\rho_5 = 1 + 40 \equiv \text{недра},$$

$$E_{\lambda}c + \int_{20-1}^{20+1} \varphi d\varphi = 1 + 40 \equiv \text{среда.} \quad (2.60)$$

\*\*

*Иисус начинает описание Круга Универсума с Единицы (рис.2.4).*

Маги, начиная с Пифагора, называют Единицу Монадой.

Я уже говорил о том, что Единица - это потенциал резонансного равновесия при условии:

$$n^{\circ} = 1 = x/y \quad \text{при } x = y,$$

и антирезонансного равновесия для соседних уровней:

$$(n+1) - n = 1 \Leftrightarrow -1 = n - (n+1). \quad (2.61)$$

**Возникновение поля с потенциалом, равным Единице, является следствием цис-транс изомерии сжатого кванта:**

Монада: цис-транс изомерия сжатия		
Сжатие	Цис-изомерия	Транс-изомерия
$T_0\omega_0/c=2$	$1 \equiv n^n \cdot n^{-n} \equiv \dots$	$(-1) = -m_{\epsilon}c \equiv \dots$
Волна	Монада	Монада.

(2.62)

Монада - неустойчивая энергетическая система, мультиплетность которой приводит к дроби - Дзиан, а синтез – к увеличению потенциала вдвое.

Ноль - потенциал есть разность потенциалов двух монад или логарифмическая волна одной Монады.

\*\*

Круг Универсума завершается потенциалом, равным 4000 (рис.2.4) и эквивалентным длине волны в начале фиолетовой области спектра, равной  $4000\text{\AA}$  (табл.0.3).

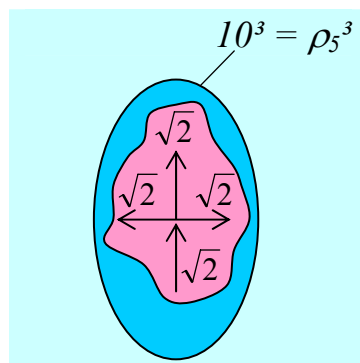


Рис.2.6 Поступление самосуицих волн в ядро

В более широком плане потенциал

$$4000 \equiv \sqrt{2}^4 \cdot 10^3 =, \quad (2.63)$$

где одна самосуицих волна  $\sqrt{2}$  поступает из Космоса вечной тьмы, а затем **расщепляется в ядерной оболочке** на три кванта по  $\sqrt{2}$  (рис.2.6).

Возникающее различие между одним поступающим и тремя расщеплёнными квантами (рис.2.6) компенсируется частотами:

Природа 2 и 3 в Круге Универсуме				
Формы субстанций	Поступают из тьмы	Синтез в точку	Мультиплетность	Приведённая пульсация
Резонанс точки	$\sqrt{2}^3 = \tau$	$\sqrt{2}\sqrt{2}\sqrt{2}$	волна	$K \equiv \frac{\sqrt{2}^\tau}{\tau\sqrt{2}} = 2 \cdot 1/3.$
Антирезонанс	$\tau\sqrt{2}$	Ядро	$\sqrt{2} + \sqrt{2} + \sqrt{2}$	

(2.64)

Самосуицих волны, попав в ядро, переходят из Арупы в Рупу с периодичностью  $T_0 = 4$ .

Иисус Христос вводит в Круг Универсума четвёрку, а приведённая пульсация (2.64) становится равной:



$$T_0 k = \frac{1}{3} \cdot 2 \cdot 4 \equiv \frac{c^3}{\tau \cdot \omega_0^3}. \quad (2.65)$$

\*\*

Давая человечеству *Круг Универсума*, Иисус указал потенциал окружающей среды, равный длине волны фиолетового света.

Эта среда формируется при выходе из круга Универсума, но перед Кругом Универсума находятся самосушущие волны вечной тьмы, разность потенциалов в которой равна и эквивалентна:

$$H = \sqrt[4]{qq * \sin \pi/4} = \sqrt[4]{16 \cdot \frac{1}{\sqrt{2}}} = 2^{2-\frac{1}{4}} = 2^{7/4}, \quad (2.66)$$

где H - высота великой Пирамиды.

Объём великой пирамиды и эпюра Круг Универсума взаимосвязаны как две разные формы векторного описания Единого Космоса (2.65, табл.0.6, рис.03, рис.2.4):

Связь Круга Универсума и объёма великой Пирамиды
$V_{\pi} = kT_0 \sqrt[4]{qq * \sin \pi/4} = \frac{1}{3} \cdot 8 \cdot 2^{7/4} = \frac{1}{3} a^2 H,$ <p style="text-align: center;">где <math>a^2 = 8</math> - площадь основания Пирамиды.</p>

(2.67)

\*\*

Единый Космос пульсирует в резонансно-антирезонансном режиме.

В "Откровениях" отмечается: **"Трон Христа на Небе окружён 24 Пресвятыми Престолами"**.

С позиции арифметики цифр Круга Универсума двадцать четыре - это произведение  $2 \cdot 3 \cdot 4$ .

С позиции физики 24 в Круге Универсума описано **резонансное поле взаимодействий Арупы - Рупы**:

$$24 = 2 \cdot 3 \cdot 4 \equiv T_0 \tau \lg \rho_1 \rho_2 \rho_3 \rho_4 \rho_5. \quad (2.68)$$

Вместе с тем, Иисус даёт описание распределения потенциалов по области Круга Универсума (рис.2.4):

<b>Резонансная пульсация в Круге Универсума</b>			
Области круга	Высшая (фонон)	Средняя (электромагнитная среда)	Низшая (фотон)
Потенциалы кругов	$2 \cdot 3 \cdot 4 \cdot 10 = 240$	$20 \cdot 30 \cdot 40 \cdot 10^2 = 24 \cdot 10^5$	$200 \cdot 300 \cdot 400 \cdot 10^3 = 24 \cdot 10^9$
В фиолетовой области	$\frac{240}{4000} = 6 \cdot 10^{-2}$ люминесценция	$\frac{24 \cdot 10^5}{4000} = 6 \cdot 10^2$ солнечный свет	$\frac{24 \cdot 10^9}{4000} = 6 \cdot 10^6$ эффект Кирлиан.

**При появлении фиолетового цвета в Высшей области появляется люминесцентный свет, в Средней области - солнечный, а в Низшей - свечение, вызываемое эффектом Кирлиан при частотах, равных  $10^6$  Гц.**

Среда за пределами **Кругов-областей** описывается также потенциалами 21, 31 и 41 (рис.2.4), связанными с взаимодействиями:

$$\frac{21+41}{31} = 2 \equiv \lg \rho_1 \rho_2 \rho_3 \rho_4 \rho_5. \quad (2.70)$$

В среде за пределами **Кругов - областей** возникают интегральные разности потенциалов, которые увеличивают логарифмическую постоянную взаимодействий (2.70) до постоянной ядерных процессов, равной  $10^2 \equiv \rho_5^2$ :

<b>Эффективность взаимодействий вокруг областей света</b>
$\left( \int_{31}^{41} \varphi d\varphi = 360 \right) - \left( \int_{21}^{31} \varphi d\varphi = 260 \right) = 100 = \rho_5^2.$

(2.71)

\*\*

В поле среды с потенциалами  $41 \rightarrow 31$  возникает разность квадратов, равная:

$$41^2 - 31^2 = 1681 - 961 = 720. \quad (2.72)$$

Геометрическим образом этого поля являются две спрямлённые окружности или символы  $\infty$  и 8.

Магия рассматривает потенциал 720 как **720 оборотов философской машины** [2, стр.188], разбивая 720 оборотов на девять групп и индексируя каждый оборот.

Таким образом, Магия (моя власть) пытается овладеть силами Природы в свою пользу, не понимая, что процесс уже описан Иисусом в Круге Универсума:

$$\frac{41^2 - 31^2}{2+3+4} = \frac{720}{9} = 80, \quad (2.73)$$

где:  $2+3+4 = 9$  - потенциалы Круга Универсума для анти-резонанса.

Непонимание Сущности Движения Космоса - это общая черта современного социума на Земле по всем направлениям его деятельности: науки, религии, магии, ...

Все пытаются использовать знаки Зодиака, но не понимают, что спираль Зодиака возникает в ходе изометрического расщепления "Святого Духа".

Энергетика спирали знаков Зодиака		
Изомерия	Цис-	Транс-
Поле для двенадцати знаков Зодиака	$\frac{1}{2}$ Святого Духа $\equiv$ $T_0 \tau \frac{c}{\omega_0} \int_0^1 \varphi d\varphi =$ $4 \cdot 3 \cdot 2 \cdot \frac{1}{2} = 12$	$-\frac{1}{2}$ Святого Духа $\equiv$ $T_0 \tau \frac{c}{\omega_0} \int_1^0 \varphi d\varphi =$ $4 \cdot 3 \cdot 2 \cdot (-\frac{1}{2}) = -12.$
Символ Движения	 Над Вечностью.	

(2.74)

Сталкиваясь с цис-транс изомерией спирали знаков Зодиака, магия по-детски наивно делит их на **"Дневные и Ночные Дома противоположных знаков Зодиака"** ([2], стр.61):

день - Овен, Телец, Близнецы, Рак, Лев, Дева;

ночь - Весы, Скорпион, Стрелец, Козерог, Водолей, Рыбы.

\*\*

Круг Универсума описывает пульсацию ментальной энергии Арупы ( $\tau \pm 1 \equiv 3 \pm 2$ ) в полях взаимодействий света.

Ментальные (Тонкие) энергии Арупы обладают скоростями выше скорости света, а вся наша метрологическая аппаратура базируется на волнах света.

Поэтому, пока не создали метрологию по измерению Тонких Энергий, нам просто нечем измерить ментальные волны  $\tau \pm 1$ , описанные в Круге Универсума (рис.2.4).

Как метрологический прибор остаёмся только мы сами: наш организм (чакры, сердце, мозг).

Используя свой организм как измерительный прибор, человек получает не точные параметры поля Тонкой Энергии, а Ощущения их воздействия на организм.

Воспринимаемые нашим организмом ощущения от влияния Тонкой Энергии воспринимаются нервной системой и обрабатываются воображением с потенциалом  $T_0 = 4 = \sqrt{qq^*} = 16$ .

Обработывая Сознанием полученные Ощущения, магия накладывает их на спираль Зодиака как на базисную форму Энергии Единого Космоса. Так были созданы **градусы знака Зодиака** ([2] стр.64):

Градусы знака Зодиака [2]				(2.75)
Градусы	Названия	Деления Круга	Зодиак	
30 градусов	Знак	12	$30 \cdot 12 = 360$	
10 градусов	Дека́н	36	$3^\circ \cdot 10 = 30^\circ$	
5 градусов	Куи́нь	72	$6^\circ \cdot 5 = 30^\circ$	
1 градус	Градус	360	$30^\circ \cdot 1 = 30^\circ$	

Варьируя градусами по спирали Зодиака в микро-макро Космосе, Магия пыталась создать "Теорию Единого Поля". Подводило Воображение, где для любого числа создавались обожествлённые образы, но сам процесс не исследовался:

Примеры обожествления Цифр и Чисел						
Запад			Восток			
3	Бог-Отец	30 - тридцать Ангелов	3	4	5	6
	Бог-Сын Бог-Дух Святой		Изида	Озирис	Гор	Тот.

(2.76)

Обожествив Цифру - Число, наши Предки от обезьяны успокоились, **не находя предмета для дальнейшего изучения, ибо Всё от Бога, а Его пути неисповедимы.** Верующие переходили к **молениям**, маги - к **мистериям**.

\*\*

Резонансная пульсация в Круге Универсума (2.69)  
всегда сменяется антирезонансной (рис.2.4):

<b>Антирезонансная пульсация в Круге Универсума</b>			
Области Круга	Высшая (фонон)	Средняя (электромагнитная среда)	Низшая (фотон)
Потен- циалы	$(2+3+4) \cdot 10$ 90	$(20+30+40) \cdot 10$ 900	$(200+300+400) \cdot 10$ 9000
Сумма	$(9+0)+90+900+9000 = 9999$ Развитие субструктур и $(9+0)$ в пульсирующем поле Арупы $(\tau \pm 1) \cdot 10^{0 \rightarrow 3}$ .		

Сумма потенциалов, равная 9999 (2.77), равна сумме обожествлённых чисел Востока, при движении волны в условиях цис-транс изомерии (2.76):

<b>Обожествлённые числа Востока</b>					
Боги	Изида	Озирис	Гор	Тот	Суммы
Цис-изомерия	3	4	5	6	= 3456
Транс-изомерия	6	5	4	3	= 6543
Боги	Тот	Гор	Озирис	Изида	9999.

И Восток (2.78) и Запад (рис.2.77) говорят, в сущности, об одном: развитие субструктуры  $(9+0)$  в живой магнит сопровождается появлением биотока силой, равной  $10^{-4} \text{ A}$ :

<b>Биоток живого магнита</b>
$(\epsilon_0 \cdot \mu_0 \cdot c^2 = 1) + 9999 = 10^4 \text{ 1/A} \Leftrightarrow 10^{-4} \text{ A}.$

Эта сила тока и сопутствующая ей индукция появляется в чакре Третий Глаз под влиянием электрического импульса:

<b>Биоток и индукция чакры Третий Глаз</b>
$I = \frac{qc}{\lambda} = \frac{16 \cdot 10^{-20} \text{ А} \cdot c \cdot 3 \cdot 10^{18} \frac{\text{А}}{\text{с}}}{4800 \text{ А}} = 10^{-4} \text{ А},$

(2.80)

где:  $c = 300 \text{ тыс.км/с} \equiv 3 \cdot 10^{18} \frac{\text{А}}{\text{с}}$  - скорость света;  
 $q = 16 \cdot 10^{-20} \text{ А} \cdot \text{с}$  - электрический элементарный заряд;  
 $\lambda = 4800 \text{ А}$  - волна, делящая синюю и голубую области спектра света (табл.0.3).

Итак, Боги влекут нас к Йоге, а Йога и Воля формируют Человека в Теогенезисе.

## 2.3 Физические реалии Вавилонской Башни

Религия, наука, магия, эзотерика и так далее – всего лишь мировоззренческие направления в **общности социума современников на Земле.**

Социум Земли имеет базис и надстройку.

**Базисом** социума Земли **является Человек** - носитель Разума, **надстройкой** является деление социума по признакам пола, возраста, этноса и мировоззрения.

Первым и основным законом Космоса для **Носителя Разума** является Закон познания причинно-следственных связей - **Закон Кармы.**

Закон Кармы Носителем Разума выполняется всегда, везде и во всём. Лучше или хуже? - следствия качества исполнения.

\*\*

**Закон Кармы при анализе причинно-следственных связей требует расщепления** (мультиплетности, дифференциации) объекта исследования и изучения его частей.

**Закон Кармы при анализе причинно-следственных связей требует синтеза** (суммирования, интеграции) отдельных частей объекта исследований и описания объекта в целом.

Синтез и мультиплетность пульсирующего Космоса подобны истории с языками этнос-групп строителей Вавилонской Башни:

$$\frac{\text{Вавилонская Башня}}{\text{общий язык (до строительства)}} = \frac{\text{разделение языков (после строительства)}}{\text{общий язык (до строительства)}}. \quad (2.81)$$

\*\*

О разделении языков при строительстве Вавилонской Башни говорит религиозная притча. Говорит верно. Так, например, сегодняшняя наука разделена по тысячам направлений и продолжает расщепляться на новые.

Дошло до того, что специалисты уже в одной узкой специальности перестают понимать друг друга и ставят вопрос о разработке Единой Терминологии.

На мой взгляд сегодня создать эффективную Единую Терминологию наша цивилизация не может, ибо она **даже расщепляет с приближением.**

Создание Единой Терминологии станет возможным только после создания теории Единого Космоса, в которой приближения уступят место взаимодействиям.

Пока таких объединяющих работ нет, кроме моей "Единый Космос". Поэтому мне приходится ждать, когда произойдёт эволюция обезьяноподобных в человека.



Реальная **Вавилонская Башня** построена в виде семиуровневой Пирамиды в древней Месопотамии.

Каждый из семи уровней Пирамиды "Вавилонская Башня" покрашен в свой цвет (табл.2.6).

Каждый уровень Пирамиды "Вавилонская Башня" носит имя соответствующего Бога и имеет своё число (табл.2.6).

Поэтому я свяжу уровни Пирамиды со спектром света, а Числа – между собой (табл.2.6).

Таблица 2.6

**Семиуровневая ступенчатая Пирамида  
"Вавилонская Башня"**

Уровни	Боги - планеты	Цвет	Число	Процессы
1 основание	Сатурн	Чёрный	4	К Рупе из Арупы $0 \leftrightarrow \pm 1 \leftrightarrow \pm 2 \leftrightarrow \pm 3 \leftrightarrow \pm 4$
2	Юпитер	Охра	10	К гравитации $\rho_5 = 1+2+3+4 = 10$
3	Марс	Красный	8	Возмущённая среда $8 = \int_{4-1}^{4+1} \varphi d\varphi$ и $20 = \int_{10-1}^{10+1} \varphi d\varphi$
4	Солнце	Золото	20	
5	Венера	Бледно-жёлтый	15	Свет: $15 = 1+2+3+4+5$
6	Меркурий	Азуритовая лазурь	12	Продолжительность $12 \equiv T_0 \cdot \tau$
7 вершина	Луна	Серебро	30	К магнетизму $30 = 1^2 + 2^2 + 3^2 + 4^2$

Символизм **Вавилонской Башни** связан с её описанием поля с потенциалом 4, эквивалентным  $T_0$ , то есть Продолжительности в Рупе (Форме). До этого была Арупа (вне-Формы,  $\tau = 3$ ).

Арупа характеризуется тем, что вне-Форма имеет ноль-потенциал и Хаос броуновского движения, то есть **один общий "язык" общения**, как рабочие до строительства Вавилонской Башни (табл.2.6).

Строительство Вавилонской Башни начинается с основания, числа  $4 \equiv T_0$ , то есть с Рупы, в объёме которой появляются энергетические слои, **подобно тому, как в среде строителей Вавилонской Башни появляются этнические языки.**

\*\*

**Пирамида "Вавилонская Башня"** - это вектор - эпюра, которая описывает энергетику создания Вселенной.

Корнем, субстанцией, "основанием" Вселенной являются самосушие волны **вечной тьмы**. Поэтому **первый уровень Пирамиды "Вавилонская Башня" окрашен в чёрный цвет** (табл.2.6).

Вселенная состоит из **Корня** (самосуших волн), **Света и Сгустка**, то есть Рупы (Формы), продолжительность процессов в которой задаёт период вращения точечного участка волны света, равный  $T_0 = 4$ . Поэтому **потенциал первого ряда Вавилонской Башни равен 4** (табл.2.6).

В условиях Продолжительности, равной  $T_0 = 4$ , скорость трансформации электрического поля точечным участком волны света будет равна единице:

Скорость трансформации электрического поля светом
$v \equiv \frac{\sqrt[4]{qq^*}}{T_0} (E_\lambda + m_c) \cdot \omega_0 \equiv \frac{\sqrt[4]{16^2}}{4} \cdot \frac{2}{\pi} \cdot \frac{\pi}{2} = 1.$

(2.82)

\*\*

Рупа с потенциалом  $T_0 = 4$  возникает при сгущении Арупы самосуших волн, переходя уровни:

$0 \Leftrightarrow \pm 1 \Leftrightarrow \pm 2 \Leftrightarrow \pm 3 \Leftrightarrow$ Арупа	$\pm 4$ Рупа.
--	------------------

(2.83)

Потенциалы перехода Арупа - Рупа (2.83) в Книге Дзиан называются **формовщиками** [3], а Иисус Христос описывает их в "Откровениях" в форме вектор-эпюры Круга Универсума (рис.2.4).

\*\*

**Формовщики энергии не исчезают и не появляются вновь**, но, пульсируя в антирезонансном режиме, создают четверичные ряды второго и седьмого гравитационных уровней (табл.2.6):

Антирезонанс	
<i>Второй уровень (Юпитер)</i>	<i>Седьмой уровень (Луна)</i>
$1+2+3+4 = 10 \equiv \rho_5$ гравитация	$1^2+2^2+3^2+4^2 = 30 \equiv$ магнетизм.

(2.84)

При резонансе взаимосвязь между вторым и седьмым уровнями осуществляется через волновые поля с потенциал-эквивалентом 24 или Бога - Духа Святого:

<b>Резонанс</b>	
$\frac{\text{Седьмой уровень (Луна)}}{\text{Второй уровень (Юпитер)}} \equiv \frac{1^2 \cdot 2^2 \cdot 3^2 \cdot 4^2}{1 \cdot 2 \cdot 3 \cdot 4} = \frac{576}{24} \equiv \frac{24^2}{24} = 24.$	(2.85)

\*\*

Энергетические поля первого и второго уровня пульсируют, возмущая окружающую среду и создавая потенциалы третьего и четвёртого уровней:

<b>Единство поля Вавилонской Башни (табл.2.6)</b>			
Уровни и потенциалы	I – Сатурн, $4 \pm 1$	III – Марс, $8 \equiv \int_{4-1}^{4+1} \varphi d\varphi$	VI – Меркурий, $4+8 = 12 \equiv T_0\tau$
Уровни и потенциалы	II – Юпитер, $10 \pm 1$	IV – Солнце, $20 \equiv \int_{10-1}^{10+1} \varphi d\varphi$	VII – Луна, $10+20 = 30$
V – Венера	$15 \equiv 30 \int_0^1 \varphi d\varphi \Leftrightarrow 30 \int_1^0 \varphi d\varphi = -15.$		

(2.86)

В поле, эпюрой которого является Вавилонская Башня, возникает бесконечное множество энергетических разностей потенциалов (2.86), начиная с солнечного ряда:

<b>Свет и среда вокруг него</b>	
Свет	$1 + 2 + 3 + 4 + 5 + 6 + 7 + 8 = 36$
Среда	$0 + \int_{3-1}^{3+1} \varphi d\varphi + \int_{5-1}^{5+1} \varphi d\varphi + 2 \cdot (8^2 - 7^2) = 0 + 6 + 10 + 30 = 46.$

(2.87)

Свет и среда вокруг них с суммарным потенциалом 36 (2.87) появляются при антирезонансе.

\*\*

Резонанс - антирезонанс между I и II уровнями, а также между III и IV уровнями:

$$\frac{\text{антирезонанс}}{\text{резонанс}} \equiv \frac{4+10}{4 \cdot 10} = \frac{14}{40} = \frac{7}{2} \cdot 10^{-1} \Leftrightarrow \frac{4}{7} \cdot 10 \equiv \frac{20 \cdot 8}{20+8} \equiv \frac{\text{резонанс}}{\text{антирезонанс}}$$



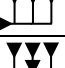

$$49 \Leftrightarrow 800. \quad (2.88)$$

В полях света в поле разности длин волн, например, от 4000Å до 4800Å (табл.0.3) возникает оболочка с потенциалом 49 (2.88).

Оболочку формируют **Дробы - Дзиан**, равные 7/2 и 4/7 (2.88). Вавилонская клинопись даёт эти дроби (табл.2.7).

Таблица 2.7

#### Дробы в Вавилонской клинописи ([1], стр.40)

Символ	Число	Расшифровка семитов	Моя расшифровка
	2/6	Бог $\equiv \nabla \blacktriangleright 1+1/2 = 1,5$	$\frac{2}{6} + \frac{3}{6} + \frac{4}{6} + \frac{5}{6} = \frac{14}{6} = \frac{7}{2} \equiv$ Кундалини (2.88).
	3/6	Пантеон Богов $\equiv$	
	4/6	$\nabla \blacktriangleright = 1,5 \times 10 = 15$	
	5/6		

Автор "Энциклопедии современной магии" ([1], стр.42) с гордостью и торжественно говорит, что "**синайские семиты в 1700 г. до н.э. на основе поэтическо-пророческого словаря чисел создали и ввели в обращение ангельский числовой алфавит**".

Такое утверждение **преднамеренная ложь**, ибо иудеи, в том числе и синайские семиты, брали магические Числа - Цифры из книги Дзиан. Например ([3], Станца VI):

**"3. Из Семи - Первый проявлен, Шесть сокрыты; Два проявлены, Пять сокрыты; Три проявлены, Четыре сокрыты; Четыре выявлены, Три сокрыты; Четыре и Один Цзан проявлены, Два и Половина Одного сокрыты; шесть должны быть проявлены, Один оставлен в стороне. Наконец, Семь Малых вращающихся колёс: одно, рождающее другое".**

Эта Станца является описанием лунного гравитационного поля, частной формой записи которого является **Пирамида "Вавилонская Башня"** (табл.2.6).

Цитируемая Станца несёт в себе и поэзию, и математику (Станца VI, Космогенезис):

Лунный ряд	1	+	2	+	3	+	4	+	5	+	6	+7
Сокрыт (поглощён)	6		5		4		3		2+1/2		0	7 Ма- лых колёс (2.89)
Проявлен (излучён)	1		2		3		4		4+1/2		6	
Оставлен в стороне											1.	

В соответствии с этой Станцей (2.89) на пятом уровне, то есть в поле энергии связи, при поглощении возникают потенциал - эквиваленты  $2,5 \pm 1$ .

Возникает Кундалини, которая в жидких средах вьёт молочно-белые спирали: 2,5 витка при сжатии и 3,5 витка при расширении.

На пятом уровне (2.89) возникает разность квадратов потенциалов, равная

<b>Живые магниты пятого уровня</b>	(2.90)
$4,5^2 - 2,5^2 = 14 \equiv \sqrt{\mu\mu^*}.$	

Этот потенциал является необходимым и достаточным для формирования живых магнитов.

Расширение спирали Кундалини на пятом уровне (2.89) ограничено расширением Вселенной:

<b>Пятый уровень: расширение Кундалини</b>
$4,5^2 - 3,5^2 = 8 \equiv T_0 c / \omega_0 = c^3 / \omega_0^3.$

(2.91)

\*  
\*\*

Кундалини пульсирует в резонансно-антирезонансном режиме (2.90, 2.91), создавая разность потенциалов, равную 20 и равную отношению разности длин волн красной и жёлтой областей спектра (табл.0.3).

Красно-жёлтые уровни Вавилонской Башни			(2.92)
Антирезонанс	Резонанс	Третий и четвёртый уровни	
$(14^2 - 8^2) -$	$(14 \times 8) =$	$132 - 112 = 20 = \Delta K / \Delta Ж.$	

Подробно цветовая гамма перехода от чёрного до белого цвета рассмотрена мною ранее при анализе Календаря Майи.

## 2.4 Величие Шумерской клинописи в описании Единого космоса

Цвет уровней Вавилонской Башни говорит о том, что её Строители хотели, в том числе, познакомить людей с влиянием спектра света на механизм трансформации одной формы энергии в другую.

Пределами цветовой гаммы в Вавилонской Башне являются чёрный цвет в основании Башни и серебряный (лунный) на седьмом (последнем) уровне (табл.2.6):

Чёрно-лунный переход в спектре света (табл.0.3).				(2.93)
Чёрный	Лунный	Чёрный	Лунный	
$\frac{1}{3600} \overset{\circ}{A} \Leftrightarrow 2800 \text{Å}$		1 $\Leftrightarrow 3600 \cdot 2800 = 7 \cdot 144 \cdot 10^4$ .		

Чёрный цвет имеет величину, обратную  $\Delta B = 3600$  потому, что белый свет - излучает, а чёрный поглощает.

При равновесии в области чёрного цвета в поле лунного света возникает потенциал  $7 \cdot 144 \cdot 10^4 \equiv (T_0 + \tau) \cdot T_0^2 \tau^2 \cdot 10^4$  (2.93).

\*\*

Равномерная пульсация лунного света связана с периодичностью излучения квант - эквивалента потенциала  $60^2 = 3600$ .

В течение Продолжительности вращения точечного участка фона, то есть за  $T_0 = 4$ , лунная поверхность излучит  $4 \cdot 3600 = 14400$  точечных участков.

Поверхностная волна Кундалини запишет след излучённых точечных участков фотонов как символы 8 и  $\infty$  (рис.2.7).

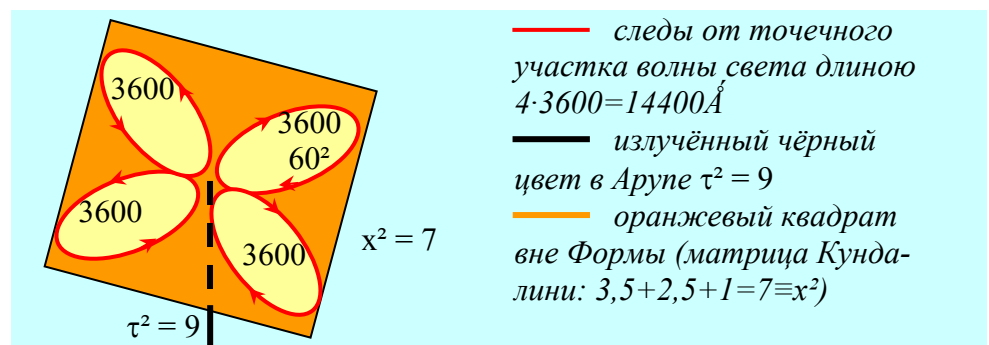


Рис.2.7 Цветок лотоса: точечные участки волны света в матрице поверхностной волны Кундалини



К этой структуре следов точного участка волны света в матрице Кундалини, сквозь объём Башни (поле) пробиваются чёрные самосушие волны вечной тьмы с периодичностью Арупы при излучении, то есть при  $\tau^2 = 9$  (рис.2.7).

На поверхности возникает белый солнечный свет, а в приповерхностных слоях жёлто-оранжево-красная комбинация (табл.0.3, рис.2.7):

$$\frac{\Delta K}{\Delta \lambda} \cdot \Delta O = 7600 \text{ Å} . \quad (2.94)$$

Эту комбинацию на шестом уровне Строители Вавилонской Башни покрасили цветом азуритовой лазури, а Индуизм (следуя терминологии Книги Дзиан) назвал цветком лотоса ([3, 4], рис.2.7).

Отличительной особенностью **Цветка Лотоса, то есть равномерной пульсации Кундалини, является то, что периметр каждого из четырёх его лепестков равен  $60^2$**  (рис.2.7).

\*\*

Общий лунный потенциал в поле равномерной пульсации чёрно-лунного цвета равен  $7 \cdot 144 \cdot 10^4$  (2.93), где 70, 14400 и 10 могут **иметь** свои индивидуальные формы энергии. Например:  $70 \equiv 140 \cdot (\pm \int_0^1 \varphi d\varphi)$  - постоянная медитации,  $14400 = (T_0 \cdot \tau \cdot \rho_5)^2$  - продолжительность взаимодействия света, а  $10 \equiv \rho_5 \equiv 10$  Божеств в области шеи в соответствии с Тибетскими представлениями о Сущности Человека [11].

Однако, при всей бесконечной множественности форм энергии  $7 \cdot 144 \cdot 10^4$  нам важнее всего определить скорость (динамику) записи в матрицу Кундалини точных участков волны света (рис.2.7):

<b>Скорость записи параметров света точным участком фонона в матрицу Кундалини</b>
$V_K = \frac{7 \cdot 144 \cdot 10^4}{x^2 = 7} = 14400 \cdot 10^2.$

(2.95)

Наши кураторы от великой Цивилизации подсказали древним грекам иную форму записи выражения (2.95):

$$14400 \cdot (10^2 = 55+45) = 14455+144515, \quad (2.96)$$

где: 55 - гравитационный десятичный ряд, включающий **формовщиков** ([3],  $1+2+3+4 = 10$ );  
 45 - энергетический ряд без формовщиков:

<b>Гравитационно-магнитная мультиплетность пятеричной связи</b>		
Форма поля	С формовщиками	Без формовщиков
Потенциал	$55 \equiv$	$45 \equiv$
Гравитация	$1+2+3+4+5+6+7+8+9+10$	$5+6+7+8+9+10$
Магнетизм	$1^2+2^2+3^2+4^2+5^2$	$\int_y^x \varphi d\varphi = \frac{1}{2}(x^2 - y^2)$
Субструктуры биоклетки	$55 \equiv 5 \cdot (9+2)$ МИТОЗ	$45 \equiv 5 \cdot (9+0)$ ДО МИТОЗА.

(2.97)

Древние греки послушались великую Цивилизацию и Обожествили число 14455, дав ему имя

$$\boxed{\text{Бог Времени Кронис} \equiv 14455 [15]} . \quad (2.98)$$

\*\*

Переход от 55 к 45, равный  $55 - 45 = 10$ , и эквивалентный 10 Божествам в области шеи человека по *Книге Мёртвых* [10], требовал обучения человечества считать до десяти.

\*\*

В Древности люди были чище - Боги ближе. Учить нас считать до 10 кураторы от великой Цивилизации стали, используя клинопись, цифры, символы:

Примеры десятичной формы записи цифр										
Арабская	1	2	3	4	5	6	7	8	9	10
Римская	I	II	III	IV	V	VI	VII	VIII	IX	X
Шумерская клинопись	•	••	•••	••••	—	—•	—••	—•••	—••••	—•••••

(2.99)

Эти цифры и число 10 (2.99) сопровождалось у шумеров, арабов и римлян поэтическими образами различных Богов. Синайскими семитами в этом древнем поэтическом творчестве **даже не пахло**. Поэтому попытку приписать авторство **открытия десятичной системы счисления иудеям из Синая можно считать очередной пиратской наглостью, которую автор "Энциклопедии современной магии" представил так:**

*"Однако, какой бы сложной и запутанной не стала клинопись с развитием поэтически-пророческого словаря чисел, именно синайские семиты в 1700 г. до н.э. создали всё охватывающий числовой язык. Сочетая фонетическое звучание шумерской клинописи с 22 избранными египетскими иероглифами на основе десятичной системы счисления своего собственного изобретения, они ввели в обращение ангельский числовой алфавит" ([1], стр.42).*

Иудеями в борьбе за Мировое Яйцо нельзя не восхищаться: **они как дети, что не увидят, всё в рот тянут.**

Однако, с позиции расшифровки десяти иудеи в Каббале запутались, и позвали на помощь не одного, а четырёх Адамов [12].

\*\*

Четырёх Адамов можно уволить из Каббалы, если **расположение разрядных значений в вавилонской клинописи рассматривать с позиции разности длин волн солнечного белого света:  $\Delta B = 3600 \text{ \AA} \equiv 60^2 \text{ \AA}$  (табл.2.8).**

Таблица 2.8

**Разрядные значения в вавилонской клинописи  
с позиции чёрно-белых колебаний**

Чёрно-белые колебания	Самосущие		Чёрные		Белые
	$\frac{1}{3600} \text{ \AA}$		$\rightarrow$	$\frac{1}{3600} \text{ \AA}$	$\rightarrow$ 3600 \AA
Пять уровней	1	2	3	4	5
	Внутреннее поле света				
Вавилонская клинопись ([1], стр.39)	1	$60^1$	$60^2$	$60^3$	$60^4$
По моей теории (табл.0.3).	1	$\sqrt{\Delta B} = 60$	$\Delta B = 3600$	$\Delta B^2 = 216 \cdot 10^3$	$\Delta B^3 = 1296 \cdot 10^4$
Приведённая пульсация	$\frac{\text{резонанс} \equiv 60^{1+2+3+4=10}}{\text{антирезонанс} \equiv 13179660} \equiv 0,0956 \cdot 10^6.$				

В результате приведённой пульсации в объёме Пирамиды "Вавилонская Башня" накапливается свет, и по шести направлениям трёхмерного пространства объёма Пирамиды (ядра лазерной точки) перемещаются кванты  $0,0956 \cdot 10^6$  (табл.2.8).

Величина одного линейного кванта будет равна

$$\frac{0,0956}{6} \cdot \sqrt[6]{60^6} \approx 0,16 \cdot 60 \equiv 9,6. \quad (2.100)$$

В поле взаимодействий импульс (2.100) будет обладать энергией, достаточной для формирования Ян-Инь:

$$\rho_5 \cdot 9,6 = 96 \equiv 64 + 32. \quad (2.101)$$

\*\*

Задолго до "**ангельского числового алфавита**" синайских семитов шумеры имели свои обожествлённые числа ([1], стр.38).

Имена шумерских Богов							
Боги	Иштар (богиня Луны)	Шамали (Одно- глазый Бог Солнца)	Син (бог Луны)	Эа (бог Воды)	Эндил (бог Бури)	Ану (бог Небес)	Сумма и отноше- ние
Число	15	20	30	40	50	60	$\frac{210}{15} = 14$

(2.102)

*Боги Шумеров и Числовые значения этих богов даны были великой Цивилизацией затем, чтобы шумеры поняли: **живые магниты рождаются в полярном вихре (Одноглазый Бог Солнца) под влиянием электромагнетизма** (2.102):*

$$\text{Живой Магнит} \equiv \frac{20 + 30 + 40 + 50 + 60}{15} = \frac{210}{15} = 14 \equiv \sqrt{\mu\mu^*}, \quad (2.103)$$

$$\text{где:} \quad 15 \equiv \left[ (16 = \sqrt{qq^*}) + (14 = \sqrt{\mu\mu^*}) \right] \cdot \left( \pm \int_0^1 \varphi d\varphi = \pm \frac{1}{2} \right). \quad (2.104)$$

\*

\*\*

В 3300 г. до н.э. шумеры знали свою письменность и сакральный смысл чисел своих богов как описание процесса рождения живых магнитов (2.103).

В 1700 г. до н.э. *синайские семиты* понятия не имели, что знали шумеры, и относились к ним, как Дарвин к обезьянам. Поэтому, не поняв Знания, накопленные человечеством до семитов, иудеи направили свои мысли на создание религий Запада во имя золотого тельца.

\*

\*\*

Даже сегодня многие научные работники в степенях и орденах не понимают **что такое относительные единицы.**

Блестящее невежество *по вопросу относительных единиц* демонстрируют и эзотерики в лице Учёного совета Музея им. Н.К.Рериха.

Эти люди не понимают, что если, например, берёшь чёрно-белый контур колебания (табл.2.8):

Чёрный $\Leftrightarrow$ Белый
$\frac{1}{3600} \overset{\circ}{A} \Leftrightarrow 3600 \text{Å} = \Delta B$
$1 = i^4 \Leftrightarrow 60^4$
$i \Leftrightarrow 60,$

(2. 105)

то размерность, в данном случае ангстремы, сокращается, и математическое описание процесса уходит в область Подобия безразмерных (относительных) единиц.

Не знали принципа подобия относительных единиц и синайские семиты, вводящие в любой свой расчёт размерность типа Адам, Ева, 14 колен (Авраам родил Исаака,...) и так далее (Библия).

Шумеры знали подобия относительных единиц, и это ставило их на значительно более высокий уровень, чем их интерпретаторов - синайских семитов.

О знании шумеров значимости относительных единиц свидетельствуют системы вавилонских чисел, где за одну относительную единицу берутся числа 10 и 60 ([1], стр.38).

После знакомства с моей работой **Единый Космос** становится понятным, что **система вавилонского счисления шумеров описывает свет в Едином Космосе (2.106):**

<b>Система вавилонских чисел в относительных единицах</b>								
Система	1 отн. ед. $\equiv$ 10				1 отн. ед. $\equiv$ 60			
Числа	1	10	100	1000	1	60	600	6000
Символы	т	◀	⤴	◀ т	т	Т	₪	Т <sup>-</sup>
Система	1 относительная единица $\equiv$ 10 и 60							
Числа	1	10	60	600	3600	36000	316660	
Символы	т	◀	Т	₪	☉	☾	☼	

(2.106)

Ситуацию "Свет в Едином Космосе" описывает и Станца III Космогенезиса Книги Дзиан **"5. Корень остаётся, Свет остаётся, Сгустки остаются и все же, Оаеоһоо Един"**.

Внимательное знакомство с Пятикнижием Моисея, Каббалой и другой литературой, авторами которых были семиты, приводит к выводу, что они не понимали основного, то есть **роли Света**, а в ряде случаев ставили изучение Света под запрет. Приведу пример.

\*  
\*\*

И.Ньютон исследовал свет. И.Кеплер, проверяя основы логарифмического счисления, открыл законы движения планет в Солнечной Системе.

Философ Гегель сказал, что движение планет он рассчитает теоретически точнее и лучше, чем И.Кеплер. Материал изложил в диссертации "Об орбитах планет" [25]. Из расчёта ничего не получилось. Вместо выводов написал максимумы типа: квадрат характеризует законы тела, а треугольник - законы Духа, или **"в истинной арифметике только единица складывается с двойкой и только двойка вычитается из тройки, и, в то же время, в ней ни единица не является разностью, ни тройка суммой"**.

Затушевывая хвастливые обещания и свалив неудачи на арифметику, Гегель не только получил искомую учёную степень, но его философия, наряду с натурфилософией Л.Фейербаха, учением о классовой борьбе К.Маркса, стала составной частью марксизма.

Поразительно и то, что несмотря на явный провал своей работы с позиции понимания реалий Единого космоса, Гегель, совместно с поэтом-естествоиспытателем Гейне (Бей в барабан и не бойся), успевает прочесть мораль И.Ньютону. Суть морали сводится к тому, что свет - это божье творение и изучать свет может только Бог.

Точно также, как Гейне не понял Ньютона, так семиты - каббалисты не поняли шумеров.



Шумерская наука была направлена не на изучение биржевых ведомостей от золотого тельца, а на раскрытие причинно-следственных связей Света в Едином Космосе.

Образно говоря, шумеры изучали Круг Универсума, связанный с колебаниями самосуших волн ( $2 = \pm 1$ ) в Ару-пе взаимодействий Света.

Исходя из анализа системы счисления шумеров (2.106), я представляю себе Круг Универсума цивилизации шумеров так, как показано на рис. 2.8.

Этот Круг Универсума должен был начинаться с нуля и переходить к единице, описывая на внешней поверхности круга Дзиан:

$$+ \int_0^1 \varphi d\varphi = \pm \frac{1}{2} . \quad (2.107)$$

Поверхность Круга в низшей области должна отражать независимость Кундалини от режима пульсации во взаимодействиях (рис.2.8):

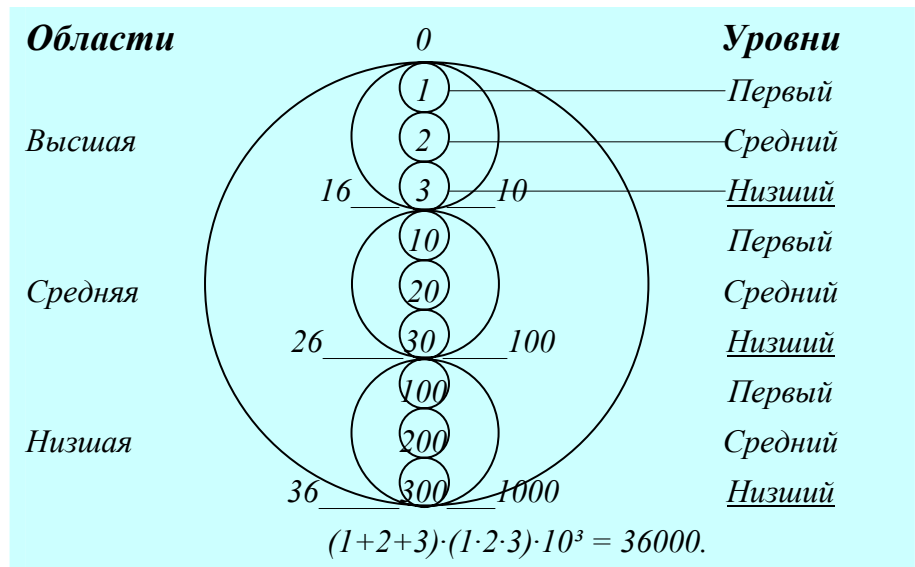


Рис.2.8 Круг Универсума шумерской Цивилизации

Независимость Кундалини от пульсации и мультиплетности			
Мультиплетность в жидкой фазе	Кундалини	Режим пульсации	
		Антирезонанс	Резонанс
$3,5^2 - 2,5^2 = 3,5 + 2,5$	6	$1 + 2 + 3 = 6$	$1 \cdot 2 \cdot 3 = 6$
Потенциал в низшей области: $\rho_5 \Delta B \equiv 36000 \equiv (1+2+3) \cdot (1 \cdot 2 \cdot 3) \cdot 10^3$ .			

(2.108)

\*\*

Далее потенциалы Круга Универсума шумеров определяются разностями (2.8):

$$36 - 26 = 10 \equiv 26 - 16, \quad (2.109)$$

где: 16, 26 и 36 - фундаментальные базовые потенциалы Единого Космоса.

Сумма потенциалов перехода между средней и высшей областями Круга (рис.2.8):

$$(26+16 = 42) \Leftrightarrow (26^2 - 16^2 = 420), \quad (2.110)$$

где: 42 - эквивалент 42 Божествам твоего Сердца,

пульсация:  $26 \cdot \int_0^1 \varphi d\varphi = 13$  приводит к включению *био-часов Жизни*.

Интенсивность течения Жизни увеличивается в 10 раз при достижении разности квадратов потенциалов (2.110).

Система счисления шумеров (2.106) определяет потенциалы смещения при пульсации света:

Области	Высшая	Средняя	Низшая
Отно- шение	$\frac{1 \cdot 2 \cdot 3}{1 + 2 + 3} = 1$	$\frac{10 \cdot 20 \cdot 30}{10 + 20 + 30} = 10^2$	$\frac{100 \cdot 200 \cdot 300}{100 + 200 + 300} = 10^4$
Произве- дение	$6 \cdot 6 = 36$	$36 \cdot 10^4$	$36 \cdot 10^8$

(2.111)

Переход через энергетическое поле Круга Универсума Шумеров приводит к формированию цис-транс изомерической разности квадратов потенциалов, а затем к разности потенциалов между энергией Арупы (Круг Универсума Шумеров) и энергией Рупы (Круг Универсума Иисуса Христа).

Эту разность можно рассчитать (табл.2.9).

Таблица 2.9

### Арупа - Руа: появление Тянь

Круг Универсума	Квадрат потенциалов
Круг Универсума Шумеров (Арупа, рис.2.8)	$(36 \cdot 10^3)^2 \int_0^1 \varphi d\varphi = 648 \cdot 10^6$
Круг Универсума Иисуса Христа (Руа, рис.2.4)	$(4 \cdot 10^3)^2 \int_1^0 \varphi d\varphi = -8 \cdot 10^6$
Разность квадратов (сумма $\equiv$ Тянь)	$[648 + (-8)] \cdot 10^6 \equiv 64 \cdot 10^7$

Появление потенциала  $10^6$  обеспечивало эффект Кирлиан и Ауру как составную часть иммунной системы Живого (табл.2.9).

Переход к частотам 107 обеспечивал формирование в сгустке Тянь электромагнитных сред с потенциалами  $\varepsilon_0$  и  $\mu_0$  [14].

\*\*

Познакомившись с табл.2.9, спросите себя, уважаемый Читатель, могли ли знать синайские семиты, или мудрецы Сиона, или пираты Евры, промышляющие и берегов Африки, те проблемы Единого Космоса, которые описывала Шумерская Клинопись? Нет, не могли!

Следовательно, пираты Евро описывали цивилизацию Вавилона с позиции своего мировоззрения, а точнее с позиции своего миронепонимания.

Великая Цивилизация послала Иисуса Христа. Его распяли. Он вознёсся и продиктовал "Откровения". Не вняли и продолжали настаивать на том, что **синайские семиты ввели в обращение ангельский числовой алфавит** [1].

\*\*

Свою терминологию семиты берут из Книги Дзиан, которую исказили ещё хуже, чем Вавилонскую Башню.

Мудрецы - семиты либо **прямо цитируют Книгу Дзиан, например в Каббале**, употребляя выражения: **"Великий День "Будь с Нами"**, *искажая смысл Станц своими комментариями, либо косвенно, используя язык Книги.*

Например, Теогенезис Книги Дзиан начинается Станцей IX [4]: **"4. Сказал Он Святым: "Соберите своих хозяев и сделайте жилища, достойные Ангелов Голоса. Они приведут новорожденных Сынов Воли и Йоги по открытой мною тропе, чтобы они смогли заселить огненную Красную Звезду новой расой".**

Не успели Евро понять эти строки, как тут же стали говорить, что именно они создатели **поэтическо-ангельского числового алфавита** [1], и что они избраны Богом для заселения новых жилищ.

"Гульчитай! Открой личико!"...

Ах! Он назвал меня любимой женой"

# Глава 3

## Магия Китая в Реалиях три- и гексограмм: уроки из тьмы Веков

Элементы великой Пирамиды (рис.0.3, табл.0.6) и гексограммы Книги Перемен взаимосвязаны.

Причем, гексограмма описывает поле, в котором всегда имеет место быть цис-транс изомерия. Поэтому гексограмму можно записать как две, связанные между собой триграммы:

Штрих - запись пульсации			(3.1)
Источник информации	Книга Перемен (гексограмма)	Китайский Ключ к Магии ([1] триграммы)	
Примеры штрих-записи			

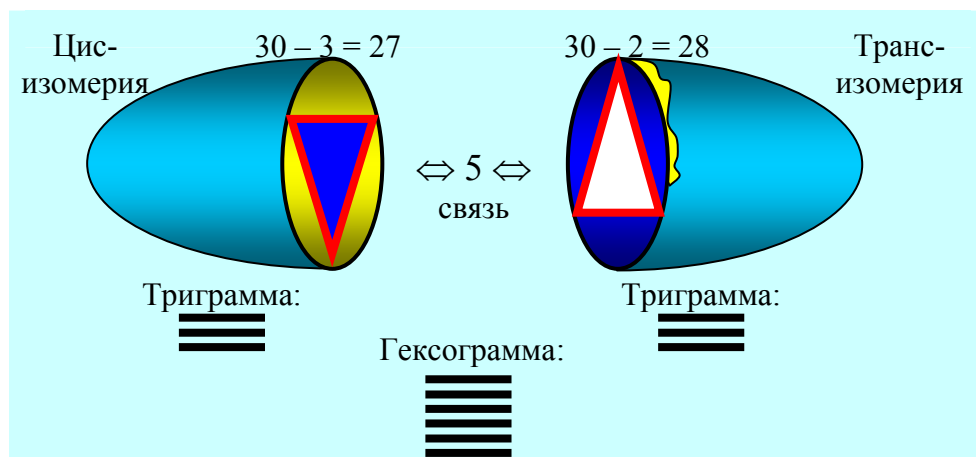


Рис.3.1 Квант света и описание его пульсации гексо- и триграммами.

По существу, гексо- и триграммы описывают **Абсолют**, который связан с квантом света во внутреннем поле взаимодействующих между собой волны ( $E_{\lambda}c = 1$ ), частицы света ( $m_{\lambda}c = 1$ ) и электромагнитной среды ( $\epsilon_0 \cdot \mu_0 \cdot c^2 = 1$ ) между ними (рис.3.1).

Потенциал этих полей равен 30:

Изомерия света (рис.3.1).	
Цис-	Транс-
$(m_c c + \epsilon_0 \cdot \mu_0 \cdot c^2 + E_\lambda c) p_5 = 30$	$-(m_c c + \epsilon_0 \cdot \mu_0 \cdot c^2 + E_\lambda c) p_5 = -30.$


(3.2)

Шумеры обожествляли эти числа (1.2).

Цис-изомерию с потенциалом +30, работающую на расширение, они называли богиней Луны, а транс-изомерию с потенциалом (-30), работающую на сжатие, шумеры почитали как бога Луны.

В своей религии шумеры почитали мужское и женское Начала, придавая этим Началам значимость свойств сперматозоида и женской яйцеклетки.

Древние цивилизации Запада почитали Луну, описывая её потенциал диаграммой Ян-Инь:

Описание Луны диаграммой Ян-Инь	
$Луна \equiv 30 \equiv \int_2^n \varphi d\varphi - \int_8^n \varphi d\varphi \equiv$	

(3.3)

Женщины были равноправны с мужчинами, и те и другие были богами.

\*\*\*

Цис-транс изомерия света с потенциалами  $\pm 30$  (3.2) нашла своё Подобие в формировании органов человека: возникла, например, сине-голубая чakra Третий Глаз, границей раздела синей и голубой областей в которой является волна в  $4800\text{\AA}$ , а потенциал, равный 480, также почитается как богиня Луны [1].

Это значит, что при медитации в области Третьего Глаза возникают сине-голубые колебания, формирующие, в конечном счёте, квант света с потенциалом  $36^4 \times 1,2 T_0 \cdot \tau$ :

Сине-голубая пульсация в чакре Третий Глаз	
Без медитации	При медитации
$\frac{48 \cdot 30}{48 - 30} \Leftrightarrow \frac{48 + 30}{48 \cdot 30}$	$0 \Leftrightarrow (48 \cdot 30)^2 - (48^2 - 30^2) \equiv 1440^2 - 1404 \approx 1,2 \cdot 36^4 \equiv \rho_2 T_0 \cdot \tau \cdot 36^4.$

(3.4)

Медитация на уровне Подсознания в канале проводимости с ноль - потенциалом даёт возможность медитирующему интенсифицировать процессы фотосинтеза в своём организме и, в конечном счёте, вступить на **Тропу Теогенезиса**, вершиной которого будут люди Воли и Йоги, то есть мы с вами.

\*\*

Окружности, ограничивающие основание эллипсоидов, являются одновременно квантованными орбитами вращения с периодичностью  $T_0 = 4$  точечных участков волны света.

Орбита точечного участка волны света пульсирует как пульсируют волны, то есть  $\pm T_0 = \pm \tau$ :

Влияние пульсации $T_0 \pm 1 = 4 \pm 1$ на квант света (рис.3.1).			
Изомерия	Цис-изомерия	Связь	Транс-изомерия
Поля	Внутреннее	Внешнее	Внутреннее
Потенциалы	$T_0 - 1 = 3$	$T_0 + 1 = 5$ $-5 = -(1 + T_0)$	$-3 = 1 - T_0$
Эпюра	Треугольник	Пентаграмма	Треугольник.

(3.5)

Внутренние поля полуэллипсов пульсируют как Абсолют, и могут быть записаны штрих-кодом Книги Перемен или Китайской Магии (3.1).

Внешнее поле пятеричной связи (3.5) будет пульсировать в резонансно-антирезонансном режиме, формируя контур колебания ( $1/2 \Leftrightarrow 2$ ):

Пульсация Пятеричной связи Света		
Режим	Антирезонанс	Резонанс
Пентаграмма в Яйце ([3], Космогенезис)	$(T_0+1)^2-[-(T_0+1)^2]$ $= 5^2 - (-5^2) = 50$	$(T_0+1) \cdot [-(T_0+1)]$ $= 5 \cdot (-5) = -25$
Взаимодействие	$50 = \lg \frac{\rho_3 \rho_4}{\rho_1}$	$-25 = \lg \rho_1 \rho_2$
Колебания	$\frac{50}{-25} = -2 \equiv -\lg \rho_2^2 \Leftrightarrow -\lg \rho_5^2 \equiv -\frac{1}{2} \equiv \frac{-25}{50}$ .	

(3.6)

\*\*

Пульсация Пятеричной Связи Света (3.6) распространяется на всю Вселенную, ибо свет трансформирует все без исключения формы Энергии Вселенной.

Областью приложения Пятеричной Связи Света будет являться оболочка света (полуэллипсоид) с потенциалом 30 (3.2, рис.3.1).

При взаимодействиях с двумя оболочками эллипсоидов с потенциалом 30 сама пятеричная связь будет расщепляться, например:

$$5 \equiv 3+2 \Leftrightarrow -2 - 3 \equiv -5. \quad (3.7)$$

Соответственно будут изменяться потенциалы оболочек света (рис.3.1):

$$(30 - 2) = 28 \Leftrightarrow 27 = (30 - 3). \quad (3.8)$$



Возникает Свечение Тонкой Энергии, потенциалы полуэллипсов которых равны  $27 \Leftrightarrow 28$ , а облучённые его полем семена увеличивают урожайность в семь раз и так далее, о чём я рассказывал в предыдущих работах по Единому космосу.

\*  
\*\*

В Китайской Магии есть два компаса: земной и небесный ([1], рис.3.2).

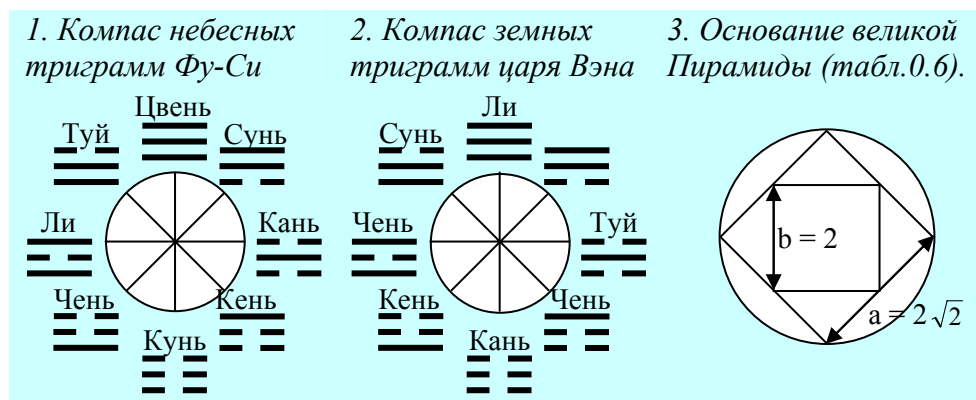


Рис.3.2 Подобия Триграмм магии Китая  
и основания великой Пирамиды

Взяв за основу Книгу Перемен, китайская Магия **фиксировала**, что земной и небесный компасы развёрнуты под прямым углом.

Китайские маги работ С.И.Вавилова не читали и не поняли, что фронт волны света в земной атмосфере и в небесах развёрнут относительно друг друга на угол  $\pi/2$ , то есть на угол поляризации.

Поляризация фронта волны света на угол  $\pi/2 \equiv \omega_0$  происходит всегда при переходе солнечного тёплого света в холодный люминесцентный свет, или из люминесцентного в солнечный.

*Триграммы и гексограммы в поле света (рис.3.1) определяют потенциал данного конкретного кванта света в окружающей среде.*

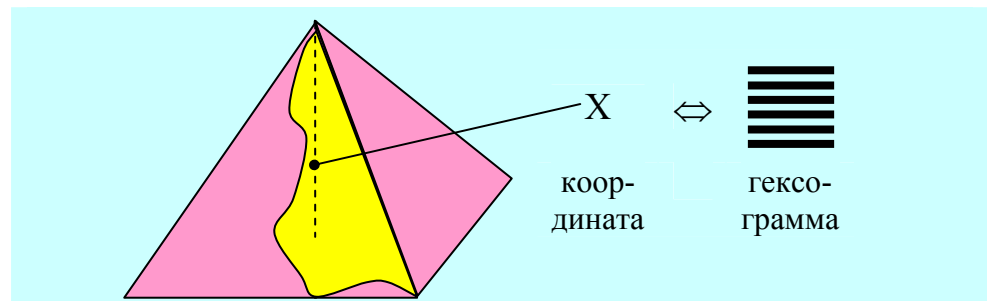
Изменение потенциалов сгущающихся квантов света определяется пропорциями великой Пирамиды (рис.0.3, табл.0.6).

Для Науки и Техники великой Цивилизации было важно оперативно и эффективно *определять потенциалы любой точки в объёме Пирамиды.*

Таким экспресс-методом описания потенциалов кванта света в среде является штрих-запись китайских триграмм, заимствованных из гексограмм Книги Перемен, оставленной нам великой Цивилизацией.

Вместе с тем, великая Цивилизация знала, что пропорции великой Пирамиды описывают **незыблемые Космические Законы сгущения Небесных Тел.**

Для того, чтобы управлять Энергией Синтеза-Мультиплетности Небесных Тел, надо было находить любую энергетическую координату в объёме Пирамиды, и штрих-запись совместили с пропорциями Пирамиды, например, с её основанием (рис.3.2) и объёмом (рис.3.3).



*Рис.3.3 Описание точки X в объёме великой Пирамиды гексограммой из Книги Перемен*

При незыблемости законов синтеза-мультиплетности небесных тел знание энергетической координаты в объёме Пирамиды (рис.3.3) давало возможность управлять всеми процессами, в том числе стационарными энергоустановками и установками на транспортных средствах, включая НЛО.

Управление космической энергией затрагивало и Живое: геномы наследственности, субструктуры биоклетки, саму биоклетку... и организм в целом.

Вопросы совместимости биотканей при их трансплантации были решены. Система врачевания поднялась на небывало высокий уровень.

### **3.1 Магия Китая: сгущение Тонкой Энергии в объёме великой Пирамиды**

Вернёмся к методу определения энергетики букв алфавита современного русского языка [21].

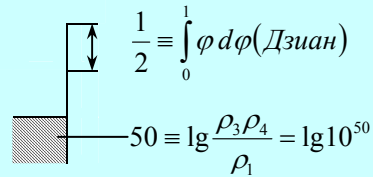
Исходной концепцией в этом методе было то, что **точечный участок волны света, проходя по поверхностной волне Кундалини, оставляет след, то есть записывает информацию о себе в матрицу Кундалини.**

Информационная матрица Кундалини была связана с дробью - Дзиан Космоса (рис.3.4).

В этом поле периметр квадрата со стороной Дзиан будет равен 2 ( $4 \text{ Дзиан} = 4 \cdot \frac{1}{2} = 2$ ), а потенциал взаимодействий логарифмических волн достигнет 50 (рис.3.4).

В поле информационной матрицы Кундалини появится возможность символической записи числа 100 штрихом **——** (рис.3.4).

### 1. Насыщенная информационная матрица Кундалини



$$\frac{1}{2} \equiv \int_0^1 \varphi d\varphi (\text{Дзиан})$$

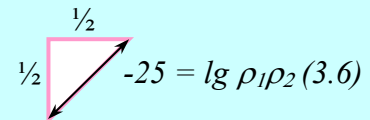
$$50 \equiv \lg \frac{\rho_3 \rho_4}{\rho_1} = \lg 10^{50}$$

Характеристика ячейки-квадрата со стороной Дзиан (3.6):

Периметр квадрата со стороной Дзиан (4 Дзиан = 2) умноженный на взаимодействия (символ  $\blacksquare$ ), где

$$\blacksquare \equiv 4 \text{ Дзиан} \times \lg \frac{\rho_3 \rho_4}{\rho_5} \equiv 2 \cdot 50 \equiv 100$$

### 2. Ненасыщенная информационная матрица Кундалини



$$-25 = \lg \rho_1 \rho_2 (3.6)$$

Характеристика ячейки - треугольника (символ  $\blacktriangle$ ):

$$\blacktriangle = 2 \cdot \text{Дзиан} \cdot \lg \rho_1 \rho_2 = 2 \cdot \frac{1}{2} (-25) = -25.$$

Рис.3.4 Структура информационной матрицы Кундалини

\*\*

Насыщение сгустка - это не насыщение Космоса Невесомости. В эндотермии Космоса Невесомости возникнет полуквадрат вне Формы, символ ( $\blacksquare$ ) которого описывает Число минус двадцать пять (рис.3.4).

Итак, мы получили *То, обо* Что споткнулся Гегель: "квадрат - эпюра тела, треугольник - эпюра духа" (рис.3.4).

Вторая проблема Гегеля, связанная с истинной арифметикой, где:

$$1+2=3 \text{ (не сумма) и } 3-2=1 \text{ (не разность),}$$

возникала не как Парадокс Природы, а из-за того, что Гегель применил арифметику логарифмических волн к ядерным процессам:

Максимум [25]	$2 + 1 = 3$ (не сумма)	$3 - 2 = 1$ (не разность)
Реалии поля	$10^2 \cdot 10^1 = 10^3$	$10^3 / 10^2 = 10$
Расчёт Гегеля	$2 + 1 = 3$ ошибка $\frac{1}{3} 10^3$ раз	$3 - 2 = 1$ ошибка в 10 раз.

(3.9)

Так что, уважаемые магистры и маги, не надо валить на природу то, в чём вы не разбираетесь.

\*\*

Любой физик знает, что материалы с биполюсной структурой доменов поляризуются, в частности, как в форме параллельного, так и в форме взаимоперпендикулярного расположения доменов (рис.3.5).

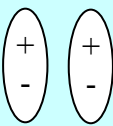
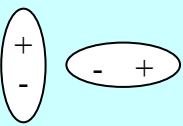
<p>1. Плоско-параллельная поляризация</p>  <p>Домены</p>	<p>2. Взаимоперпендикулярная поляризация</p>  <p>Домены</p>
Гексограммы по Книге Перемен (рис.3.1).	Триграммы по магии Китая (рис.3.2).

Рис.3.5 Запись поляризации гексо- и триграммами

Эти формы поляризации можно записать в форме штрихов (рис.3.5):


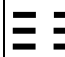
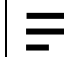
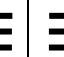
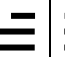


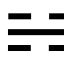
- плоско-параллельную поляризацию - гексограммой, как в Книге Перемен;
- взаимно перпендикулярную - триграммами, как в Магии Китая (рис.3.2).

Гексаграмма удобна для определения окружающей среды, например, при полёте НЛО; триграмма - для определения сгущения внутренних полей Сгустков.

Магия Китая применила взаимно параллельно-перпендикулярную поляризацию сориентировав её на стороны света: юг (ю), север (с), восток (в), запад (з), северо-восток (св), северо-запад (сз), юго-восток (юв) и юго-запад (юз) в двух компасах триграмм: небесном (Фу-Си) и земном царя Вэна (табл.3.1).

Таблица 3.1

**Компас небесных и земных триграмм  
(Фу-Си, царя Вэня) [1]**

Иероглиф		Чьень	Кунь	Сунь	Туй	Кень	Чень	Кань	Ли
Символ									
Числа (рис.3.4)		100	-25	100	-25	100	-25	-25	100
		100	-25	100	100	-25	-25	100	-25
		100	-25	-25	100	-25	100	-25	100
Сумма (анти-резонанс)		300	-75	175	175	50	50	50	175
Произведение (резонанс)		10 <sup>6</sup>	-5 <sup>6</sup>	-5 <sup>2</sup> ·10 <sup>4</sup>	-5 <sup>2</sup> ·10 <sup>4</sup>	5 <sup>4</sup> ·10 <sup>2</sup>	5 <sup>4</sup> ·10 <sup>2</sup>	5 <sup>4</sup> ·10 <sup>2</sup>	-5 <sup>2</sup> ·10 <sup>4</sup>
Сто-роны света	Фу-Си	Ю	С	ЮЗ	ЮВ	СЗ	СВ	З	В
	Царь Вэнь	СЗ	ЮЗ	ЮВ	З	СВ	В	С	Ю.

Реалией, в которой реализуется отклонение земной и небесной триграмм, является **прецессия, то есть отклонение земной оси от линии горизонта, что вызвано движением звёздного неба** (табл.3.1).

Прецессия - это общность микро-макро Единого Космоса:

Прецессия		Дзиан Космоса	
Звёздное Небо	Земля	Метагалактика	Сгустки
Триграмма Фу-Су	Триграмма царя Вэна	$\int_0^{-1} \varphi d\varphi -$	$\int_1^0 \varphi d\varphi -$
$\pi$	$\pi - \pi/2 = \pi/2$	$\int_{-1}^0 \varphi d\varphi = 1$	$\int_0^1 \varphi d\varphi = -1.$
$\sin \pi = 0 \Leftrightarrow$ $1 - \cos \pi$	$\sin \pi/2 = 1 \Leftrightarrow$ $0 = \cos \pi/2$		

(3.10)

\*\*\*

Крутящие моменты, охватывающие прецессии всех микро-макро миров Единого Космоса (3.10), мы можем вычислить исходя из крутящих моментов в поле триграмм (табл.3.1, табл.3.2).

Таблица 3.2

### Антирезонанс - резонанс полей Фу-Си и царя Вэня

Параметры	Потенциалы иероглифов (табл.3.1).	Результат
Сумма	$300 - 75 + 175 + 175 + 50 + 50 + 50 + 175$ Антирезонанс, где $900 \equiv \Delta K - \Delta \Phi$	$= 900 \equiv K,$ $\equiv K_1$
Произведение	$10^6 \times (-5^6) \times (-5^2 \cdot 10^4) \times (-5^2 \cdot 10^4) \times (5^4 \cdot 10^2) \times$ $(5^4 \cdot 10^2) \times (5^4 \cdot 10^2) \times (-5^2 \cdot 10^4) = K_2$	$K_2 \equiv +5^{28} \cdot 10^{26}$
Время и гравитация	Логарифмическая волна: $\log_5 5^{28} = 28$ - формирует гравитацию, $\lg 10^{26} \int_0^1 \varphi d\varphi = 13$ - реализуется во Времени.	

Резонансно-антирезонансная пульсация сгустков и Космоса Невесомости вокруг сгустков, которые китайские маги описали как **триграммы Фу-Си и царя Вэня**, приводят к формированию **спектра света** ( $\Delta K - \Delta \Phi = K_1 = 900$ ), **поле гравитации и течение Времени**, то есть череды Продолжительностей по *13-ти лунному Календарю Вселенной* (табл.3.2).

Если бы китайские маги, в распоряжении которых была **Книга Перемен**, знали бы о Законах Единого Космоса, то они могли бы открыть **Закон возникновения Живых Магнитов Вселенной**.

Однако китайские маги и сегодня не представляют о чём, в конечном счете, идёт речь в Книге Перемен, хотя многое интуитивно чувствуют и слагают прекрасные стихи в честь царя Вэня.

**Знакомить с законом рождения живых магнитов Вселенной предстоит мне**, уважаемый Читатель, что я с удовольствием делаю, обращая Ваше внимание на резонансо-антирезонансную пульсацию Вселенной (табл.3.2, табл.3.3).

Таблица 3.3  
**Рождение живых магнитов в пульсирующей Вселенной**

Процессы	Колебания
Ядерные процессы	$\frac{\text{антирезонанс}}{\text{резонанс}} = \frac{K_1 = 900}{K_2 = 5^{28} \cdot 10^{26}} = \frac{3^2}{5^{52} \sqrt{2}^{48}} \Leftrightarrow \frac{5^{52} \sqrt{2}^{48}}{3^2} = \frac{\text{резонанс}}{\text{антирезонанс}}$ $3^4 \Leftrightarrow 5^{104} \cdot \sqrt{2}^{96}$
Логарифмические волны	$\log_3 3^4 = 4 \Leftrightarrow 104+96 \equiv \log_5 5^{104} + \log_{\sqrt{2}} \sqrt{2}^{96}$ $0 \Leftrightarrow 196 \equiv 14^2 \equiv \mu\mu^*$ <p style="text-align: center;">живые магниты.</p>

Старение живых магнитов (табл.3.3) в биологической Жизни связано с переменной направления (знака) движения Пятеричной связи:



Старение и реинкарнация Живых Магнитов			(3.11)
Поля	До старения	Старение	
Колебания	$0 \Leftrightarrow 196 \equiv \mu\mu^*$ Живые Магниты	$0 \Leftrightarrow -104 - 4 + 96;$ $108 \Leftrightarrow 96$ и $12 \Leftrightarrow 0,$	
	$0 \Leftrightarrow 196 \cdot \left( \frac{\rho\rho^*}{qq^*} = \frac{7}{4} \right) 7^3$	где: 108 - число реинкарнаций, $12 \equiv T_0 \cdot \tau.$	

В случае перемены знака в поле живых магнитов возникает резонансный вихрь Арупы - Рупы с продолжительностью  $12 \equiv T_0 \cdot \tau$  (3.11).

Этот резонансный вихрь Арупы - Рупы сокращает продолжительность биологической Жизни живых магнитов до 108 реинкарнаций (3.11).

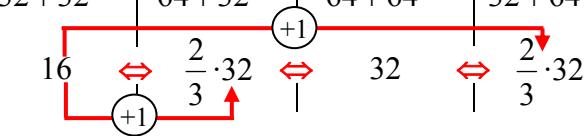
Биологическая Жизнь периодически прерывается из-за перехода из антирезонанса Арупы - Рупы ( $T_0 + \tau$ ) к резонансу ( $T_0 \cdot \tau$ ):

Вихри фотон - фононов в Дни нашей Жизни				(3.12)
Этапы	Молодость	Старость	В вечность Жизни	
Колебания	$T_0 + \tau = 7$	$12 \equiv T_0 \cdot \tau$	$7/4 \Leftrightarrow 3 \equiv \tau$ Пальма в Арупе.	

**Магия и марксизм не исключают Случайностей. Но в Космосе Случайностей нет. Поэтому Создатель и ведёт нас к Красной Звезде Теогенезиса Человека Воли и Йоги с вечной антирезонансной семеричностью (3.11):**

$$\mu\mu^* \frac{\rho\rho^*}{qq^*} = 196 \cdot \frac{7}{4} = (7 \equiv T_0 + \tau)^3 \equiv \left[ \rho_2^2 \Delta K \int_0^1 \phi d\phi \right]^3. \quad (3.13)$$

Магия Китая, анализируя Книгу Перемен, использовала её предсказательные значения, например, для системы "Су Сянь" ([1], стр.377):

Предсказательно - управляющие свойства Ян-Инь				
Название символа	Большая Инь	Малая Инь	Большая Ян	Малая Ян
Символ	$\equiv \equiv$	$\equiv \equiv$	$\equiv \equiv$	$\equiv \equiv$
Примеры предсказания	Север Зима Луна Уши	Восток Весна Зодиак Нос	Юг Лето Солнце Глаза	Запад Осень Планеты Рот
Мой подход: $\equiv \equiv \equiv 32$ $\equiv \equiv \equiv 64$ , где: 32 - Цинь 64 - Тянь	<div style="display: flex; justify-content: space-around;"> <div> <math>\frac{32 \cdot 32}{32 + 32} =</math>  <math>16</math> </div> <div> <math>\frac{64 \cdot 32}{64 + 32} =</math>  <math>\frac{2}{3} \cdot 32</math> </div> <div> <math>\frac{64 \cdot 64}{64 + 64} =</math>  <math>32</math> </div> <div> <math>\frac{32 \cdot 64}{32 + 64} =</math>  <math>\frac{2}{3} \cdot 32</math> </div> </div>  <p>Приведённая резонансно-антирезонансная пульсация.</p>			

В случае, показанном в (3.14), я к примерам предсказательных символов Ян-Инь ([1], стр.377) добавил числа 32 и 64, то есть числа иероглифов, которыми описываются Тянь-Цинь.

В поле Тянь-Цинь формируются контуры приведённых резонансно-антирезонансных колебаний (3.14).

Символы начинают работать точно так же, как и сами энергетические кванты.

В кванте с потенциал - эквивалентом  $16 \equiv \sqrt{qq}^*$  (3.14) возникают окислительно-восстановительные процессы, подобные потере зарядов электрона и позитрона.

Электрическое поле (3.14) теряет два заряда и становится магнитным:

<b>Трансформация электрического поля в магнитное</b>	(3.15)
$(\sqrt{qq^*}=16) - 2 \equiv (14 = \sqrt{\mu\mu^*}).$	

Электрон-позитрон (3.15) попадают в небеса Цинь, насыщая их электричеством.

В физиологии протекание подобных процессов насыщает, например, цитоплазму биоклетки, что влечёт за собой возникновение субструктуры (9+2) и далее митоз биоклетки (3.14):

<b>Формирование субструктуры митоза</b>	(3.16)
$\overset{+1}{\frac{2}{3} \cdot 32} \equiv \frac{2}{3} \cdot 33 = 2 \cdot (9+2) \Leftrightarrow 2 \cdot (9+2) = \frac{2}{3} \cdot 33 \equiv \overset{+1}{\frac{2}{3} \cdot 32}.$	

Субструктура (9+2) биологической клетки при митозе возникает в условиях трансформации электрического поля *в магнитное* (3.15) и формирования электрического контура колебаний (3.14) в магнитный:

<b>Магнитные колебания размножения и телепатии</b>	(3.17)
$14 \Leftrightarrow 2 \cdot (9+2) \Leftrightarrow 32 \Leftrightarrow 2 \cdot (9+2), \quad \text{где } 2 \cdot (9+2) = 22.$ $0 \Leftrightarrow 22 - 14 = 8 \Leftrightarrow 10 \equiv 32 - 22 \Leftrightarrow 0.$	

С позиции Магии контур колебания (3.17) связан с передачей магнитного импульса памяти через телепатические каналы сверхпроводимости в небесах:

Приём-передача информативной памяти (3.17)			
Импульс памяти	Сигнал передачи	Небеса - Цинь	Сигнал приёма
$14 \equiv \mu^*$	$2 \cdot (9+2) \cdot 10^{20}$	$32 \cdot 10^{20}$	$2 \cdot (9+2) \cdot 10^{20}$

(3.18)

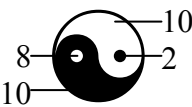
Именно по такой схеме (3.18) работал Авраам после того, как боги научили его 22-м буквам [12].

Именно по этой схеме каждый из нас - вас, уважаемый Читатель, передаёт свою генную наследственность в отношении 1 : 3 через два поколения (закон Г.Менделя).

\*\*\*

Два поколения в законе Г.Менделя о расщеплении генной наследственности появляются как форма компенсации разности потенциалов  $10 - 8 = 2 \Leftrightarrow 0$  (3.17).

Это поле описывается диаграммой Ян-Инь и приводит к шумерскому богу Луны и богине Луны с потенциалом  $\pm 30$ :

Потенциалы Луны		
Диаграмма Ян-Инь	Шумерские [1]	
	Богиня Луны	Бог Луны
	$\int_2^{10} \varphi d\varphi - \int_8^{10} \varphi d\varphi =$ $48 - 18 = 30$	$\int_8^{10} \varphi d\varphi - \int_2^{10} \varphi d\varphi =$ $18 - 48 = -30.$

(3.19)

Лунное поле расщепляет генную наследственность в отношении 1 : 3, что предопределяется скоростью взаимодействий света под Луной:

Скорость взаимодействия света под Луной: расщепление геной наследственности 1:3	
$v \equiv \frac{\text{Взаимодействие}\bracket{\text{солнечного света}}}{\text{Луна}(3.19)} \equiv \frac{\rho_5 = 10}{\pm 30}$	<div>Закон Менделя</div> $\equiv 1 : 3.$

(3.20)

\*\*

**Одинокй Луч** (потенциал 48), (3.19) и вода с молекулярным весом 18 (3.19) играют основную роль в процессе размножения живого и описываются в Космогенезисе Книги Дзиан так:

**"4. Тьма излучает Свет, и Свет роняет одинокй Луч в Воды, в Глубину Лона Матери. Луч пронизывает Девственное Яйцо, Луч пробуждает трепет в Вечном яйце и зароняет Зародыш, не вечный, который сгущается в Мировое Яйцо ([3], Станца III).**

Пытаясь понять эту Станцу, семиты создали Космогонию Каббалы, но работали словами - пустышками, а взаимосвязь потенциалов у них оставалась в стороне.

Сейчас мы знаем, что эти потенциалы 2, 8 и 10 (3.19), и что между этими потенциалами возникает неравновесная резонансно-антирезонансная пульсация:

$$\frac{\text{резонанс}}{\text{антирезонанс}} = \frac{8 \cdot 2}{8^2 - 2^2} = \frac{16}{60} \Leftrightarrow \frac{36}{80} \equiv \frac{10^2 - 8^2}{8 \cdot 10} \equiv \frac{\text{антирезонанс}}{\text{резонанс}},$$

$$16 \cdot 80 \Leftrightarrow 60 \cdot 36 \quad \text{или} \quad 16 \Leftrightarrow 27 \Leftrightarrow \sqrt{2}^8. \quad (3.21)$$

Возникают колебания самосущих волн вечной тьмы ( $\sqrt{2}^8$ ) и Арупы ( $27 = 3^3 = \tau^\tau$ ) по трём направлениям пространства, в котором появляется эллипсоидальное Свечение Тонкой Энергии с потенциалами  $27 \Leftrightarrow 28$ .

Это Свечение будет сгущать небесные тела (Тонкие Энергии) по закону с пропорциональностями элементов великой Пирамиды (3.21):

Сгущение Тонкой Энергии в объёме Пирамиды			
Самосуш тьма	Свече ние	Заро дыш	Объём великой Пирамиды
$\sqrt{2}^8$	$\Leftrightarrow$ 27	$9\sqrt[4]{2}$	$\Leftrightarrow \frac{\rho_5}{30} \sqrt{2}^6 \sqrt[4]{2} \cdot T_0 = \frac{1}{3} 8 \cdot 2^{7/4} = \frac{1}{3} a^2 H$

(3.22)

Сгущение Тонкой Энергии в объёме Пирамиды (3.22) возвращает нас к необходимости определения энергетических координат любой точки в объёме по триграммам или гексограммам (рис.3.3).

\*\*\*

Важнейшим моментом в Магии Китая является попытка понять Сакральный Смысл Книги Перемен, и отличный от семитов ход логических построений.

### 3.2 Энергетика полей - эквивалентов триграммам магии Китая

Сгущение Тонкой Энергии происходит за счёт увеличения интенсивности пятеричной связи.

Мультиплетность (расщепление) Энергии Материи возникает при снижении интенсивности пятеричной связи.

Синтез-мультиплетность пятеричной связи проявляет себя во взаимодействиях и может быть описана штрих - кодом Ян-Инь (рис.3.4):

Пятеричная связь в поле самосуших волн			
Пульсация	Взаимосвязь		Возмущение сред
Ян-Инь	Анти-резонанс	Резонанс	
$\text{---} \Leftrightarrow \text{---}$ $100 \Leftrightarrow -25$	$\text{---} \Leftrightarrow \text{---}$ $5^3 \Leftrightarrow 0$ Пятеричная связь	$\text{---} \Leftrightarrow \text{---}$ $\pm 4 \Leftrightarrow \mp 1$ Самосушие волны	$\int_0^{\pm 1} \varphi d\varphi \Leftrightarrow \int_3^{\pm 4} \varphi d\varphi = 5$ $\pm \frac{1}{2} \Leftrightarrow \frac{1}{2} (5^6 - \sqrt{2}^8).$

(3.23)

Пульсация самосуших волн в поле пятеричной энергии связи приводит к возмущению как самого Космоса с появлением в нём потенциала Дзиан ( $\pm 1/2$ ), так и среды в Космосе с возникновением в ней разности потенциалов (3.23):

$$\pm 1 \Leftrightarrow 5^6 - 4^2 \quad \text{и} \quad -1 \Leftrightarrow 5^6 - 2 \cdot 5, \quad (3.24)$$

где:  $4^2 = (5 - 1)^2 = 5^2 - 2 \cdot 5 + 1$ .

Самосушие волны в поле пятеричной связи будут совершать движение только в одном направлении - направлении сжатия в сгустки, где потенциал

$$-2 \cdot 5 = -10 \equiv \lg 10^{-10} \equiv \lg \rho_2^{\rho_2}$$

даст начало слабым короткодействующим взаимодействиям (3.24):

$$-1 \Leftrightarrow 5^6 - 10 \equiv 5^6 + \lg \rho_2^{10}, \quad (3.25)$$

$$\text{при } -1 = \cos \pi \equiv \sin \frac{3}{2} \pi. \quad (3.26)$$

Возникнут холодные (эндотермические) волны вечной тьмы, связывающие Космос Невесомости и микро-макро сгустки в нём в Единый Космос.

\*  
\*\*

Достигая гравитационных полей притяжения микро-макро сгустков Вселенной космические волны Космоса Невесомости (3.26) меняют знак (направленность) Движения:

$$+1 \Leftrightarrow -5^6 + 2 \cdot 5 \equiv -5^6 + \rho_5, \quad (3.27)$$

$$\text{при } +1 = \sin \pi/2 \equiv \cos (2\pi). \quad (3.28)$$

Возникают взаимодействия солнечного экзотермического света.

\*  
\*\*

С эндо-экзотермической трансформацией мы встречаемся всегда и везде. Например, Солнце излучает тепло, в Космосе Невесомости тепло трансформируется в холод и снова становится теплом уже под влиянием гравитационного поля Земли.

Отметим также, что носителями слабых взаимодействий являются космические элементарные частицы: бозоны, мюзоны, ... (табл.3.4).

Таблица 3.4

#### Формирование Ян сгущением волн

Форма поля	Космос Невесомости	Космос Гравитации
Термия	Эндо-	Экзо-
Волны тьмы	$-1 \Leftrightarrow 5^6 + (\lg \rho_2^{10} = -10)$ $-1 = \cos \pi = \sin \frac{3}{2} \pi$	$+1 \Leftrightarrow -5^6 + (\rho_5 = +10)$ $+1 = \cos 2\pi = \sin \frac{\pi}{2}$
Свет из тьмы	В Невесомости обратных волн нет	$2\pi = \arccos (+1)$ $\pi/2 = \arcsin (+1)$
Появление сгустка Ян (3.23)		$2\pi : \pi/2 = 4 \equiv \overline{\text{Ян}}$
Примечание	Носителями слабых взаимодействий являются космические частицы: бозоны, мюзоны, ...	



Появившийся сгусток Ян (Капля жидкой плазмы) великая Цивилизация описывает так:

**6. Корень Жизни был в каждой Капле Океана Бессмертия, и Океан был Светом Лучезарным, который был Огонь и Тепло, и Движение. Тьма исчезла и более не существовала; она исчезла в своём Естестве, в Теле Огня и Воды, Отца и Матери ([3], Космогенезис, Станца III).**

\*\*

Структуру штрих - записи *Ян-Инь* (рис.3.4).

<i><b>Величины Ян-Инь в относительных единицах</b></i>					(3.29)
<i>Название</i>	<i>Символ</i>	<i>Дзиан</i>	<i>относи- тельная единица</i>	<i>Масштаб</i>	
<i>Ян</i>	—	100	4	$\times 5^2$	
<i>Инь</i>	--	-25	-1	$\times 5^2$	

можно сопоставить друг с другом как  $[4:(-1)] \times 5^2$  относительных единиц.

В этих относительных единицах (3.29) мы легко можем подсчитать потенциалы структуры семьи двойной триграммы из восьми членов (табл.3.5).

Если учесть, что **на основе семьи триграмм из восьми членов магия составила сорок таблиц триграмм Востока и сорок таблиц триграмм Запада** и гадает по ним, вводя в содержание таблиц буквально все атрибуты ментальной энергии и энергии Материи, но мы всю эту мешанину свойств приведём в упорядоченное королевство чисел (табл.3.5).

Таблица 3.5

**Восемь основных триграмм в числах  $\times 5^2$  (3.29)**

Наименование		Чьень	Туй	Ли	Чень	Сунь	Кань	Кень	Кунь
Символы									
Суммы	12	4	-1	4	-1	4	-1	4	-1
	12	4	4	-1	-1	4	4	-1	-1
	12	4	4	4	4	-1	-1	-1	-1
Свет	36	12	7	7	2	7	2	2	-3
Резонанс		$\frac{12 \cdot 7^3 \cdot 2^3}{-3} \sqrt{\sin \pi/4} = (-8 \cdot 2^{-7/4}) \cdot 7^3 \equiv -3V_{\Pi} \cdot 7^3,$ <p>где: <math>3V_{\Pi}</math> - три объёма великой Пирамиды;  <math>7^3</math> - семеричность в трёхмерном Пространстве.</p>							

По существу, восемь основных триграмм (табл.3.5) описывает энергетику Единого Космоса.

По этой энергетике **не только гадать** на короля-даму можно, **но можно управлять Вселенной**. Но магам такое управление не дано и дано никогда не будет: у Вселенной уже есть хозяин, и этот Хозяин - Свет.

**Не магия болтунов, а варагия** созидания света нужна Всевышнему.

### 3.3 Гексограммы Книги Перемен и Древнего Китая

Маги Китая работали, изучая Книгу Перемен, в которой приводятся гексограммы, природа происхождения которых связана со структурой света (рис.3.1).

Маги Китая по числу перестановок определили 64 гексограммы. Каждой из гексограмм дали название и индивидуальный номер; ввели в гексограммы планетарные параметры, отношение силы, в частности, силы правления, добавили из спектра света цвет, составили таблицы и стали гадать.

Однако, маги Китая не поняли главного: гексограммы описывают **энергетику восьми уровней расширяющейся Вселенной**, а эти Знания достойны лучшего применения, чем предсказывать что? Где? Когда? Король будет делать с дамой, а власть с народом. Это ясно без предсказаний: **тупая власть всегда будет насиловать тёмный народ.**

Нам важно понять энергетику гексограмм затем, чтобы **нынешняя (наша) цивилизация на Земле могла развить научно-технический прогресс и стать новой великой Цивилизацией, рождённой Землёй.**

Руководствуясь этой великой и благородной целью, разобьём 64 гексограммы на восемь групп и определим их количественные характеристики.

\*\*

Первую группу гексограмм сформируем из восьми элементов (табл.3.6).

Запишем их порядковый номер, название, символ, используя магию Китая [1], а затем подсчитаем сумму потенциалов Ян-Инь (табл.3.6).

Таблица 3.6

**Первая группа гексограмм Магов Китая  $\times 5^2$**

Название	1 Чьень	2 Кунь	3 Чунь	4 Мен	5 Су	6 Сунн	7 Ших	8 Би	Суммы
Символ									$(-1) \cdot 28 + 4 \cdot 20 = 52$
Числа	$6 \cdot 4 =$	$6 \cdot (-1) =$	$4 \cdot 2 + (-1) \cdot 4 =$	$4 \cdot 2 + (-1) \cdot 4 =$	$4 \cdot 4 + (-1) \cdot 2 =$	$4 \cdot 4 + (-1) \cdot 2 =$	$4 + (-1) \cdot 5 =$	$4 + (-1) \cdot 5 =$	
Суммы	24	-6	4	4	14	14	-1	-1	52.

В первой группе гексограмм в полях пятеричной связи ( $\times 5^2$ ) Единого Космоса возникает поле гравитации ( $-1.28 \equiv -\sqrt{\rho\rho^*}$ ) и красно-жёлтая область спектра солнечного белого света, так как

$$4 \cdot 20 \equiv T_0 \cdot (\Delta K = 1400 \text{ \AA}) / (\Delta J = 70 \text{ \AA}). \quad (3.30)$$

Отношение гравитации к красно-жёлтой области спектра формирует живые магниты (табл.3.6):

$$\frac{-1.28 \cdot 5^2}{4 \cdot 20 \cdot 5^2} = -\frac{1}{4} \left( 1.4 = \frac{3.5}{2.5} \right), \quad (3.31)$$

основой которых является отношение ветвей расширения-сжатия Кундалини (3.31)

В этом же поле (табл.3.6) возникает отсчёт череды Продолжительностей (Время) по 13-ти лунному календарю:

$$\frac{52}{T_0 = 4} = 13. \quad (3.32)$$

Возникающая гравитация начинает формирование первого периода периодической системы геномов (рис.0.3).

Космогенезис Книги Дзиан ([3], Станца III) описывает поведение Кундалини в поле перехода Арупы в Рупу ( $\tau \rightarrow T_0$ ) так:

**"4. Трое уппадают в Четыре. Лученосное Естество усьмиряется, Семь внутри, Семь во вне (табл.3.5). Сияющее Яйцо, в себе Троичное (рис.3.1), сворачивается, распространяясь молочно-белыми Сгустками в Глубинах Материи, Корне, растущем в Недрах Океана Жизни".**






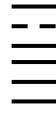
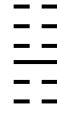

\*

\*\*

Сумма потенциалов второй группы гексограмм равна 92, а сумма первой и второй -  $92+52 = 144 = 12^2$  (табл.3.6 и табл.3.7).

Таблица 3.7

**Вторая группа гексограмм Магов Китая  $\times 5^2$**

На- звание	9 Сяо- Чу	10 Лю	11 Тай	12 Би	13 Тон- рень	14 Та-Ю	15 Чьень	16 Ю	Сум- мы
Сим- вол									$4 \cdot 28 + (-1) \cdot 20 = 92$
Числа	$4 \cdot 5 + (-1)$	$4 \cdot 5 + (-1)$	$4 \cdot 3 + (-1) \cdot 3$	$4 \cdot 3 + (-1) \cdot 3$	$4 \cdot 5 + (-1)$	$4 \cdot 5 + (-1)$	$4 + (-1) \cdot 5$	$4 + (-1) \cdot 5$	
Сум- мы	-19	19	9	9	19	19	-1	-1	92.

По сравнению с первой группой, во второй группе гравитация переходит из поля Инь в поле Ян:

Ян: II группа	Инь: I группа	
$4 \cdot 28 \cdot 5^2$	$\Leftrightarrow$	$(-1) \cdot 28 \cdot 5^2$
$28 \cdot 5^3$	$\Leftrightarrow$	0,

(3.33)

и гравитация с пятеричной связью распространяется по всему трёхмерному пространству.

Красно-жёлтая область спектра сохраняется

$$(-1) \cdot 20 \equiv -\Delta K / \Delta J \text{ (табл.3.7).}$$

Кундалини сохраняется (3.31).

\*

\*\*

Суммарный потенциал третьей группы из восьми гексограмм даёт суммарный потенциал, равный 42 (табл.3.8).

Таблица 3.8

**Третья группа гексограмм Магов Китая × 5<sup>2</sup>**

На- звание	17 Суй	18 Ку	19 Линь	20 Куань	21 Шуххо	22 Пи	23 По	24 Фу	Сум- мы
Сим- вол									$(-1) \cdot 30$ $+4 \cdot 18 =$ 42
Числа	$(-1) \cdot 3$ $+4 \cdot 3$	$(-1) \cdot 3$ $+4 \cdot 3$	$(-1) \cdot 4$ $+4 \cdot 2$	$4 \cdot 2 +$ $(-1) \cdot 4$	$4 \cdot 3 +$ $(-1) \cdot 3$	$4 \cdot 3 +$ $(-1) \cdot 3$	$4 \cdot 1 +$ $(-1) \cdot 5$	$(-1) \cdot 5$ $+4 \cdot 1$	
Сум- мы	9	9	4	4	9	9	-1	-1	42.

В Книге Мёртвых потенциал 42 описан так:

**"На шестой день пребывания в Бордо перед тобой предстанут 42 Грозных Божества. Они порождение твоего чистого сердца. Познай их." [20].**

С позиции электрогравитационного магнетизма потенциал 42 формирует в сердце и мозге гравитационно-магнитные компоненты:

$$\begin{aligned} \text{Сердце} &\equiv 42 \equiv 28 + 14 \equiv \sqrt{\rho\rho^*} + \sqrt{\mu\mu^*} \\ \text{Мозг} &\equiv 42 + (16 \equiv \sqrt{qq^*}). \end{aligned} \quad (3.34)$$

В этом же поле формируется ядерное вещество с плотностью  $\gamma_n = 4 \cdot 18 = 72$ , Чакра Третий Глаз или богиня и бог Луны с потенциалом (табл.3.2):

$$(-1) \cdot 30 = -30, \quad (3.35)$$

символизм которых отражён на седьмом, покрытом серебром, уровне Вавилонской Башни.

\*\*

В четвёртой группе потенциал Ян равен

$$4 \cdot 26 = 104 \equiv 8 \cdot 13, \quad (3.36)$$

то есть, согласован с 13-ти лунной пульсацией и расширением Вселенной (табл.3.9).

Таблица 3.9

**Четвёртая группа гексограмм Магов Китая  $\times 5^2$**

На- звание	25 ВуВан	26 Та Чу	27 И	28 Та Куо	29 Кань	30 Ли	31 Слень	32 Хен	Сум- мы
Сим- вол									$+4 \cdot 26 + (-1) \cdot 22 = 82$
Числа	$4 \cdot 4 + (-1) \cdot 2$	$4 \cdot 4 + (-1) \cdot 2$	$4 \cdot 2 + (-1) \cdot 4$	$4 \cdot 4 + (-1) \cdot 2$	$4 \cdot 2 + (-1) \cdot 4$	$4 \cdot 4 + (-1) \cdot 2$	$4 \cdot 3 + (-1) \cdot 3$	$4 \cdot 3 + (-1) \cdot 3$	
Сум- мы	14	14	4	14	4	14	9	9	82.

Потенциал Ян становится равным  $-1 \cdot 22 = -22$ , то есть становится потенциал - эквивалентом  $22 \equiv 2 \cdot (9+2)$  субструктуре биоклетки при митозе, а также потенциал - эквивалентом 22 буквам Авраама, посредством которых передавалась информация методом телепатии [12].

В этой группе описывается появление магнитного поля ( $14 \equiv \sqrt{\mu\mu^*}$ ) из Арупы ( $9+9$ ), а затем переход в Рупу через магнитное поле  $9 \rightarrow 14 \rightarrow 4$  (табл.3.9).

Переход Арупа - Магнитное поле - Рупа формирует периодическую систему геномов с максимальным потенциалом 63 (табл.0.3, табл.3.9):

$$\left[ (14+14+14+14) \cdot \frac{9+9}{4+4} \right] \cdot \left( \pm \int_0^1 \varphi d\varphi = \pm \frac{1}{2} \right) \equiv \pm 63. \quad (3.37)$$

\*\*

Пятая группа гексограмм описывает механизм формирования ядерного вещества с плотностью  $\gamma_n = 72$  в поле Рупы (табл.3.10).

Таблица 3.10

**Пятая группа гексограмм Магов Китая  $\times 5^2$**

На- звание	33 Тунь	34 Та Чуан	35 Чинь	36 Мин И	37 Чиа Цзень	38 Куэй	39 Чьень	40 Съех	Сум- мы
Сим- вол									$4 \cdot 24 +$ $-1 \cdot 24 =$ $72$
Числа	$4 \cdot 4 +$ $-1 \cdot 2$	$-1 \cdot 2 +$ $4 \cdot 4$	$4 \cdot 2 +$ $-1 \cdot 4$	$-1 \cdot 4 +$ $4 \cdot 2$	$4 \cdot 4 +$ $-1 \cdot 2$	$4 \cdot 4 +$ $-1 \cdot 2$	$-1 \cdot 4 +$ $4 \cdot 2$	$-1 \cdot 4 +$ $4 \cdot 2$	$\gamma_n =$
Сум- мы	14	14	4	4	14	14	4	4	72.

Арупы в ядерном веществе с плотностью  $\gamma_n = 72$  нет (табл.3.10), но зато есть взаимодействия, которые увеличивают энергию ядерного вещества вдвое, формирую резонансные вихри жидкой плазмы (табл.3.10):

$$\gamma_n \cdot \lg \rho_1 \rho_2 \rho_3 \rho_4 \rho_5 = 72 \cdot 2 = 144 = 12^2 \equiv T_0^2 \cdot \tau^2. \quad (3.38)$$

Ядерный процесс (3.37) упорно пытается понять Йога, в частности, и в особенности Агни (Огонь) - Йога.

Однако труженики Агни-Йоги процесс не понимают, так как не знают, во-первых, эффективность взаимодействия света ( $\rho^* = 10$ ) и разность потенциалов перехода между пятой и четвёртой группами гексограмм, равной  $82 - 72 = 10 \equiv \rho^*$ .

Красивые Слова, на которые так щедра, и которыми так богата Агни-Йога, нам, людям, надо научиться подкреплять потенциалами - Числами.



Без количественных оценок процессов будет получаться как в **теории кварков В.Гинзбурга**: одни красивые слова о несуществующих кварках.

\*\*

Отличительной особенностью пятой группы гексограмм является равенство количества Ян и Инь между собой, и их равенство 24 (табл.3.10):

$$(\text{—} \equiv 4 \equiv \text{Ян}) \cdot 24 \Leftrightarrow (\text{--} \equiv -1 \equiv \text{Инь}) \cdot 24, \quad (3.39)$$

где **24 с религиозных позиций 24 Пресвятых Престола вокруг Трона Христа на Небе (Откровения)**.

В поле третьей - пятой групп гексограмм возникает постоянная Вселенной:

$$1008 = 24 \cdot 42 = 28 \cdot 36 = 63 \cdot 16 = 72 \cdot 14 =, \quad (3.40)$$

с которой происходит трансформация полей Тонкой Энергии и Энергии Материи. Например, в ядерном веществе ( $\gamma_n = 72$ ) возникают магнитные поля ( $14 \equiv \sqrt{\mu\mu^*}$ ):

$$1008 = \gamma_n \cdot \sqrt{\mu\mu^*} = 72 \cdot 14. \quad (3.41)$$

\*\*

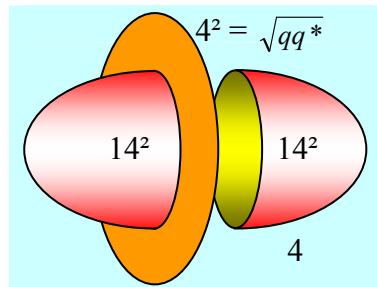


Рис.3.6 Магнитное поле Рупы (табл.3.10).

Среди множества вариаций трансформаций полей, описанных гексограммами пятой группы, например, есть вариант формирования электромагнетизма (табл.3.10, рис.3.6).

$$14^2 \Leftrightarrow 16 \Leftrightarrow 14^2; \\ \mu\mu^* \Leftrightarrow \sqrt{qq^*} \Leftrightarrow \mu\mu^* \quad (3.42)$$

\*  
\*\*

В шестой группе гексограмм сохраняется потенциал - эквивалент 22 букв телепатической передачи информации  $(-1 \cdot 22)$  и ход 13-ти лунного календаря (табл.3.11):

$$4 \cdot 26 \cdot \omega_0^3 / c^3 = 4 \cdot 26 \cdot 8 = 13.$$

Таблица 3.11

**Шестая группа гексограмм Магов Китая  $\times 5^2$**

На- звание	41 Сунь	42 И	43 Куай	44 Кен	45 Цуй	46 Шен	47 Кунь	48 Чин	Сум- мы
Сим- вол									$4 \cdot 26 + (-1) \cdot 22 = 82$
Числа	$4 \cdot 3 +$ $-1 \cdot 3$	$4 \cdot 3 +$ $-1 \cdot 3$	$-1 +$ $4 \cdot 5$	$4 \cdot 5 +$ $-1$	$-1 \cdot 4 +$ $4 \cdot 2$	$-1 \cdot 4 +$ $4 \cdot 2$	$-1 \cdot 3 +$ $4 \cdot 3$	$-1 \cdot 3 +$ $4 \cdot 3$	82
Сум- мы	9	9	19	19	4	4	9	9	
При- ме- чание	Вода $\equiv$ $9 + 9 = 18$		Оранжевый цвет: $19 + 19 = 38 \equiv$ $\rho_2 \cdot \Delta O$		Свет $\equiv 4 \cdot 9 + 4 \cdot 9 =$ $36 + 36 =$ 72.				

Возникает множество вариантов формирования энергетических форм, в том числе воды, света и оранжевого свечения света (табл.3.11).

В этом поле сохраняются условия для расцвета Жизни.

\*  
\*\*

В шестой группе гексограмм даётся описание появления гравитационно–антигравитационных полей в условиях течения времени по тринадцати лунному календарю (табл.3.11):

Гравитация во Времени			
Гравитация		13-ти лунное время	
Дальний порядок	Ближний порядок	Дальний порядок	Ближний порядок
Сунь ⇔ Коу	И ⇔ Куай	Цун ⇔ Чин	Шен ⇔ Кунь
$\frac{9 \cdot 19}{9 + 19} = \frac{171}{28} \Leftrightarrow \frac{28}{171} = \frac{9 + 19}{9 \cdot 19}$		$\frac{4 \cdot 9}{4 + 9} = \frac{36}{13} \Leftrightarrow \frac{13}{36} = \frac{4 + 9}{4 \cdot 9}$	
$0 \Leftrightarrow 171^2 - 28^2 = 28457$		$1127 = 36^2 - 13^2 \Leftrightarrow 0$	
$0 \Leftrightarrow 28457 - 1127 = 27330 \Leftrightarrow 0.$			

(3.43)

Поразительно, но при эндотермии слабых взаимодействий  $\rho_2^2 = 10^{-2}$ , колебания гравитационного поля в ритме 13-ти лунного календаря даёт возможность определить температуру абсолютного нуля в Космосе Невесомости, равную  $-273,3^\circ$  по Цельсию (3.43):

Абсолютный ноль температуры	(3.44)
$0^\circ\text{K} \Leftrightarrow (1127 - 28457) \cdot \rho_2^2 \equiv 273,3^\circ\text{C} \Leftrightarrow 0^\circ\text{K}.$	

где  $^\circ\text{K}$  и  $^\circ\text{C}$  - соответственно градусы по Кельвину и Цельсию.

В полученном результате (3.44) нет никаких магических чудес, ибо и температура, и взаимодействия есть следствие одного и того же процесса: резонансно - антирезонансного столкновения частиц-сгустков и наложения волн.

Общностью взаимодействие - температура - столкновение мы пользуемся всегда и во всём, не замечая этого.

Например, температурная шкала по Цельсию градуирована по температурам кипения воды и таяния льда и приведена к десятичной системе, точно так же, как взаимодействия.

\*\*

По суммарным результатам седьмая группа гексограмм (табл.3.12) повторяет пятую группу (табл.3.10) и описывает состояние ядерного вещества с удельной плотностью  $\gamma_n = 72$ .

Таблица 3.12

**Седьмая группа гексограмм Магов Китая  $\times 5^2$**

Название	49 Ко	50 Тин	51 Чень	52 Кень	53 Чьень	54 Куэй Мэй	55 Фен	56 Лю	Сум- мы
Сим- вол									$-1 \cdot 24 + 4 \cdot 24 = 72$
Числа	$-1 \cdot 2 + 4 \cdot 4$	$4 \cdot 4 + -1 \cdot 2$	$-1 \cdot 4 + 4 \cdot 2$	$4 \cdot 2 + -1 \cdot 4$	$4 \cdot 3 + -1 \cdot 3$	$-1 \cdot 3 + 4 \cdot 3$	$-1 \cdot 3 + 4 \cdot 3$	$4 \cdot 3 + -1 \cdot 3$	
Суммы	14	14	4	4	9	9	9	9	72.

Однако, колебательные процессы дальнего и ближнего порядка в этих группах различны:

1. Колебания, которые описывают гексограммы пятой группы (табл.3.10) - это колебания магнитных ( $14 \equiv \sqrt{\mu\mu^*}$ ) самосуших ( $4 = \sqrt{2}^4$ ) волн в воде ( $14 + 4 = 18 \equiv \text{Mn}_2\text{O}$ ). Это постоянные колебания, как для ближнего, так и для дальнего порядков (табл.3.10, табл.3.13).

Появление ноль - потенциала в поле (табл.3.13) связано, например, с гравитацией ( $28 \equiv \sqrt{\rho\rho^*}$ ) или потенциалом, равным ( $9+0$ ), вытесняемого самосущими волнами из объёма энергетического поля к его оболочке.

Таблица 3.13

**Постоянство колебаний магнитных самосуищих волн в  
воде: гексограммы пятой группы (табл.3.10)×5<sup>2</sup>**

Поряд- ки	Цис-изомерия				Транс-изомерия			
	Дальний		Ближний		Дальний		Ближний	
Иерог- лифы	33 Тунь	36 МинИ	34 Чуан	35 Чинь	37 Чиа- Шень	40 Сьех	38 Куэн	39 Чьень
Потен- циалы	14	4	14	4	14	4	14	4
Коле- бания	$\frac{14 \cdot 4}{14 + 4} \Leftrightarrow \frac{14 + 4}{14 \cdot 4} \Leftrightarrow \frac{14 \cdot 4}{14 + 4} \Leftrightarrow \frac{14 + 4}{14 \cdot 4}$ $28 \Leftrightarrow 9 \quad \text{и} \quad 19 \Leftrightarrow 0$							
Равно- весие	$28 \Leftrightarrow 9 + 19 = 28 \Leftrightarrow 0 \quad \text{и} \quad 28 - 19 = 9 \Leftrightarrow 9 - 0.$							

2. В седьмой группе гексограмм (табл.3.12) суммар-  
ный потенциал остаётся равно-эквивалентным плотности  
ядерного вещества  $\gamma_n = 72$ .

Однако, характер пульсации меняется (табл.3.12,  
табл.3.14)

Таблица 3.14

**Седьмая группа: возникновение Зародыша в ядре**

Порядки	Цис-изомерия				Транс-изомерия			
	Дальний		Ближний		Дальний		Ближний	
Иероглифы	49 Ко	52 Кень	50 Тин	51 Чень	53 Чьень	56 Лю	54 Кун- Май	55 Фен
Потенциалы	14	4	14	4	9	9	9	9
Приведённая пульсация	$\frac{14 \cdot 4}{14 + 4} \Leftrightarrow \frac{14 + 4}{14 \cdot 4} \Leftrightarrow \frac{9 \cdot 9}{9 + 9} \Leftrightarrow \frac{9 + 9}{9 \cdot 9}$							
Результат	$28 \Leftrightarrow 0 \Leftrightarrow 9$ как в пятой группе (табл.3.13)				$9/2 \Leftrightarrow 2/9 \quad \text{и} \quad \tau \Leftrightarrow \sqrt{2}$ зародышевый пузырёк ядра.			

\*\*

Пришло "**время собирать камни**", и мы на примере восьмой группы гексограмм (табл.3.15) свяжем "сбор камней" с пульсацией энергетических полей.

Таблица 3.15

**Восьмая группа гексограмм Магов Китая  $\times 5^2$**

Название	57 Сунь	58 Туй	59 Хуань	60 Чъех	61 Чун Фу	62 Сяо Куо	63 Чи Чи	64 Вэй Ча	Сумма
Символы									4·26+ -1·22 = 82
Числа	4·4 + -1·2	-1·2 + 4·4	4·3 + -1·3	-1·3 + 4·3	4·4 + -1·2	-1·4 + 4·2	-1·3 + 4·3	4·3 + -1·3	
Суммы	14	14	9	9	14	4	9	9	82.

Итак, **космические волны, пройдя Арупу и Рупу, создали Сгусток Вэй Ча с порядковым номером 64** (табл.3.15).

На пути своего маршрута космические метagalacticкие волны взаимодействовали.

Взаимодействия космических волн были **короткодействующими** в полях центростремительных сил и **дальнодействующими** в полях центробежных сил.

Взаимодействия сменялись **в резонансно-антирезонансном режиме**, где потенциалы при резонансе соответствовали произведению - частному от деления, а при антирезонансе - сумме-разности потенциалов соударений.

Рассмотрим такую пульсацию на примере  $61 \div 64$  гексограмм (табл.3.15):

1. **Начиная от первой**, через две гексограммы как через два поколения в законе Г.Менделя о расщеплении генной наследственности, **каждая четвёртая гексограмма связана с первой дальнодействием:**

Пример дальнодействия (табл.3.15)×5 <sup>2</sup>				
Дальнодействия	Цис-изомерия		Транс-изомерия	
	57 Сунь	60 Чъех	61 Чун Фу	64 Вэй Ча
Потенциалы	14	9	14	9
Неравновесные колебания	$\frac{14 \cdot 9}{14 + 9} \rightleftharpoons \frac{14 - 9}{14/9}$ $\updownarrow \quad \updownarrow$ $\frac{9 - 14}{14 \cdot 9} \rightleftharpoons \frac{9/14}{9 - 14}$		$\frac{14 \cdot 9}{14 + 9} \rightleftharpoons \frac{14 - 9}{14/9}$ $\updownarrow \quad \updownarrow$ $\frac{9 - 14}{14 \cdot 9} \rightleftharpoons \frac{9/14}{9 - 14}$	

(3.45)

Первое столкновение компонент взаимодействий в центростремительных полях приводят к максимальным потенциалам: произведению 14·9 при резонансе и 14+9 при антирезонансе.

Затем притяжение сменяется отталкиванием. Возникают центробежные поля, а в них разности потенциалов, например, ±(14 – 9) при антирезонансе и отношения 14/9 и 9/14 при резонансе, формируя колебательную систему (3.45):

Цис-изомерия Сунь-Чъех	Транс-изомерия Чун-Вэй Ча
$\frac{(14 \cdot 9) \cdot \frac{14}{9} \cdot \frac{9}{14} \cdot (9 \cdot 14)}{(14^2 - 9^2) \cdot (9^2 - 14^2)} = \frac{(9 \cdot 14)^2}{-(14^2 - 9^2)^2}$	$\frac{-(14^2 - 9^2)^2}{(9 \cdot 14)^2} \equiv \frac{(14^2 - 9^2) \cdot (9^2 - 14^2)}{(14 \cdot 9) \cdot \frac{9}{14} \cdot \frac{14}{9} \cdot (9 \cdot 14)}$

(3.46)

Далее, группируясь в сгустки под действием центростремительных сил и расщепляясь в волны под действием центробежных полей, возникает общий контур колебаний (3.46):

$$(9 \cdot 14)^4 \Leftrightarrow (14^2 - 9^2)^4. \quad (3.47)$$

Образно говоря, пульсирующее поле (3.47) является той энергией-тягой, которая выделяется между двумя цис-транс изомерическими полусферами света (рис.3.1) или "тарелками" НЛО.

Минимальной энергетической ячейкой поля (3.47) будет являться контур колебания:

$9 \cdot 14 - (14^2 - 9^2) \Leftrightarrow 0 \Leftrightarrow (14^2 - 9^2) - 14 \cdot 9$	(3.48)
$126 - 115 = 11 \Leftrightarrow 0 \Leftrightarrow -11 = 115 - 126$	
$(9+2) \Leftrightarrow 0 \Leftrightarrow -(9+2).$	

Эта цис-транс изомерическая колебательная неравновесная энергетическая ячейка (3.48) лежит в основе важнейших свойств - сочетаний Единого Космоса:

- размножение в целом и митоз биоклетки в частности;
- передача Информации телепатией наподобие 22 букв Авраама, где  $22 \equiv (9+2) + (9+2) \Leftrightarrow 0$ ;
- движение света в окружающей среде, законы которого великая Цивилизация использовала для полётов НЛО;
- формирование периодической системы геномов (рис.0.3) и так далее.

### 3.4 Постоянная тонкой структуры в описании гексограммами

Дальнодействующие взаимодействия всегда сменяются короткодействующими и наоборот.

**Движение к короткодействию характеризует синтез сгустков; направленность к дальнодействию предопределяет неизбежность мультиплетности.**

Однако, если вы выскажете этот непреложный и точный **Закон Единого Космоса** в форме религиозных прилагательных: **"разбрасывать - собирать камни"**, то Вам в лучшем случае можно **Поверить**, но **Человек создан, чтобы Знать**.



Для того, чтобы Знать нам с Вами необходимо вернуться к восьмой группе гексограмм (табл.3.15) и перейти от дальнодействующих взаимодействий (3.45) к короткодействующим, рядом стоящих гексограмм 58 и 59, а также 62 и 63 (табл.3.15).

Рассмотрение этих гексограмм позволит нам узнать энергетику двух поколений, мимо которых (**через два поколения**) проходит расщепление генной наследственности по закону Г.Менделя, а **также энергетику - базис религиозной Догмы о Рае и Аде.**

\*\*

Для анализа короткодействия выделим из таблицы 3.15 гексограммы 58 и 59, а также 62 и 63 (табл.3.16):

Таблица 3.16

Пример короткодействия (табл.3.15)×5 <sup>2</sup>				
Название гексограммы	Транс-изомерия		Цис-изомерия	
	58 Туй	59 Хуан	62 Сию Куо	64 Чи Чи
Потенциалы	14	9	4	9
Замкнутые контуры колебания	$\frac{14 \cdot 9}{14 + 9} \rightleftharpoons \frac{14 - 9}{14 / 9}$ $\updownarrow \quad \updownarrow$ $\frac{9 + 14}{14 \cdot 9} \rightleftharpoons \frac{9 / 14}{9 - 14}$		$\frac{4 \cdot 9}{9 + 4} \rightleftharpoons \frac{9 - 4}{4 / 9}$ $\updownarrow \quad \updownarrow$ $\frac{4 + 9}{4 \cdot 9} \rightleftharpoons \frac{9 / 4}{4 - 9}$	
Общий контур колебаний	$(14 \cdot 9)^2 \Leftrightarrow -(14^2 - 9^2)^2 \Leftrightarrow (4 \cdot 9)^2 \Leftrightarrow -(9^2 - 4^2)^2$ $0 \Leftrightarrow -[(14 \cdot 9)^2 + (14^2 - 9^2)^2] \Leftrightarrow 36^2 + 81^2 - 16^2 \Leftrightarrow 0$ $0 \Leftrightarrow -29101 \Leftrightarrow 7601 \Leftrightarrow 0$			
Восемь результирующих полей	$0 \Leftrightarrow -36702 \Leftrightarrow 0 \Leftrightarrow 0$ $0 \Leftrightarrow 0 \Leftrightarrow +36702 \Leftrightarrow 0.$			

В этом поле возникает шесть каналов сверхпроводимости с ноль-потенциалами и два поля с потенциалами  $\pm 36702$  (табл.3.16).

Структура поля с потенциалами  $\pm 36702$  представляет собой комбинацию цветовой гаммы, например типа:

Цветовая гамма гексограмм восьмой группы (табл.3.16)			
Общий потенциал	Белый свет и Шумерская клинопись	Красно-жёлтое поле	Жёлто-зелёный фиолетовый переход
$\pm 36702$	$36000 \equiv 60^2 \cdot 10$	$700 \equiv 70 \cdot 10$ $\Delta K \int_0^1 \varphi d\varphi \equiv \rho_5 \Delta J$	$+ 2 \equiv \Delta \Phi / \Delta J_3$

Это поле, спектральное поле ядра сгустков (3.49), излучает свои кванты  $[1 - (-1) = 2]$  и  $[1 + (-1) = 0]$  в шесть полей каналов сверхпроводимости с ноль-потенциалами (табл.3.16).

**Великая Цивилизация записывала эти излучения ядер в шесть каналов экстрасенсорной проводимости (то есть в трёхмерном пространстве с шестью степенями свободы) в форме гексограмм.**

Такой записи в форме гексограмм (штрих - записи) великая Цивилизация обучала людей уже в Древности: шумеров, майи, китайцев, праславян и так далее вне зависимости от того, были ли эти люди язычники или религиозны.

Формы записи были разные, например в Китае сохранилась, наряду с гексаграммами - триграммами запись, комбинирующая ноль-единицу по матрице шестизначного числа:

Тонкая Энергия	Комбинации	Кундалини
000000	011100 и так далее	111111.

\*  
\*\*

В периодической системе геномов наследственности максимальный потенциал генома равен 63 (рис.0.3).

Гексограмма под номером 63, названная Чи Чи, относится к восьмой группе гексограмм и полю короткодействия с элементарной ячейкой - эквивалентом (табл.3.16):

Элементарная ячейка пульсации генома 63			
Элементарная ячейка	Свет	Пятеричная связь	13-ти лунный календарь
$(4 \cdot 6)^2 \Leftrightarrow -(9^2 - 4^2)^2$	$4 \cdot 6 = 36$	$9 - 4 = 5$	$9 + 4 = 13$
Заполнение каналов сверхпроводимости		Полушария головного мозга	
$36 \Leftrightarrow -5 \cdot 13 = -65;$ $101 \Leftrightarrow 0 \Leftrightarrow -101$		$36 \Leftrightarrow -5 \cdot 13 = -65;$ $29 \Leftrightarrow 0 \Leftrightarrow -29$ $29 + 29 = 58$ Божеств в голове.	

(3.51)

*Тибетское* мировоззрение о 58 Божествах в Голове Человека тоже пришло к нам от великой Цивилизации:

Природа происхождения 58 Божеств в голове (3.51)		
Сумма в изомерии пульсации		Мозг - Божества
$101 \Leftrightarrow 0 \Leftrightarrow -101$ $-29 \Leftrightarrow 0 \Leftrightarrow 29$	$101 \Leftrightarrow 0 \Leftrightarrow -101$ $29 \Leftrightarrow 0 \Leftrightarrow -29$	$\pm(130 - 72) \equiv$ $\pm(58 \equiv 28 + 14 + 16).$
$72 \Leftrightarrow 0 \Leftrightarrow -72$	$130 \Leftrightarrow 0 \Leftrightarrow -130$	

(3.52)

\*  
\*\*

58 Божеств головного мозга реализуют себя в системе командно-рефлекторным управлением чакрами с постоянной 140, сердцем с потенциалом  $42 = 28 + 14$  и самим мозгом с потенциалом  $58 = 28 + 14 + 16$ , где в отличие от сердца возникает Воображение ( $16 = \sqrt{qq^*}$ ).

\*\*

Наши геномы находятся в нашем теле и связаны с телом неравновесной системой колебания, подобно тому, как гексограмма 63 связана с гексограммой Янь потенциала 64 (табл.3.15, табл.3.17).

Таблица 3.17

**Над Вечностью: меж Адом и Раем  
и сам, и наследственность**

Подобия	Геномы		Тело - Сгусток Ян	
Гексограммы	63 Чи Чи		64 Вэй Ча	
Потенциалы	9		9	
Изомерия	Цис	Транс	Цис	Транс
Колебания Души и тела	$\frac{9-9}{9/9}$	$\Leftrightarrow \frac{9 \times 9}{9+9}$	$\Leftrightarrow \frac{9+9}{9 \times 9}$	$\Leftrightarrow \frac{9/9}{9-9}$
	$\infty = 0/1$	$\Leftrightarrow 9/2$	$\Leftrightarrow 2/9$	$\Leftrightarrow 1/0 = -\infty$
Подобия в Потомстве или перево- площении	Дзиан:		Разности	
	$\int_0^1 \varphi d\varphi =$		$\int_2^9 \varphi d\varphi - \int_9^2 \varphi d\varphi =$	
	-1/2		77	
	Ад		Рай	
Из Ада	-1		$2 \cdot 77 = 154$	
Из Рая	-1/2		$154 = 2 \cdot 77$	

Многим свойственно не ощущать Вечность, и они создают общество потребления, живущее сегодняшним днём в режиме контура колебания (табл.3.17):

$$9/2 \Leftrightarrow 2/9 \equiv 3^4 \Leftrightarrow \sqrt{2}^4 \equiv \tau \Leftrightarrow \text{Sc } \pi/4, \quad (3.53)$$

то есть в вечной тьме Арупы самосуших волн, где  $\tau = 3$  - Арупа, а  $\text{Sc } \pi/4 = \sqrt{2}$  - самосушие волны вечной тьмы.

Каббала - тайная доктрина Израиля, сегодня с необычайным упорством пропагандируется семитами: **"Теория Каббалы самым сложным образом переплетена с алхимией, герметизмом, розенкрейцерством и масонством. Слова Каббалы и Герметизм сейчас рассматриваются как синонимы, объясняющие все тайны и эзотеризм древности"** ([12], стр.416).

*Вот так: не много, не мало, а все тайны древности.*

На самом деле синайские семиты, **работая с Книгой Дзиан, списали дословно основные моменты без ссылок на Книгу (плагиат)**, но понять в ней ничего не смогли, да и своё убогое толкование с позиции золотого тельца.

Приведу пример плагиата:

<p>Книга Дзиан ([3], Станца V)</p> <p><b>6. "Это Кольцо, названное "Не преступи" для тех кто нисходит и восходит; кто в течении Кальпы продвигаются к Великому Дню "Будь с Нами". Так были созданы Арупа и Рупа, от Единого Света Семь Светочей,..."</b></p>	<p>Каббала ([12], стр.428)</p> <p><b>"...Его (человека) рождения, смерти и новые рождения случаются внутри яйца, и оно не может быть расколото до меньшего дня "Будь с Нами", когда человечество, подобно вселенной, освобождается от Колеса Необходимости.</b></p>
--	---

А потом пошёл беспредметный многовековой разговор о яйцах - курицах, кварках и теории относительности.

Чтобы выйти из этого **порочного смертельного круга** я приглашаю Вас, уважаемый Читатель, рассмотреть первую и последнюю гексограммы 1 и 2, а также 63 и 64, ибо **они завершают один круг Обода Колеса Вселенной и начинают новый виток спирали** (табл.3.18).

**Спираль Зодиака в гексограммах  
Китая и Книги Перемен**

Этапы развития		Начало спирали (табл.3.6)		Окончание спирали (табл.3.17)	
Гексограммы		1 Чьень	2 Кунь	63 Чи Чи	64 Вэй Ча
Потенциалы		24 Святой Дух	-6 Ядро геномов (рис.0.3)	9	9
Кундалини во Вселенной		$\frac{-6 \cdot 24}{-6 + 24}$ -8	$\frac{24 - (-6)}{24 : (-6)}$ -7,5	$\frac{9 \cdot 9}{9 + 9}$ -4,5	$\frac{9 - 9}{9 : 9}$ 0/1
Арупа Вселенной		-8	0	3	0/1
Митоз	(9+2)	0	0	11	0/1
	резонанс	$0 \times 1$	$0 \times 1$	$11 \times 1$	0
	антирезонанс	$0 + 1$	$0 + 1$	$11 + 1$	0
Примечание		$-7,5 + (-4,5) = -12$ - это число оборотов Кундалини при $T_0 \cdot \tau$ .			

Применяя гексограммы, великая Цивилизация использовала закон энергетике: **переход из одного энергетического состояния в другое не зависит от формы пути, а определяется разностью потенциалов в конце и начале процесса.**

При определении Спирали Зодиака в 12 оборотов витков Кундалини, начало процесса описывали гексограммы Чьень-Кунь, а окончание - Чи Чи ÷ Вэй Ча (табл.3.18)

\*\*

Важно отметить, что при антирезонансе возникали **фотон-фононы и магнитная среда** между ними (табл.3.18):

$$\boxed{\text{Антирезонанс: } 0+(1\equiv m_c c) \Leftrightarrow 0+(1\equiv \varepsilon_0 \cdot \mu_0 \cdot c^2) \Leftrightarrow 0+(1\equiv E_\lambda c).} \quad (3.54)$$

При антирезонансной пульсации Арупы - Рупы во Вселенной, то есть при  $T_0 + \tau = 7$ , поле света формирует трижды по семь сгустков, которые, **применительно к Спирали Зодиака, великая Цивилизация описывала как Семь Планет** (3.54).

Происхождение семи планет в спирали Зодиака	
Семь планет	$(0+1 \Leftrightarrow 0+1 \Leftrightarrow 0+1) \cdot (T_0 + \tau = 7) \equiv 7 \Leftrightarrow 7 \Leftrightarrow 7$
Биоклетка	$5 \Leftrightarrow 7 \Leftrightarrow (9+0)$ эквивалент $3 \cdot 7 = 5+7+9 = 21$ . полярные вихри.

Пульсация Арупы - Рупы формирует Единицу Счисления великой Цивилизации, названной Ею **пальмой**:

$$(T_0 - \tau) + \frac{\tau}{T_0} = (4 - 3) + \frac{3}{4} = 1 + \frac{3}{4} = \frac{7}{4} \equiv \frac{\rho^*}{q^*}. \quad (3.56)$$

Далее события развиваются в динамике наших гороскопов.

\*  
\*\*

В Едином Космосе, с какой бы скоростью процесс трансформации энергетических форм процесс не протекал (со скоростью ядерных реакций или логарифмических колебаний), он всегда будет проходить через ряд последовательных равновесных состояний.

Через ряд последовательных равновесных состояний будет проходить и процесс формирования сгустка Ян, описанного 64 гексограммами от Чьень до Вэй Ча (табл.3.19).

Таблица 3.19

**Связь периодической системы гексограмм с  $T_0 = 4$** 

Пери- оды	Группы								Сум- мы	Разности
	I	II	III	IV	V	VI	VII	VIII		
1	1 Чьень	2	3	4	5	6	7	8	36	
2	9	10	11	12	13	14	15	16	100	100-36=64
3	17	18	19	20	21	22	23	24	164	164-100=64
4	25	26	27	28	29	30	31	32	228	228-164=64
5	33	34	35	36	37	38	39	40	292	292-228=64
6	41	42	43	44	45	46	47	48	356	356-292=64
7	49	50	51	52	53	54	55	56	420	420-356=64
8	57	58	59	60	61	62	63	64 Вэй Ча	484	484-420=64
Суммы	232	240	248	256	264	272	280	288	Σ = (1+64)·64:2 ≡ 2080 (арифметическая прогрессия).	
T <sub>0</sub>	$\frac{\Sigma = 2080}{484+36} = \frac{2080}{520} = 4 \equiv T_0 \equiv \sqrt{2}^4.$									

Поле, которое описывается шестьюдесятью четырьмя гексограммами магии Китая, имеет восемь периодов и восемь групп, а её суммарный потенциал равен сумме арифметической прогрессии из 64 последовательно возрастающих рядов (табл.3.19).

$$\Sigma = \frac{1+64}{2} \cdot 64 = 2080, \quad (3.57)$$

где первый период образует солнечный ряд с потенциалом 36, а разности потенциалов между периодами формируют шесть сгустков Ян (табл.3.19).

**Шесть сгустков Ян заполняют все шесть степеней свободы движения в трёхмерном пространстве:**

$$\pm x, \pm y, \pm z.$$



\*\*

Периодическая система порядковых номеров гексограмм магии Китая имеет начальную продолжительность периодичности, **равную периоду вращения точечного участка волны света** (табл.3.19):

$$\frac{2080}{484+36} = 4 \equiv T_0, \quad \text{при } \frac{\sqrt{2}^4}{T_0} = \text{Sc } \pi/4 \cdot \sin \pi/4, \quad (3.58)$$

возникновение которой, в свою очередь, связано с колебаниями самосущих волн (3.58)

\*\*

Периодическая система порядковых номеров гексограмм магии Китая имеет сумму разностей потенциалов групп, **равную 108 реинкарнаций по Буддизму** (табл.3.19):

<b>Число реинкарнаций и магия Китая</b>				
Группы	VIII - I	VII - II	VI - III	V - IV
Разности	280-232 =	273-238 =	266-248 =	259-252 =
Сумма разностей	48	35	18	7 =
108 $\equiv$ Число реинкарнаций.				

(3.59)

Потенциал - эквивалент 108 реинкарнациям может быть сформирован как разность Ян-Инь - потенциалов первого периода гексограмм (табл.3.6):

$$4 \cdot 20 - (-1 \cdot 28) = 108. \quad (3.60)$$

Потенциал - эквивалент числу реинкарнаций связывает, например, порядковый номер гексограмм (табл.3.19) с потенциалом янь-цинъ в их полях (табл.3.20).

**Магические гексограммы Китая  
в равновесии пятеричной связи**

№ таблицы		3.6	3.7	3.8	3.9	3.10	3.11	3.12	3.15
Периоды (табл.3.19)		1	2	3	4	5	6	7	8
Потен- циалы	Ян	4·20	4·28	4·18	4·26	4·24	4·26	4·24	4·26
	Инь	-28	-20	-30	-22	-24	-22	-24	-22
Потен- циалы	Сум- мы	52	92	42	82	72	82	72	82
	Раз- ности	108	132	92	126	128	126	128	126
Равновесие в пятерич- ной связи		$\left(\frac{52-82}{126-108}=\frac{5}{3}\right)+\left(\frac{92-72}{132-120}=\frac{5}{3}\right)+\left(\frac{72-82}{132-126}=\frac{5}{3}\right)=$ $5 \equiv 5 = \frac{82-72}{126-128}.$							

Гексаграммы описывают с равным успехом и микро и макро миры, например хромосомы.

Когда пятеричной связи нет, то хромосомы образовывать биоклетку не могут. Появление пятеричной связи компонуется хромосомы в биоклетку ( $5 \Leftrightarrow 7 \Leftrightarrow 9+0$ ), формируя гравитационно-магнитные семеричные ряды:

$$5 = \frac{1^2 + 2^2 + 3^2 + 4^2 + 5^2 + 6^2 + 7^2}{1 + 2 + 3 + 4 + 5 + 6 + 7} = \frac{140}{28} \equiv \frac{\rho_5 \sqrt{\mu \mu^*}}{\sqrt{\rho \rho^*}}. \quad (3.61)$$

В Арупе возникает **Свечение** с потенциалом

$$\tau^{\tau} = 3^3 = 27,$$

сгущение которого приводит к **массе относительного покоя** с  $m_0 = 2,7 = c$ .

Масса относительного покоя является носителем литосферы с морями-океанами и атмосферой - ноосферой, в которых все формы энергии трансформируются со скоростью  $c = \pi$ :

$$m_0^c \equiv e^\pi, \quad (3.62)$$

как это происходит у планет, например Земли.

Земля летит в окружающей среде и контактирует с этой средой.

Любой контакт масс и сред характеризуется скоростью трансформации энергетических форм при  $c = \pi$ . Возникает

$$c \cdot m_0^c \equiv \pi \cdot e^\pi. \quad (3.63)$$

Точечный участок волны света в импульсе (3.63) пульсирует по амплитуде волны (табл.3.20):

$$\frac{T_0 + 1}{T_0 - 1} = \frac{5}{3}, \quad (3.64)$$

а эту пульсацию описывают гексограммы магии Китая (табл.3.20).

В результате, используя магию, мы без всякой мистики получим экспериментально измеренную, но так и не понятую нашей наукой, самую загадочную постоянную - постоянную Тонкой структуры (3.62 ÷ 3.64):

<b>Постоянная тонкой структуры</b>	(3.65)
$1/\alpha = 5/3 \cdot \pi \cdot e^\pi = 137,0000021,$	

где 21 - полярный вихрь над массой относительного покоя.

## Глава 4

### Магия Запада: комментарии из России

Вторая Книга "Энциклопедии современной магии" посвящена описанию приёмов и подходов к космологическим проблемам магии Запада [2].

Во второй Книге, традиционно для энциклопедии [1, 2], фактически - эмпирический материал рассматривается с позиции корней алфавитного кода.

Продолжая описание шести магических ключей первой книги [1], Д.А.Хилс во второй книге даёт ещё семь магических ключей:

Ключи магии Запада							
Номера ключей	7	8	9	10	11	12	13
Название	Греческий	Копт-иский	Руны	Латынь	Энох-анский	Тора	Английский

Магический опыт язычников всех стран России не рассматривается.

\*  
\*\*

Во второй Книге: магия Запада, как базис работы над Числом и Буквой, приводятся двенадцать календарных символов ацтеков и двадцать календарных принципов майи, однако понять сущность пульсации в Продолжительности, магам не дано.

Маги Запада не смогли объединить пульсацию череды Продолжительностей (времени) ацтеков - майя:

Пульсация календарных элементов ацтеков - майя	
Арупа - Рупа в поле света	$\frac{\text{резонанс}}{\text{антирезонанс}} \equiv \frac{12 \cdot 20}{12 + 20} = \frac{3}{4} 10 \Leftrightarrow \frac{4}{3} - 10^{-1} \equiv \frac{\text{антирезонанс}}{\text{резонанс}}.$

Однако, космологические результаты пульсации за-  
вораживали как **Лики Богов**: люди стали обожествлять  
символы (числа, слова, формы письменности и так далее).

Каждый выдумывал свою форму символизма и его  
обожествления. Этносы группировались. За символы ре-  
лигии дрались. *Но символы продолжали жить своей жиз-  
нью и переползали на государственно-корпоративный  
уровень в виде государственных знамён, гимнов, наград и  
тюрем.*

**Космологическая значимость символов была  
утеряна окончательно**, но допинг - азарт в проживании  
Бытия придавал еврейский бог - золотой телец.

**Третий Глаз закрылся.**

\*  
\*\*

Третий Глаз закрылся, и Жизнь пошла на ощущени-  
ях. Слепцы щупали слона и диктовали законы.

На основе ощущений возникали описательные про-  
цессы абсолюта, элементов, Зодиака и так далее.

Ощущения существовали в Противоречиях. Проти-  
воречий было много - согласованности мало. Закон **Един-  
ства и Борьбы** противоположностей исполнялся **в сторо-  
ну Борьбы**.

**"Западная магия формировалась на основе астрологических знаний Вавилона, Самарии, Халдеев и Египта. Особое влияние на европейскую традицию оказали учения древних греков и иудеев"** ([2], стр.33).

Сказано правильно, и мы продолжаем восхищаться мифологией Древней Греции, но, в то же время, задаём себе вопрос: положительное или отрицательное влияние на судьбы социума Земли оказало учение древних иудеев?

Судьбоносность учения древних иудеев на социум Земли проявило себя в создании трёх религиозных Конфессий: иудаизм, христианство, мусульманство, а также магии Запада.

**Однако массовость последователей - не есть Истина.**

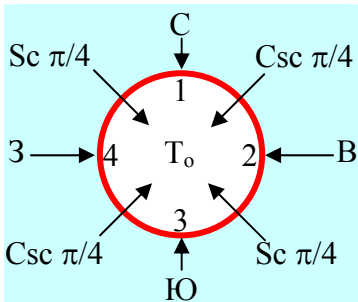
К Истине относительно иудаизма мы придем, **сопоставляя базисные концепции религии - магии Иудеев с книгами великой Цивилизации**, уверенно зная, что священнослужители Древнего Израиля разрабатывали свои Догмы, а маги - Мистерии, опираясь на Книгу Дзиан и не упоминая о ней.

Приступим к анализу.

## **4.1 Теогенезис: истоки алфавитного кода**

Язык - *он не* только **"до Киева доведёт"**. Рассказал анекдот - *получил срок*. Сидишь, думаешь: Что? Где? Когда? А **Начало значимости Слова было описано 10 миллионов лет назад** (табл.4.1).

## Значимость Слова ([4], Теогенезис, Станца IX)

Текст Станцы	Расшифровка текста			
<p>1. С Востока, Запада, Севера, Юга пришли четверо Святых. По пути Они собрали Истребителей, толпившихся на Их дороге, и заставляя последних двигаться быстрее.</p>	<div><div></div><div><p>Речь идёт о поглощении энергии окружающей среды точечным участком волны света (рис.4.1).</p><p>Четверо Святых - это точки с потенциалами 1, 2, 3, 4, пульсирующие в резонансно-антирезонансном режиме (рис.4.1).</p><p><i>Рис.4.1. Поглощение энергии точечным участком волны света</i></p></div></div> <div><table><tr><th>Четверо Святых: приведённая пульсация</th></tr><tr><td><math display="block">\frac{1 \cdot 2 \cdot 3 \cdot 4}{1 + 2 + 3 + 4} = \frac{24}{10} = \frac{12}{5} \Leftrightarrow \frac{5}{12} = \frac{10}{24} = \frac{1 + 2 + 3 + 4}{1 \cdot 2 \cdot 3 \cdot 4} \quad (4.1)</math></td></tr><tr><td><math display="block">0 \Leftrightarrow 12^2 - 5^2 = 112 \Leftrightarrow 119 \pm 1.</math></td></tr></table></div> <p>Поле <math>119 \pm 1</math> пульсирует, создавая по верхнему пределу внутреннее поле света:</p> $191 + 1 = 120 = 5! = 5 \cdot 4 \cdot 3 \cdot 2 \cdot 1, \quad (4.2)$ <p>и окружающую среду с интегральной разностью потенциалов, равной</p> $\int_{119-1}^{119+1} \varphi \, d\varphi = 238. \quad (4.3)$ <p>В этом поле (4.1) формируется 13-ти лунная Продолжительность, или <b>Календарь Майи</b>:</p> $12^2 + 5^2 = 144 + 25 = 169 \equiv 13^2. \quad (4.4)$ <p><b>Истребителями</b> в этом случае будут фотон-фононы, а "<b>истребляемыми</b>" - самосущие волны.</p>	Четверо Святых: приведённая пульсация	$\frac{1 \cdot 2 \cdot 3 \cdot 4}{1 + 2 + 3 + 4} = \frac{24}{10} = \frac{12}{5} \Leftrightarrow \frac{5}{12} = \frac{10}{24} = \frac{1 + 2 + 3 + 4}{1 \cdot 2 \cdot 3 \cdot 4} \quad (4.1)$	$0 \Leftrightarrow 12^2 - 5^2 = 112 \Leftrightarrow 119 \pm 1.$
Четверо Святых: приведённая пульсация				
$\frac{1 \cdot 2 \cdot 3 \cdot 4}{1 + 2 + 3 + 4} = \frac{24}{10} = \frac{12}{5} \Leftrightarrow \frac{5}{12} = \frac{10}{24} = \frac{1 + 2 + 3 + 4}{1 \cdot 2 \cdot 3 \cdot 4} \quad (4.1)$				
$0 \Leftrightarrow 12^2 - 5^2 = 112 \Leftrightarrow 119 \pm 1.$				

Текст Станцы	Расшифровка текста				
	<table border="1"> <tr> <th>Истребители: фотон - фононы</th><th>Истребляемые: самосущие волны</th></tr> <tr> <td> <math display="block">\frac{\text{антирезонанс}}{\text{резонанс}} \equiv \frac{m_c + E_\lambda}{m_c \cdot E_\lambda} \Leftrightarrow</math> <math display="block">\frac{m_c \cdot E_\lambda}{m_c + E_\lambda} \equiv \frac{\text{резонанс}}{\text{антирезонанс}}</math> <math display="block">4 \Leftrightarrow 1/\pi \equiv m_c E_\lambda</math> </td><td> <math display="block">\frac{Sc \frac{\pi}{4} \cdot Csc \frac{\pi}{4}}{Sin \frac{\pi}{4} \cdot Cos \frac{\pi}{4}} =</math> <math display="block">4. \quad (4.5)</math> </td></tr> </table> <p>Причём, истребителей будут заставлять двигаться быстрее, то есть совершать центростремительное ускоренное движение:</p> $j_o = -c \cdot \omega_o = -\pi/2, \quad (4.6)$ <p>где <math>j_o</math> - центростремительное ускорение точечного участка волны света.</p> <p>Ускорение <math>j_o</math> и лазерная точка света <math>m_c E_\lambda = 1/\pi^2</math> изменят контур колебания (4.1):</p> $m_c E_\lambda \frac{12}{5} j_o = \frac{6}{5} \Leftrightarrow \frac{5}{6} = \dots$ <p>и</p> $0 \Leftrightarrow 36 - 25 \equiv (9+2) = 11. \quad (4.7)$ <p>Возникнет субструктура биоклетки при митозе, а при взаимодействии - 22 буквы Авраама - основа телепатии:</p> $(9+2) \cdot (\lg \rho_1 \rho_2 \rho_3 \rho_4 \rho_5 = 2) = 22. \quad (4.8)$	Истребители: фотон - фононы	Истребляемые: самосущие волны	$\frac{\text{антирезонанс}}{\text{резонанс}} \equiv \frac{m_c + E_\lambda}{m_c \cdot E_\lambda} \Leftrightarrow$ $\frac{m_c \cdot E_\lambda}{m_c + E_\lambda} \equiv \frac{\text{резонанс}}{\text{антирезонанс}}$ $4 \Leftrightarrow 1/\pi \equiv m_c E_\lambda$	$\frac{Sc \frac{\pi}{4} \cdot Csc \frac{\pi}{4}}{Sin \frac{\pi}{4} \cdot Cos \frac{\pi}{4}} =$ $4. \quad (4.5)$
Истребители: фотон - фононы	Истребляемые: самосущие волны				
$\frac{\text{антирезонанс}}{\text{резонанс}} \equiv \frac{m_c + E_\lambda}{m_c \cdot E_\lambda} \Leftrightarrow$ $\frac{m_c \cdot E_\lambda}{m_c + E_\lambda} \equiv \frac{\text{резонанс}}{\text{антирезонанс}}$ $4 \Leftrightarrow 1/\pi \equiv m_c E_\lambda$	$\frac{Sc \frac{\pi}{4} \cdot Csc \frac{\pi}{4}}{Sin \frac{\pi}{4} \cdot Cos \frac{\pi}{4}} =$ $4. \quad (4.5)$				



Текст Станцы	Расшифровка текста						
<p>2. У "за- претной гра- ницы" они останови- лись и крик- нули в один голос Кван - Шину: "Скажи только одно слово, слово из двух час- тей, и услы- шим его под вуалью на- ших крыль- ев".</p>	<p>Расширение сменяется сжатием, сжатие - рас- ширением, переход между ними - "запретная гра- ница":</p> <table border="1" data-bbox="746 353 1410 674"> <tr> <th colspan="2" data-bbox="746 353 1410 421">"Запретная граница"</th></tr> <tr> <th data-bbox="746 421 1027 495">Сжатие</th><th data-bbox="1027 421 1410 495">Расширение</th></tr> <tr> <td data-bbox="746 495 1027 674"><math>T_0\omega_0/c = 2 \equiv c/\omega_0</math></td><td data-bbox="1027 495 1410 674">           Вселенная расширяется. Границы нет. Есть кван- тованное увеличение по- тенциала поля.         </td></tr> </table> <p>(4.9)</p> <p>В поле "запретной границы" (4.9) сжатие и рас- ширение слились в один общий потенциал:</p> $2 + 2 = 2 \cdot 2 = 2^2 = 4,$ <p>или "крикнули в один голос".</p> <p>Крикнули и попросили назвать слово из двух частей.</p> <p>Я называю Вам это Слово:</p> $\text{Кван} \Leftrightarrow \text{Шин} \quad (4.10)$ <p>Одно из двух частей потому, что описывает сме- щенную цис-транс изомерию, в которой <b>Н</b> связано с равновесием в обоих полях вращения и может быть сокращено.</p> <p>Оставшиеся буквы <b>Ква</b> <math>\Leftrightarrow</math> <b>Ши</b> дают воз- можность подсчитать момент вращения, поместив буквы в матрице Кундалини в поле Дзиан, как это я делал при описании русского алфавита [21]:</p>	"Запретная граница"		Сжатие	Расширение	$T_0\omega_0/c = 2 \equiv c/\omega_0$	Вселенная расширяется. Границы нет. Есть кван- тованное увеличение по- тенциала поля.
"Запретная граница"							
Сжатие	Расширение						
$T_0\omega_0/c = 2 \equiv c/\omega_0$	Вселенная расширяется. Границы нет. Есть кван- тованное увеличение по- тенциала поля.						

Текст Станцы	Расшифровка текста							
	Крутящие моменты <b>Ква - Ши</b>							
	В матрице Кундалини	<b>К</b>	<b>в</b>	<b>а</b>	<b>Ш</b>	<b>и</b>		
	Потен-циалы	4×100 = 400	7×100 = 700	4×50 = 100	8×200 =1600	3×50 = 150		
	Пульсация в Космосе	Кундалини и равновесие			Пятеричная связь в 13-и лунном счислении			
		$\pm 4 \int_0^1 \varphi d\varphi$   700 $\equiv$ 100 $\pm 2 \Leftrightarrow 7 \Leftrightarrow 1$			$\pm 1600 \int_0^1 \varphi d\varphi$ $\Leftrightarrow 150$ $\pm(80-15) \Leftrightarrow 0$ $\pm 65 \equiv \pm 5 \cdot 13 \Leftrightarrow 0.$			
$\pm 1 \Leftrightarrow 7/2 \Leftrightarrow 1$								
<p>Пульсация Кундалини в поле пятеричной связи с тринадцати лунным отсчётом Продолжительности присуща микро-макро, живому - неживому миру, его ядру, литосфере, атмосфере, то есть "под вуалью Святых крыльев".</p>								
3. Тогда громким голосом Кван-ши произвела это слово. От него вздрогнули небеса, и вновь открылся путь между огненной Красной Звездой и Звездой, которая была очищена от своей черноты.	Изменение слова <b>Кван Шин</b> на слово <b>Ква ши</b> говорит о том, что наличие крутящего момента сдвинуло всю систему неравновесия (4.11), и нам надо провести расчёт новой системы:							
	Крутящий момент <b>Кван - ши</b>							
	В матрице	<b>К в а н - ш и</b>						
	Потен-циалы	4·100 = 400	7·100 = 700	4·50 = 200	3·50 = 150	<b>1·50</b> <b>= 50</b>	5·50 = 250	3·50 = 150
	Колебания	40 $\Leftrightarrow$ 70 $\Leftrightarrow$ 10 $\Leftrightarrow$ 15 $\Leftrightarrow$ <b>5</b> $\Leftrightarrow$ 25 $\Leftrightarrow$ 15						
Появление пальмы	8 $\Leftrightarrow$ 14 $\Leftrightarrow$ 2 $\Leftrightarrow$ 3 $1 \Leftrightarrow \frac{14}{8} \Leftrightarrow \frac{7}{4} \Leftrightarrow 0 \Leftrightarrow 3-2=1$			<b>5</b>		5 $\Leftrightarrow$ 3 $\pm 2 \Leftrightarrow 0.$		
(4.12)								

Текст Станцы	Расшифровка текста						
	<p>В этом поле <b>Кван - ши</b> (4.12) небеса вздрогнули потому, что точечный участок волны света пульсирует по амплитуде колебания поверхности ядра (табл.4.12):</p> $\left  \begin{array}{c} T_0 + 1 = 5 \\ \text{ш} \end{array} \right  \Leftrightarrow \left  \begin{array}{c} T_0 - 1 = 3 \\ \text{и} \end{array} \right  \quad (4.13)$ <p>где <b>ш</b> на два Дзиан больше <b>и</b>.</p> <p>Это поле <b>ши</b> даёт начало всем экстремальным областям <math>(+1 \Leftrightarrow 0 \Leftrightarrow -1)</math> любой волны.</p> <p>Такое поле в математике называется "кольцом с единицей", и любой импульс <math>f(x,y)</math>, пройдя "кольцо с единицей", увеличивается в <math>\pi</math> раз и становится равным <math>\pi \cdot f(x, y)</math>. [17].</p> <p style="text-align: center;">**</p> <p>Слово <b>Кван-ши</b> имеет тире, то есть потенциал 50 и 5.</p> <p>Сочинители Каббалы дали ему имя всесущего бога Айн СОФ [12], но значительно раньше в Книге Мёртвых потенциал <b>5</b>·(<b>±2 ⇔ 0</b>) → <math>\pm 10 \Leftrightarrow 0 \cdot 5</math> рассматривался как 10 Божеств в области шеи человека, хотя истинная их суть связана с взаимодействиями (4.12):</p> <table border="1" style="margin-left: auto; margin-right: auto;"> <tr> <th colspan="2">Структура Айн СОФ и 10 Божеств в шее</th></tr> <tr> <td>Айн СОФ</td><td>10 Божеств в шее</td></tr> <tr> <td><math>\lg \frac{\rho_3 \rho_4}{\rho_1} = 50 \Leftrightarrow -50 = 1</math></td><td><math>T_0 + 1 = 5 \Leftrightarrow -5 = -T_0 - 1.</math></td></tr> </table> <p style="text-align: right;">(4.14)</p> <p>Тире - дефис "крутится" между Словами так же, как шея между сердцем и головой.</p>	Структура Айн СОФ и 10 Божеств в шее		Айн СОФ	10 Божеств в шее	$\lg \frac{\rho_3 \rho_4}{\rho_1} = 50 \Leftrightarrow -50 = 1$	$T_0 + 1 = 5 \Leftrightarrow -5 = -T_0 - 1.$
Структура Айн СОФ и 10 Божеств в шее							
Айн СОФ	10 Божеств в шее						
$\lg \frac{\rho_3 \rho_4}{\rho_1} = 50 \Leftrightarrow -50 = 1$	$T_0 + 1 = 5 \Leftrightarrow -5 = -T_0 - 1.$						

Текст Станцы	Расшифровка текста
	<p style="text-align: center;">* **</p> <p>В слове <b>Кван-ши</b> огненную Красную Звезду может описать буква "В" во взаимодействиях (4.12).</p> $(\mathbf{B} \equiv 700) \cdot (\lg \rho_1 \rho_2 \rho_3 \rho_4 \rho_5 = 2) = 1400 = \Delta K. \quad (4.15)$ <p>В этом случае вместо Кундалини расширения (4.11) появляется пальма (4.12):</p> $\frac{7}{2} \cdot \int_0^1 \varphi d\varphi = \frac{7}{4} \equiv \frac{\rho}{q} \equiv \frac{\rho^*}{q^*} \equiv \sqrt{\frac{\rho \rho^*}{q q^*}}. \quad (4.16)$ <p>Появляется <b>Красная Звезда, очищенная пульсацией Единого Космоса от своей черноты.</b></p> <p>Более подробно этот процесс (4.16) описан мною при анализе появления Красной недели в 13-ти лунном Календаре цивилизации Майи.</p>
<p><b>4. Сказал Он Святым:</b>  <b>"Соберите своих хозяев и сделайте жилища, достойные Ангелов Голоса. Они проведут новорожденных Сынов Воли и Йоги по открытой мною тропе, чтобы они смогла заселить огненную Красную Звезду новой расой".</b></p>	<p>В Каббале - тайной доктрине Израиля, её сочинители рассматривают буквы-дома так: 10. "Подобным образом Бог соединил двойные буквы. Из двух камней строятся два дома, из трёх камней - шесть домов, из четырёх - двадцать четыре дома, из пяти - 120 домов, из шести 720 домов, из семи - 5040 домов. Делай сперва согласно этому порядку и размышляй о дальнейшем порядке до того, как рот произнесёт, а ухо услышит" ([12], стр.121÷122).</p> <p>В этой цитате вся логика синайских семитов и их "мудрецов" с горы Сион: совершенно не понимая, о чём идёт речь, они дают советы в рот и ухо.</p> <p>А дело в том, что авторы Каббалы работали со Станцей IX Теогенезиса и из неё взяли терминологию о домах - жилищах и двойных буквах, но пропустили понятия факториал, резонанс и антирезонанс.</p> <p>Я ввожу понятия факториал для равновесных полей и сумму для антирезонанса, и слова <b>"соберите своих хозяев"</b> становится понятным:</p>

Текст Станцы	Расшифровка текста								
	К четырём Святым: соберите своих хозяев								
	Лунный ряд	1	2	3	4	5	6	7	28
	Резонанс	1!= 0	2!= 2	3!= 6	4!= 24	5!= 120	6!= 720	7!= 5040	(4.17)
		Число домов по Каббале, Факториалы по математике							
	Анти-резонанс		1+2 = 3	1+... +3 = 6	1+... +4 = 10	1+... +5 = 15	1+... +6 = 21	1+... +7 = 28	
		Сумма последовательных чисел							
		Четверо Святых   Хозяева							
	Ян-Инь на Красной Звезде	$\frac{2+6+24}{1+3+6+10} = \frac{32}{20} \Leftrightarrow \frac{5880}{64} \equiv \frac{120+720+5040}{15+21+28}$ $64 \cdot 32 \Leftrightarrow 5880 \cdot 20 \equiv 14 \cdot 21 \cdot 20^2,$ <p>Ян-Инь Красная Звезда,</p> <p>где: <math>20^2 \equiv \left( \frac{\Delta K}{\Delta Ж} \right)^2</math>, <math>14 = \sqrt{\mu\mu^*}</math>,</p> $21 \equiv 5 + 7 + (9+0).$							

## 4.2 Слова и Числа о великом Слове: Человек

Слова о Великом Слове принимались буквально.

"Великое Слов Масонов" звучало как **МАН НАУ BOU НАУ** ([2], стр.21); у старика Хаттабыча попроще: **"Дох-тередох"** плюс одна волосинка из бороды.

Эффект был поразительный: у Вольки появлялись бриллиантовые зубы, у масонов - Мистерии...

Но дальше сказок дело так и не пошло. Почему?

Люди не понимали сущности Слова о Слове: **"В начале было Слово, и слово было у Бога, и Слово было Бог"** [25].

Речь идёт не о словах: "по щучьему велению" а о том, что, поняв **физическую сущность процесса** через слово - букву, предложение - текст, мы сможем понять Высокую Науку Великой Цивилизации.

Поняв высокую Науку, мы сможем управлять научно-техническим прогрессом и НЛО.

Понимаем ли мы это, ища Слова? Пока нет. Примером такого непонимания служит отношение к двадцати календарным символам ацтеков ([2], стр.14), которые определяют красно-жёлтое отношение недель (4.10) по 13-ти лунному Календарю.

Католический священник Диего Дюран ещё в 1556 г. заклеил мировоззрение ацтеков как ересь ([2], стр.23), а европейско-христианская Конкиста уничтожила цивилизацию ацтеков физически.

Стали развивать своё - Западное, но от пятеричной системы никуда не ушли, десятичный счёт признали, двадцать алхимических элементов ([2], стр.37) не поняли и не опровергли.

Иными словами: то, что отвергали у ацтеков, под другим соусом присвоили себе... и не поняли, что присвоили. Цитирую: **"2. Десять Сефирот (десять свойств Невыразимого Единого) и двадцать две буквы являются Основанием всех вещей. Из этих 22 букв три называются Материями, семь - двойными и двенадцать - Простыми"** ([12], стр.417).

Я сейчас пройду по этой фразе, а Вы, уважаемый Читатель, сами решите, что не поняли авторы Каббалы:

1. "Невыразимого Единого" в Природе нет, а есть эффективность взаимодействия света, равная  $10 \equiv \rho_5$ .

2. Из 22 букв три определяют импульсы волны - частицы света и энергию электромагнитной среды между ними:

$$m_{\text{с}} + \epsilon_0 \cdot \mu_0 \cdot c^2 + E_{\lambda \text{с}} = 1 + 1 + 1 = 3. \quad (4.18)$$

Эти импульсы - энергия среды - света формируют само трёхмерное Пространство в изомерии движения по шести направлениям ( $\pm x$ ,  $\pm y$ ,  $\pm z$ ) и Арупу (вне Формы) трёхмерного Пространства.

3. То, что описывается двойными буквами, сумма которых равна 7, есть символическое описание суммы Арупы - Рупы в режиме антирезонанса:

$$T_0 + \tau = 4 + 3 = 7, \quad (4.19)$$

и Вы можете записать эту Семёрку бесконечным множеством двойных символов - комбинаций.

4. То, что описывается Простыми буквами и равно двенадцати, в конечном счёте, описывает резонанс Арупы - Рупы:

$$T_0 \cdot \tau = 4 \cdot 3 = 12, \quad (4.20)$$

где двенадцать можно записать бесконечным множеством символических или математических форм.

Слабость магии в том, что она сначала выдумывает форму, а затем ищет в Природе Сущность своей выдумки.

В этом маги сходны с Правительствами: сначала выдумывают закон, а потом борются с протестным движением.

\*  
\*\*

Негативное влияние на Мировоззренческие Начала Человечества оказало утверждение Каббалы о том, что **22 буквы являются Основанием всех вещей** ([12], стр.112).

Таким легкомысленным утверждением Каббала привела к потере Числа Человека, равного 113. Привожу доказательства.

Любая форма Энергии формируется там, где есть разности или разности квадратов потенциалов.

Потенциал 22 - это только один из бесконечного множества потенциалов, пульсирующих в резонансно-антирезонансном режиме поля:

Ограничение свойств потенциала 22			
Режим	Антирезонанс	Резонанс	Сумма
Потенциалы	$22 = x^2 + y^2$	$22 = 2 \cdot x \cdot y$	$44 = (x+y)^2$ .

(4.21)

Но при появлении разности квадратов потенциалов, например четырёх Святых и их хозяев (4.17), мы получим:

Число Человека: $133 - 20 = 113$	
Четверо Святых	$(12^2 - 1 = 143) + (12^2 - 2^2 = 140) + (12^2 - 3^2 = 135) + (12^2 - 4^2 = 128) = 543$
Хозяева Святых	$(12^2 - 9^2 = 63) + (12^2 - 7^2 = 95) + (12^2 - 5^2 = 119) = 277$
Среда (колебания)	$\pm(543 - 277) \cdot \int_0^1 \varphi d\varphi \equiv \pm 133 \Leftrightarrow \pm 20.$

(4.22)

В полях, где формируется Число Человека, равное 113 (4.22), происходит расщепление разностей потенциалов  $(x^2 - y^2) = (x + y) \cdot (x - y)$  и возникают Святой Дух с потенциалом 24 и душа-сердце с потенциалом 42 (табл.4.2).

Аналогичная ситуация с мультиплетностью разности квадратов потенциалов будет наблюдаться на первых четырёх уровнях спирали Зодиака (или у четверых Святых), (табл.4.3).



Таблица 4.2

**Спираль Зодиака:  
потенциалы в поле Хозяев Святых (4.17)**

Компоненты	Полярные вихри Арупы	Семь планет в Зодиаке	Энергия связи	Суммы, разности
Суммы	$12+9 = 21$	$12+7 = 19$	$12+5 = 17$	57
Разности	$12 - 9 = 3$	$12 - 7 = 5$	$12 - 5 = 7$	15
Суммы	24	24	24	42 72
Константы	Число Луны ( $72 - 42 = 30$ ) в Вавилонской Башне. Постоянная Вселенной: $42 \cdot 24 = 1008$ .			

Таблица 4.3

**Спираль Зодиака: поле четверых Святых (4.17)**

Уровни	I	II	III	IV	Суммы и разность
Сумма	$12+1 = 13$ часы	$12+2 = 14$ магнетизм	$12+3 = 15$ электромагнетизм	$12+4 = 16$ электричество	58
Разности	$12-1 = 11$ митоз	$12-2 = 10$ свет	$12-3 = 9$	$12-4 = 8$ расширение	38
Сумма	24	24	24	24	20 96
Поле	Красная Звезда: $20 \equiv \frac{\Delta K = 1400 \overset{\circ}{A}}{\Delta \mathcal{K} = 70 \overset{\circ}{A}}$ .				

Появление в Спирали Зодиака ноль-потенциала, то есть  $12 \pm 0$ , приведёт на первых четырёх уровнях к потенциал-эквиваленту 108 реинкарнациям (табл.4.3):

$$96 + (12 \pm 0) = 108. \quad (4.23)$$

Наши реинкарнации связаны с неравновесной системой колебания, в которой участвуют как четыре первых уровня поля Зодиака (табл.4.3), так и следующие три уровня (табл.4.2):

<b>Возникновение гравитации в Арупе</b>	
Колебания	Гравитационный зародыш
$\frac{42}{72} \Leftrightarrow \frac{20}{96}$	$\frac{42 \cdot 96 \equiv 4032 \equiv T_0 \cdot 1008}{20 \cdot 72 \equiv 1440 \equiv 12^2 \rho_5} = 2,8.$

(4.24)

\*\*

Гравитационный зародыш (4.24), каким мы станем в Жизни после Жизни, находится в **Эфире Бордо** [10].

**Эфир Бордо**, как и любая иная форма Энергии, не может избежать Арупы-Рупы в её резонансно-антирезонансной пульсации, а, следовательно, не может избежать ни Спирали Зодиака, ни Семи планет на этой Спирали

$$(T_0 \cdot \tau = 12 \text{ и } T_0 + \tau = 7).$$

Возникнут разности квадратов ( $12^2 - 0^2$ ), ( $12^2 - 10^2$ ), ( $7^2 - 0^2$ ) и ( $7^2 - 10^2$ ), и спирали пределов сумм-разностей (табл.4.4).

Таблица 4.4

**Пульсация эфира Бордо в Жизни после Жизни [10]**

Режим	Резонанс		Суммы и разность	Антирезонанс		Суммы и разность
Суммы	12+0=12	12+10=22	34	7+0=7	7+10=17	24
Разности	12-0=12	12-10=2	14	7-0=7	7-10=-3	4
Суммы	24	24	48	14	14	28
Примечание	Святой Дух			Магнетизм.		

Сочетание волновых полей Святого Духа и магнетизма (табл.4.4) влечёт за собой формирование в поле Арупы ( $\tau = 3$ ) **Зародыша в сто раз меньше, чем Число Человека**. Происходит наше рождение в Жизни до Жизни (табл.4.4):

Познай начало Жизни чувствующей и вне Формы [3]		
Человек	Зародыш в Арупе	$\frac{1}{\tau} \cdot \frac{48}{20} \cdot \frac{28}{20} \equiv \frac{1344}{3 \cdot 400} = 1,13$
	В Жизни до Жизни	
	В биоЖизни	$\rho_5^2 \cdot 1,13 = 100 \cdot 1,13 = 113$
	Число Человека по Библии.	

(4.25)

### 4.3 Спираль Зодиака - сдвоенная спираль Кундалини

Если бы Создатель ограничился прилагательными, как это сделал В.Гинзбург с кварками (красивый, справедливый и так далее), то **нить нескончаемой и извечной Эволюции к Совершенству** была бы прервана. Но Создатель - не В.Гинзбург, и Он считает Реалии, добиваясь "без отходной" технологии в круговороте реинкарнаций (табл.4.3, табл.4.4).

Для того, чтобы добиться автоматизма в процессе реинкарнаций, прежде всего, необходимо совместить Спираль Зодиака (канал проводимости) с Тонкой Энергией Эфира Бордо, то есть среды в Жизни до Жизни ([10], табл.4.5).

Таблица 4.5

## Эфир Бордо в Спирали Зодиака

Поле и режимы	Резонанс Спирали T <sub>o</sub> ·τ = 12	Пульсация Эфира Бордо на уровнях		Антирезонанс Спирали: T <sub>o</sub> +τ = 7
		1, 2, 3, 4	5, 6, 7	
Информатив	0 и 10 в 12 (табл.4.4)	Четверо Святых ([4], табл.4.3)	Хозяева ([4], табл.4.2)	0 и 10 в 7 (табл.4.4)
Колебания	20/48	96/20	42/72	20/28
Постоянные	$K_1 = \frac{96 \cdot 48}{20 \cdot 20} = 5 \cdot 12^2 \cdot 10^{-2}$		$K_2 = \frac{72 \cdot 20}{42 \cdot 28} = \frac{10 \cdot 12^2}{24 \cdot 7^2}$	
Пентаграмма в оболочке	$K_1 \Leftrightarrow K_2$ или $24 \cdot 7^2 \cdot 10^{-2} \Leftrightarrow 2$ $7^2 \Leftrightarrow \frac{10^2}{12} \Leftrightarrow \frac{1}{3} \cdot 5^2$ .			

\*\*

В поле пятеричной связи с потенциалом  $5^2$  возникают три кванта - оболочки с потенциалами  $7^2$ , связанные между собою импульсами волны-частицы света и электромагнитной среды между ними (табл.4.5, рис.4.2)

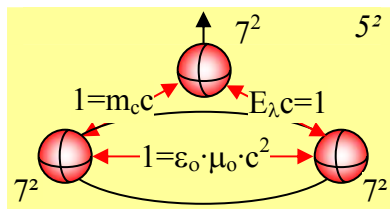


Рис.4.2 Внутреннее поле Абсолюта (тетраксиса Пифагора, тетраграмматона Каббалы)

Энергетический баланс во внутреннем поле абсолюта (рис.4.2) будет соответствовать колебаниям неравновесной системы типа:

$$\tau \cdot 7^2 + m_c c + \epsilon_0 \cdot \mu_0 \cdot c^2 + E_\lambda c \Leftrightarrow 5^2$$

или

$$3 \cdot 7^2 + 3 \equiv 150 \Leftrightarrow 25 = 5^2. \quad (4.26)$$

В этом поле Абсолюта (рис.4.2) возникают цис-транс изомерические спирали Кундалини, разность потенциалов которых равна 12 и эквивалентна Спирали Зодиака (4.26):

Появление Спирали Зодиака из Абсолюта (рис.4.2)			(4.27)
Цис-Кундалини	Транс-Кундалини	Спираль Зодиака	
$\frac{150}{25} = 6 \equiv 3,5 + 2,5$	$-\left(\frac{150}{25} = -6 \equiv 2,5^2 - 3,5^2\right)$	$12 \equiv 2 \cdot 6 \equiv 3 \cdot 4$	

\*\*

Как любое энергетическое поле Спираль Зодиака пульсирует, охлаждается и нагревается, синтезируется и расщепляется в процессе резонансно-антирезонансной пульсации.

Резонанс Спирали Зодиака связан с потенциалом  $12 = 3 \cdot 4 \equiv \tau \cdot T_0$ .

При резонансе Спирали Зодиака Кундалини сжимается, совершая 2,5 оборота витка спирали, а Спираль Зодиака при резонансе будет иметь

$$12 \cdot 2,5 = 30 \text{ оборотов.} \quad (4.28)$$

Антирезонанс Спирали Зодиака связан с суммой

$$\tau + T_0 = 3 + 4 = 7.$$

При антирезонансе Спираль Зодиака и спираль Кундалини расширяется, совершая 3,5 оборота спирали, а Спираль Зодиака при антирезонансе будет равна:

$$7 \cdot 3,5 = 24,5 \text{ оборота.} \quad (4.29)$$

Равновесие между сжатием и расширением Спирали Кундалини может быть достигнуто за счёт влияния окружающей среды, то есть энергии пятеричной связи:

Среда как фактор равновесия Зодиака		
Сжатие (4.27)	Среда Пятеричной связи	Расширение (4.28)
$12 \cdot 2,5 = 30$	$\pm(30 - 24,5 = 5,5 \equiv$ $(9+2) \int_0^1 \varphi d\varphi \equiv 11 \cdot 0,5)$	$24,5 = 3,5 \cdot 7.$

(4.30)

\*\*

Дзиан - дробь [3, 4] формирует Всё, Везде, Всегда: Космогенезис, Антропогенезис, Перемены Форм, реинкарнации.

**"Авраам связал дух двадцати двух букв (Тора) своим языком, и Бог позволил буквам раствориться в воде. Он сжёг их на огне, развеял по ветру. Он распределил их среди семи планет и отдал двенадцати знакам Зодиака" [12].**

Непостижимым образом потомки Авраама так и не поняли значимость и физическую Сущность подарка Бога из 22-х букв.

Приглашаю разобраться:

1. **"Отдал 12-ти знакам Зодиака"** - речь идёт о сжатии при резонансе ( $12 \cdot 2,5 = 30$ ). Религиозные воззрения шумеров описывают  $\pm 30$  как бога и богиню Луны. С позиции физиологии - это сине-голубая Чакра Третий Глаз, работающая на приёме-передаче Космических волн в мозг-тело человека. **В том числе волн, несущих Информацию Космоса.**

2. **Он распределил их среди семи планет.**

Речь идёт об антирезонансе (4.30).

### 3. Развеял на ветру.

Речь идёт о цис-транс изомерии между резонансно-антирезонансными разностями потенциалов (4.30):

Образование 110 Божеств в теле Человека и 22 букв Авраама, или субструктуры (9+2)			
	Цис-вращение	Среда	Транс-вращение
Изомерия во времени	$30 - 24,5 = 5,5 \rightleftharpoons -5,5 = 24,5 - 30$ $\uparrow \uparrow \quad 22 \quad \downarrow \downarrow$		
	$24,5 - 30 = -5,5 \rightleftharpoons 5,5 = 30 - 24,5.$		

(4.31)

При изомерии - вращении Кундалини - Зодиака, возникают субструктуры  $\pm[-5,5 - (+5,5)] \equiv \pm(9+2)$ , характерные для биоклетки при митозе.

Появление в этой субструктуре света увеличивает потенциал субструктуры в 10 раз, то есть до потенциал - эквивалента 110 Божествам (Тибет) в теле Человека.

Два процесса изомерического вращения формируют полушария сгустков (4.31):

Синтез полушарий в сгусток		
Левое	Правое	Сгусток
$5,5 + 5,5 = 11$	$-5,5 - 5,5 = -11$	$\pm[11 \mp (\mp 11)] = \pm 22$
$5,5 - (-5,5) = 11$	$-5,5 - (+5,5) = -11$	$\pm[11 - (-11)] = \pm 22.$

(4.32)

Однако, сгусток с потенциалом  $\pm 22$  (4.32) существует в пульсирующем Космосе.

Этот космический ветер (4.33) лежит в основе Эволюционных Перемен, подробно описанных в Книге Перемен.

Развеянные ветром Космоса буквы					
Волны	линей- ная	поверх- ностная	объём- ная	Сумма	Произ- ведение
Потенциалы	$c/\omega_0 = 2$	$c^2/\omega_0^2 = 4$	$c^3/\omega_0^3 = 8$	14	64
Унесённые ветром	$\rho_5 \cdot (22 \cdot 64 - 22 \cdot 14 = 22 \cdot 50 = 1100) = 11000$ молекулярный вес табулина - вещества биоткани, а $50 \equiv$ Айн СОФ (Еврейский Бог).				

(4.33)

#### 4. Он сжѣг их на огне (Тора).

Речь идёт о том, что ветер Космоса с потенциалами 14 и 64, характеризующие логарифмические волны, до этого описывали ядерные процессы с эффективностями взаимодействий, равными  $10^{14}$  и  $10^{64}$ , где  $10^{14} \equiv \rho_4$  - эффективность ядерного взаимодействия.

Ядерное взаимодействие является источником магнетизма в полях логарифмических волн:

Ядерное взаимодействие	Магнетизм
$\rho_4 = 10^{14}$	$\sqrt{\mu\mu^*} = 14 \equiv \lg 10^{14},$

(4.34)

а колебание сгустка Ян в магнитном поле ядерных взаимодействий приводит к потенциалу  $\pm 50$ , выделенного в Каббале как Бог Айн СОФ:

Пульсация Айн СОФ во взаимодействиях
$\frac{10^{64}}{10^{14}} \Leftrightarrow 10^{50} \Leftrightarrow 10^{64} \cdot 10^{14} \equiv 10^{78} \Leftrightarrow 10^{-50} \equiv \frac{10^{14}}{10^{64}}.$

(4.35)

В полях взаимодействий скорость распространения электромагнитных волн увеличивается, и может быть представлена как неравновесная система импульсов и зарядов в средах (4.35).



Взаимосвязь импульсов и зарядов в спирали Зодиака				
Импульсы		Среда		Заряды
Мысль, Память, Воображение		Переход		Гравитационный, маг- нитный, электрический
$(28+14+16) \cdot 10^{20} \cdot 10^{30} \equiv$ $58 \cdot 10^{50}$		$\Leftrightarrow 58 \cdot 10^{38}$	$58 \cdot 10^{-78} \Leftrightarrow$	$(28+14+16) \cdot 10^{-20} \cdot 10^{-30} \equiv$ $58 \cdot 10^{-50}$
Антиграви- тация	$1 \Leftrightarrow 10^{28}$	$\Leftrightarrow 10^{-28}$	$\Leftrightarrow 1$	Гравитация.
	$1 \Leftrightarrow 1$	$\Leftrightarrow 10^{-56}$	$\Leftrightarrow 1$	
	$1 \Leftrightarrow 10^{56}$	$\Leftrightarrow 1$	$\Leftrightarrow 1$	

(4.36)

В полях с потенциалами  $10^{\pm 28}$ ,  $10^{\pm 56}$ ,  $10^{\pm 112}$  ядерные взаимодействия возрастают (уменьшаются):

Влияние ядерных взаимодействий на заряды-импульсы				
Гравитация	$\rho_4 = 10^{14}$	$\rho_4^2 = 10^{28}$	$\rho_4^4 = 10^{56}$	$\rho_4^8 = 10^{112}$
Анти- гравитация	$\rho_4^{-1} = 10^{-14}$	$\rho_4^{-2} = 10^{-28}$	$\rho_4^{-4} = 10^{-56}$	$\rho_4^{-8} = 10^{-112}$

(4.37)

Эти изменения взаимодействий Космоса воспринимают наши Чакры, формируя в полях логарифмических волн ряды сжатия-расширения Кундалини:

Постоянная Чакр								
Ряды	№№ чакр							
	1	2	3	4	5	6	7	8
Расширения	7/4	7/2	7	14	28	56	112	224
Сжатия	80	40	30	20	10	5	5/2	5/4
Const	$80 \cdot 7/4 = \dots = 112 \cdot 5/4 = 140$							

(4.38)

В поле работы чакр два **граничных условия**.

Первое ограничение возникает тогда, когда появляется поле с потенциалом

$$10^{50} = (10^{20})^{2,5} \equiv \rho_5 \rho_4 / \rho_1. \quad (4.39)$$

В логарифмических полях возникает коэффициент сжатия Кундалини, равный

$$\frac{5}{2} \equiv \log_{10^{20}} (10^{20})^{2,5}, \quad (4.40)$$

и превышающий предел насыщения люминофора, равный  $10^{20}$  фотонов.

Такое превышение пределов насыщения люминофоров возможно, если люминофор стал ядерным веществом.

В полях логарифмических колебаний ядерное вещество пульсирует вместе с Космосом, приводя к потенциалу (4.38):

$$\frac{5}{2} \left( \pm \int_0^1 \varphi d\varphi \right) = \pm \frac{5}{4}. \quad (4.41)$$

## 5. Он растворил их в воде (Тора).

Полное сжигание, в том числе букв Авраама, завершается переходом от сжатия к расширению через равновесное состояние:

Переход между сжатием и расширением Кундалини			
Сжатие	Равно- весие	Расши- рение	Вода: $M_{H_2O}=18$
$5/2$	$\Leftrightarrow$ 1	$\Leftrightarrow$ $7/2$	$\left[ \left( \frac{7}{2} \right)^2 - \left( \frac{5}{2} \right)^2 \right] \cdot (\tau = 3) = 18.$

(4.42)

Пульсирующий Космос влияет на коэффициент расширения точно так же, как он влияет на коэффициент сжатия (4.41):

$$\frac{7}{2} \left( \pm \int_0^1 \varphi d\varphi \right) = \pm \frac{7}{4}. \quad (4.43)$$

Великая Цивилизация знала о влиянии пульсации Космоса на Кундалини - Спираль Зодиака, и взяла потенциал  $\pm 7/4$  за единицу своего Счисления, назвав этот потенциал "пальмой" (4.43).

\*\*

Между сжатием и расширением Кундалини - Спирали Зодиака возникает разность квадратов потенциалов, равная (4.42):

$$\left(\frac{7}{2}\right)^2 - \left(\frac{5}{2}\right)^2 = \left(\frac{7}{2} + \frac{5}{2} = 6\right) \cdot \left(\frac{7}{2} - \frac{5}{2}\right) = 6. \quad (4.44)$$

Это выражение (4.44) говорит о том, что спираль Зодиака - Кундалини всегда находится в равновесии, когда возникает разность потенциалов, равная  $7/2 - 5/2 = 1$ .

Поле равновесия - это не пустота, которой в Природе нет, но всегда либо Арупа, либо Рупа, имеющие соответственно периодичности  $\tau = 3$  и  $T_0 = 4$ .

Поэтому Кундалини в Арупе образует воду с молекулярным весом 18 кислородных единиц, а в Рупе - Святой Дух.

Точнее всего зависимость (4.45) описал Индуизм: **Богиня Лакшма вышла из воды и своими четырьмя руками стала раздавать Любовь, Добро, ...** то есть Тонкие Энергии Святого Духа:

Синтез-мультиплетность Кундалини			
Кундалини	Арупа: Вода	Рупа: Святой Дух	Душа-сердце
$\left(\frac{7}{2}\right)^2 - \left(\frac{5}{2}\right)^2 = 6$	$6 \cdot \tau = 18$	$6 \cdot T_o = 24$	$24 + 18 = 42$
Постоянная Вселенной: $1008 = 24 \cdot 42 = 18 \cdot 56$ .			

(4.45)

\*  
\*\*

Спираль Зодиака используют Все: астрологи, психологи, политики и нытики.

На Земле не было ни одной цивилизации, включая великую Цивилизацию Строителей Пирамид и НЛО, которая не использовала бы **Спираль Зодиака**.

Наша сегодняшняя цивилизация использует Спираль Зодиака в мировоззренческо-религиозных подходах к познанию Космоса Востоком и Западом.

Вариантов Спирали Зодиака множество, но энергетическая сущность Спирали Зодиака нами не понята, и бедные астрологи работают вслепую.

Вместе с тем, **Спираль Зодиака - это канал экстрасенсорной проводимости, связанный с Рупой-Арупой и цис-транс изомерией ветвями Спиралей Кундалини.**

Равновесие в Спирали Зодиака наступает при равенстве Энергии Спирали продолжительности трансформации одной формы энергии в другую форму.

В поисках Спирали Зодиака мы с мольбой вглядываемся в **Звёздное Небо**, но **Спираль Зодиака является также и двойной мембранной молекулярно-белковой спиралью, которая образует поверхность любой биологической клетки.**

Равновесие Спирали Зодиака и её производных				(4.46)
Скорость	Спираль Зодиака	Святой Дух	Сине-голубая Чакра	
$v = 1$	$= \frac{6 - (-6)}{T_0 \tau = 12}$	$= \frac{12 - (-12)}{2 \cdot T_0 \tau = 24}$	$= \frac{24 - (-24)}{\tau \cdot T_0^2 = 48}$	
Примечание	Кундалини в Арупе-Рупе	Круг Универсум в "Откровениях"	Длина волны в 4800Å.	

Поскольку Эволюция Живого имеет свою **основу на клеточном уровне**, то великая Цивилизация разместила животных по Спирали Зодиака в соответствии с уровнем развития их биоклеток.

\*\*

Спираль Зодиака - или двойная спираль Кундалини в изомерии, образует суммы-разности изомеров, которые пульсируют в резонансно-антирезонансном режиме (табл.4.6).

В Спирали Зодиака переход между ветвями Кундалини описывается потенциалами  $2 \Leftrightarrow 3 \Leftrightarrow 4$ , то есть потенциалами Круга Универсума, продиктованного Иисусом Христом в "Откровениях" Иоанна Богослова ([6], табл.4.6).

Но ещё раньше великая Цивилизация информировала Буддизм о 108 реинкарнациях, связанных с пульсацией Спирали Зодиака (табл.4.6):

**Пульсация Спирали Зодиака -  
двойной спирали Кундалини**

Изомерия		Цис-	Переход: Круг Универсума	Транс-
Кун- да- ли- ни	Сумма	$3,5+2,5 = 6$	$\tau = \frac{-6 \cdot 6}{6 - (-6)} = -3$	$-6 = 2,5^2 - 3,5^2$
	Раз- ность	$3,5-2,5 = 1$	$\pm(3-1=2); \pm 3;$ $\pm(3+1=4)$	$-1 = 2,5 - 3,5^2$
Анти- резо- нанс	Сумма	$6+1 = 7$	$2+3+4 = (9+0)$	$-(6+1)=-7$
	Раз- ность	$6 - 1 = 5$	$2 \cdot 3 \cdot 4 = 24$	$1 - 6 = -5$
Резонанс		$6 \cdot 1 \cdot 7 = 42$ сердце	$24 - 9 = 15$	$(-6) \cdot (-1) \cdot (-7) =$ $-42$ сердце
		$5 \cdot 7 = 35$ расширение Кундалини	$\pm \frac{35}{15} = \pm 3 \equiv \tau$	$(-5) \cdot (-7) = 35$ расширение Кундалини
Спираль Зодиака		$12 \equiv 6 - (-6) = 3 \cdot 4 \equiv T_0 \cdot \tau$ (Арупа-Рупа) $6 \cdot (-6) = -36$ (свет).		

**108 реинкарнаций живых магнитов**

$$\frac{\text{резонанс}}{\text{антирезонанс}} \equiv \frac{6 \cdot (-6)}{6 - (-6)} = -3 \Leftrightarrow \frac{14}{-36} \equiv \frac{7 - (-7)}{6 \cdot (-6)} \equiv \frac{\text{антирезонанс}}{\text{резонанс}} \quad (4.47)$$

$$(-3) \cdot (-36) \equiv \mathbf{108} \Leftrightarrow \mathbf{14} \equiv \sqrt{\mu\mu^*}.$$

Реинкарнации Жизни, пульсирующей под Спиралью Зодиака, взаимосвязана с субструктурой (9+2) биоклетки при митозе и расширяющейся Вселенной (4.47):

$$\mathbf{0 \Leftrightarrow 108-14} \equiv 94 \equiv 2 \cdot 44 \equiv 2^2 \cdot 22 \equiv 2^3 \cdot 11 \equiv \mathbf{(9+2)} \cdot \left( \frac{c^3}{\omega_0^3} = 8 \right), \quad (4.48)$$

где 22 - эквивалент двадцати двум буквам Авраама.

Великая Цивилизация (Боги) говорила Аврааму о 22 буквах **открытым текстом**, но иудеи, в погоне за властью любой ценой, все свои Мистерии засекретили, а затем и **забыли, о чём шла речь**.

А речь шла о колебаниях живых магнитов ( $14 \equiv \sqrt{\mu\mu^*}$ ) в ядерном веществе ( $\gamma_n = 72$ ) Вселенной с постоянной 1008:

<b>Живые магниты во Вселенной</b>	
$14/1008 \Leftrightarrow 108/72; \quad (14 \cdot 72 = 1008) \Leftrightarrow 1008 \cdot 108;$ $1 \Leftrightarrow 108.$	(4.49)

Этот иудейский склероз дорого обошелся и Богам (в том числе Иисусу Христу) и всему Человечеству.

#### 4.4 Пять элементов Вселенной

Мы передаём электрическую энергию по проводам. Сопротивление материалов проводников увеличивает потерю электричества. Для уменьшения потерь при передаче энергии на большие расстояния мы **увеличиваем напряжение тока и пытаемся внедрить сверхпроводимость**.

Появление сверхпроводимости связано с применением, например, жидкого гелия, то есть с необходимостью перейти к температурам, близким к абсолютному нулю, равному минус 273 градуса по шкале Цельсия.

Единый Космос имеет температуру абсолютного нуля везде в полях Невесомости Тонкой Энергии, то есть в 2/3 общей энергии всего Космоса.

\*\*

**Космос Невесомости - это не пустота вакуума, а пульсация в сжатии-расширении самосуших волн при эндотермии взаимодействий:**

Космос Невесомости (мы его называем вакуумом)		
Расширение	Сжатие	Эндотермия
$\left( \frac{\sin \frac{\pi}{4} \cdot \cos \frac{\pi}{4}}{\sin \frac{\pi}{4} \cdot \cos \frac{\pi}{4}} \cdot \frac{c}{\omega_0} = 1 \Leftrightarrow -1 = \frac{\omega_0}{c} \cdot \frac{\sin \frac{\pi}{4} \cdot \cos \frac{\pi}{4}}{\sin \frac{\pi}{4} \cdot \cos \frac{\pi}{4}} \right) \cdot (\lg \rho_1 \rho_2 = -25) \quad (4.50)$		
$-1 \cdot 25 \Leftrightarrow +25 \quad \text{и} \quad \pm 50 \Leftrightarrow 0.$		

Это значит, что Космос Невесомости, который современная наука по своему недомыслию называет пустотой - вакуумом, не опровергая справедливость закона сохранения энергии, есть не что иное, как еврейский бог Айн СОФ с потенциалом 50 (4.50).

Но, получив Айн СОФ в Космосе Невесомости, мы получим поле логарифмических колебаний электромагнитного, ядерного и гравитационного взаимодействий:

$$АЙН СОФ \equiv 50 = \lg \frac{\rho_3 \rho_4}{\rho_1} = \lg \frac{10^{12} \cdot 10^{14}}{10^{-24}}. \quad (4.51)$$

\*\*

Самосущие волны попадают в поля слабых взаимодействий и взаимодействий света:

$$\frac{\rho_2}{\rho_5} \Leftrightarrow \frac{\rho_5^2}{\rho_2} = \frac{10^2}{10^{-1}} = 10^3. \quad (4.52)$$

Потенциал Айн СОФ увеличивается на три единицы (4.51):

$$АЙН СОФ + 3 \equiv 53 = \lg \frac{\rho_3 \rho_4 \rho_5^2}{\rho_1 \rho_2} = \lg 10^{53}. \quad (4.53)$$



Из этих трёх дополнительных энергетических единиц (4.53) формируются импульсы абсолюта:  $m_c c + E_{\lambda} c + \epsilon_0 \mu_0 c^2 = 3$  (рис.4.2).

Антирезонанс в поле Зодиака формирует три оболочки для этих импульсов (рис.4.2).

Возникает ситуация, при которой в оболочке с потенциалом  $7^2$ , объём имеет потенциал, равный единице (рис.4.2).

Но, "4. Трое уппадают в Четыре; Лученосное Естество умиряется; Семь внутри, Семь во вне, Сияющее Яйцо, в себе Троичное, сворачивается, распространяясь молочно-белыми Сгустками в Глубинах Материи, Корне, растущем в Недрах Океана Жизни ([3], Космогенезис, Станца III).

Эта Станца говорит о том, что пульсация свет - слабые взаимодействия продолжаются (4.52):

$$\begin{array}{l} \frac{\rho_5^2}{\rho_2} = 10^3 \Leftrightarrow \frac{\rho_2^2}{\rho_5} = 10^{-4}, \\ 3 = \lg 10^3 \Leftrightarrow -4 = \lg 10^{-4} \\ 3 + 4 = 7 \Leftrightarrow 0. \end{array} \quad (4.54)$$

и Трое уппадая в Четыре, формируют квант с потенциалами Семь внутри, Семь во вне (рис.4.2).

В поле Рупы поступает магнитная энергия  $14 \cdot 4 = 56$  (рис.4.3).

В поле Арупы возникают потенциалы:

$$7^2 + 7 = 56 \equiv \frac{7}{2} (\sqrt{qq^*} = 16) \equiv 4 (\sqrt{\mu\mu^*} = 14) \equiv 2 (\sqrt{\rho\rho^*} = 28), \quad (4.55)$$

то есть формируется гравитационно-электромагнитное равновесие, дающее начало всем периодическим системам.

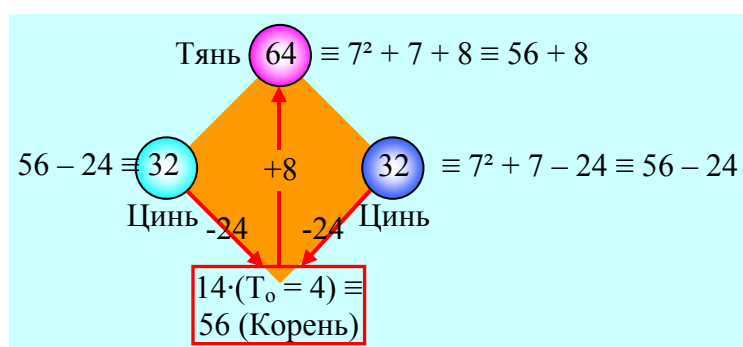


Рис.4.3 Насыщение Тянь-Цинь магнитной энергией

Переход от Арупы к Рупе перераспределяет энергию в поле равновесия (4.55).

В Рупе возникает **сгусток Тянь** с потенциалом 64 и **два волновых энергетических сгущения Цинь** (небеса) с потенциалами 32 (рис.4.3).

По сравнению с равновесным состоянием (4.55) сгусток **Тянь поглощает восемь единиц энергии, а каждая из Цинь выделяет по 24 единицы энергии** (рис.4.3).

Пульсация Тянь-Цинь предопределяет пульсацию в 25 кадров на уровне Подсознания и 24 кадра на уровне Сознания, с воспроизводством нового потенциала Тянь:

Пульсация Тянь в Подсознании и Цинь в Сознании		
Тянь - 25 кадров	Цинь - 24 кадра	Новое Тянь
$64 \cdot 25 = 1600$ $\equiv \sqrt{qq} * \rho_5^2$	$32 \cdot (-24) + 32 \cdot (-24) = 1526$ $\equiv \tau \cdot 2^9$	$64$ $\equiv 2^6$
Электричество	Круг Универсума в точке: $\tau \cdot 2^9 : 2^6 = \tau \cdot 2^3 \equiv 2 \cdot 3 \cdot 4$	

(4.56)

При этой пульсации Сознание  $\Leftrightarrow$  Подсознание формируется поверхность, несущая электричество и Круг Универсума в точке (4.56).

Электричество сжимает сгусток Тянь, Круг Универсума в точке (4.56) разворачивается в две цис-транс изомерические спирали Зодиака:

$$3 \cdot 4 - (-3 \cdot 4) \equiv 12 - (-12). \quad (4.57)$$

В Арупе возникают молочно-белые спирали (4.57):

$$\tau \cdot [12 - (-12)] \equiv 36 - (-36), \quad (4.58)$$

где  $36 \equiv \rho_2^2 \cdot (\Delta B = 3600 \text{ \AA})$ .

Для того, чтобы получить эти молочно-белые спирали из Круга Универсума в точке (4.56) Колесу Вселенной надо сделать полтора оборота:

$$1,5 \cdot [12 - (-12)] \equiv 1,5 \cdot 2 \cdot 3 \cdot 4 = 36. \quad (4.59)$$

**"Когда Колёсо сделает полтора оборота, Искры воплотятся в плодах, дотоле человеку неизвестных. И ребёнок, и взрослый человек вкусят этих плодов, и, к удивлению Богов, слова мудрости слетят с их губ"** ([5], Теогенезис, Станца III, п.3).

\*\*

Молочно-белые спирали Зодиака вращаются под напором магнитной энергии, попадающей из Арупы - Корня красного цвета (рис.4.3):

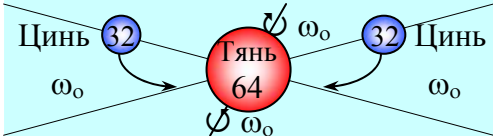
<b>Корень, растущий в Недрах Океана Жизни [5]</b>	(4.60)
$14 \cdot 4 \equiv \sqrt{\mu\mu^*} \cdot T_0 \equiv \rho_2^2 (\Delta K = 1400 \text{ \AA}) T_0 = 56.$	

Возникает **Сияющее Яйцо в себе Троичное** (рис.4.4).

В этом Яйце Тянь имеет два полярных вихря и стремится к расширению (рис.4.4):

$$K_1 = m_c 64 \cdot [\omega_0 - (-\omega_0)] \cdot (c/\omega_0 = 2)^3 = 512, \quad (4.61)$$

а два Цинь - к сжатию:



$$\begin{aligned} -E_\lambda \cdot 32 \cdot \omega_0 T_0^2 &= 256 \\ -E_\lambda \cdot 32 \cdot (-\omega_0) T_0^2 &= -256 \\ \hline K_2 &= 512 \end{aligned} \quad (4.62)$$

Рис.4.4 Сияющее Яйцо в себе Троичное:  
это система Тянь - два Цинь [5]

В Троичном Яйце возникает динамическое равновесие (4.61, 4.62, рис.4.4):

$$K_1 \equiv 512 \Leftrightarrow 512 = K_2. \quad (4.63)$$

Это Сияющее Яйцо с потенциалом:

$$\begin{aligned} K_1 + K_2 - 1 &\equiv 1024 - 1 = 1023 \equiv \\ \int_2^{64} \varphi d\varphi \cdot \int_0^1 \varphi d\varphi &= \frac{1}{4} (64^2 - 2^2) = 1023 \end{aligned} \quad (4.64)$$

включает в себя **Корень** (самосушие волны с потенциалом  $2 = Sc \pi/4 \cdot Csc \pi/4$ ), **Свет** (с потенциалом 36) и **Сгустки** (с потенциалом 64).

Возникает разность потенциалов (4.64):

Арупа Единого Космоса ([3], Космогенезис)				
Диаграмма Тянь-Цинь	Корень	Свет	Сгусток	Остаток
$\frac{1}{2} \int_2^{64} \varphi d\varphi = 1023$	(2	+ 36	+ 64)	$\times 10 \Leftrightarrow 3 = \tau \equiv m_c c + E_\lambda c + \varepsilon_0 \mu_0 c^2.$

**"5. Корень остаётся; Свет остаётся; Сгустки остаются и, всё же, Осаоһоо Един"** ([3], Космогенезис, Станца III).

$$\text{Осаоһоо} \equiv (m_c c + E_\lambda c + \varepsilon_0 \mu_0 c^2) / \tau = (1+1+1)/3 = 1. \quad (4.66)$$

\*\*

Корень, Свет и Сгусток пульсируют не только в антирезонансном (4.65), но и резонансном режиме:

$$\frac{\text{Резонанс}}{\text{Антирезонанс}} \equiv \frac{\text{Корень} \times \text{Свет} \times \text{Сгусток}}{\text{Корень} + \text{Свет} + \text{Сгусток}} \equiv \frac{2 \cdot 36 \cdot 64}{2 + 36 + 64} = \frac{36 \cdot 64}{51}. \quad (4.67)$$

Поразительно, но поле (4.67) описано в 21 главе Евангелия от Иоанна, в момент третьего явления Христа своим ученикам после распятия.

Фабула такова. Апостолы ловили рыбу, забрасывая сети с левого борта лодки. Иисус сказал, чтобы забросили с правого. Поймали 153 крупные рыбы.

Моё объяснение: энергетический поток самосушущих волн имеет только одно направление ("с правого борта").

153 рыбы характеризуют Арупу (4.67):

<b>Сжатие спирали света в воде: сотворение рыб</b>	(4.68)
$\frac{T_0}{\tau} \cdot \frac{36 \cdot 64}{51} \equiv \frac{4 \cdot 36 \cdot 64}{103} \approx \frac{256}{103} \cdot 36 \approx 2,5 \cdot 36 \approx 90.$	

А далее всё перекликается с сотворением тела Человека: **5....Кто совершенствует последнее тело? Рыба, Грех, Сом** ([3], Космогенезис, Станца VII).

\*\*

Описать всё многообразие микро-макро, живых и не живых форм Вселенной невозможно. Но понять **пятеричную** периодичность десятиричной системы формования энергетической фазовой структуры Вселенной нам, людям, вполне по силам (табл.4.7).

Сущность Системы состоит в чётно-нечётном сочетании пары излучателей (типа струна) и нечётно-чётном "звучании" сред (табл.4.7).

Таких пар всего будет **пять** (табл.4.7).

Таблица 4.7

### Формование Вселенной Светом

Элементы		Излучатели			
		Чётные		Нечётные	
		Колебания сред		Колебания сред	
Формируются фазовые состояния Вселенной	1 эфир	-1↔0↔+10 равновесие	0↔±2	-2↔1↔+2 взаимодействия	1↔±4
	2 газы	-3↔2↔+3 Арупа	2↔±6 Кундалини	-4↔3↔+4 Рупа	3↔±8
	3 жидкости	-5↔4↔+5 пятеричность Рупы	4↔±10	-6↔5↔+6 Свет в Пятеричности	5↔±12
	4 твёрдая фаза	-7↔6↔+7	8↔±14 магнетизм	-8↔7↔+8	7↔±16 электричество
	5 жидкая плазма	-9↔8↔+9 Пределы Вселенной	8↔±18 Вода	-10↔9↔+10 Свет над Пределами	9↔±20 субструктура
Суммы		-25↔20↔25	20↔±50	-30↔25↔±30 Бог    Богиня Луны   Луны	25↔±60
110 Божеств в Человеке		20 + 25 = 45 ↔ ±110 = ±50 ± 60			
22 буквы Авраама		±110/5 = ±22.			

Образно говоря, свет - струна, точечный участок волны света - медиатор, самосушие волны - молчаливая среда до звучания струны, и всё остальное создаётся Струной, мелодию которой ведёт Создатель (табл.4.7).

Создатель формирует Вселенную не только для Себя, но и для Носителей Разума, которых **Он** творит из молчаливой тьмы самосуших волн.

**Создатель - это Учитель. Носители Разума - Его Ученики, которых создатель учит понимать Природу Вещей.**

Ученик, заменивший Анализ причинно-следственных связей Природы Вещей молитвенно-фанатичным подхалимажем перед Богом, подобен нашей лицемерно-покорной на словах и хищно-жестоккой в своих поступках цивилизации на современной Земле.

Создатель-Учитель создаёт Природу, свойства которой Ему понятны, и могут быть поняты Его Учениками.

Такими понятными свойствами обладает и процесс формирования Вселенной

\*\*

**Первый Элемент (табл.4.7).**

Первый Элемент формируется полями Хаоса и Гармонии с потенциалами 0 и  $\pm 1$ .

**Гармония формируется как возмущенная среда над Хаосом:**

Гармония	Хаос	Гармония
-1	0	1

 $\Leftrightarrow$ 
 $\Leftrightarrow$ 
),
(4.69)

а, по достижении в окружающей среде Гармонии, сама Гармония становится источником возмущения окружающей среды, в которой возникают логарифмические волны взаимодействий (табл.4.7):

$$0 \Leftrightarrow \pm 2 \equiv \pm \lg \left( \frac{10^{+1}}{10^{-1}} \right)^{\pm}. \quad (4.70)$$

В поле первого элемента возникает первая упорядоченная структура фазового состояния Единого Космоса, и это фазовое состояние - отвергнутый нашей наукой **Эфир**, а точнее **Эфир Бордо**, упомянутый в Книге Мёртвых [10].

Переход от Хаоса к Гармонии в Эфире Бордо происходит за счёт Дзиан - потенциалов:

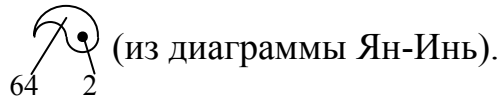
$$\text{Дзиан} \equiv \pm \int_0^1 \varphi d\varphi = \pm \frac{1}{2} \equiv \pm \frac{\omega_0}{c}, \quad (4.71)$$

где с периодичностью  $T_0$  сжатие сменяется расширением:

$$\pm \frac{1}{2} T_0 = \pm \frac{1}{2} \cdot 4 = \pm 2 \equiv \frac{c}{\omega_0} \equiv \frac{c^2}{2} = \pm j_0. \quad (4.72)$$

Возникает центробежно-центростремительное ускорение точечного участка волны света.

Появляется **Зародыш сгустка**, который в диаграмме Ян-Инь описывается чёрной точкой в светлой волне:



**Строители Пирамид берут двойку (4.72) за радиус окружности и вписывают в окружность основание великой Пирамиды**, и анализируют Единый Космос.

Колебания Гармонии ( $1 \Leftrightarrow 4 \Leftrightarrow T_0$ ) формируют Рупу (табл.4.7).

\*  
\*\*

**Второй элемент** (табл.4.7).

Второй элемент Единого Космоса связан с протеканием взаимодействий в Арупе ( $-3 \Leftrightarrow 2 \Leftrightarrow 3$ ) и пульсацией ( $-4 \Leftrightarrow 3 \Leftrightarrow 4$ ) Арупы в Рупе (табл.4.7).



При наличии взаимодействий в Арупе создаётся среда с потенциал - эквивалентом потенциалу Кундалини  $\pm 6$  (табл.4.7).

Цис-транс изомерия двух ветвей Кундалини создаёт Спираль Зодиака  $\pm[(+6) - (-6) = 12]$  (табл.4.7).

Одновременная пульсация Арупы в Рупе ( $-4 \Leftrightarrow 3 \Leftrightarrow 4$ ) увеличивает потенциал Рупы в два раза (табл.4.7).

Зародыш сгустка  $\pm 2$  увеличивается до  $\pm(2^3 = 8)$ . Сжатие сменяется расширением ( $T_0\omega_0/c = 2 \rightarrow 8 = c^3/\omega_0^3$ ).

Диаграмма Ян-Инь описывает этот процесс белой точкой в чёрной волне:



Строители великой Пирамиды фиксируют появление потенциала, равного 8, площадью основания ( $a^2$ ) и апофемой ( $\ell$ ) великой Пирамиды (табл.4.7):

$$8 = 2^3 \equiv (a = 2\sqrt{2})^2 \equiv \left( \frac{H^2}{r} = \frac{2^{7/2}}{2^{1/2}} \right). \quad (4.73)$$

Жрецы Пирамиды подсказывают Геродоту правило соотношения элементов Пирамиды, но до моей работы, показывающей, что **второй элемент Вселенной описывает газы** (табл.4.7), остаётся ещё семь тысяч лет кровавых разборок.

\*\*

### Третий элемент (табл.4.7).

Третий элемент Вселенной описывает то, как пульсирующая Рупа формирует среду пятеричной энергетической связи ( $-5 \Leftrightarrow 4 \Leftrightarrow 5$ ), а затем пятеричная связь объединяет две ветви Кундалини в Единую Спираль Зодиака ( $3 \Leftrightarrow 12$ ).

Существенную роль в этих процессах сжатия Рупы играло взаимодействие света:

$$4 \Leftrightarrow 10 \quad \text{и} \quad 10 : 4 = 2,5,$$

где 2,5 витка Кундалини - результат сжатия небесных волн в сгустки (табл.4.7).

Вместо **дальнего порядка** притяжения молекул газов возникает **ближний порядок** притяжения молекул - атомов в жидкости:

$$36 \cdot \left( \pm \int_0^1 \varphi d\varphi = \pm \frac{1}{2} \right) = \pm 18 \equiv \pm M_{H_2O}, \quad (4.74)$$

где пульсирующий Дзиан - Космос сжимает резонансную (-6·6 = -36) Кундалини до величины потенциал - эквивалента молекулярному весу воды.

В Едином Космосе газы сжимаются в жидкости (табл.4.7).

\*\*

**Четвёртый элемент** (табл.4.7).

Четвёртый элемент Единого Космоса описывает пульсирующую Кундалини, которая происходит в антирезонансном поле Арупа ÷ Рупа с суммарной продолжительностью процессов, равной  $\pm 7 = \pm(T_0 + \tau = 4+3)$ .

Поля с потенциалом, равным  $\pm 7$ , **взаимодействуя со средой, создают магнетизм** (табл.4.7).

$$\pm 7 \cdot (\lg \rho_1 \rho_2 \rho_3 \rho_4 \rho_5 = 2) = \pm 14 \equiv \sqrt{\mu\mu^*}, \quad (4.75)$$

а, пульсируя в среде, формируют цис-транс изомерию 3,5 витков Кундалини расширения:

$$\pm 7 \cdot \left( \mp \int_0^1 \varphi d\varphi = \mp \frac{1}{2} \right) = \mp 3,5. \quad (4.76)$$

Антирезонансное поле Арупы - Рупы возмущает Вселенную, являясь причиной её расширения с потенциалом 8, при  $-8 \Leftrightarrow 7 \Leftrightarrow 8$  (табл.4.7).

При антирезонансе в поле расширяющейся Вселенной возникает поверхностное, сжимающее Вселенную, электрическое поле (табл.4.7):

$$\pm 7 \Leftrightarrow \pm [8 - (-8) = 16] \equiv \pm \sqrt{qq^*}. \quad (4.77)$$

При резонансе в поле расширяющейся Вселенной Арупа - Рупа создаёт сгустки Тянь (табл.4.7).

$$\pm 7 \Leftrightarrow (-8) \cdot (+8) = -64 \equiv - \text{Тянь}. \quad (4.78)$$

Во Вселенной при формировании сгустка Тянь (4.78) происходит **переход жидкой фазы в твёрдую. Твердеют атомы в микромире, а в макромире возникает Звёздное Небо.**

**В поле с постоянной Вселенной, равной 1008, появление электрического поля формирует геномы:**

$$1008 = 16 \cdot 63 = \sqrt{qq^*} \cdot (63 - \text{геномы}). \quad (4.79)$$


Развитие периодической системы геномов описывается элементами великой Пирамиды:

$$1008 = \sqrt{qq^*} \cdot \int_{r=\sqrt{2}}^{L=8\sqrt{2}} \varphi d\varphi = 16 \cdot 63, \quad (4.80)$$

где:  $r = \sqrt{2}$  - радиус окружности, вписанной в основание великой Пирамиды,

$L = 8\sqrt{2}$  - рёбра Пирамиды, являющиеся векторами энергии самосуших волн.

Тибетская диаграмма Ян-Инь описывает сжатие тёмной волной, а Вселенную как Зародыш расширения - светлой окружностью в тёмной волне:



8. Расширяющаяся Вселенная  
 $(-8) \cdot (8) = -64$  - Космос самосуших волн.

(4.81)

Космический ветер самосуших волн дует только в одну сторону со знаком минус, то есть в сторону создания микро-макро сгустков Звёздного Неба.

\*\*

### Пятый элемент (табл.4.7).

Пятый элемент возникает на "поверхности" расширяющейся пульсирующей Вселенной (табл.4.7).

$$-9 \Leftrightarrow 8 \Leftrightarrow \pm 9; \quad 8 \Leftrightarrow \pm 18. \quad (4.82)$$

Эта "поверхность" с потенциалом 8 возникает там и тогда, где и когда соударение-сжатие сменяется расширением.

Смена сжатия на расширение в твёрдых телах формирует ядра твёрдых тел.

Веществом ядер в твёрдых телах является жидкая плазма (табл.4.7).

В жидкой плазме, как в любой жидкой среде при сжатии-расширении формируются спирали Кундалини:

<b>"Мировое Яйцо" с Пентаграммой - Вселенная</b>			
Кундалини	$6 = 3,5 + 2,5 = 3,5^2 - 2,5^2$		
Режимы	Сжатие	Максимум перехода	Расширение
Поле при $6 = 3,5 + 2,5$	$(T_o \omega_o / c = 2) \cdot 2,5 = 5$ Пятеричная связь	$5 \cdot 28 = 140$ Постоянная Чакр	$3,5 \cdot (8 = T_o c / \omega_o) = 28$ Гравитация
Поле при $6 = 3,5^2 - 2,5^2$	$(T_o \omega_o / c = 2) \cdot 2,5^2 = 12,5$ Спираль Зодиака в поле Дзиан: $12 + 0,5$	$12,5 \cdot 98 = 1225 = 25 \cdot 49$ Вселенная: мировое Яйцо с Пентаграммой	$3,5^2 \cdot (8 = T_o c / \omega_o) = 98 = 2 \cdot 7^2$ Оболочка во взаимодействиях.

(4.83)

Поле с потенциалом 25·49, где **49 - оболочка, а 25 - пентаграмма** (4.83), описано в **Книгах** великой Цивилизации как **Яйцо с Пентаграммой** ([3], Космогенезис, Станца V, пункты 4 и 5).

**Яйцо с Пентаграммой** - это микро-макро ячейка Единого Космоса. Ячейка, которую авторы Каббалы называли **Мировым Яйцом** ([12], Космология Каббалы).

Однако "**безнадёжная путаница обожествлённых принципов с аллегорическими фигурами, которые были созданы для преследования первых в ограниченных умах непосвящённых, привели к самому ужасному искажению духовных истин**" ([12], стр.483).

Вместо того, чтобы признать Реальность Тонких Энергий и **работать над законами причинно-следственных связей в энергетике мысли, памяти и воображения**, авторы Каббалы материализовали энергетические уровни 1, 2, 3 и 4 в поле света **Четырьмя Адамами**.

Тонкие Энергии из Реалий Космоса в умах последователей Каббалы, как посвященных, так и не очень, отошли в область **относительности**.

**Сефир Ецира** или **Книга Творения**, авторство которой пытались приписать Аврааму, и в которой с кодом 62500 букв на одну букву зашифровано Будущее Человечества, была искажена многократными переводами.

Закон, душа Закона, душа души Закона составили основу еврейской теологии и разделили иудейский социум. "Закону учили всех детей Израиля. **Мишна**, или душа Закона, открывалась раввинам или учителям. **Каббала** же, душа души Закона, тщательно скрывалась, и только высочайшие из посвященных были обладателями её секретов" ([12], стр.413).

Мировоззрение **высочайших посвященных Каббалы** явилось питательной средой сегодняшней **мировой Закулисы**, с которой упорно борются антиглоболисты.

Мировоззрение на уровне души Законов (Мишну), доступное **учителям и раввинам, стала базисом для учёных**, таких как лауреаты нобелевских премий А.Эйнштейн и В.Гинзбург, соответственно авторов теории относительности и теории кварков.

Однако, обе теории объединяет отсутствие у авторов понимания динамики процесса. Там, где имеют место резонансно-антирезонансные переходы, нобелевские кавалеры начинают говорить красивые слова и выдвигать не состоятельные парадигмы. Но всё значительно проще и грандиознее.

\*\*

Кундалини пульсирует в Космосе, формируя спираль Зодиака (4.83):

$$(T_0 \cdot \tau + \int_0^1 \varphi d\varphi = 12+0,5) \cdot (\rho_5^2 - \lg \rho_1 \rho_2 \rho_3 \rho_4 \rho_5 = 100 - 2) \equiv 25 \cdot 49, \quad (4.84)$$

создав **"Яйцо с Пентаграммой"**. Это резонанс.

Периодический переход к антирезонансу приводит к появлению разности квадратов потенциалов в Яйце с Пентаграммой (4.84). Начинается пульсация в антирезонансе:

Антирезонанс в Яйце с Пентаграммой				
От резонанса к антирезонансу	Суммы	Уровень II		Уровень III: разность
		разность	сумма	
$25 \cdot 49 \rightarrow \pm(7^2 - 5^2) = \pm 24$	$\pm(7^2 + 5^2) = \pm 74$	$\pm(74 - 24) = \pm 50$	$\pm(74 + 24) = \pm 98$	$\pm 0 \leftrightarrow 98 - 50 = 48 \equiv \dots$
$\longleftrightarrow$ Закон $\longrightarrow$		Айн СОФ		Третий Глаз,
		$\longleftarrow$ Душа Закона $\longrightarrow$		Душа души Законов.

В ходе антирезонансной пульсации ноль-потенциал возникает в полях Тонкой Энергии в тот момент, когда в поле Материи возникает потенциал 48, **кратный длине волны в  $4800\text{\AA}$ , разделяющей синюю и голубую области спектра света, например, в чакре Третий Глаз (4.85).**

Но самая посвященная Закулиса энергетику процесса (4.85) не понимает и живёт как **"ёжик в тумане"**.

\*\*

Поверхность Капли, в том числе Капли-Ядра, пульсирует, создавая в пятом элементе неравновесную систему  $8 \Leftrightarrow \pm 18$  (табл.4.7).

Эта пульсация расширяющейся Вселенной и воды формирует свет, ядерное вещество с плотностью  $\gamma_n = 72$ , субструктуру (9+0); причём, субструктура (9+0) формируется как отношение импульса света к периоду вращения точечного участка волны света (табл.4.7):

Пульсация в Мировом Яйце			
Субструктура	Вода	Свет	Плазма
$\nu = \frac{(-6)(6)}{T_0 = 4} = -(9+0)$	$-(9+0)+(-9+0) = -18 \equiv -\text{Mn}_2\text{O}$	$-18+(-18) = -36$	$-36+(-36) = -72.$

(4.86)

Пульсация в Мировом Яйце воздействует на водородные связи 1008 Единого Космоса, формируя гравитационно-электромагнитное равновесие:

Пульсация субструктуры (9+0) в водороде
$\frac{\text{Водород}}{\text{Субструктура}} = \frac{1008}{(9+0)} = 112 \equiv 7\sqrt{qq^*} = 8\sqrt{\mu\mu^*} = 4\sqrt{\rho\rho^*}$

(4.87)

Поскольку потенциал 1008 является постоянной Вселенной при её расширении в тьму самосущих волн:

$$\begin{matrix} 8 \\ \text{---} \\ \text{---} \\ 64 \end{matrix} \equiv \int_0^1 \varphi d\varphi \cdot \int_8^{64} \varphi d\varphi = 1008 = (9+0) \cdot 112 \equiv 28 \cdot 36 \equiv 42 \cdot 24 = \dots, \quad (4.88)$$

то Эволюция Живого в Едином Космосе уже на уровне субструктуры (9+0) будет протекать в полном согласовании с ритмами Вселенной.

Причём, **геномы** (потенциал 63) и **субструктура биоклетки (9+0)** будут связаны между собой Бессмертием Семи Вечностей ([3], Станца I):

Бессмертие живого в Семи Вечностях				
Субструктура	гравитация, магнетизм, электричество	Семь Вечностей	Электричество	Геномы
$\frac{1008}{(9+0)}$	$\equiv 112$	$\frac{112}{16} = 7 \equiv T_o + \tau$	$16$	$\equiv \frac{1008}{63}$

(4.88)

\*\*

Субструктура (9+0) не только возмущает окружающую среду водородных связей (4.88), но и сама поверхность субструктуры пульсирует по амплитуде:  $(9+0) \pm 1$ .

Пульсация поверхности субструктуры (9+0) по амплитуде вызывает в **пятом элементе Вселенной** колебания неравновесных систем (табл.4.7).

$$-p_5 \equiv -10 \Leftrightarrow 9 \Leftrightarrow 10 \equiv p_5; \quad 9 \Leftrightarrow \pm 20 \equiv \pm \frac{\Delta K}{\Delta J}. \quad (4.89)$$

На Пятом уровне, в пятом элементе, или пятой Расе (а это мы с вами), открывается путь к Красной Звезде, то есть в Теогенезис Будущего (4.89, [4]).

Этот путь в Будущее Теогенезиса проходит через ноль потенциал в "душе души Закона", который скрывает Каббала (4.85) от своих сограждан:



Преодоление Невесомости Каббалы	
(4.85)	Невесомость
$48 \Leftrightarrow 0$	$\equiv \lg(1 \equiv 10^{10} \cdot 10^{-10}) \equiv 10 + (-10) \equiv$ $5 \cdot (\lg \rho_1 \rho_2 \rho_3 \rho_4 \rho_5 - \lg \rho_1 \rho_2^3 \rho_3 \rho_4) = 5 \cdot (2 - 2)$
Логарифмические волны	но $\lg \frac{\rho_1 \rho_2 \rho_3 \rho_4 \rho_5}{\rho_1 \rho_2^3 \rho_3 \rho_4} = \lg \rho_2^{-2} \rho_5 = \lg 10^3 \equiv 3$
Результирующая пульсация	$48 \Leftrightarrow 0 \Leftrightarrow 3.$

(4.90)

Люди, сбросьте с себя **Каббалу**, и перед Вами во всей Красоте и Величии откроется Книга Творения, зашифрованная под сине-голубую чакру Третий Глаз (4.90)

Шифр Книги Творений
$(\tau : \lambda = 4800 \text{Å} \equiv 3 : 4800 = 625 \cdot 10^{-4}) \cdot 10^6 = 62500,$ где: $10^6$ - частоты появления Ауры в соответствии с эффектом Кирлиан.

(4.91)

Почитатели **закона**, не допущенные закулисой даже к душе **закона**, откройте Третий Глаз и Вы поймёте, что Вас дурачат на элементарной арифметике.

Например, возьмите за одну относительную единицу  $10^{20}$  фотонов, участвующих в трансформации солнечного света в люминесцентный, где  $10^{20}$  фотонов - предел насыщения люминофора по работам С.И.Вавилова.

В этом случае  $1 \equiv 10^{20}$  фотонов будет символизировать Монаду в динамике резонансно-антирезонансной пульсации:

Диссоциация Монады			
Поле	К Тонким Энергиям	равновесие	К элементарным зарядам
Потенциалы	$i^2 \equiv 10^{10} \Leftrightarrow 1 = 10^{20} = i^4 \Leftrightarrow i^{-2} = 10^{-10}$		

(4.92)

В этом случае пульсация фотонов (Монада, 4.92) совмещается с взаимодействием света  $\rho_5 = 10$ :

Взаимодействие пульсирующих фотонов в Арупе (10±1)					
Энергетические уровни	Триединство Монады фотонов			Сумма	По Шумерам [1]
	I	II	III		
Восходящие	10-1=9	$\Leftrightarrow 10 \Leftrightarrow$	10+1=11	30	Богиня Луны
Нисходящие	10+1=11	$\Leftrightarrow 10 \Leftrightarrow$	10-1=9	30	Бог Луны
Суммы	20	$\Leftrightarrow 20 \Leftrightarrow$	20	60	Система счисления Шумеров.
Три Тропы к Красной Звезде					

(4.93)

Триединство Монады фотонов во взаимодействиях образуют два энергетических потока: восходящий и нисходящий по трём стадиям Эволюции (4.93).

На каждой из трёх стадий суммарный потенциал равен 20 (4.93).

В спектре солнечного света потенциал, равный 20, определяет переход от жёлтой к красной областям спектра:  $20 \equiv (\Delta K = 1400\text{Å}) : (\Delta J = 70\text{Å})$ .

В **Теогенезисе Книги Дзиан** переход к Красной Звезде описывается как Эволюция Ману Мыслителя (нас с Вами) в Человека Воли и Йоги [4].

Сумма трёх переходов ( $20+20+20 = 60$ ), равная 60, соответствует потенциалу Кундалини во взаимодействиях света, связана с чакрой Третий Глаз [12], связана с системой счисления Шумеров, где за относительную единицу берётся 60, и распространяется по Пространству [1]:

$$1 \equiv 60 \Leftrightarrow 60^1 \Leftrightarrow 60^2 \Leftrightarrow 60^3 \Leftrightarrow 60^4. \quad (4.94)$$

\*\*

Система Счисления Шумеров определяла суммы восходящих и нисходящих потенциалов, равных 30, как потенциалы расширения и сжатия, соответственно обожествляя при расширении Женское Начало, а при сжатии - Мужское (Бог Луны).

О том, что **такой подход не был Случайностью**, говорит строительство Вавилонской Башни, вершина которой имеет потенциал 30 и покрыта серебром, чтобы указать на лунный цвет с длинами разностей волн, равными

$$\Delta\lambda = 2800\text{Å} \equiv (\Delta B - 800\text{Å}). \quad (4.95)$$

Потенциал вершины Вавилонской Башни описывает переход между сжатием и расширением полей Арупы:

Вершина Вавилонской Башни				(4.96)
Сжатие	Бог Луны	Богиня Луны	Расширение	
Потенциалы	$-(\tau^2\rho_5 = 30)$	$30 = \tau^2\rho_5$	Потенциалы.	

\*\*

В случае перехода из Арупы (4.93, 4.96) в Рупу возникает не три, а четыре энергетических уровня:

Взаимодействие пульсирующих фотонов в Рупе (10+1)						
Энергетические уровни	Цикл в Рупе (4.93)				Суммы	Сороковица и расширение
	1	2	3	4		
Нисходящие	10-1 = 9	10+0 = 10	10+1 = 11	10-0 = 10	-40	$\rho_5 \frac{c^3}{\omega_0^3} \int_1^0 \varphi d\varphi$
Восходящие	10+1 = 11	10-0 = 10	10-1 = 9	10+0 = 10	+40	$\rho_5 \frac{c^3}{\omega_0^3} \int_0^1 \varphi d\varphi$
Суммы	20	20	20	20	80	$\rho_5 \frac{c^3}{\omega_0^3} \cdot$

(4.97)

В поле Рупы формируются Сокровенная Сороковица - эквивалент Свабхават и расширение Вселенной.

Не умея понять ни логику Богов, ни реальность Бытия Рупы, ни Единый Космос, **синайские семиты просто отвергли науку Шумеров и периодичность точечного участка волны света** ( $T_0 = 4$ ), а вместо  $T_0 = 4$  ни к селу ни к городу **ввели Каббалу четырёх Адамов**.

Виртуальные Адамы помалкивают, а синайские семиты возгордились: "Мы - цари, мы - Боги" [3], Мы создатели трёх религий и двух Магий: Чёрной и Белой [1, 2], но не понимают сердешные, что создали Глупость во имя золотого тельца.

Антропогенезис Книги Дзиан описывает эту Глупость в Станцах X и XI [3]:

**40. Тогда Третья и Четвёртая возгордились: "Мы Цари, мы Боги..."**

**41 Они взяли жён, прекрасных видом. Жён от разума лишённых, узкоголовых. Они породили чудовищ, злобных демонов, самцов и самок, также Кхадю (Дакину) малого разума.**

**42. Они построили храмы для тела человеческого. Мужей и жён стали боготворить они. Тогда Третий Глаз перестал действовать.**

**43. Они построили огромные города. Из редких почв и металлов строили они, из огней изверженных, из белого камня гор и чёрного камня высекали они свои собственные изображения по размеру и подобию своему, и поклонялись им.**

**44. Огромные изображения воздвигали они, в девять Yatis высоты, в размер своих тел. Внутренние огни уничтожили землю их отцов. Вода угрожала Четвёртой.**

**45. Надвинулись Первые великие воды, Семь больших островов поглотили они.**

**46. Все благочестивые спасены были, все нечестивые истреблены. Вместе с ними большинство огромных животных, происшедших от пота Земли.**

**\*  
\*\***

Этим Станцам более 10 миллионов лет, но они сегодня актуальны как никогда, ибо узкоголовые и сегодня тянут Социум Земли в пучину Разврата.

## Глава 5

### Взаимодействия пяти элементов Вселенной

#### 5.1 Кундалини в теле Человека

Четыре иудейских Адама из Каббалы, как надуманная антиреальная парадигма, естественно строение Мирового Яйца не объясняли и не могли объяснить в принципе.

Но иудейская космология не сдавалась, и Каббала нашла себе прибежище в латинской магии.

В ход пошли **три мира ангельских алфавита Р.Лалла**, и **космология 30-ти миров Джорджа Ли** [2].

Магия Запада под влиянием ветхозаветной литературы, призвав на помощь четырём Адамам тридцать Ангелов, исходила из деления мира на три части: высший мир, небесный мир и земной мир [2].

По существу **иудаизм проводил политику присвоения с перефразировкой культурного наследия Шумеров**, оставленного ими нам в системе Счисления и структуре Вавилонской Башни.

С позиции физики шло объяснение законов взаимодействия света в Монаде (4.93).

\*\*

Формы обсуждения были трагичны.

О степени трагизма можно судить по истории создания Круга Универсума в "Откровениях", который делит Вселенную на три области: высшую, среднюю и низшую [6].

Ветхозаветные семиты даже не дали Христу договорить при земной Жизни. Ему пришлось диктовать "Откровения" уже с Небес после распятия и Вознесения [6].

Поэтому понимание **Сущности** энергетических процессов, о которых говорил Иисус Христос, является святым долгом почитающих Его. На Западе – как Иисуса Христа, на Востоке – как Шри Ганеша.

Рассмотрим Сущность этих процессов как результат формирования пяти элементов Вселенной (табл.4.7).

\*\*

Единый Космос связывает в микро-макро мирах **пятеричная связь** пяти уровней (табл.4.7).

Великая Цивилизация называла **уровень** словом **Лха**, а пятый уровень выделяла как **Пятеричный Лха** [3].

**Природа возникновения Пятеричного Лха всегда, везде и во всём** была связана с эффективностью взаимодействия света в пульсирующем Космосе:

Изомерия Пятеричного Лха		
Изомеры	Цис-	Транс-
Потенциалы	$\rho_5 \int_0^1 \varphi d\varphi = 10 \cdot \frac{1}{2} = 5$	$\rho_5 \int_1^0 \varphi d\varphi = 10 \cdot \left(-\frac{1}{2}\right) = -5$
Кундалини: сжатие и расширение	$\frac{5 \cdot (-5)}{5 - (-5)} = -2,5$	$1 - (-2,5) = 3,5.$

(5.1)

Наличие пятеричной связи влечёт за собой появление трёх с половиной витков Кундалини при расширении и двух с половиной витков при сжатии (5.1).

Кундалини формирует Спираль Зодиака. Спираль Зодиака сгущает энергию самосущих волн, создавая фазовые состояния субстанции Единого Космоса: свет - эфир, газы, жидкости, твёрдые тела и жидкая плазма [7].

Энергетика формирования фазовых состояний субстанции Единого Космоса дана в расшифрованных мною Русских Рунах [7].

Фазовые состояния в Едином Космосе возникают из периодической Системы Тонких Энергий, в которой имеют место быть 30 состояний в пяти группах и пяти периодах [7].

Магия всех времён и народов, понимая важность фазовых состояний, принимая элементы: воду, землю, огонь, тепло, холод и так далее и прочее, и прочее, вопрос о возникновении и взаимной трансформации фаз решить не смогла.

Поэтому понимание Русских Рун становится **Необходимостью в Колесе Эволюции.**

\*  
\*\*

Окончание перехода по пяти чётно-нечётным уровням связано с появлением **неравновесных суммарных систем:** чётный ряд приводит к колебаниям  $20 \Leftrightarrow \pm 50$ , а в нечётном ряду возникают колебания  $25 \Leftrightarrow \pm 60$  (табл.4.7).

**Великая Цивилизация отдала на изучение эту суммарную пульсирующую систему народам Востока:** в Тибете Число  $110 = 60+50 \Leftrightarrow 20+25$  обожествили - 110 Божеств в теле человека равно сумме 58 Божествам в голове, 42 Божествам в сердце и 10 Божествам в области шеи (табл.4.7).

Ожидалось, что мы, люди, сможем понять природу гравитации и антигравитации (табл.4.7):

$$\pm \frac{110}{5} = \pm 28 \equiv \frac{\pm (50 + 60)}{\pm (25 - 20)}. \quad (5.2)$$



Великая Цивилизация специально выделила проблему, **связанную со 110 Божествами, в Книгу Мёртвых** для того, чтоб **Идущие за НИМИ** (в том числе и мы с Вами, уважаемый Читатель) обратили внимание на сгущение **Эфира Бордо [10], преодоление жидкими средами организма** (кровью, лимфой и так далее) **сил притяжения Земли и пришли к пониманию природы антигравитации.**

\*\*

Антигравитации в нашем теле из 110 Божеств предшествует появление Кундалини, которая возникает при резонансе полей с потенциалами пяти уровней (табл.4.7):

<b>Появление Кундалини в теле человека</b>			(5.3)
Форма Кундалини	В гравитации	В антигравитации	
Потенциалы	$\frac{60 \cdot 50}{25 \cdot 20} = \frac{3000}{500} = 6$	$\frac{1}{6} = \frac{500}{3000} = \frac{25 \cdot 20}{60 \cdot 50}$	

Великая Цивилизация заставила Древний Египет обожествить Арупу, Рупу, Пятеричного Лха и Кундалини:

<b>Обожествлённые Числа Древнего Египта</b>					(5.4)
Боги	Изида	Озирис	Гор	Тот - Бог Смерти	
Числа	3	4	5	6.	

То обстоятельство, что потенциал, равный шести, на Востоке описывался как божественная Кундалини, а у Египтян как Бог биологической Смерти, говорит о переходе  $6 \Leftrightarrow 1/6$ , где  $1/6$  - это Кундалини в Эфире Бордо, то есть в поле антигравитации Жизни до и после Жизни.

\*\*

Антирезонансная пульсация Божеств нашего тела создаёт и гравитацию и антигравитацию:

Гравитация - антигравитация наших тел			
Поля	Гравитация		Антигравитация
Пульсация Божеств	$\frac{50+60}{25-20} = \frac{110}{5} = 28$	$\Leftrightarrow$	$\frac{1}{28} = \frac{5}{110} = \frac{25-20}{50+60}$

(5.5)

Под действием гравитации наши тела имеют массы - вес в биологической Жизни, а под действием антигравитации потоки жидких сред в наших телах (например, кровь) поднимаются снизу вверх.

Равновесие в гравитационных – антигравитационных полях наступает при увеличении гравитационного потенциала 28 до квадрата своей величины:

Фотон-фононы в полях гравитации			
Числа	Мысль - заряд	Мысль	Заряд
$28^2 \Leftrightarrow 1$	$\rho\rho^* \Leftrightarrow 1$	$(\rho^*)^2 \Leftrightarrow 1$ $28^2 \Leftrightarrow 10^{-40}$	$(\rho)^2 \Leftrightarrow 1$ $28^2 \Leftrightarrow 10^{40}$

(5.6)

В неравновесных системах вихрей фотонов мысль создаёт антигравитацию, а заряд - гравитацию.

Поэтому, живущие, мы уходим в Жизнь после Жизни на Крыльях наших Мыслей (5.6).

\*\*

Наши Мысли рождаются в нас и уходят к Вам, от каждого Эго к каждому "Я есть", на протяжении каждого из мгновений Жизни. Возникает резонансно - антирезонансный контур колебаний наших Эмоций и Мыслей (табл.5.1).

## Пульсация Божеств нашего тела

Режим	Резонанс	Антирезонанс
Неравновесные системы	$\frac{60 \cdot 50}{25 \cdot 20} \Leftrightarrow \frac{25/20}{60/50} \Leftrightarrow \frac{60/50}{25/20}$ $6 \Leftrightarrow 5/4,8 \Leftrightarrow 4,8/5$ $6 \cdot 4,8 \cdot 5 \Leftrightarrow 5^2 \Leftrightarrow 4,8^2$ $12^2 \Leftrightarrow 5^2 \Leftrightarrow 4,8^2$	$\frac{60-50}{25+20} \Leftrightarrow \frac{25-20}{60+50}$ $60^2 - 50^2 \Leftrightarrow 25^2 - 20^2$ $1100 \Leftrightarrow 225$ $875 \equiv 7 \cdot 5^3 \Leftrightarrow 0$
Кундалини расширения	$875/5^2 = 35 \Leftrightarrow 4,8^2 \Leftrightarrow 12^2$ $7 \cdot 5 \Leftrightarrow 7 \cdot 5^3 \Leftrightarrow 0.$	

Это поле указывает на то, что в **Семи Вечностях** ( $T_0 + \tau = 7$ ) Продолжительности в момент, когда Пятеричные связи распространяются по трём направлениям Пространства ( $5^3 \equiv 5^x \cdot 5^y \cdot 5^z$ ) в трёхмерном пространстве спираль расширения Кундалини увеличивается от 3,5 витков до 35 витков.

Изомерия Кундалини и Пространства:

$$7 \cdot 5 \Leftrightarrow 7 \cdot 5^{-(x+y+z=3)} \Leftrightarrow 0, \quad (5.7)$$

увеличивают спираль Кундалини до 70 витков, то есть вдвое.

Взаимодействия в удвоенной спирали Кундалини приводят к постоянной чакр, равной 140:

$$\pm[35 - (-35) = 70] \cdot (\lg \rho_1 \rho_2 \rho_3 \rho_4 \rho_5 = 2) = 140. \quad (5.8)$$

В полях чакр нашего организма возникают гравитационно-магнитные поля жизнеобеспечения:

$$5 = \frac{1^2 + 2^2 + 3^2 + 4^2 + 5^2 + 6^2 + 7^2}{1 + 2 + 3 + 4 + 5 + 6 + 7} = \frac{140}{28} \frac{\text{магнетизм}}{\text{гравитация}}. \quad (5.9)$$

Анализом динамики энергетических уровней (5.9), которые великая Цивилизация **назвала** Лха (уровни), начинается первая Станца Антропогенезиса Книги Дзиан [3]:

**1. Лха, вращающее Четвёртое, Слуга Лха Семи, тех, которые вращаются, устремляя свои Колесницы вокруг Владыки своего, Единого Ока нашего Мира...**

Частицы света в поле гравитации летят прямолинейно, но вращаются в магнитных полях, где начало вращению даёт точечный участок волны света с  $T_0 = 4$ , (**Четвёртое**), находящийся с семеричном ряду (5.9).

Таким образом происходит вращение магнитного поля и поступательное движение гравитационного (5.9):

$$\frac{140 \cdot \omega_0}{28 \cdot c} \equiv \frac{140 \cdot \pi/2}{28 \cdot \pi} \equiv \frac{70}{28} = 2,5, \quad (5.10)$$

где 2,5 - два с половиной витка Кундалини при сжатии.

**"Дыхание Его дало жизнь Семи. Оно дало Жизнь Первому" [3].**

Дыханием Единого Космоса является пульсация с потенциалом Дзиан, начало которым даёт отношение скоростей  $\omega_0$  и  $c$ :

Дзиан - Дыхание Космоса	
Жизнь Первому (Монаде)	Жизнь Семи
$\frac{1^2}{1} \left( \frac{\omega_0}{c} \equiv \int_0^1 \varphi d\varphi = \dots \frac{1}{2} \right)$	$\left( \frac{1^2 + 2^2 + 3^2 + 4^2 + 5^2 + 6^2 + 7^2}{1 + 2 + 3 + 4 + 5 + 6 + 7} \right) \times \left( \frac{c}{\omega_0} = \int_0^1 \varphi d\varphi = - \int_1^0 \varphi d\varphi \right).$

(5.11)

## 5.2 Философская машина: нищета выводов магии. Монада

Под влиянием еврейского подхода к решению вопросов в Магии Запада практикуется **философская машина на 729 оборотов** ([2], стр.188) и **6 элементов Лалла** ([2], стр.191).

Свою каббалистическую философию семиты внедряют с упорством и в сегодняшнюю науку. Для того, чтобы убедиться в этом достаточно сравнить элементы Лалла и теорию кварков лауреата Нобелевской премии 2005 года В.Гинзбурга:

Сравнение кварков и элементов Лалла			
Элементы Лалла ([2], стр.191)		Теория кварков	
Буквы	Добродетели	Кварки	Названия
В	Доброта	1	Красивый
С	Величие	2	Справедливый (5.12)
D	Вечность	3	Правдивый
E	Власть	4	Странный
F	Мудрость	5	Розовый
G	Воля	6	и так далее.

Однако, заимствование методологии из Магии при публичном осуждении метанауки как мракобесия, не мешает В.Гинзбургу **вести** борьбу с лженаукой, то есть с теми, кто думает не так, как он.

\*\*

Таблицы **729 оборотов философской машины** тоже появились в Магии Запада в десятом ключе - латыни по недомыслию авторов Каббалы ([2], стр.188).

Эти таблицы разбиты на девять групп по девять элементов. Каждый оборот обозначен буквами, как паспортом. Но, несмотря на нумерологию, осмыслить физические процессы магам не удалось не только **по Существо, но и с позиции философского осмысления всего сущего.**

Поэтому остановимся на сущности появления 729 оборотов спирали "философской машины".

"Философской машины в Природе нет, но она есть в больном воображении парадигм её авторов.

В то же время 729 оборотов связаны с Арупой ( $\tau = 3$ ) в степени - эквиваленте потенциалу Кундалини, то есть в шестой степени:

$$\boxed{729 \equiv 3^6 \equiv \tau^{(3,5+2,5)} \equiv (9+0)^\tau}, \quad (5.13)$$

и далее с субструктурой (9+0) живой биологической клетки (5.13).

Используя 729 оборотов спирали философской машины, маги не понимают взаимосвязи света как носителя Кундалини:

$$3^6 \equiv (m_c c + \varepsilon_o \cdot \mu_o \cdot c^2 + E_\lambda c)^{(3,5+2,5)}, \quad (5.14)$$

и субструктуры (9+0)<sup>3</sup> биоклетки как носителя генной наследственности (5.13).

Между Наследственностью и Кундалини возникает равновесие:

$$3^6 : (9+0)^3 = 1. \quad (5.15)$$

**Это равновесие фиксируется буквами и трудяги - маги, угадывая Вашу Судьбу, борются за Свою Власть над Вами. Борются в тёмную.**

**В любой энергетической корпускулярно-волновой среде  $\varphi$  всегда есть равновесные состояния.**

**Частота появления равновесных состояний зависит от масштаба  $d\varphi$ :** чем меньше,  $d\varphi$  тем больше равновесных состояний в среде  $\varphi$ .

Пульсация пяти уровней Единого Космоса (табл.4.7) с частотой Дзиан - дробь даёт возможность сопоставить потенциалы уровней и потенциалы среды  $\varphi$   $d\varphi$  (табл.5.2).

Таблица 5.2

**Излучатели пяти уровней Вселенной  
в возмущённых ими средах (табл.4.7)**

Периоды	Поля				
	Чётные		Нечётные		Суммы
	Излучатель	Среда	Излучатель	Среда	
1	$0 \rightleftharpoons \pm 1$	$\pm \int_0^1 \varphi d\varphi = \pm \frac{1}{2}$	$1 \rightleftharpoons \pm 2$	$\pm \int_1^2 \varphi d\varphi = \pm \frac{3}{2}$	$\pm 2$
2	$2 \rightleftharpoons \pm 3$	$\pm \int_2^3 \varphi d\varphi = \pm \frac{5}{2}$	$3 \rightleftharpoons \pm 4$	$\pm \int_3^4 \varphi d\varphi = \pm \frac{7}{2}$	$\pm 6$
3	$4 \rightleftharpoons \pm 5$	$\pm \int_4^5 \varphi d\varphi = \pm \frac{9}{2}$	$5 \rightleftharpoons \pm 6$	$\pm \int_5^6 \varphi d\varphi = \pm \frac{11}{2}$	$\pm 10$
4	$6 \rightleftharpoons \pm 7$	$\pm \int_6^7 \varphi d\varphi = \pm \frac{13}{2}$	$7 \rightleftharpoons \pm 8$	$\pm \int_7^8 \varphi d\varphi = \pm \frac{15}{2}$	$\pm 14$
5	$8 \rightleftharpoons \pm 9$	$\pm \int_8^9 \varphi d\varphi = \pm \frac{17}{2}$	$9 \rightleftharpoons \pm 10$	$\pm \int_9^{10} \varphi d\varphi = \pm \frac{19}{2}$	$\pm 18$
Суммы	$20 \rightleftharpoons \pm 25$	$\pm \frac{45}{2}$	$25 \rightleftharpoons \pm 30$	$\pm \frac{55}{2}$	$\pm 50$

Пятиуровневая инерционная система излучателей со средой между ними является **микро-макро Мировым Яйцом**, которое ищут семиты всех времён и народов.

По своей сущности **Мировое Яйцо** возникает там и тогда, где и когда возникают колебания излучателей в окружающей среде, то есть там, где происходят взаимодействия - соударения микро- или макрокомпонентов Вселенной.

**Мировой Яйцо** и в микро-, и в макромирах существует в динамическом равновесии, и, как любая равновесная система, является **Монадой**, потенциал которой при резонансе определяется **одной относительной единицей**.

Одна относительная единица живой Монады равна субструктуре (9+0) биологической клетки, то есть 1 относительная единица  $\equiv$  (9+0).

**729 оборотов философской машины [2] возникает при антирезонансе Арупы - Рупы ( $T_o + \tau = 7$ )** или как факториал шести уровней Кундалини плюс субструктура (9+0):

<b>Физическая сущность 729 оборотов философской машины [2]</b>			
Кундалини	Процесс	Субструктура	Сумма
Резонанс	$1 \cdot 2 \cdot 3 \cdot 4 \cdot 5 \cdot 6 \equiv 6! = 720$	+	(9+0)
Антирезонанс	$1+2+3+4+5+6 \equiv 21$	+	(9+0)
			729
			30.

(5.16)

Сложность использования философской машины Магии Запада состоит в том, что маги для подсчёта факториалов используют относительные единицы, а последнюю единицу (или первую) подставляют в форме субструктуры (9+0), как это показано в (5.16).

Такой подход непонятен ни самим магам, ни их читателям.

Поэтому я показываю Вам, уважаемые Читатели, как из Монады (табл.5.2) возникает субструктура (9+0).



\*  
\*\*

Антирезонансная пульсация излучателей в Монаде составит сумму (табл.5.2):

Антирезонансная пульсация излучателей Монады		
Уровни	Суммы	Магнетизм
Чётные	$20+[25 - (-25)] = \pm 70$	$70 : 3,5 = 20$
Нечётные	$25+[30 - (-30)] = \pm 85$	$85 : 2,5 = 34$
Суммы	$20+25+70+85 = \pm 200$	$34 - 20 = 14$
Лунный свет	$14 \cdot 200 = 2800\text{\AA}$ (табл.0.3).	

(5.17)

В поле Монады возникает магнетизм, и Монада начинает излучать лунный свет с разностью длин волн, равной  $2800\text{\AA}$  (табл.0.3).

\*  
\*\*

В момент излучения Монадой лунного света, эквивалентного гравитационному импульсу:

$$\frac{\rho_s^2 \cdot \rho^*}{10^{20}} \equiv \frac{10^2 \cdot 28 \cdot 10^{20}}{10^{20}} = 2800 \equiv 2800\text{\AA}, \quad (5.18)$$

во внутреннем поле Монады антирезонанс сменяется резонансом.

В условиях резонанса возникают гармонические колебания типа (5.17).

Мировое Яйцо становится Живым биологическим субъектом макро-микро Мира только при условии поступления **ТЕПЛА** через оболочку - скорлупу Яйца.

Процессы во внутреннем поле Монады			
Поля	Пятеричные связи	Оболочки	Митоз биоклетки
13 - тринадцатилунный Календарь.	$\frac{70 \cdot 85}{85 + 70} \Leftrightarrow \frac{85 - 70}{70/85}$	$\frac{70 \cdot 85}{85 + 70} \Leftrightarrow \frac{85 - 70}{85/70}$	$18 \cdot 13 \cdot (9+2) \equiv$
18 - молекулярный вес воды.	$70^2 + 70^2 - 85^2 \equiv 2575 \equiv$	$85^2 - 85^2 + 70^2 \equiv 70^2 \equiv$	$2574 \equiv$
(9+2) - субструктура при митозе	$\pm 5^4 \Leftrightarrow 0$	$49 \cdot \rho_5^2 \Leftrightarrow 0$	$\frac{5^4 - 1}{1 - 5^4} \Leftrightarrow$

(5.19)

Количество тепла будет регулироваться волной-частицей света в Арупе-Рупе [14]:

Тепло, поступающее в Рупу из Арупы Космоса		
1 калория $\equiv$ 4,1868 Джоуля [14]	$\frac{T_0}{\tau \cdot m_c} \equiv \frac{T_0}{\tau \cdot E_\lambda} \equiv$ $\frac{4}{3} \cdot \pi \equiv 4,188... \equiv$ 1 калория	$\frac{T_0}{\tau \cdot (m_c + E_\lambda)} =$ $\frac{4}{3} \cdot \pi \cdot \frac{1}{2} = \frac{1}{2} \cdot 4,188 ...$ 1/2 калории.

(5.20)

Поступающее в яйцо тепло сгущает жидкую фазу оплодотворённой женской яйцеклетки (**Зиготы**), состоящей из желтка (зародыш) и белка (питание для зародыша в утробный период) и рождается ... цыпленок, или новый субъект Живого.

\*\*

Мировое Яйцо обладает Подобием Свойств, то есть каждая микро-макро часть Мирового Яйца обладает в полном объёме теми же свойствами, что и целое Яйцо.

Подобие Свойств Мировому Яйцу относится и к планете Земля и к живому на Земле, включая микромиры геномов.

Процесс сгущения, вместе с тем, имеет постоянную, связанную с массой относительного покоя ( $m_0 = e = 2,7$ ).

Движение массы относительного покоя формирует постоянную сгущения или постоянную ( $1/\alpha$ ) тонкой структуры, равную и эквивалентную [14]:

<b>Постоянная Тонкой Структуры</b>
$1/\alpha = 137,0000021 \equiv \frac{5}{3} \pi \cdot e^\pi \equiv \frac{T_0 + 1}{T_0 - 1} e \cdot m_0^c. \quad (5.21)$

Формирование постоянной тонкой структуры (5.21) требует расхода тепла (5.20) в количестве:

<b>Сгущение Зиготы до потенциала оболочки</b>
$\frac{\text{постоянная } 1/\alpha}{\text{тепло от } (m_c + E_\lambda)} \equiv \frac{5/3 \cdot \pi \cdot e^\pi}{4/3 \cdot \pi \cdot 1/2} = 2,5 \cdot e^\pi \approx 49,2075, \quad (5.22)$ <p style="text-align: center;">при <math>e = 2,7</math> и <math>\pi \approx 3 \equiv \tau</math>.</p>

Сгущение Зиготы (оплодотворённая женская яйцеклетка) до потенциала плотности оболочки (5.22) приводит к тому, что ... цыплёнок разбивает скорлупу и появляется на Свет Божий.

Причём, частота рождения в биологической жизни связана с периодом вращения точечного участка волны света в Рупе ( $T_0 = 4$ ) и индуктивностью в чакре Третий Глаз ( $1/I = 10^4$  1/А):

<b>Шифр в Книге Творения</b>	
$\frac{\text{постоянная } 1/\alpha}{\text{тепло}}$	$\equiv \frac{5/3 \cdot \pi \cdot e^\pi}{(T_0 = 4) \cdot 4/3 \cdot \pi \cdot 1/2 \cdot \rho_2} \cdot 10^4 = 0,625 \cdot e^\pi \cdot 10^5 \quad (5.23)$ $\equiv 62500 \cdot e^\pi \equiv 62500 \cdot m_0^c.$

Полученный результат (5.23) несёт в себе шифр **Книги Творения**, в котором сакральный смысл связан с буквой, повторяющейся через 62500 букв.

Авторство Книги Творения пытаются приписать Аврааму, но Авраам не писал Книг, и корни Книги ведут нас к великой Цивилизации.

\*\*

Энергия пятеричной связи с потенциалами  $\pm 5^4 \Leftrightarrow 0$  и  $5^4 - 1 \Leftrightarrow 0 \Leftrightarrow 1 - 5^4$  (5.19), возникают изначально в энергетическом потоке самосуших волн, имея потенциал в Рупе ( $T_0 = 2$ ), равный:

$$\left( \frac{Sc \pi/4 \cdot Csc \pi/4}{Sin \pi/4 \cdot Cos \pi/4} = \sqrt{2} \right)^4 \equiv 4 \equiv T_0. \quad (5.24)$$

Самосушие волны в поле пятеричной связи являются источником формирования взаимодействий:

<b>Возникновение взаимодействий: самосушие волны в полях Пятеричной Связи</b>			
Короткодействие		Дальнодействие	
Слабые	Ядерные	Гравитационные	Электромагнитные
$\rho_2 = \frac{1}{5} \cdot \left( \frac{1}{\sqrt{2}} \right)^2 = 10^{-1}$	$\rho_4 = \left( \frac{1}{\rho_2} \right)^{2(T_0 + \tau)} = 10^{14}$	$\rho_1 = \rho_2^{2T_0 \tau} = 10^{-24}$	$\rho_3 = \left( \frac{1}{\rho_2} \right)^{T_0 \cdot \tau} = 10^{12}$

(5.25)

В короткодействии начинают пульсировать Продолжительности (по 13-ти лунному Календарю цивилизации Майя), а в дальнодействии – Спираль Зодиака (5.25):

13-ти лунный Календарь в Спиральных Зодиака			(5.26)
Компоненты	Календарь	Спираль Зодиака	
Взаимодействия	$\rho_2 \cdot \rho_4 = 10^{13}$	$\rightleftharpoons 10^{-12} = \rho_1 \cdot \rho_3$	
Логарифмические волны	$\lg 10^{13} = 13$	$\rightleftharpoons -12 = \lg 10^{-12}$	
Связь Продолжительностей	$13^2 - 12^2 = 5^2 = 4^2 + 3^2.$		

Эффект "течение времени" в Спирали Зодиака (5.26) связан с дальне-короткодействием взаимодействующих компонентов.

Но есть ещё эффект эндо-экзотермии.

\*\*

Гравитационные и слабые взаимодействия являются эндотермическими с потенциалом, равным

$$\rho_1 \cdot \rho_2 = 10^{-24} \cdot 10^{-1} = 10^{-25}.$$

Электромагнитные и ядерные взаимодействия создают экзотермию с максимальным потенциалом

$$\rho_3 \cdot \rho_4 = 10^{12} \cdot 10^{14} = 10^{26}.$$

В Едином Космосе эндо- и экзотермия взаимосвязаны взаимодействиями и логарифмическими волнами (5.27).

Столкнувшись с частотой пульсации логарифмических волн, совершенно не подозревая о наличии термии, ведущей к изомерии Единого Космоса (5.27), синайские семиты, как истинные мудрецы с горы Сион, быстро обожествили число 50 как Вездесущего Бога Айн СОФ [12].

Термия Единого Космоса			
Компоненты		Эндо-	Экзо- Свет
Взаимодействия		$\rho_1 \cdot \rho_2 = 10^{-25}$	$\Rightarrow 10^{26} = \rho_3 \cdot \rho_4$ $10^{26} \cdot 10^{-25} = 10 \equiv \rho_5$
Логарифмические волны		$\lg 10^{-25} = -25$	$\Rightarrow 26 = \lg 10^{26}$ $0 \Leftrightarrow \pm 51$
Изомерия Айн СОФ	Цис	$-25 = -24 - 1 \Leftrightarrow 26$ и $-1 = 26 + 24 = 50$	
	Транс	$26 = 25 + 1 \Leftrightarrow -25$ и $+1 = -25 - 25 = -50$ .	

(5.27)

Поскольку ветхозаветные Сущности своего же обожествлённого Числа Айн СОФ не поняли, то Иисус Христос подсказал, что **"в сети, закинутые с правого борта лодки", Апостолы выловят 153  $\equiv \tau \cdot 51$  крупные рыбы** (Евангелие от Иоанна, глава 21).

Однако слушатели не поняли, что речь шла о логарифмических волнах Арупы (5.27):

$$\tau \cdot (51 \Leftrightarrow 0) \equiv 151 \Leftrightarrow \tau \cdot \log_k 1. \quad (5.28)$$

Поэтому великой Цивилизации пришлось обращаться к грекам.

### 5.3 Бог Кронис: внутреннее поле Мирового Яйца

Греки обожествили Число 14455, назвав его **Кронисом - богом Времени** [15].

Однако в Реалиях Единого Космоса речь шла о внутреннем резонансно-антирезонансном поле света, через которое проходили волны  $\varphi d\varphi$ , эквивалентные  $\pm 45/2$  и  $\pm 55/2$  (табл.5.2, табл.5.3).

**Бог Кронис: внутреннее поле Мирового Яйца**

Режим		Внутреннее поле света	$\varphi d\varphi$ среды	Сумма	Примечание
Анти-резонанс	1	$1+2+3+4+5 = 15$	$+\frac{45}{2} \times \left( \frac{c}{\omega_0} = 2 \right)$	$= 60$	Свет
	2	$(1+2+3+4+5 = 15)^2$	$+\frac{55}{2} \times \left( \frac{c}{\omega_0} = 2 \right)$	$= 280$	Гравитация
Резонанс	3	$1 \cdot 2 \cdot 3 \cdot 4 \cdot 5 = 120$	$+ T_0 \cdot 45/2 = 90$	$= 210$	Полярные вихри
	4	$(1 \cdot 2 \cdot 3 \cdot 4 \cdot 5 = 120)^2$	$+\frac{55}{2} \times \left( \frac{c}{\omega_0} = 2 \right)$	$= 14455$	Бог Кронис
Магнетизм		$\frac{280}{60} = \frac{1}{3} \cdot 14 \Leftrightarrow 15 \cdot 14 \equiv 210,$ <p style="text-align: center;">где: <math>14 \equiv \sqrt{\mu\mu^*}</math></p>			
Геномы		$14 \Leftrightarrow 3 \cdot 15 \cdot 14 = 630 \equiv \rho_5 \cdot \int_{\sqrt{2}}^{8\sqrt{2}} \varphi d\varphi.$			

В поле Бога Крониса (табл.5.3) каждый потенциал фундаментален. Они касаются света, гравитации, полярных вихрей, геномов и так далее. Но и другого быть не могло, ибо мы рассматриваем Мировой Яйцо (табл.5.3).

\*\*

В любой Продолжительности, в том числе и Продолжительности - эквиваленте греческому богу Кронису (табл.5.3), Жизнь не останавливается и продолжает вить спирали Кундалини при расширении и сжатии, при анти-резонансе и резонансе (табл.5.3, табл.5.4).

В поле спиралей Кундалини - Зодиак **Кундалини** играет роль "**счётчика Времени**" по 13-ти лунному Календарю в масштабе Продолжительности, эквивалентной потенциалу бога времени Крониса (табл.5.4).

Таблица 5.4

**Спирали Кундалини в Продолжительности Крониса**

Спирали	Кундалини	Зодиака
Разность квадратов	$3,5^2 - 2,5^2 = 6$	$12^2 - 7^2 = 95$
Разность	$3,5 - 2,5 = 1$	$12 - 7 = 5$
Сумма	$3,5 + 2,5 = 6$	$12 + 7 = 19$
Суммы	$6 + 1 + 6 = 13$	$95 + 5 + 19 = 119$
Множитель	$\times 14455$	$\times 14455.$

Когда Кундалини достигает квадрата своих 13-ти относительных единиц, между Кундалини и спиралью Зодиака возникает разность потенциалов, эквивалентная 50, то есть еврейскому богу Айн СОФ:

<b>Кундалини - Зодиак: свечение над ядром</b>					(5.29)
Кронис	Кундалини	Зодиак	Айн СОФ	Результат	
14455	$\times (13^2$	$- 119$	$= 50)$	$= 722750.$	

Коллектив богов, в конечном счете, приводит к разности потенциалов, равной 722750 (табл.5.4 и 5.29).

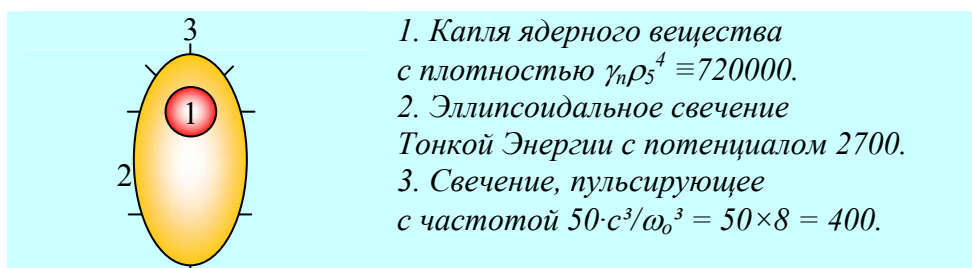


Рис.5.1 Энергетическая структура Свечения над Каплей - Ядром

По своей физической сущности разность потенциалов, равная 722750, описывает Свечение Тонкой Энергии над ядром в спирали Кундалини - Зодиак (рис.5.1).



В этом поле сама капля ядерного вещества имеет плотность, равную  $\gamma_n \rho_5^4 \equiv 72 \cdot 10^4$ . (5.30)

Тонко-энергетическое Свечение над каплей - ядром обладает потенциалом  $27 \cdot 10^2$ , (5.31)  
и это Свечение - Аура пульсирует с частотой 50 в режиме расширения, то есть имеет потенциал

$$50 \cdot (c^3/\omega_0^3 = 8) = 400 \equiv \text{Свабхават О.} \quad (5.32)$$

Сжатие Свечения над ядром в режиме резонанса приведёт к семеричности последовательных единичных переходов:

<b>Сердце Мирового Яйца</b>	(5.33)
$72 \cdot 10^4 \cdot 27 \cdot 10^2 \cdot 400 = (7777 - 1) \cdot 10^8$ .	

По существу, поле (5.33) - это сердце Мирового Яйца, заставляющее Живую Вселенную пульсировать с семеричной периодичностью.

Описанием сердца Вселенной (Мирового Яйца) великая Цивилизация начинает описание Космогенезиса Книги Дзиан ([3], Станца I):

**"1. Предвечная Матерь - Рождающая, сокрытая в своих Покровах, Вечно - Невидимых, ещё раз дремала в продолжении Семи Вечностей.**

**2. Времени не было, оно покоилось в Бесконечных Недрах Продолжительности.**

**3. Вселенского Разума не было, ибо не было Ах-хи, чтобы вместить Его".**

\*  
\*\*

**Ах-хи** - это "**оболочка**", зародыш которой появляется в антирезонансном режиме, то есть в поле с разностью потенциалов, равной (5.29):

$$722750 \equiv 2 \cdot 5^3 \cdot 7^2 \cdot 59, \quad (5.34)$$

где:  $7^2$  - оболочка,  
 $59$  - возникает как результат пульсации  $60 \pm 1$ .

В поле **Ах-хи** возникнет пульсация (5.34):

<b>Антирезонансная пульсация оболочки</b>
$2 \cdot 5^3 \cdot 7^2 \cdot \int_{58}^{60} \varphi d\varphi = 5^3 \cdot 7^2 \cdot 236 = 1445500.$

(5.35)

В ходе пульсации (5.35) потенциал бога Крониса увеличился в **100 раз**, а с учётом резонансной изомерии увеличение достигнет  $100^2 = 10^4$ .

### 5.4 Водородная бомба, ядерная зима, число Сатаны

Увеличение Продолжительности в форме "бога Крониса" в  $10^4$  раз имеет свои физические корни в том, что самосущие волны с потенциалами  $\sqrt{2}$  и  $1/\sqrt{2}$  проходят через поля с пятеричными связями (табл.5.5).

Таблица 5.5

#### Самосущие волны в пятеричных полях связи

Режимы	Процессы и потенциалы
Антирезонанс	$5 + (Sc \pi/4 \cdot Csc \pi/4 = 2) = 7 \equiv T_o + \tau$
Резонанс	$5^4 \times (Sc^4 \pi/4 \cdot Csc^4 \pi/4 = 2^4) = 10^4$
Резонанс	$5^{-4} \times (Sin^4 \pi/4 \cdot Cos^4 \pi/4 = 2^{-4}) = 10^{-4}.$

Полученные результаты (табл.5.5) проявляют себя во всём, в том числе в появлении биотока и индуктивности в живом, в том числе в чакре Третий Глаз, о котором я рассказывал ранее.

Повторяю пример. Импульс элементарного электрического заряда, летящий со скоростью 300 тыс. км/сек  $\equiv 3 \cdot 10^{18} \text{ \AA/сек}$ , обладает длиной волны  $\lambda = 4800 \text{ \AA}$ .

В этих условиях возникает биоток, равный:

$$I = \frac{qc}{\lambda} \equiv \frac{16 \cdot 10^{-20} \text{ A} \cdot c \cdot 3 \cdot 10^{18} \text{ \AA/сек}}{4800 \text{ \AA}} = 10^{-4} \text{ A}, \quad (5.36)$$

а индукция составит величину, обратную силе тока:

$$1/I = 10^4 \text{ 1/A}. \quad (5.37)$$

Возникнут колебания (табл.5.5):

$$10^4 \Leftrightarrow 10^{-4} \text{ и } 1 \Leftrightarrow (10^8)^{\pm 1}. \quad (5.38)$$

\*\*

Работа Чакр при медитации затрагивает импульсы элементарных электрических, магнитных и гравитационных зарядов и импульсы мысли, памяти и воображения.

В здоровом живом организме работа Чакр должна быть согласована с пульсацией Космоса (5.38). Рассогласование пульсации между чакрой и Космосом влечёт заболевание организма.

Постоянство оздоравливающей пульсации организм - Космос связано с постоянством биотока  $10^{-4} \text{ 1/A}$  и постоянством индукции  $10^4 \text{ 1/A}$  в гравитационных, магнитных и электрических полях. Причём, постоянство биотока достигается за счёт элементарных зарядов (5.36):

$$I = 10^{-4} \text{ A} \equiv qc/\lambda_5 \equiv \mu c/\lambda_3 \equiv \rho c/\lambda_1, \quad (5.39)$$

а постоянство индукции - за счёт Мысли, Памяти и Воображения:

$$1/I = 10^4 \text{ 1/A} \equiv q^*c/\lambda_6 \equiv \mu^*c/\lambda_4 \equiv \rho^*c/\lambda_2, \quad (5.40)$$

Нивелирующим фактором между биотоком и индукцией при постоянстве  $c = 3 \cdot 10^{18} \text{ Å/с}$  является длина волны в Пространстве.

Эти длины волн легко рассчитать по аналогии с (5.36) и затем табулировать:

<b>Биоток и ментальная энергия Мозга</b>					(5.41)
Длины волн	Гравитация	Магнетизм	Электричество	Постоянные	
Биоток, $\text{Å}$	$\lambda_1 = 84 \cdot 10^2$	$\lambda_3 = 42 \cdot 10^2$	$\lambda_5 = 48 \cdot 10^2$	$10^{-4} \text{ A}$	
Индуктивность, $\text{Å}$	$\lambda_2 = 84 \cdot 10^{-6}$	$\lambda_4 = 42 \cdot 10^{-6}$	$\lambda_6 = 48 \cdot 10^{-6}$	$10^4 \text{ A}$	
Примечание	Мысль	Память	Воображение	.	

\*\*

В полях ментальной энергии мозга, через который проходит биоток, возникает бесконечная множественность энергетических совмещений, перестановок, сочетаний (5.41).

В такой энергетической бесконечной множественности **пути Господа неисповедимы.**

Условия **неисповедимости путей** в полной мере относятся и нам, людям (5.44).

Эту **неисповедимость энергетических переходов**, зависящих от наших мыслей, памяти, воображения и эмоциональных порывов, мы трактуем как **Свободу Воли.**

**"На Волю, в пампасы!"**, - требуем мы и совершаем революции.

**"Назад, к подгузникам демократии"** - восклицают другие авторы перестроек и совершают криминальные контрреволюции.

**Жизнь бурлит - дела стоят.**

Ориентиром движения социума к Теогенезису могут стать экстремальные резонансные потенциалы биотока и индуктивности (5.41):

<b>Резонансный импульс живого мозга</b>	
Потенциалы волн (5.41)	$\frac{\lambda_1 \lambda_3 \lambda_5}{\lambda_2 \lambda_4 \lambda_6} \equiv \frac{\sqrt{2}^{14} \times 3^3 \times 7^2 \times 10^6}{\sqrt{2}^{14} \times 3^3 \times 7^2 \times 10^{-18}} \equiv 10^{24} = \rho_3^2. \quad (5.42)$

В поле мозга периодически возникают квадрат электромагнитных взаимодействий ( $\rho_3^2 = 10^{24}$ ) и гравитационные взаимодействия ( $\rho_1 = 10^{-24}$ ):

Электромагнетизм	Гравитация
$\frac{\lambda_1 \lambda_3 \lambda_5}{\lambda_2 \lambda_4 \lambda_6} = 10^{24} \equiv \rho_3^2$	$\rho_1 = 10^{-24} \equiv \frac{\lambda_2 \lambda_4 \lambda_6}{\lambda_1 \lambda_3 \lambda_5}$

(5.43)

В то же время в пульсирующем поле возникают энергетические предпосылки для создания **оболочек** ( $7^2 = 49$ ), **эллипсоида свечения** ( $3^3 = 27$ , рис.5.1), **массы относительного покоя** ( $3^3 = 27 \approx 10e \equiv \rho_5 m_0$ ), **магнетизма**, носителями которого являются самосущие волны:

$$\sqrt{2}^{14} \equiv (Sc \pi/4)^{\sqrt{\mu\mu^*}} \equiv \dots, \quad (5.44)$$

а логарифмические колебания полей с потенциалами  $10^6$  и  $10^{18}$  соответственно формируют Кундалини и воду с молекулярным весом 18:

$$\text{Кундалини} \equiv \lg 10^6 = 6 = 3,5 + 2,5 = 3,5^2 - 2,5^2. \quad (5.45)$$

$$\text{Вода} \equiv \lg 10^{18} = 18 \equiv \text{Mn}_2\text{O}. \quad (5.46)$$

Резонансное взаимодействие Кундалини с водой обеспечивает энергетику 108 реинкарнаций:

$$\text{Реинкарнации} \equiv 6 \cdot 18 = 108. \quad (5.47)$$

Антирезонансное взаимодействие Кундалини в жидких средах формирует Кундалини и Зодиак:

Сумма	Разность	Разность квадратов	Общая сумма
$6+18 = 24 = 4 \cdot 6 \equiv 2 \cdot 12$	$18 - 6 = 12 = 2 \cdot 6$	$18^2 - 6^2 = 288 = 2 \cdot 12^2 \equiv 8 \cdot 6^2$	$3 \cdot 12 + 2 \cdot 12^2 = 12(3+24) = 12 \cdot 27 \equiv 6 \cdot 54.$

(5.48)

**Приведённая пульсация Кундалини - Зодиака в воде (жидких средах) формирует Арупу:**

$$\text{Арупа} \equiv \frac{\text{Антирезонанс}}{\text{Резонанс}} \equiv \frac{12 \cdot 27}{6 \cdot 18} = 3 \equiv \tau. \quad (5.49)$$

Над серым веществом головного мозга возникает "облако" - Небеса Воображения (5.48):

Приведённая пульсация Кундалини - Зодиака				
От реинкарнации к Зодиаку	$\frac{12}{108} = 0,(1)$	$\frac{2 \cdot 12}{108} = 0,(2)$	$\frac{2 \cdot 12^2}{108} = 2,(6)$	$\frac{27 \cdot 12}{108} = 3 = \tau$
От Зодиака к реинкарнации	$\frac{108}{12} = 9$	$\frac{108}{2 \cdot 12} = 4,5$	$\frac{108}{2 \cdot 12^2} = 0,375$	$\frac{108}{27 \cdot 12} = 1/3$
Колебания	$\frac{108}{12} =$ $(9+0)$	$\frac{108}{27 \cdot 12} = \frac{9}{2} \Leftrightarrow \frac{2}{9} 12 \equiv \frac{2 \cdot 12^2}{108}$ $\pm(81 - 48 = 33) \Leftrightarrow 0$		$\frac{27 \cdot 12}{108} \equiv$ 3.

(5.50)

Важнейшим из множества колебательных контуров, которые возникают в поле (5.50), является появление живой субструктуры в поле Арупы:

$$\tau^2 \equiv 3^2 = (9+0) \Leftrightarrow 3 \equiv \tau. \quad (5.51)$$

**"Познай начало Жизни, чувствующей и вне Формы" [3].**

\*\*

**Астрология** возникла потому, что любой человек является приёмником-излучателем Тонкой Энергии.

Принимая-излучая Тонкие Энергии, люди **замети-ли, например, влияние Кундалини - Зодиака на физио-логию живых организмов.**

Однако, понимание структуры Спиралей Кундалини - Зодиака не было, и поэтому я показываю энергетику спиралей не только для астрологов (табл.5.6).

Таблица 5.6

**Энергетика искривления Матери - Тонкой Энергии  
во Вселенной Единого Космоса (5.41, 5.42).**

Энергия и её носители	<b>Материя:</b> биоток элементарных зарядов	<b>Тонкая Энергия:</b> импульсы мысли, памяти и воображения
Резонанс	$K_1 = \lambda_1 \cdot \lambda_3 \cdot \lambda_5 = 84 \cdot 42 \cdot 48 \cdot 10^6 \equiv 4^2 \cdot 7^2 \cdot 6^3 \cdot 10^6$	$K_2 = \lambda_2 \cdot \lambda_4 \cdot \lambda_6 = -84 \cdot 42 \cdot 48 \cdot 10^{-18} \equiv 4^2 \cdot 7^2 \cdot 6^3 \cdot 10^{-18}$
Антирезонанс	$K_3 = \lambda_1 \cdot \lambda_3 \cdot \lambda_5 = (84+42+48) \cdot 10^2 \equiv 29 \cdot 6 \cdot 10^2$	$K_4 = \lambda_2 \cdot \lambda_4 \cdot \lambda_6 = (84+42+48) \cdot 10^{-6} \equiv 29 \cdot 6 \cdot 10^{-6}$
Приведённая пульсация	$\frac{K_1}{K_3} = \frac{4^2 \cdot 7^2 \cdot 6^2}{29} 10^6 \Leftrightarrow \frac{29}{4^2 \cdot 7^2 \cdot 6^2} 10^{12} = \frac{K_4}{K_2}$	
Основа колебаний	$4^2 \cdot 7^2 \cdot 6^2 \Leftrightarrow 29 \cdot 10^3$ $4^2 \cdot 7^2 \cdot 6^2 - 29 \cdot 10^3 = -776 \Leftrightarrow 0 \Leftrightarrow 776.$	

Колебания в своей основе приводят к появлению постоянной Вселенной, равной 1008 (табл.5.6):

$$(4 \cdot 7 = 28)^2 \cdot 36 \equiv 28 \cdot 1008 \Leftrightarrow 29 \cdot 10^3, \quad (5.52)$$

и в этом поле возникает водород с атомным весом  $A_H = 1,008$  (5.52):

$$28 \cdot 1008 / 10^3 \equiv 28 \cdot 1,008 \Leftrightarrow 29. \quad (5.53)$$

\*  
\*\*

Водород в гравитации сгустков Единого Космоса пульсирует. Пульсирует и само гравитационное поле. Гравитационное поле пульсирует в режиме:

$$28 \cdot 1,008 \Leftrightarrow 29 \pm 1. \quad (5.54)$$

При  $29 - 1 = 28$  возникает водород в равновесной системе:

$$\left| \begin{array}{l} 28 \cdot 1,008 \Leftrightarrow 29 - 1 = 28 \\ 1,008 \Leftrightarrow 1. \end{array} \right| \quad (5.55)$$

При антирезонансе в поле водорода возникает масса света  $m_c^* = 0,008$ :

$$m_c^* = 1,008 - 1 = 0,008 \Leftrightarrow 0. \quad (5.56)$$

Антирезонанс расщепляет водород:

$$28 \cdot (1 + 0,008) \Leftrightarrow 29 + 1 = 30. \quad (5.57)$$

Возникает холодный лунный свет:

$$28 \Leftrightarrow 30 - (28 \cdot 0,008 = 0,224) \equiv 29,776, \quad (5.58)$$

имеющий разность потенциалов, равную

$$29,776 - 28 = 1,776 \Leftrightarrow 0 \Leftrightarrow -1,776. \quad (5.59)$$



В поле с разностью потенциалов  $\pm 1,776$  происходит эндотермическое расширение света с образованием массы  $m_c^* = 0,008$ , и экзотермическое сжатие до массы  $m_c^{**} = 0,008$ .

Относительно масс света в поле  $\pm 1,776$  возникает пульсация:

<b>Число сгустков света в лунной гравитации</b>				(5.60)
Режим	Расширение	Сжатие	Разность	
Потенциалы	$\frac{1,776}{0,008} = 222$	$\frac{-1,776}{0,002} = 888$	$888 - 222 = 666$	
Отрицательные последствия	Ядерная зима	Водородная бомба	Число Сатаны.	

Однако, ядерная зима, водородная бомба и Число Сатаны - это для любителей Чёрной Магии, а также для безответственных учёных и алчной элиты общества потребления.

Космос таков, какой он есть. Он не плохой, и он не хороший. Но, не понимая законы Единого Космоса, тянем на себя самое дурное (5.60).

\*\*

Объективность Космоса проявляет себя во всём, в том числе в пяти элементах и пяти Продвижениях (5.61).

Продвижение в область Тонких Энергий, в область ноль - потенциалов (5.61), приводит к появлению неравновесной системы типа семнадцать единиц - 17 нулей (5.61) плюс (5.62).

Продвижение в область ноль - потенциалов					
Стадии	1	2	3	4	5
Процесс	Начало	Резонанс	Анти-резонанс	Резонанс	Окончание
Колебания		$222/888=$ $222 \rightleftharpoons 1/4 \rightleftharpoons$	$222-888=$ $666 \rightleftharpoons$	$888/222=$ $4 \rightleftharpoons$	$888$
Формирование нулей	1	$222 \rightleftharpoons 1/4 \rightleftharpoons$	$0 \rightleftharpoons$	$4 \rightleftharpoons$	$888$ $\frac{666}{222}$
	2	$\frac{222}{222} \rightleftharpoons 0 \rightleftharpoons$	$1/4 \rightleftharpoons 0 \rightleftharpoons$	$4 \rightleftharpoons$	$0$
	3	$0 \rightleftharpoons$	$1 \rightleftharpoons 0 \rightleftharpoons$	$16 \rightleftharpoons$	$0$
	4	$0 \rightleftharpoons$	$0 \rightleftharpoons 0 \rightleftharpoons$	$16-1=15 \rightleftharpoons$	$0$
	5	$0$	$1/16$	$0$	$0.$

(5.61)

Истоки изначальной пульсации		
Резонанс	Электромагнетизм	
$16 \Leftrightarrow 15 \Leftrightarrow 1/16$	$16^2 \Leftrightarrow 15 \cdot 16 - 1 \Leftrightarrow 0$	$16^2 + 1 - 15 \cdot 16 \Leftrightarrow 0 \Leftrightarrow 0$
$16^2 \Leftrightarrow 15 \cdot 16 \Leftrightarrow 1$	$16^2 + 1 \Leftrightarrow 15 \cdot 16 \Leftrightarrow 0$	$17 \Leftrightarrow 0 \Leftrightarrow 0.$

(5.62)

В энергетической системе 17 единиц, 17 нулей, при  $0 = n - n$  возникнут колебания.

$$\left| \begin{array}{l} 17 \times 1 \Leftrightarrow 17 \times (0 = n - n) \\ 17 \Leftrightarrow 17n - 17n \text{ и } 17 \cdot (1+n) \Leftrightarrow 17n. \end{array} \right| \quad (5.63)$$

При равенстве  $n$  потенциалу Зодиака в поле  $(n+1)$  возникнет 13-ти лунный календарь:

$$n = 12 \equiv T_0 + \tau \quad \text{и} \quad n+1 = 12+1 = 13. \quad (5.64)$$

При равенстве  $n$  семи, появится связь с расширением Вселенной:

$$n = 7 \equiv T_0 + \tau \quad \text{и} \quad n+1 = 8 \equiv c^3/\omega_0^3. \quad (5.65)$$

Возникнет резонансно - антирезонансное равновесие в поле пульсирующего Зодиака:

			(5.66)
Форма поля	Зодиак	13-ти лунная Продолжительность	
Равновесие	$\frac{17 \cdot T_0 \cdot \tau = 17 \cdot 12}{17(T_0 + \tau) = 17 \cdot 7}$ $17 \cdot 5 \quad \Leftrightarrow$	$\frac{17 \cdot 8 \equiv 17 \cdot (c/\omega_0)^3}{17 \cdot 13 \equiv (T_0 \cdot \tau + 1) \cdot 17}$ $-17 \cdot 5.$	

Во Вселенной возникают экстремальные области волн  $+1 \Leftrightarrow -1$ , а в поле (5.66) - колебания  $\pm 2 \cdot 17 \cdot 5 = \pm 170 \Leftrightarrow 0$ .

## Глава 6

### Спираль Зодиака

### и формирование Человека

#### 6.1 Семнадцать мгновений живого сгустка

Неравновесная колебательная система 17 единиц - 17 ноль-потенциалов (5.64, 5.65), то есть

$$17 \cdot (1 \Leftrightarrow 0), \quad (6.1)$$

является всеобъемлющей.

Универсальность неравновесия (6.1) состоит в том, что единица является либо разностью соседних потенциалов, либо отношением равных между собой потенциалов, а ноль-потенциал возникает как сумма цис-транс изомеров (табл.6.1).

Таблица 6.1

**Энергетика (1⇔0) Зародыша Сгустка (6.1)**

Режим поля	Равновесие	Изомерия		Среда - Дзиан
		Цис-	Транс-	
Потенциалы	$1 = (n+1) - n$	+n	-n	$\int_0^1 \varphi d\varphi = \frac{1}{2}$
	$-1 = n/(-n)$	$0 = n + (-n)$		
	$1 - (-1) = 2 \Leftrightarrow 0 \Leftrightarrow 1 + (-1)$	$2n = n - (-n)$		$\int_1^0 \varphi d\varphi = -\frac{1}{2}$
Колебания в Рупе	$\int_0^2 \varphi d\varphi - \int_2^0 \varphi d\varphi$ 4 ↔ 0	$2n - 2n = 0$ 0 ↔ 0		$\int_0^1 \varphi d\varphi - \int_1^0 \varphi d\varphi$ ±1.

Удвоение потенциала использовали Строители великой Пирамиды: **"Они были великолепными геодезистами и знали, что на диагонали квадрата можно построить новый квадрат, площадь которого будет вдвое больше первого"** [15].

Так и строили, отражая тем самым, во-первых, разность изомеров  $[n - (-n) = 2n]$  и, во-вторых, соотношение источника колебаний и возмущённой этими колебаниями среды:

<b>Среда, возмущённая колебаниями</b>	
Источник колебаний	Среда
$n$	$\int_{n-1}^{n+1} \varphi \, d\varphi = 2n .$

(6.2)

Великая Цивилизация не только строила Пирамиды, но и **объясняла с помощью Дзиан - дробного потенциала среды (табл.6.1), происхождение Космо-, Антропо- и Теогенезиса** [3, 4].

\*  
\*\*

Число 17 в поле (6.1) делится только само на себя. Это значит, что **в поле с потенциалом 17 резонансного расщепления (деления) происходить не будет.**

В поле с потенциалом 17 будет протекать антирезонансное расщепление, которое можно описать, связав его с суммой арифметической прогрессии (6.3).

В антирезонансном поле расщепления потенциала 17 возмущённая среда в пульсирующем Космосе создаёт потенциал - эквивалент древнегреческому Богу Времени Кронису ([5], 6.3).

Антирезонансное расщепление Числа 17					
Уровни		Чётные	Нечётные	Суммы	Разности
Бог Кронис: $\int_0^{17} \varphi d\varphi$ $+ 0,05 \equiv$ 144,55 [5]	1	$17 \cdot (1 \Leftrightarrow 0) - 0$	$16 \cdot (1 \Leftrightarrow 0) - 1$	-1	0
	2	$15 \cdot (1 \Leftrightarrow 0) - 2$	$14 \cdot (1 \Leftrightarrow 0) - 3$	-5	-4
	3	$13 \cdot (1 \Leftrightarrow 0) - 4$	$12 \cdot (1 \Leftrightarrow 0) - 5$	-9	-4
	4	$11 \cdot (1 \Leftrightarrow 0) - 6$	$10 \cdot (1 \Leftrightarrow 0) - 7$	-13	-4
	5	$9 \cdot (1 \Leftrightarrow 0) - 8$	$8 \cdot (1 \Leftrightarrow 0) - 9$	-17	-4
	6	$7 \cdot (1 \Leftrightarrow 0) - 10$	$6 \cdot (1 \Leftrightarrow 0) - 11$	-21	-4
	7	$5 \cdot (1 \Leftrightarrow 0) - 12$	$4 \cdot (1 \Leftrightarrow 0) - 13$	-25	-4
	8	$3 \cdot (1 \Leftrightarrow 0) - 14$	$2 \cdot (1 \Leftrightarrow 0) - 15$	-29	-4
	9	$1 \cdot (1 \Leftrightarrow 0) - 16$	$0 \cdot (1 \Leftrightarrow 0) - 17$	-33	-4
Суммы		-72	-81	$\begin{array}{r} -153 \\ -153 \end{array}$	-32.

(6.3)

$$\begin{aligned} \text{Бог Кронис} &\equiv \rho_5^2 \int_0^{17} \varphi d\varphi + \int_0^1 \varphi d\varphi \equiv 14455 \\ &\rho_5^2 \int_0^{17} \varphi d\varphi - \int_1^0 \varphi d\varphi \equiv 14455 \end{aligned}$$

(6.4)

Но религиозно-математическое обучение нашей современной цивилизации внедрением в Сознание Бога Времени не кончается, и мы смогли определить сумму арифметической прогрессии 17 арифметических уровней (6.3):

$$p_1 \equiv \frac{1+17}{2} \cdot 17 = 153.$$

(6.5)

А теперь, верующие - неверующие мои Читатели, загляните в 21 главу Евангелия от Иоанна и прочитайте пункты 6 и 11 [9]:

**"6. Он же сказал им: закиньте сеть по правую сторону лодки и поймаете. Они закинули, и уже не могли вытащить СЕТИ от множества рыбы".**

**"11. Симон Пётр пошёл и вытащил на землю сеть, наполненную большими рыбами, которых было сто пятьдесят три; и при таком множестве не порвалась сеть".**

Отметим, что лодка находилась в 200 локтях от берега, а явление Христа Апостолам было третьим после Воскрешения.

Это значит, что Иисус описывал вихрь правизны в Арупе Взаимодействий:

<b>Энергетический вихрь правизны (Евангелие от Иоанна)</b>	
153 рыбы:	Вихрь правизны сжатия
$153 \equiv \tau \cdot \lg \frac{\rho_3 \rho_4 \rho_5 \rho_2}{\rho_1} \equiv$ $3 \cdot \lg 10^{51} \equiv 3 \cdot 51$	$153 \cdot 200 \text{ локтей } (\omega_0/c = 1/2)$ $15300 \equiv 17 \cdot \tau^2 \cdot \rho_5^2.$

(6.6)

**Полученные результаты (6.4, 6.5) говорят о том, что, обожествляя Числа, великая Цивилизация добивалась от Последователей Её Научного Мирозозрения ясного понимания сущности антирезонансного расщепления потенциала 17 (6.2).**

Для того чтобы выжить в этом бушующем, бушующем, бушующем мире нам надо понять природу чётно - нечётных колебаний (6.3).

**Поняв природу чётно - нечётных колебаний 17-ти мгновений Единого Космоса, наша цивилизация сможет создать научно-технический прогресс, достойный великой Цивилизации, какой станем МЫ.**

\*  
\*\*

Чётные колебания Семнадцати приводят к формированию ядерного вещества жидкой лазерной плазмы с удельной энергетической плотностью, равной  $-72 \equiv \gamma_n$ , а нечётные формируют Арупу с потенциалом  $-81 \equiv -3^4 \equiv -\tau^{T_0}$ .

Возникают колебания Арупы в ядерном веществе жидкой плазмы, которые увеличивают потенциалы Арупы и Рупы до квадратов первоначальной величины:

110 Божеств Тибета в Рупе нашего тела		
Поля	Арупа	Плазма
Колебания неравно- весных систем	$\frac{81 \cdot 72}{(-81) - (-72)} \Leftrightarrow \frac{(-81) - (-72)}{81/72}$ $81^2 = 9^4 \Leftrightarrow 81^2 - 72^2$ $9^4 \Leftrightarrow 9^2 \cdot 17$	$\frac{81 \cdot 72}{(-81) - (-72)} \Leftrightarrow \frac{(-81) + (-72)}{72/81}$ $72^2 \Leftrightarrow 81^2 - 72^2$ $8^2 \cdot 9^2 \Leftrightarrow 9^2 \cdot 17$
Янь в плазме	$9^2 \Leftrightarrow 17$	$\pm 64 \Leftrightarrow 17$
Янь в Арупе	$\pm 64 \Leftrightarrow 0$	$\pm 47 \Leftrightarrow 0$
Общее поле	$64 + 47 \equiv 111 \Leftrightarrow 0 \Leftrightarrow 17 = 64 - 47$	
Божества	$110 \Leftrightarrow 0 \Leftrightarrow 16 \equiv T_0^2$	

(6.7)

Появление 110 Божеств в Рупе нашего тела при биологической Жизни сопровождается возникновением в теле электрических полей (6.7):

Рождение наших тел в Жизнь		
Божества	Канал Космоса	Электрическое поле
110	$\Leftrightarrow 0$	$\Leftrightarrow 16 \equiv 16^2/16 \equiv qq^*/T_0^2$

(6.8)



\*\*

**При нашем рождении в Жизни до Жизни** (это для Ману-Мыслителя или вечной Жизни на Красной Звезде Сынов людей Воли и Йоги, о которых говорит Теогенезис [4]), энергетика возникновения Живого меняется, так как рождение протекает не в Рупе (6.8), а в Арупе ( $\tau = 3$ ):

<b>Наше рождение в Жизни до Жизни</b>		
Реинкарнации	Эфир Бордо	Красная Звезда
$111 - (\tau = 3) = 108$	$\Leftrightarrow 0 \Leftrightarrow$	$20 \equiv 17 + (\tau = 3).$

(6.9)

В этом поле (6.9) потенциал, равный 20, является эквивалентом:

$$20 \equiv \frac{\Delta K = 1400 \overset{o}{A}}{\Delta \mathcal{J} = 70 \overset{o}{A}} \equiv \rho_5 \cdot \lg \rho_1 \rho_2 \rho_3 \rho_4 \rho_5, \quad (6.10)$$

жёлто-красного перехода в спектре света, и взаимодействия света с логарифмическими волнами всех пяти, существующих в Природе взаимодействий.

\*\*

В поле антирезонансного расщепления числа 17 сумма первых четырёх уровней равна лунному числу 28 (6.3):

$$(\pm 0) - 1 + (-5) + (-9) + (-13) = -28. \quad (6.11)$$

В Книге Дзиан **первые четыре уровня в солнечно-лунных полях называют формировщиками** [3].

Я добавлю: **формировщики komponуют поле гравитации (6.11) с периодичностью 13-ти лунного Календаря, данного цивилизации Майи:**

$$(-28) \cdot (-13) = 364 + (\pm 0) \cdot (-13), \quad (6.12)$$

где в году 364 дня плюс день вне времени с потенциалом  $(\pm 0) \cdot 13$ .

\*\*

В поле времени "**формовщиков**" носителями энергии являются солнечно-лунные изомерические ряды, которые дают основу сокровенной сороковице, Свабхават О, и четырём неделям в месяце по 13-ти лунному Календарю (6.3):

Солнечно-лунная компоновка энергии, $T_0 = 4$						
Изомерия	Ряды	Потенциалы				Суммы
Цис-	Лунный	1	2	3	4	10
	Солнечный	4	3	2	1	10
Транс-	Лунный	1	2	3	4	10
	Солнечный	4	3	2	1	10
Суммы		10	10	10	10	40

(6.13)

Компоновка (формовка) энергетических полей будет ограничиваться расширением  $c^3/\omega_0^3 = 8$  и образованием электрического поля сжатия (6.13):

$$\frac{40 \cdot 40}{40 + 40} = \frac{1600}{80} = 20 \equiv \frac{\Delta K}{\Delta J} \equiv \frac{\rho_s^2 \sqrt{q q^*}}{c^3 \rho_s} \cdot \omega_0^3. \quad (6.14)$$

Из этой зависимости (6.14) вытекает, что цвет недель в 13-и лунном Календаре Майи взят не произвольно, а в соответствии со спектром света.

\*\*

Диктуя Иоанну Богослову **Круг Универсума в Откровениях**, Иисус Христос, по существу, говорил о формовщиках 1, 2, 3 и 4 (6.13).

Иисус предполагал, что теософы цивилизации Запада поймут структуру **Дня вне Времени**, а затем и проблему генной наследственности.

Однако, **унесённые ветром** погони за капиталом и власти, служители Церкви и почитатели Магии пошли путём не Раздумий, а Догм и Мистерий.

Поэтому, уважаемый Читатель, нам приходится начинать сызнова.

\*\*

На пятом, шестом и седьмом уровнях расщепления Числа 17 (6.3) возникают геномы, максимальный потенциал которых равен 63 (6.3):

<b>Геномы в 13-ти лунном Календаре</b>						(6.15)
Уровни	5	6	7	Сумма	Разность	
Потенциалы	-17	-21	-25	-63	<b>-17-25-(-21) = 13.</b>	

Геномы пульсируют в ритмике 13-ти лунного календаря (6.15) и на восьмом уровне создают потенциал - эквивалент потенциалу полушария головного мозга, то есть 29.

Сам головной мозг - эквивалент 58 Божествам, в левом и правом полушариях возникает в результате колебаний типа:

<b>Возникновение головного мозга</b>	(6.16)
$63 + 29 \Leftrightarrow 63 - 29,$ $58 \Leftrightarrow 0 \Leftrightarrow -58.$	

\*  
\*\*

Эволюция по маршруту к Теогенезису происходит с нами потому, что колебание нашей биоклетки по биочасам 13-ти лунного Календаря и нашего мозга идеально совпадают с пульсацией Единого Космоса, давая электрическое поле (Воображение) в небесах Цинь (6.3).

Эволюция на волне самосуших Небес				(6.17)
Поля	Небеса Цинь	Электричество	Взаимодействия	
Потенциалы	$\begin{array}{r} 33+29 = 62 \\ - \\ 17+13 = 30 \end{array}$	$\begin{array}{r} 33 - 29 = 4 \\ \times \\ 17 - 13 = 4 \end{array}$	$\begin{array}{r} 32 : 16 = \\ 2 \equiv \end{array}$	
Результат	32	$16 \equiv \sqrt{qq}^*$	$\lg \rho_1 \rho_2 \rho_3 \rho_4 \rho_5$	
Самосушие волны	$\sqrt{2}^{-10}$	$\sqrt{2}^8$	$\sqrt{2}^2$	

Появление в Эфире Бордо света самосуших волн искривляет энергетическое поле *Цинь*:

$$32 \cdot (m_c + E_\lambda) = 32 \frac{2}{\pi} = 64 \frac{1}{\pi} \equiv 64 m_c. \quad (6.18)$$

Возникают микро-макро сгустки. Формируются Атомы и Планеты. Зажигаются Звёзды и слабые **искры НАШИХ ЖИЗНЕЙ**.

\*  
\*\*

После того, как **формировщики** укомплектуют поле, эпюрой которого является Круг Универсум [5] или система (6.13), начинается заполнение пятого, шестого, седьмого и восьмого уровней (6.3, табл.6.2).

Таблица 6.2

**13-ти лунное поле в интервале  
от пятеричной связи до потенциала расширения**

Изомерия	Группы				Суммы	В поле Дзиан
	V	VI	VII	VIII		
Цис	5	6	7	8	26	208=26·8
	8	7	6	5	26	208=26·8
Транс	5	6	7	8	26	208=26·8
	8	7	6	5	26	208=26·8
Суммы	26	26	26	26	104	4·208=832
В поле Дзиан	$13 \equiv 104 \cdot (\omega_0/c = 1/2)^3 = 104/8$					расши- рение сжатие.

При сжатии уровней биочасы отсчитывают череду 13-ти лунных Продолжительностей по трёхмерному пространству, так как (табл.6.2)

$$(\omega_0/c)^{3=x+y+z=\tau} \equiv 2^{-3} \equiv 1/8. \quad (6.19)$$

Расширение приводит к появлению потенциала, равного (табл.6.2):

$$104 \cdot (c/\omega_0 = 2)^3 = 104 \cdot 8 = 64 \cdot 13. \quad (6.20)$$

В V-VIII группах периодических систем появляются сгустки Тянь, пульсирующие по 13-ти лунному Календарю.

Появляется поле сжатия-расширения, пульсирующее по 13-ти лунному Календарю.

Пульсация сгустка Тянь и геномов		
Режим	Сжатие	Расширен
Тянь	$104 \cdot (\omega_0^3/c^3 = 1/8) = 13$	$64 \cdot 13 = 104 \cdot (c^3/\omega_0^3 = 8)$
Геномы	$64 \cdot 13 - 13$	$63 \cdot 13.$

(6.21)

\*\*

В Реалиях Единого Космоса периодические системы сгустков проявляют себя как геномы и атомы, а также как Звёздное Небо, периодическая система которого подобна периодической системе химических элементов с девятой группой в форме инертных газов (табл.6.3).

Таблица 6.3

**Пять продвижений Фохата ([3], Гравитация).**

Изоме- рия	Группы					Сум- мы	Пятричная связь
	V	VI	VII	VIII	IX		
Цис-	5	6	7	8	9	35	$5 \equiv 140/28 \equiv \frac{1^2 + 2^2 + 3^2 + 4^2 + 5^2 + 6^2 + 7^2}{1 + 2 + 3 + 4 + 5 + 6 + 7}$
	9	8	7	6	5	35	
Транс	5	6	7	8	9	35	
	9	8	7	6	5	35	
Суммы	28	28	28	28	28	$\begin{array}{c} 140 \\ 140 \end{array}$	Постоянная чакр
Магне- тизм	$\pm 14$	$\pm 14$	$\pm 14$	$\pm 14$	$\pm 14$	$= \pm 70 \cdot \omega_0 / c = \pm 140.$	

В этом поле (табл.6.3) гравитационный импульс Космоса ( $28 \equiv \sqrt{\rho\rho^*}$ ) делится на два магнитных

$$(28 \equiv 14 - (-14) \equiv \sqrt{\mu\mu^*} - (-\sqrt{\mu\mu^*})),$$

а в девятой группе возникает потенциал  $35 = 5 \cdot 7$ .

Потенциал 5 расщепляется на семеричные магнито-гравитационные ряды (табл.6.3), а семь - на десятичные:

$$7 = \frac{1^2 + 2^2 + 3^2 + 4^2 + 5^2 + 6^2 + 7^2 + 8^2 + 9^2 + 10^2}{1 + 2 + 3 + 4 + 5 + 6 + 7 + 8 + 9 + 10} = \frac{385}{55}. \quad (6.22)$$

## 6.2 Число Человека и 365 дней одного года

**Магия Запада или Востока, Чёрная или Белая Магия ищут, в конечном счёте, технологию Сотворения Мира.**

Поиски технологии Сотворения Мира ведутся Магией с целью реализации конечной цели магии - "**моя власть**".

Тезис Магии: "Моя Власть" противоречит замыслам Создателя, давшим Носителям Разума Свободу Воли.

Магия, анализируя **Реалии**, данные нам в **Ощущениях**, отличается полным отсутствием понимания законов Единого Космоса.

Понять Космос и сохранить над ним свою власть - невозможно, ... но магам хочется.

С целью сохранения Власти магические Мистерии всех времён и народов **секретны**, а философия Магии Запада редактируется под углом точки зрения Каббалы.

Сегодня ни одному направлению в философских течениях Магии достичь успехов в области обобщения полученных материалов по паранормальным явлениям не удалось.

С позиции синтеза - обобщения Магия ведёт себя также как Наука и Религия, которые умеют расщепить проблему, но синтез им недоступен.

Сегодняшние Магия, Наука, Религия обладают общностью, которая состоит в умении дифференциации проблем и беспомощности в синтезе дифференцированного.

\*  
\*\*

За основу анализа магии берут философские парадигмы-домыслы, химические элементы алхимиков, элементы Звёздного Неба и так далее, в которых и наука, и магия ищут "**точку опоры методами приближения**".

Магия и наука ищут "точку опоры" в равновесии, хотя Единый Космос существует в Движении, а Движение порождает **Неравновесные Системы**, в которых Равновесие появляется периодически в моменты перехода из одной формы Энергии в другие Формы, и каждая из них движется по-своему.

\*  
\*\*

**Д.И.Менделеев обобщил работу алхимиков** и создал Периодическую Систему Химических Элементов, начало которой даёт водород, а окончание неизвестно.

Продолжая работу над периодической системой химических элементов я установил, что основой всех микро-макро миров в их периодичности являются вихри фотон-фононов, создающие заряды-импульсы (табл.6.4).

Я исходил из работ С.И.Вавилова по люминесценции, в которых было установлено, что в пределах насыщения люминофора при взаимной трансформации солнечного и люминесцентного света участвуют  $10^{20}$  фотонов.

\*  
\*\*

При сопротивлении среды полёту фотонов образуются элементарные заряды (табл.6.4).

Если фотоны и среда движутся в одном направлении, то возникают **импульсы - подоби**я Мысли, Памяти, Воображения (табл.6.4).



**Структура гравитационно-электромагнитного поля  
сформированного фотонами в люминофоре**

Поля	Гравитация	Магнетизм	Электриче- ство	Фотоны среды	Единицы счисления
Тонкая Энергия	$\rho^*=28 \cdot 10^{20}$ мысль	$\mu^*=14 \cdot 10^{20}$ память	$q^*=16 \cdot 10^{20}$ вообра- жение	$10^{-20}$	$\frac{\rho\rho^*}{qq^*} \equiv \left(\frac{7}{4}\right)^2$
Равновесие	$\rho\rho^* = 28^2$	$\mu\mu^* = 14^2$	$qq^* = 16^2$	$1 = 10^{-20} 10^{20}$	
Заряды	$\rho = 28 \cdot 10^{-20}$	$\mu = 14 \cdot 10^{-20}$	$q = 16 \cdot 10^{-20}$	$10^{20}$	$\frac{\mu\mu^*}{qq^*} \equiv \left(\frac{7}{8}\right)^2$
Равновесие	$4\sqrt{\rho\rho^*} =$ $4 \cdot 28 = 112$	$8\sqrt{\mu\mu^*} =$ $8 \cdot 14 = 112$	$7\sqrt{qq^*} =$ $7 \cdot 16 = 112$	Сумма $112 + 112 + 112 = 336$	

\*\*

Появление гравитации в поле (табл.6.4) вызывает формирование спирали Зодиака с потенциалом  $12 \equiv T_0 \cdot \tau$ , а смена гравитации на магнетизм удваивает спираль Зодиака до потенциала 24 - эквивалента **24 Пресвятым Престолам, окружающим Трон Христа на Небе** (Откровение):

Структура вихрей фотонов				(6.23)
Поля	Гравитация - Зодиак	Магнетизм - Святой Дух	Электричество - Полярные вих- ри	
Потенциа- лы	$\frac{336}{28} = 12 \equiv T_0 \cdot \tau$	$\frac{336}{14} = 24$	$\frac{336}{16} = 21$	

В поле (6.23) электрические вихри создают живой колебательный контур  $5 \Leftrightarrow 7 \Leftrightarrow 9$  при  $5+7+9 = 21$ .

\*\*

Минимальной энергетической ячейкой, **способной формировать периодические системы *сгустков* в полях гравитации**, является система из 112 элементов:

$$112 = 4\sqrt{\rho\rho^*} = 8\sqrt{\mu\mu^*} = 7\sqrt{qq^*}, \quad (6.24)$$

связывающих гравитацию, магнетизм и электричество.

Такой периодической системой (6.24) будет, например, являться периодическая система **химических элементов Д.И.Менделеева**.

В периодической системе химических элементов число электронов в соседних атомах увеличивается на один электрон, и в 112 элементах число электронов составит величину, равную сумме арифметической прогрессии 112 членов:

$$\text{Число электронов 112 элементов} = \frac{1+112}{2} \cdot 112 = 6328.$$

 (6.25)

\*\*

6328 электронов в 112 химических элементах Периодической Системы возникает тогда, когда периодическая система начинает формироваться не с водорода, как у Д.И.Менделеева, а со света, попавшего в гравитацию:

$$\Delta B \cdot 7/4 + \sqrt{\rho\rho^*} = 3600 \cdot 7/4 + 28 = 6328.$$

 (6.26)

За период  $\tau = 3$  в Арупе света возникнут:

$$6328 \cdot (\tau = 3) = 18984, \quad (6.27)$$

квантованных состояний, которые *вместят в себя* гравитацию, магнетизм и электричество.

Однако, возникший потенциал будет изменяться при переходе от Арупы к Рупе:

$$6328 \cdot (T_0 - \tau = 1) \Leftrightarrow 6328 \cdot (T_0 + \tau = 7) \Leftrightarrow 6328 \cdot (T_0 \cdot \tau = 12),$$

$$1 \Leftrightarrow 7 \Leftrightarrow 12. \quad (6.28)$$

\*\*

Формирование и свойства периодической системы из 112 химических элементов, которая начинается со света, описаны мною подробно в более ранних работах [7].

В данном случае (6.28) я хочу акцентировать Ваше внимание, уважаемый Читатель, на том, что **гравитация в 6328 квантованных состояниях света приводит к Библийскому Числу Человека, равному 113.**

Причём Число Человека проявляет себя в цис-транс изомерии левизны и правизны:

Число Человека в левизне и правизне		
Сотворение Человека	Левизна	Правизна
$\frac{\text{заряды}}{\text{гравитация}} = \frac{6328}{28} = 226 \equiv$	113	$= (-113).$

(6.29)

\*\*

Между 112 химическими элементами Периодической Системы и Человеком с Числом 113 возникает разность квадратов потенциалов (6.30).

Пульсация жидких сред с частотой 50 или взаимодействия в жидких средах (6.30) приводит к возникновению в этих средах живых субструктур материнской биоклетки (6.31).

112 химических элементов и Человек		
Изомерия	Левизна	Правизна
Колебания	$113^2 - 112^2 = 225 = (9+0) \cdot 5^2$	$112^2 - 113^2 = -225 = -(9+0) \cdot 5^2$
Вода	$+18 \cdot 5^2 \Leftrightarrow 0 \Leftrightarrow -18 \cdot 5^2$	
Пульсация в ритме 50: субструктура (9+0)	$\frac{18 \cdot 5^2}{50} = +(9+0) \Leftrightarrow 0 \Leftrightarrow -(9+0) = -\frac{18 \cdot 5^2}{50}$ , где: 50 - эквивалент еврейскому Богу Айн СОФ.	

(6.30)

Пульсация субструктуры материнской биоклетки			(6.31)
Форма	Жизнь	Жизнь до Жизни	
Пульсация	$\frac{18 \cdot 5^2}{\lg \frac{\rho_3 \rho_4}{\rho_1}} = \frac{450}{50} \equiv$ $(9+0)$	$\lg \frac{\rho_1}{\rho_3 \rho_4} = \frac{50}{18 \cdot 5^2} \equiv$ $1/(9+0).$	

\*\*

Появление субструктуры (9+0) в жидких средах (6.31) сопровождается пульсацией ядер молекул - атомов жидких сред, то есть системы  $17 \cdot (1 \Leftrightarrow 0)$ .

В Капле жидкой среды между ядром и магмой возникает разность потенциалов, эквивалентная 365 дням одного года по 13-ти лунному Календарю цивилизации Майя (6.31):

Число Человека и Лунный Календарь Майи			
1 год по Календарю Майи	Человек и элементы	Недра	Число дней
	$\frac{c}{\omega_0} (113^2 - 112^2) = 450 - (17 \Leftrightarrow 0) \cdot 5 = 365.$		

(6.32)

Излучающая система с потенциалом 365 всегда составляет Единицу - Монаду в Недрах Ядра, которая определяется цивилизацией Майя как **День вне Времени**:

$$(17 \Leftrightarrow 0) \cdot 5 - 1 = 85 - 1 = 84 \Leftrightarrow 5 \cdot 0. \quad (6.33)$$

Таким образом, за пределы ядерного вещества в поле гравитации над ядром излучаются:

$$\frac{364}{T_0(T_0 + \tau)} = \frac{364}{4 \cdot 7} \equiv \frac{364}{\sqrt{\rho\rho^*}} \equiv 13, \quad (6.34)$$

кванты, которые лежат в основе 13-ти лунного Календаря цивилизации Майи.

### 6.3 Законы взаимодействий в спирали Зодиака

Любой гравитационный квант, попадая в поле с потенциалом в одну пальму, образует оболочку с потенциалом 49:

Оболочка	Двойная оболочка
$28 \cdot 7/4 = 49$	$28^2 \cdot (7/4)^2 = 49^2$

(6.35)

Оболочки формируются уже в периодической Системе Тонких Энергий, описанных Русским Рунами [7], а **двойная оболочка в форме молекулярных мембранных спиралей является оболочкой биоклетки.**

\*  
\*\*

Двойная мембранная спираль молекулярных цепей - оболочек биоклеток является спиралью Кундалини и Зодиака.

**Процесс формирования оболочек начинается с 13-ти тактной пульсации Кундалини, находящейся в резонансно-антирезонансном состоянии, сумма которых формирует пульсирующую Спираль Зодиака:**

Формирование пульсирующей спирали Зодиака		
Кундалини		Спираль Зодиака
Резонанс	Антирезонанс	
$13 \cdot (3 \cdot 21) = 78 + 13 \cdot (3 + 2 + 1) = 78 = 156 \equiv 13 \cdot 12 = 12^2 + 12.$		

(6.36)

Разность потенциалов, с которой спираль Зодиака трансформирует энергию сред Рупы и Арупы, остаётся постоянной и равной 13:

<b>Трансформация сред спиралью Зодиака</b>				(6.37)
Среды	Рупа	Арупа	Результат	
Сохранение пульсации	$\frac{13 \cdot 12}{T_0 = 4} = 39$	$\frac{13 \cdot 12}{\tau = 3} = 52$	$= -13$	
Сохранение Спирали	$13 \cdot 12 \cdot T_0$	$13 \cdot 12 \cdot \tau$	$= 13 \cdot 12.$	

Полученный результат (6.37) говорит о том, что **трансформация энергии сред спиралью Зодиака протекает в условиях справедливости закона сохранения энергии.**

\*\*

**Результат пульсации спирали Зодиака в Арупе - Рупе приводит к формированию пульсирующей неравновесной системы (6.37):**

$$\begin{aligned}
&13 \cdot (12 \pm 1) \Leftrightarrow 12 \cdot (13 \pm 1); \\
&13 \int_{11}^{13} \varphi d\varphi \Leftrightarrow 12 \int_{12}^{14} \varphi d\varphi; \\
&13 \cdot 48 \Leftrightarrow 12 \cdot 52; \\
&T_0 = 4 \Leftrightarrow 4 \equiv T_0.
\end{aligned}
\tag{6.38}$$

В поле спирали Зодиака возникает равновесие с периодом вращения точечного участка волны света, являющегося инструментом трансформации одной формы энергии в другие формы.

\*\*

Пульсация Кундалини в Рупе, являясь подобием пульсации точечного участка волны света (как минимум) и спирали Зодиака (как максимум), в конечном счете, формируют процессы сжатия-расширения, в которых возникают небеса - Цинь и сгустки Тянь:

Пульсация света в спиральях Зодиака - Кундалини					
Пульсация		Режим		Субстанция	
Сжатие	Расширение	Резонанс	Антирезонанс	Цинь	Тянь
$T_0 \frac{\omega_0}{c} = 2$	$T_0 \frac{c}{\omega_0} = 8$	$8 \cdot 2 = 16$ $8 : 2 = 4$	$\pm(8-2)=\pm 6$ $8 + 2 = 10$	$8 \cdot 4 = 32$	$\pm[32-(-32)] = \pm 64.$

\*\*

Наличие резонансно-антирезонансного режима и появление системы Тянь + два Цинь с потенциалом, равным

$$64 + 2 \cdot 32 \text{ 128,} \tag{6.40}$$

приведёт к появлению потенциалов  $\pm 30$  (6.39):

**Бог и Богиня Луны в религии Шумеров [1]**

$$\frac{16 \cdot 4 \cdot (\pm 6) \cdot 10}{64 + 2 \cdot 32} = \frac{\pm 3840}{128} = \pm 30.$$

(6.41)

Потенциалом, равным 30, обладает вершина Вавилонской Башни, а в физиологии потенциал  $\pm 30$  (6.41) описывает сине-голубую чакру Третий Глаз.

\*  
\*\*

Резонансное поле пульсирующей спирали Зодиака периодически становится антирезонансным:

Возмущение сред спиралью Зодиака	
Резонанс	Антирезонанс
$13 \cdot 12 \Leftrightarrow$	$13 + 12 = 25 \Leftrightarrow \pm 1 = \pm(13 - 12)$
Среда	$\int_{25-1}^{25+1} \varphi d\varphi = \frac{1}{2} \cdot (676 - 576) = 50 \equiv \lg \frac{\rho_3 \rho_4}{\rho_1}.$

(6.42)

В возмущённых спиралью Зодиака средах возникают энергетические уровни с разной частотой пульсации кадров за Единицу Продолжительности (6.42):

Частота пульсации кадров за единицу Продолжительности				
Уровни	I	II	III	IV
Частота кадров	$25 - 1 = 24$	25	$25 + 1 = 26$	(6.42) 50
Поля	Сознание	Подсознание	В эфире Бордо	Айн СОФ вездесущий.

(6.43)



\*  
\*\*

Вездесущая пульсация с частотой 50 кадров (Айн СОФ) принадлежит к вездесущим самосущим волнам гармонических колебаний вечной тьмы, и трансформируются как 25 кадров в Подсознании (Недра Капли ядерного вещества) при условии:

$$50 \cdot \sin \frac{\pi}{4} \cdot \cos \frac{\pi}{4} = 50 \frac{1}{\sqrt{2}} \cdot \frac{1}{\sqrt{2}} = 25. \quad (6.44)$$

В этом поле пульсация на уровне Подсознания  $25 \pm 1$  инициирует пульсацию на уровне Сознания (Поверхность Капли) и в Недрах Капли, протекающей с частотой 26 кадров в единицу Продолжительности.

\*  
\*\*

**Пульсации с частотами кадров, возникающими на любых уровнях, являются следствиями взаимодействий логарифмических волн на этих уровнях (6.43):**

$$24 = \lg \rho_3^2; \quad -24 = \lg \rho_1; \quad 25 = \lg \rho_3 \rho_4 \text{ и так далее.} \quad (6.45)$$

**Поэтому все переходы с одного энергетического уровня на другой происходят за счёт логарифмических колебаний.**

Пример. Колебания  $-24 \Leftrightarrow 26$  не будут нарушены при  $-24 \cdot \lg 10 \Leftrightarrow 26 \cdot \lg 10$ , но далее:

$$\lg 10^{-24} \Leftrightarrow \lg 10^{26} \equiv 0 \Leftrightarrow \lg 10^{-24} - \lg 10^{26}, \text{ где}$$

$$0 \Leftrightarrow \lg \left( \frac{10^{26}}{10^{-24}} \equiv \frac{\rho_3 \rho_4}{\rho_1} \right) \equiv 50. \quad (6.46)$$

\*\*

Поле с потенциалом 50 также пульсирует между двумя равновесными соседними состояниями  $50 \pm 1$ , что влечёт за собой появление потенциалов 49, 50 и 51.

Образно говоря, колебание вездесущего Бога Айн СОФ возмущает окружающую среду, создавая в ней оболочки с потенциалом 49 и взаимодействия логарифмических волн с потенциалом 51.

Эти взаимодействия в Евангелие от Иоанна упоминается как 153 рыбы в сетях [25]:

$$153 \equiv \tau \cdot \lg \left( \frac{\rho_3 \rho_4}{\rho_1 \rho_2} = 10^{51} \right) = 3 \cdot 51. \quad (6.47)$$

\*\*

Спирали Кундалини - Зодиака пульсируют в тринадцатилунной гравитации в резонансно-антирезонансном режиме при наличии слабых взаимодействий и взаимодействий света:

Пульсация спиралей Зодиака во времени и взаимодействиях				
Режим	Резонанс		Антирезонанс	
Спирали при $\rho_2 \cdot \rho_5 = 1$	Зодиака	Кундалини	Кундалини	Зодиака
	12·13	6·26	(3,5+2,5) + 26	[6-(-6)]+13
Зодиак при $\frac{\rho_5}{\rho_2} = 100$	$12 \cdot 13 \cdot \left( 10^4 \equiv \frac{\rho_5^2}{\rho_2^2} \right) \Leftrightarrow \left( 12 + \frac{\rho_5}{\rho_2} = 112 \right) + \left( 13 + \frac{\rho_5}{\rho_2} = 113 \right)$			
	Сгусток Зодиака в гравитации		Электро-гравито-магнетизм	Число Человека.

Резонансный сгусток спирали Зодиака в гравитации может быть живым и неживым.

Для живых сгустков великая Цивилизация дала людям **Астрологический Календарь**, в котором изображение животных указывает на степень (уровень) развития периодической системы геномов.

Высшей формой живого сгустка в резонансе спирали Зодиака является Носитель Разума с Числом 113, то есть Человек (6.42).

\*\*

Резонансно-антирезонансные колебания живого сгустка на уровне Человека (6.48), в конечном счёте, показывает, что Человек, как сгусток, формируется по законам сжатия Арупы электрическим полем (табл.6.5).

Таблица 6.5

**Сжатие сгустка Зодиака с Числом Человека  
электрическим полем**

Режим Поля	Резонанс	Антирезонанс
Спираль Человека	$13 \cdot 12 \cdot 10^4$ Индуктивность	$113 + 112 = 9 \cdot 25$ Пентаграмма в Яйце
Электричество в Арупе	$13 \cdot (16 = \sqrt{qq^*})$ Электричество	$3 \cdot 10^{-2} \equiv \tau \cdot \rho_2^2$ Арупа
Сжатие самосуших	$T_0 \sqrt{\sin \frac{\pi}{4}} = 2^{+7/4} \equiv H$	$H \Leftrightarrow H \cdot \left( 2^{1/4} = \sqrt{Sc \frac{\pi}{4}} \right) \equiv 2 \equiv \frac{c}{\omega_0}$

Сжатие самосуших волн с периодичностью вращения точечного участка волны света, то есть с периодичностью  $T_0 = 2^2$ , приводит к потенциал-эквиваленту – высоте ( $H = 2^{7/4}$ ) великой Пирамиды (табл.6.5).

\*  
\*\*

Сжатие Арупы в сгусток электрического поля в условиях чередования Периодичностей по 13-ти лунному Календарю Майи всегда протекает в условиях поступления из Космоса Невесомости самосущих волн (табл.6.5).

Появляется неравновесная система:

$$13 \cdot 16 \cdot H \Leftrightarrow 3 \cdot 10^{-2} \cdot 2 \equiv 6 \cdot 10^{-2}. \quad (6.49)$$

$$13 \cdot \left( \frac{1}{3} 8H \right) \Leftrightarrow 10^{-2} \equiv \frac{\rho_5}{\rho_2}, \quad (6.50)$$

где: 6 - Кундалини,

$$\frac{1}{3} 8H \equiv \frac{1}{3} a^2 H = V_n - \text{объём великой Пирамиды (6.50).}$$

\*  
\*\*

Пульсация Кундалини связана с Числом 50 (6.49, 6.50):

$$13V_n \Leftrightarrow 6 \cdot 10^{-2} \equiv 3 \cdot 50^{-1} \equiv 3/50. \quad (6.51)$$

50 - это то число, для которого любители Каббалы для всех времён и народов придумали "ворота" и всеобъемлющего бога Айн СОФ [12].

На самом деле потенциал - эквивалент, равный 50 - это действительно всеобъемлющее поле взаимодействий:

$$50 \equiv \lg \left( \frac{\rho_3 \rho_4}{\rho_1} = 10^{50} \right) \equiv 50 \Leftrightarrow \pm 100 \int_0^1 \varphi d\varphi, \quad (6.52)$$

охватывающих весь Единый Космос без кабалы и идеалов синайских семитов.

**Спираль Зодиака в антирезонансе** пульсирует как Рупа - Арупа в поле  $3 \cdot 10^{-1} = 0,3 \equiv \tau \cdot \rho_2$ , а, попадая в гравитацию, приобретает потенциал  $28 \cdot \rho_2^2 = 0,28$ .

Возникает 13-ти лунный Календарь:

Структура Дня вне Времени				(6.53)
Зодиак	Арупа - Рупа	Айн СОФ	Число дней в году	
$T_0 + \tau = 4 + 3 = 7 +$	$3 \cdot 10^{-1} = \tau \cdot \rho_2 = 7,3$	$\times$	50	
$T_0 + \tau = 4 + 3 = 7 +$	$28 \cdot 10^{-2} = 28 \rho_2^2 = 7,28$	$\times$	50	
День вне Времени	$365 - 364 = 1.$			

**Сумма двух лет, в которых один год - это год вне Времени (6.53):**

$$365 + 364 = 729, \quad (6.54)$$

**это и есть сущность 729 оборотов философской машины современной магии [2].**

И нам ещё господа-товарищи секретных орденов и степеней **Магии Закулисы** смеют говорить, что их глупость лучше нашего Светлого Будущего.

\*\*

Течение наших дней к Светлому Будущему определяется не вращением философской машины синайских семитов, а путём продвижения Эволюции живых сгустков по спирали Зодиака (табл.6.6).

Эволюция по спирали Зодиака, также как и любая иная энергетическая спираль, подразделяется на цистрансформацию чётно-нечётных переходов, которая позволяет сохранить постоянство 13-ти лунного Календаря на всех 12-ти стадиях перехода в спирали Зодиака (табл.6.6).

Таблица 6.6

**Чётно-нечётная мультиплетность спирали Зодиака**

Поля Ряды	Энергетическая связь Зодиака и Кундалини						Суммы
Нечётные	1	3	5	7	9	11	36 свет
Чётные	12	10	8	6	4	2	42 душа
Суммы	13	13	13	13	13	13	78
Приведённая пульсация	$\frac{36^2 - 42^2}{78} = -6 \Leftrightarrow -\frac{1}{6} = \frac{78}{36^2 - 42^2}.$						

\*\*

Любое энергетическое поле, любой энергетический уровень существуют в условиях синтеза-мультиплетности энергетических состояний.

Антирезонанс синтеза-мультиплетности связан с разностями типа:

$$(n + 1) - n = 1, \quad (6.55)$$

которые дают в полях арифметические последовательные ряды: 1, 2, 3... n, а в них сумму потенциалов, равную сумме арифметической прогрессии.

Например, для спирали Зодиака порядковый номер состояния на спирали Зодиака можно связать с суммой арифметической прогрессии квантованных состояний на этом уровне:

$$\boxed{S_1 = 1} \quad \boxed{S_n = \frac{1+n}{2} \cdot n} \quad \boxed{S_{12} = \frac{1+12}{2} \cdot 12 = 78,} \quad (6.56)$$

где: 1, n и 12 - порядковые номера,

S<sub>1</sub>, S<sub>n</sub> и S<sub>12</sub> - сумма арифметической прогрессии квантованных состояний уровней.

Чётно-нечётные состояния спирали Зодиака (табл.6.6) связаны с суммами арифметических прогрессий квантованных состояний этих уровней (табл.6.7).

Таблица 6.7

**Взаимосвязь в спирали Зодиака**

Нечётные	<sup>1</sup> S <sub>1</sub> =1 Овен	<sup>3</sup> S <sub>3</sub> =6 Близ- нецы	<sup>5</sup> S <sub>5</sub> =15 Лев	<sup>7</sup> S <sub>7</sub> =28 Весы	<sup>9</sup> S <sub>9</sub> =45 Стре- лец	<sup>11</sup> S <sub>11</sub> =66 Водо- лей	$\sum_n = 161$
Чётные	<sup>12</sup> S <sub>12</sub> =78 Рыбы	<sup>10</sup> S <sub>10</sub> =55 Козе- рог	<sup>8</sup> S <sub>8</sub> =36 Скор- пион	<sup>6</sup> S <sub>6</sub> =21 Дева	<sup>4</sup> S <sub>4</sub> =10 Рак	<sup>2</sup> S <sub>2</sub> =3 Телец	$\sum_{n+1} = 203$
Постоян- ная <b>Семь</b>	$\frac{78-1}{12-1}$ = 7	$\frac{55-6}{10-3}$ = 7	$\frac{36-15}{8-5}$ = 7	$\frac{21-28}{6-7}$ = 7	$\frac{10-45}{4-9}$ = 7	$\frac{3-66}{2-11}$ = 7	$\frac{203-161}{42}$ 6·7 =42
Приведён- ная пуль- сация	$\frac{(203-161=42) \cdot (6 \cdot 7=42)}{42+42=84} = 21 \equiv 5 \Leftrightarrow 7 \Leftrightarrow (9+0)$ Биоклетка.						

Спираль Зодиака затрагивает и нас, и нашу Землю, излучающую полярные вихри с потенциалом 21, которые затем расщепляются в пульсирующие структуры биоклетки (табл.6.7).

Пульсация спирали Зодиака формирует, в конечном счете, постоянную Вселенной, равную тысяче атомов водорода, то есть потенциал:

<b>Зодиак - источник водорода во Вселенной (табл.6.7).</b>	
Водород	Спирали Зодиака
$1008 \equiv [(6 \cdot 7 = 42) + (203 - 161 = 42) = 84] \cdot 12.$	

(6.57)

Ситуацию появления водорода во Вселенной великая Цивилизация описала диаграммой Ян-Инь:

$$\begin{array}{c} \text{---}8 \\ \text{---}64 \end{array} \equiv \frac{64^2 - 8^2}{T_0 = 4} = 1008. \quad (6.58)$$

Вторая половина диаграммы Ян-Инь включает не только водород, но и электромагнетизм:

$$\begin{array}{c} \text{---}64 \\ \text{---}2 \end{array} \equiv \frac{64^2 - 2^2}{T_0 = 4} = 1023 \equiv 1008 + 15, \quad (6.59)$$

$$\text{где } 15 \equiv (16+14) \cdot (\pm 1/2) \equiv (\sqrt{qq^*} + \sqrt{\mu\mu^*}) \cdot \left( \pm \int_0^1 \varphi d\varphi \right). \quad (6.60)$$

Судя по Вавилонской Башне, которую венчает серебряно-лунная вершина с потенциалом Луны, равным 30, и богом Луны шумеров с потенциалами  $\pm 30$ , великая Цивилизация, как Шумерам, так и народам Тибета и Китая пытались рассказать об электромагнетизме водорода (6.58 ÷ 6.60).

## 6.4 Насыщение газов фотон-фононами

Сгусток Ян - эквивалент изомерической системы сжимается электрическим полем  $\sqrt{qq^*} = 16$ , равным по величине квадрату вращения точечного участка волны света  $T_0^2 = 16$ .

Внутренним полем в планетарной системе Ян-Инь будет поле с потенциалом Вселенной, равным 1008 и эквивалентным тысяче атомных весов водорода  $A_H = 1,008$  (табл.6.8).

Между планетарной системой Ян-Инь и её внутренним полем возникнет разность потенциалов, равная 16 и эквивалентная атомному весу кислорода ( $A_O = 16$ ) и квадрату периода вращения точечного участка волны света, то есть  $T_0^2 = 1$  (табл.6.8).



Разности потенциалов, равные 16 и эквивалентные  $T_o^2 = \sqrt{qq^*} = 16$ , сохраняются на всех микро-макро уровнях Вселенной, что подтверждается кислородной единицей, равной 1/16 атомного веса кислорода в периодической системе химических элементов, а также в системе атомных условных единиц ([14], табл.6.8).

Таблица 6.8

**Формирование атомных весов водорода и кислорода**

Пульсация	Тянь $\times(T_o^2 = \sqrt{qq^*}) \Leftrightarrow (\sqrt{qq^*} = T_o^2) \times$ Цинь
Резонанс	$64 \times 16 = \pm 1024 \Leftrightarrow \mp 1024 = 16 \times [64 = 32 - (-32)]$
Постоянная	Водород $\equiv \pm 1008 \Leftrightarrow \mp 1008 \equiv$ Водород
Разность	(Кислород) $A_O \equiv \pm 16 \Leftrightarrow \mp 16 \equiv A_O$ (Кислород).

Причём, антирезонансная пульсация Тянь формирует в полях слабых взаимодействий восемь электрон-позитронных пар кислорода:

<b>Формирование восьми электрон-позитронных пар атома кислорода</b>	
Пульсация	Тянь $+(T_o^2 = \sqrt{qq^*}) \Leftrightarrow (\sqrt{qq^*} = T_o^2)+2$ Цинь (6.61)
Антирезонанс	$\pm(64+16)10^{-1} \equiv \pm 8 \Leftrightarrow 78 \equiv \pm(16+64)10^{-1}$ электрон - позитроны.

\*\*

Фазовое состояние кислорода - водорода между Тянь и Цинь будет изменяться в зависимости от давления (p), объёма (V) и температуры (t):

$$p \cdot V / t = R \equiv c / \omega_0 = 2 \equiv \text{Const.} \quad (6.62)$$

Сначала это будет эфир - свет, затем газы, потом жидкая фаза (вода), а далее твёрдое тело (лёд) и жидкая лазерная плазма.

\*\*

Атомные веса водорода, гелия, азота, равные соответственно 1,008, 4,008 и 14,008 включают в себя сгустки света, равные:

$$m_c^* = 0,008 \equiv T_o c / \omega_o \cdot \rho_2^3. \quad (6.63)$$

Без "вкраплений света" атомные веса будут соответственно равны: водород (1,008 – 0,008 = 1), гелий (4,008 – 0,008 = 4); азот (14,008 – 0,008 = 14) и кислород останется равным 16.

Частица света  $m_c^* = 0,008$  - это сгусток света при расширении. При сжатии сгусток света будет в четыре раза меньше:

$$m_c^{**} = 0,002 \equiv T_o \omega_o / c \cdot \rho_2^3. \quad (6.64)$$

Поэтому все газы можно определить относительно  $m_c^{**} = 0,002$  (табл.6.9).

Таблица 6.9

### Распределение сгустков света в газах

Поля Отношения	Свет		Газы со светом			Кислород	Газ X <sub>112</sub>
	сжатие	расширение	водород	гелий	азот		
Атомные веса газов без $m_c^*$	$m_c^{**} = 2 \cdot 10^{-3}$	$m_c^* = 8 \cdot 10^{-3}$	$A_H = 1$	$A_{He} = 4$	$A_N = 14$	$A_O = 16$	$X_{112} = 112$
Относительно $m_c^{**}$	1	4	$5 \cdot 10^2$	$2 \cdot 10^3$	$4 \cdot 10^3$	$8 \cdot 10^3$	$56 \cdot 10^3$
Производные	<b>Электромагнит</b> $4^2 - 1^2 = 15$		<b>Сороковица:</b> $5 \cdot 2 \cdot 4 \cdot 10^8 = 4 \cdot 10^9$			<b>Семеричность</b> $56/8 \equiv T_o + \tau.$	

\*\*

В таблице 6.9 приведён также последний 112 элемент периодической системы, который я обозначаю как  $X_{112}$ , являющийся инертным радиоактивным газом [7].

Отношение 112 элемента к кислороду, выраженное в относительных единицах сгустков  $m_c^{**}$ , показывает традиционную семеричность процесса, в то время как в группе неинертных газов (водород, азот, кислород) возникает потенциал 64 (табл.6.9).

$$\frac{X_{112}}{A_o} = \frac{56 \cdot 10^3}{8 \cdot 10^3} = 7 \quad \text{и} \quad \frac{A_N \cdot A_o}{A_H} = \frac{8 \cdot 4 \cdot 10^6}{5 \cdot 10^2} = 64 \cdot 10^2. \quad (6.65)$$

\*\*

В условиях резонанса неинертных газов:

$$A_N \cdot A_o \cdot A_H = 4 \cdot 10^3 \times 5 \cdot 10^2 = 16 \cdot 10^9, \quad (6.66)$$

возникают электрические поля  $\sqrt{qq^*} = 16$ .

Это ненасыщенное электричеством поле стремится к насыщению и атомарные водород, азот и кислород переходят в молекулярные системы  $H_2$ ,  $N_2$  и  $O_2$ .

Переход от атомарных к молекулярным неинертным газам увеличивает их потенциал до квадрата первоначальной величины (6.66):

$$K = A_{N_2} \times A_{O_2} \times A_{H_2} = (16 \cdot 10^9)^2 = 16^2 \cdot 10^{18} \equiv qq^* \cdot 10^{18}. \quad (6.67)$$

Попадая в солнечно-слабые взаимодействия электрическое поле  $K$  (6.67) насыщается фотонами до  $10^{20}$ , то есть до предела насыщения люминофора:

$$B = K \cdot \rho_5 / \rho_2 = 16^2 \cdot 10^{18} \cdot 10^2 = 16^2 \cdot 10^{20}. \quad (6.68)$$

С периодичностью  $T_0^2 = 16$  в нашем мозге возникает импульс воображения (6.68).

<b>Импульс воображения</b>
$B = 16^2 \cdot 10^{20} \equiv (16 \equiv T_0^2) \cdot (16^2 \cdot 10^{20} \equiv q^*)$ .

(6.69)



\*  
\*\*

Переход неинертных газов к инертным проявляется как переход через гелий (табл.6.9):

$$\frac{A_{O_2} \cdot A_{N_2} \cdot A_{H_2}}{A_{He_2}} = \frac{16^2 \cdot 10^{18}}{(2 \cdot 10^3)^2} = 4 \cdot 16 \cdot 10^{12} \equiv 64\rho_3. \quad (6.70)$$

Появляется электромагнитный сгусток Ян (6.71), у которого имеют место электромагнитные взаимодействия, переходящие в гравитационные:

$$\left. \begin{aligned} 64 \cdot 10^{12} &\Leftrightarrow \frac{1}{64 \cdot 10^{12}}; \\ 64^2 &\Leftrightarrow \frac{1}{10^{+24}} \equiv 10^{-24} \equiv \rho_1. \end{aligned} \right| \quad (6.71)$$

На диаграмме Ян-Цинь появляются тёмная и светлая волны с потенциалами 64, несущие соответственно светлый зародыш расширения  и тёмный зародыш сжатия .

\*  
\*\*

Магнетизм в Едином Космосе возникает как результат перехода от ядерных взаимодействий к логарифмическим волнам:

Природа магнетизма	
Ядерные взаимодействия	Химические элементы
$\lg(\rho_4 = 10^{14}) = 14 \equiv \sqrt{\mu\mu^*}$	$\frac{X_{112}}{m_c^*} = \frac{112}{0,008} = 14 \cdot 10^3$

(6.72)

\*\*

В поле света и газов (табл.6.9) источником магнетизма в частности являются гелий, азот и кислород при антирезонансе:

$A_{\text{He}} + A_{\text{N}} + A_{\text{O}} = (2+4+8) \cdot 10^3 = 14 \cdot 10^3 = \sqrt{\mu\mu^*} \cdot 10^3$
$A_{\text{He}_2} + A_{\text{N}_2} + A_{\text{O}_2} = (14 \cdot 10^3)^2 = \mu\mu^* \cdot 10^6,$
где $10^6$ - частота, при которой проявляется эффект Кирлиан.

(6.73)

Резонансные совмещённые поля света и водорода также являются источником магнетизма, но при  $(T_0 + \tau = 7)$ :

$$F_1 = m_c^{**} \cdot m_c^* \cdot A_{\text{H}}(T_0 + \tau) = 1 \cdot 4 \cdot 5 \cdot 10^2 \cdot 7 = 14 \cdot 10^3, \quad (6.74)$$

но возникает молекулярный водород:

$$F_2 = m_c^{**} \cdot m_c^* \cdot A_{\text{H}_2} \cdot 7^2 = 1 \cdot 4 \cdot (5 \cdot 10^2)^2 \cdot 7^2 = 49 \cdot 10^6, \quad (6.75)$$

то поле с частотой  $10^6$ , инициирующее эффект Кирлиан, прячется под "оболочку" с потенциалом 49 (6.75).

Эта **Аура под оболочкой** проявляет себя в условиях поступления энергии извне: либо как самосушая энергия из Космоса Невесомости, либо как энергия от высокочастотного генератора (6.74 ÷ 6.75):

$$F_1 \cdot F_2 = 1,4 \cdot 10^4 \cdot 49 \cdot 10^6 = \frac{3,5}{2,5} \cdot 49 \cdot 10^{10}, \quad (6.76)$$

где: 3,5 и 2,5 - соответственно число витков спирали  
Кундалини при расширении и сжатии;  
49 - потенциал оболочки;  
 $10^{10}$  - число фотонов в люминофоре.

\*\*

Насыщение люминофора под оболочкой (6.77) будет протекать в условии пульсации оболочки и света под оболочкой:

$$F_3 = \frac{49}{(m_c^{**} + m_c^*)^5} = \frac{49}{10^{-2,5}} = 49 \cdot 10^{10}. \quad (6.77)$$

В поле лазерной точки света появляется сгусток ядерной плазмы с потенциалом:

<b>Насыщение люминофоров фотонами</b>
$F_1 F_2 F_3 = \frac{3,5}{2,5} \cdot 49^2 \cdot 10^{20} \equiv 3361,4 \cdot 10^{20},$ <p>где: <math>3360 + 1,4</math> - эквивалент отношению спиралей Кундалини расширения и сжатия; <math>3360 \equiv \tau \cdot \rho_5 \cdot 112.</math></p>

(6.78)

Знание насыщения люминофоров фотон-фононами даёт возможность использовать Тонкие Энергии в технике.

## Глава 7

### Процессы и аппараты в полях Тонких Энергий

Уважаемый Читатель, мы делаем первый шаг в использовании Тонкой Сверхсветовой Энергии в технике на научной основе.

Путь этот неизвестен. Перспективы неисчерпаемы. Поэтому пусть Вас не пугают временные неудачи, но и успехи не вскружат голову: **помните, на каждое удачное решение есть множество ещё лучших.**

Знайτε: **Всё остаётся людям.**

#### 7.1 Основные законы Взаимодействий

Любой живой биологический субъект имеет **Конем Жизни** Тонкие Энергии самосуших волн, сгущаемых светом: **"5. Корень (Тонкие Энергии) остаётся, Свет остаётся, Сгустки остаются и всё же Оеооооо (Космос во взаимодействиях) Един ([3], Космогенезис, Станца III).**

Единый Космос во взаимодействиях нам известен (табл.7.1).

Таблица 7.1

**Оеооооо: Единый Космос во взаимодействиях**

Взаимодействия	Гравитационное	Слабое: люминесцентное	Электромагнитное	Ядерное	Свет
В ядерном веществе	$\rho_1 = 10^{-24}$	$\rho_2 = 10^{-1}$	$\rho_3 = 10^{12}$	$\rho_4 = 10^{14}$	$\rho_5 = 10^1$
Логарифмические волны	$\lg \rho_1 = -24$	$\lg \rho_2 = -1$	$\lg \rho_3 = +12$	$\lg \rho_4 = 14$	$\lg \rho_5 = 1$
13-ти лунные часы	$\left[ \frac{(12+14+1)-(-24-1)}{(12+14+1)+(-24-1)} = \frac{52}{2} = 26 \right] \cdot \left( \pm \int_0^1 \varphi d\varphi \right) = \pm 13.$				

Логарифмические волны, распространяемые ядерным веществом сгустков, объединяют Космос 13-ти лунной гравитационной пульсацией.

\*  
\*\*

Отклонение от тринадцати лунной пульсации, например к 12-ти месяцам григорианского календаря, нарушает ход Эволюции, вызывая деградацию живого (табл.7.2).

Таблица 7.2

### Единение Космоса 13-ти лунной пульсацией

Календари	13-ти лунный календарь цивилизации Майи	Григорианский 12-ти месячный календарь
Относительно пятеричной связи	$13^2 = 12^2 + 5^2 = 12^2 + 4^2 + 3^2$	$12^2 = 5^2 + 119$ $12^2 = 4^2 + 3^2 + 119$
Результат	Объединение Космоса в Единой Ритмике	Психологическая ущербность для биочасов.

\*  
\*\*

**Закон сохранения энергии: энергия не исчезает и не появляется вновь, но, трансформируемая светом при взаимодействиях, переходит из одной формы в другую.**

\*  
\*\*

**Энергия и Движение: Энергия существует в Движении; вне Энергии нет Движения, как вне Движения нет Энергии; любое Движение, в конечном счете, есть переход из одной формы Энергии в другие Формы.**

\*  
\*\*

**Энергия и Пространство: Пространства вне Энергии нет, ибо энергия не исчезает.**



**Пространство, заполненное энергией самосуших волн вечной тьмы, пульсирует, искривляясь при попадании в него волны-частицы света:**

$$\left[ \frac{(Sc \pi/4 \cdot Cs \pi/4)^4 = 2^4}{m_c = E_\lambda = 1/\pi} = 2^4 \pi = 4\pi(R=2)^2 \right]_{\text{Поверхность сферы}}, \quad (7.1)$$

**и вновь становится неискривлённым при удалении из поля самосуших волн компонент света.**

\*\*

Сохранение Энергии Пространства подобно эффекту мыльного пузыря: **какую бы форму в свободном полёте не принимал мыльный пузырь, количество мыльного раствора, формирующего поверхность пузыря, остаётся постоянным.**

Из этого закона вытекают свойства **энергетической геометрии**, согласно которым, например, поверхности сферы и эллипсоида будут равны, когда

<b>Эффект мыльного пузыря (Пример)</b>		
Поверхности	Сферы	Эллипсоида
Потенциалы	$Q = 4\pi R^2$	$S = a \cdot b \cdot \pi$
Общность	$a \cdot b = 4R^2$	
Примечание	R - радиус сферы, a и b - большая и малая полуоси эллипса.	

(7.2)

\*\*

**В Природе Времени, как Формы Энергии, нет. Но есть Продолжительность перехода одной формы энергии в другую. Например, переход электрической энергии в Рупе:**

$$V = \frac{\sqrt{qq^*}}{T_0^2} \equiv \frac{16}{16} \equiv \frac{\text{электричество}}{\text{продолжительность}} = 1. \quad (7.3)$$

**Интервал продолжительности заканчивается** с окончанием трансформации одной формы энергии в другую.

Понятие о Времени, как об Энергетической Реалии Космоса - это наша **удобная иллюзия**, позволяющая рассматривать бесконечную череду Продолжительностей как Время.

\*\*

Создать "**машину времени**", имеющую задний ход нельзя, ибо для этого необходимо восстановить все микро-макро структуры Единого Космоса в том состоянии, в котором они были в том прошлом, куда бы хотели попасть водители машины времени.

**Такой Энергии возврата у Единого Космоса нет**, ибо Энергия Единого Космоса зависит от поступления самосушущих волн.

\*\*

Энергия самосушущих волн может и должна быть использована в целях совершенствования и интенсификации научно-технического прогресса социума, живущего сегодня на Земле.

На базе непосредственного использования самосушущих волн могут быть созданы три типа процессов и аппаратов:

1. **Процессы и аппараты в форме символов**, изображений, геометрических фигур в Пространстве, которые используют Пространственные Формы и Материал для трансформации энергии самосушущих волн в нужные нам виды энергии.

Так работали Пирамиды, опоясывающие всю Землю во времена великой Цивилизации, и Пирамиды снабжали Землю Энергией из Космоса.

2. Процессы и аппараты, включающие в себя колебательный контур индуктивность - ёмкость (LC), способные изменить характер взаимодействий при переходе от взаимодействий в ядерном веществе к логарифмическим волновым полям (табл.7.1):

К генераторам Тонких Энергий		
Процессы	Ядерное вещество	Логарифмические волны
Колебания	$\rho_1 \rho_2 \rho_3 \rho_4 \rho_5 = 10^2 \overset{LC}{\longleftrightarrow} 2 = (-24-1+12+14+1)$ где LC - индуктивность - ёмкость.	

(7.4)

Такие генераторы LC уже создаются методом проб и ошибок (своеобразная алхимия процессов и аппаратов).

Однако результаты настолько поразительны, особенно во врачевании, что все затруднения кажутся ничтожными.

\*\*

3. Процессы и аппараты, включающие в себя комбинаторику двух описанных типов, то есть Форму - Символ - вещество, из которого сделана данная форма, а также LC-контур.

Важнейшим моментом для создания всех вышеперечисленных процессов и аппаратов является энергетическая структура Постоянной Вселенной:

Примеры трансформации постоянной Вселенной						(7.5)
Постоянная	Солнечно-лунный ряд	Дух - душа	Зодиак	Геномы-биоток	Магнетизм и ядро	
1008	36·28	24·42	12 <sup>2</sup> ·7	63·16	72·14 = ...	

**Энергетический процесс трансформации постоянной Вселенной (7.5) будет играть определяющую роль в выборе Формы Символа - Фигуры в Пространстве.**

Так, например, если возникает необходимость получить энергию с потенциалом 42, то форма символа должна включать фигуру с параметрами 24 (7.5).

\*\*

Молитвенные храмы всех религиозных Конфессий устремлены в Небо с теми или иными символами: крест, полумесяц и так далее.

Шпили храмов трансформируют Тонкие Энергии наших молитв Небесным Сущностям.

Ответа мы не слышим только потому, что не умеем измерять сверхсветовые волны Тонких Энергий, а вся наша метрология связана с электромагнитной волной света.

Однако и молитва, и медитация воздействуют на нас, подтверждая наличие энергетического эффекта, и **первая задача, которую надо решить при работе с Тонкими энергиями, состоит в создании Метрологии Тонких Энергий.**

## **7.2 Согласованность пульсации великой Пирамиды, Вавилонской Башни и конструкции А.Ю.Родионова**

*А.Ю.Родионов создал прибор-символ, обладающий свойствами трансформатора энергии самосущих волн в какую-то новую форму энергии.*

Прибор-символ состоит из равностороннего креста, в центр которого вставлен кристалл (рис.7.1).

Геометрия прибора (рис.7.1) креста такова:

Длина луча, мм	Ширина луча, мм	Толщина луча, мм
24	5,9	1,4.

(7.6)

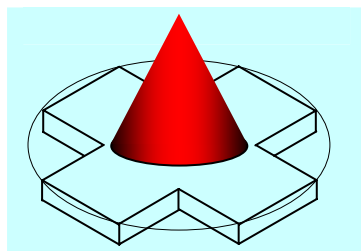


Рис.7.1 Прибор-символ  
А.Ю.Родионова

Эти соотношения соответствуют цис-транс изомерии спирали Зодиака:

$$24 \equiv 12 - (-12); \quad (7.7)$$

спирали Кундалини:

$$5,9 \approx 6 \equiv 3,5 + 2,5 \equiv 3,5^2 - 2,5^2; \quad (7.8)$$

и отношению 3,5 витков спирали Кундалини при расширении и 2,5 витков спирали Кундалини при сжатии:

$$1,4 = 3,5/2,5. \quad (7.9)$$

Я не буду вдаваться в детали устройства А.Ю.Родионова, скажу только, что размещением кристаллов им была решена проблема колебательного контура  $17 \Leftrightarrow 0$ .

В данный момент важно, что интуитивно созданная система работает.

\*\*

Дальнейшую судьбу разработки я вижу в том, что устройства - Крест (рис.7.1) подсоединяют с двух концов к обычной люминесцентной лампе дневного света (рис.7.2).

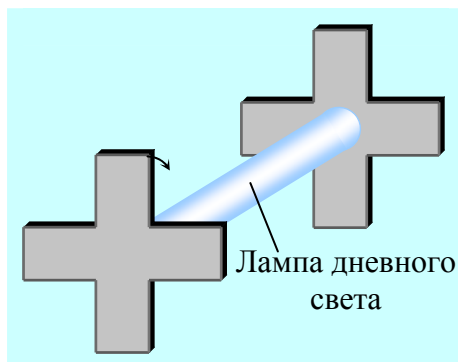


Рис.7.2 К экспериментам по  
созданию светильника

Параметры и материал крестовин сохраняется, но 5,9 доводится до 6 (7.6).

В первых экспериментах крестовины берутся одинаковыми для люминесцентных ламп любой длины, и крестовины разворачиваются одна относительно другой на угол  $\pi/4$  (рис.7.2).

Если люминесцентная лампа начнёт светиться, то мы получим не только **светильник**, о котором упоминают древние рукописи (горит 300 лет без источника энергии), но и метрологический прибор.

\*  
\*\*

Люминесцентное свечение лампы (рис.7.2) можно измерить по силе свечения и получить оптические характеристики, а также замерить вольтамперные характеристики на цепях лампы.

Обработка вольтамперных характеристик, даже если лампа не будет светиться, позволит продвигаться в нужном направлении.

Самосушие волны:  $\sin \pi/4 = \cos \pi/4 = 1/\sqrt{2}$  и  $\sec \pi/4 = \csc \pi/4 = \sqrt{2}$  пульсируют в резонансно-антирезонансном режиме:

**1. Резонансом является состояние, когда самосушие волны имеют общие пространственно-временные координаты, и, сливаясь воедино, образуют новое фазовое состояние вещества.**

Например, резонанс самосуших волн в единую точку поля формирует импульсы волны и частицы света, то есть фонон и фотон:

Резонанс самосуших волн: формирование фотон-фонона		
Дуализм	Частицы	Волны
Самосушие волны	$\frac{\sec \pi/4 \cdot \sin \pi/4 = 1}{\csc \pi/4 \cdot \cos \pi/4 = 1} = 1 \Leftrightarrow 1 = \frac{1 = \csc \pi/4 \cdot \cos \pi/4}{1 = \sec \pi/4 \cdot \sin \pi/4}$	(7.10)
Компоненты света	<b>Фотон</b> $m_{\text{с}} = 1 = (1/\pi) \cdot \pi$	<b>Фонон</b> $E_{\lambda\text{с}} = 1 = (1/\pi) \cdot \pi.$

Резонансная пульсация математически описывается: **делением, умножением, возведением в степень.**

Для самосуших волн вечной тьмы схема резонансной пульсации имеет следующую ячейку (рис.7.3):

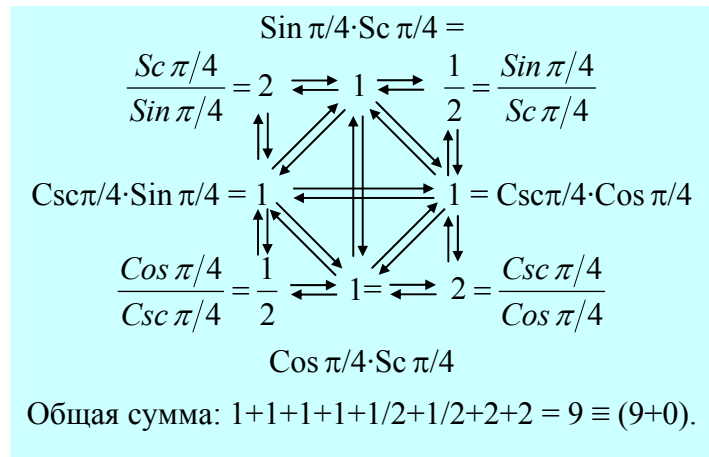


Рис.7.3 Резонансная пульсация самосуших волн

**2. Антирезонансом является состояние, когда две или несколько волн имеют свои собственные координаты пространства при одновременности пульсации.**

Математически антирезонансная пульсация описывается сложением, вычитанием как самих потенциалов, так и потенциалов в степени  $n$ .

Антирезонанс описывает процессы, протекающие в области логарифмических волн, например, во взаимодействиях:

$$\rho_1 \rho_2 \rho_3 \rho_4 \rho_5 = 10^{-24} \cdot 10^{-1} \cdot 10^{12} \cdot 10^{14} \cdot 10^1 =$$

$$10^{-24-1+12+14+1} = 10^2 \equiv \sqrt{2}^4 \cdot 5^2, \quad (7.11)$$

где: 5 - энергия пятеричной связи;  
 $\sqrt{2}$  - самосушие волны.

Гравитационно-магнитная пульсация пятеричной связи рассматривалась в схеме (0.75), а цис-транс изомерия самосуших волн  $\sqrt{2}^4 / \sqrt{2}^{-3} = \sqrt{2}^7$  формируют элементы великой Пирамиды (табл.0.9) и саму Пирамиду (рис.0.3).

\*\*

Резонансное сжатие самосуших волн формирует импульсы волны и частицы света (фонон и фотон), а также электромагнитную среду между ними. Появляется Арупа трёхмерного Пространства:

$$\tau \equiv (m_c c = 1) + (\epsilon_0 \cdot \mu_0 \cdot c^2 = 1) + (E_\lambda c = 1) \equiv x + y + z = 3, \quad (7.12)$$

где:  $\epsilon_0 = 10^7/4\pi c^2$  Фарада/метр - электрическая постоянная;  
 $\mu_0 = 4\pi \cdot 10^{-7}$  Генри/метр - магнитная постоянная.

Эпюрой поля фотон-фонона и электромагнитной среды между ними **без учёта изомерии** являются, например, тетраксис Пифагора или тетраграмматон Каббалы.

Эпюрой поля фотон-фонона и электромагнитной среды между ними **с учётом изомерии** является Звезда Давида.

Однако Давид, авторы Каббалы и Пифагор искали ответ в геометрии мыльного пузыря, не подозревая о решающей роли кинематики.

\*\*

Объём крестовины, предложенной А.Ю.Родионовым, будет эффективным потому, что длина луча креста, равная 24, в объёме крестовины достигает 24:

<b>Объём крестовины (7.6, рис.7.1).</b>	(7.13)
$V_k \equiv 4 \text{ луча} \times 24 \cdot 6 \cdot 1,4 \text{ мм}^3 \equiv 24^2 \cdot 1,4 \text{ мм}^3.$	

Поскольку достижение квадрата первоначального потенциала связано с излучением, то конструкция А.Ю.Родионова **настроена на излучение** (7.13).

В случае применения люминесцентной лампы дневного света (рис.7.2), проходя через газы лампы, будет излучаться свет:



$$V_k = 24^2 \cdot 1,4 \equiv 6^2 \cdot 4^2 \cdot 1,4 \equiv 36 \cdot T_0^2 \cdot 1,4. \quad (7.14)$$

\*\*

Отношение постоянной Вселенной к крестовине А.Ю.Родионова связано с появлением Единицы Счисления великой Цивилизации, названной Ею пальмой:

$$\frac{\text{Постоянная Вселенной}}{\text{Крестовина Родионова}} \equiv \frac{1008}{24^2 \cdot 1,4} \equiv \frac{1,75}{1,4} \equiv \frac{2,5}{3,5} \cdot \frac{7}{4}, \quad (7.15)$$

где  $1/1,4 \equiv 2,5/3,5$  - отношение 2,5 оборотов Кундалини при сжатии к 3,5 оборотам Кундалини при расширении;  
7/4 - пальма:

$$\frac{7}{4} \equiv \frac{T_0 + \tau}{T_0} \equiv \frac{\rho}{q} \equiv \frac{\rho^*}{q^*} \equiv \sqrt{\frac{\rho \rho^*}{q q^*}} \equiv \text{пальма}. \quad (7.16)$$

\*\*

Отношение (7.15) даёт уникальную возможность проверить влияние Кундалини на фазовое состояние субстанций Космоса: **газы, жидкости, твёрдые вещества и жидкая плазма.**

Конструкция аппарата для проведения исследований будет оставаться постоянной и показанной на рисунке 7.2.

В качестве жидкостей необходимо исследовать, например воду и ртуть; в качестве жидкой плазмы надо исследовать биологическую плазму: кровь, лимфу и так далее.

Исследование твёрдых веществ необходимо вести, заменив трубку на стержни, например, из проводников, из полупроводников, и проверить минералы, обладающие эффектом Кирлиан.

Результат исследований должен дать обобщение состава - свойств поля после прохождения энергии через фазовые состояния:

Поступающая энергия	Const (7.16)						(7.17)
Фазовые состояния	Эфир	Свет	Газы	Жидкости	Твёрдые тела	Жидкая плазма	
Результат	Обобщение состав - свойств.						

Показанная в схеме (7.17) методология вытекает из всего комплекса задач по исследованию и использованию Тонких Энергий: сначала влияние Форм и Материалов (**пассивное воздействие**), затем частот в диапазоне  $10^1 \div 10^7$  вне формы (**активное воздействие**), а завершение работ должно быть связано с **активно-пассивным воздействием**.

\*\*

При изучении пассивного воздействия за критериальные эталоны должны быть взяты пропорции **великой Пирамиды Египта** (рис.0.3) и **Вавилонской Башни шумеров**, построенной в Месопотамии (табл.2.6).

Пример такого сравнительного анализа я продемонстрирую с **крестовиной А.Ю.Родионова** (7.13).

Причём, мы должны твёрдо помнить и знать, что **важнейшую роль играют не размеры** (км, м, см, мм, Å и так далее), а **безразмерные соотношения элементов - фигур**.

Пирамида может быть размером с великую Пирамиду Египта, а может быть **настошной** или выполненной, например, в ангстремах, вмонтированной в запонку и так далее. В любом случае возникающая колебательная неравновесная система будет формироваться как

$$\frac{V_{\Pi}}{V_K} \Leftrightarrow \frac{V_K}{V_B} \dots V_{\Pi} \cdot V_B \Leftrightarrow V_K^2, \quad (7.18)$$

где  $V_{\Pi}$  - объём великой Пирамиды или её энергия (эквивалент пространству) в трёхмерном Пространстве;

$V_K$  - объём (эквивалент энергии крестовины Родионова (7.13);

$V_B$  - эквивалент энергии (объёма) Вавилонской Башни (табл.2.6).

**Привлечение к анализу неравновесной системы (7.18) Вавилонской Башни даёт возможность связать неравновесную систему со спектром света.**

\*\*

Параметры семи ступеней **Пирамиды "Вавилонская Башня"** показаны в таблице 2.6.

На первом, втором, третьем и четвёртом уровнях Пирамиды "Вавилонская Башня" окрашенные кванты (чёрный, цвета охры, красный и золотой) пульсируют в антирезонансном режиме (табл.2.6, табл.7.3).

Таблица 7.3

#### Антирезонанс в Пирамиде Вавилонская Башня

Уровни	Цвет	Потенциалы	Результат
1	Чёрный	$4 \equiv T_0 \equiv \sqrt{2}^4$	Появление в спектре самосущих волн
2	Охра	$10 \equiv \rho_5 \equiv 1+2+3+4$ взаимодействия	Взаимодействие магнетизма: $10+4 = 14 = \sqrt{\mu\mu}^*$
3	Красный	$8 \equiv \frac{c^3}{\omega_0^2} \equiv T_0 \frac{c}{\omega_0}$ расширение	Условия появления 22 букв Авраама (Телепатия): $4+10+8 = 22$
4	Золото	$20 \equiv \Delta K / \Delta J$ Красная Звезда (теогенезис)	Возникновение сердца (души) или мысли и памяти: $22+20 = 42 \equiv 28+14$
Суммы	1. Сумма уровней: $1+2+3+4$ - описано Иоанном Богословом в Круге Универсума (Откровения, [6]) 2. Сумма потенциалов: $4+10+8+20 = 42$ - описано в Книге Мёртвых [10] как 42 Божества Сердца.		

При достижении энергетическими потоками четвёртого слоя-уровня **Вавилонской Башни** антирезонанс переходит в резонанс, а результатом этого перехода будет являться появление полярных вихрей с потенциалами  $\pm 21$  (табл.7.3).

Происхождение полярных вихрей	
$\frac{\text{Резонанс}}{\text{Антирезонанс}} \equiv \frac{(22+20) \cdot (28+14)}{22+20+28+14} \equiv \frac{42^2}{42+42} = 21 \equiv K_1$	(7.19)
Примечание: используется телепатия, гравитация, магнетизм и красно-жёлтое отношение.	

Переход на четвёртом уровне Вавилонской Башни от антирезонанса к резонансу затрагивает и взаимодействия света, описанного порядковыми номерами уровней:  $1+2+3+4 = 10 \equiv \rho_5$ :

$$\frac{\text{Резонанс}}{\text{Антирезонанс}} \equiv \frac{(1+2+3+4=10) \cdot (10=4+3+2+1)}{(1+2+3+4)+(4+3+2+1)=20} = \frac{10^2}{20} = 50, \quad (7.20)$$

где:  $1+2+3+4$  - восходящие к резонансу энергетические потоки;  
 $4+3+2+1$  - энергетические потоки, нисходящие к антирезонансу чёрных самосущих волн.

\*\*

Синайские семиты хвалятся, что они выбрали у шумеров их поэтические образы, обработали их, и создали собственные направления в магии [1, 2] и религии.

Это действительно так. В Пятикнижие Моисея (Исход) описывается как Аарон (помощник Моисея) обожествил золотого тельца и модернизировал в свою пользу грабительскую налоговую систему (это в религии).

В магии синайские семиты подменили шумерских богов, создав Каббалу.

Потенциал первого уровня, равный 4 (табл.7.3), синайские семиты подменили четырьмя Адамами, а результат перехода с потенциалом 50 (7.20) стали трактовать как ворота для всесущего бога Айн СОФ.

Иисус Христос не вразумил семитов ни при Жизни, ни из Жизни после Жизни: при Жизни распяли, а **Откровения**, продиктованные из Жизни после Жизни, извращаются и третируются иудаизмом и семитизмом.

Не помогло и то, что Христос пришёл в Жизнь как семит - царь Иудейский: невежество интернационально.

\*\*

Пятый, шестой и седьмой уровни Пирамиды "Вавилонская Башня", сжимаясь в объёме при движении к вершине, пульсируют в резонансном режиме (табл.2.6, табл.7.4).

Таблица 7.4

#### Резонанс в Пирамиде "Вавилонская Башня"

Уровни	Цвет	Потенциалы	Результат
5	Бледно-жёлтый	$15 \equiv (T_0+1) \cdot (T_0-1)$	Возникновение электромагнетизма: $\pm 15 = (16+14) \cdot \left( \pm \int_0^1 \varphi d\varphi = \pm \frac{1}{2} \right)$
6	Азуритовая лазурь	$12 \equiv T_0 \cdot \tau$	Формирование резонансной спирали Зодиака: $(+12) \cdot (-12) = -144$
7	Серебро	$30 \equiv 15 - (-15)$	Магнитные поля: $1^2+2^2+3^2+4^2 = 30$ Богиня Луны $-(4^2+3^2+2^2+1^2 = 30)$ Бог Луны
Произведения	1. Порядковые номера уровней: $5 \cdot 6 \cdot 7 = 210 \equiv 10 \cdot \frac{42^2}{42+42}$ 2. Произведения потенциалов уровней: $15 \cdot 12 \cdot 30 = 54 \cdot 10^2$		
Примечания	Число реинкарнаций в поле с индуктивностью $10^2$ 1/А: $[54 - (-54)] \cdot 10^2 = 108 \cdot 10^2$		
Приведённая пульсация	$K_2 = (54 \cdot 10^2)^2 : 108 \cdot 10^2 = 27 \cdot 10^2.$		

\*  
\*\*

Приведённая резонансно-антирезонансная пульсация энергетического поля в объёме Пирамиды "Вавилонская Башня" (табл.7.3, табл.7.4) будет связана с неравновесной системой (7.19):

<b>Объём Пирамиды Вавилонская Башня (<math>V_B</math>): Капля Воды</b>	
Колебания	$K_1 \equiv \pm 21 \Leftrightarrow \mp 27 \cdot 10^2 \equiv K_2$
Пульсация	$\frac{K_2 \rho_2^2 K_1}{\rho_2^2 K_2 + K_1} \Leftrightarrow \frac{\rho_2^2 K_2 - K_1}{K_1 / \rho_2^2 K_2} \Leftrightarrow \frac{\rho_2 K_2 - K_1}{\rho_2^2 K_2 / K_1} \quad (7.21)$ $(\rho_2^2 K_2)^2 \Leftrightarrow (\rho_2^2 K_2)^2 - K_1^2 \Leftrightarrow K_1^2$ $27^2 \Leftrightarrow 27^2 - 21^2 \Leftrightarrow 21^2$
Объём	$0 \Leftrightarrow 0 \Leftrightarrow 0 \Leftrightarrow 2 \cdot 21^2 = 7^2 \cdot 18 \equiv V_B$ <p style="text-align: center;"><b>Вода в оболочке: Капля.</b></p>

\*  
\*\*

Объём великой Пирамиды Египта, равный

$$V_{\Pi} = \frac{1}{3} a^2 H = \frac{1}{3} 8 \cdot 2^{7/4} = \frac{1}{3} 8 \cdot 4 \cdot 2^{-1/4} \equiv$$

$$8 \cdot 4 \cdot (0,39 \approx 0,4) = 12,8, \quad (7.22)$$

где:  $8 \equiv T_0 \cdot c / \omega_0 = (c / \omega_0)^3$  - зародыш расширения, описанный в диаграмме Ян-Инь как светлая точка в тёмной волне:

$$\begin{array}{c} \text{☯} \\ \text{---} 8 \\ \text{---} 64 \end{array} \equiv \frac{64^2 - 8^2}{T_0 = 4} = 1008, \quad (7.23)$$

где: 1008 - постоянная Вселенной по водороду.

В то же время расширение Вселенной  $(c/\omega_0)^3$  в трёхмерном Пространстве формирует в Атомах устойчивые орбиты с восемью электронами.

Вторым типом устойчивых орбит в атомах являются орбиты с двумя электронами.

Устойчивость орбит с двумя электронами определяется пределом сжатия  $(T_0 \cdot \omega_0 / c = 2)$  Вселенной.

\*\*

**Электрон - это сгусток**, который как любой сгусток - *Капля*, описывается пропорциями великой Пирамиды.

Поэтому устойчивые орбиты электронов в Атоме и для Вселенной Единого Космоса можно представить как системы из двух и восьми объёмов великой Пирамиды (табл.7.5).

Таблица 7.5

**Устойчивые (экстремальные) состояния Вселенной при 8 и 2 сгустках на орбитах**

Пульсация	Сокровенная сороковица	Диаграмма Ян-Инь
$\frac{\text{расширение}}{\text{сжатие}}$	$= \frac{8(V_{\Pi} = 12,8) = 1024}{2(V_{\Pi} = 12,8) = 25,6} = 40$	$\left( \begin{array}{c} \text{Ян-Инь} \\ 64 \quad 2 \end{array} \equiv \frac{64^2 - 2^2}{T_0 = 4} \right) + 1 \equiv 1023 + 1 = 1024.$

Между расширением и сжатием возникают гармонические колебания с переходом между состояниями магнитной энергии (табл.7.5).

**В сгустках и между сгустками возникают устойчивые колебания череды Продолжительностей (Времени), (7.24) .**

Так, например, для расширения на этапе 1010 (7.24) известны 101 палочка великого князя Руси Ивана III, из которых римскими цифрами I, II, ...XXIII, XXIV складывался циферблат часов на сутки из 24 часов.

Колебания между устойчивыми орбитами				
Режим	Расширение	Магнитное поле	Сжатие	(7.24)
Переходы	1024	$\begin{array}{c} 0 \\ \longleftrightarrow \\ 0 \end{array}$	$25,6 \cdot \rho_5 = 256$	
Пульсация	1	1010	$\begin{array}{c} +14 = \sqrt{\mu\mu^*} \\ \longrightarrow \end{array}$	
	2	1010	$\begin{array}{c} 0 \\ \longleftrightarrow \end{array}$	
	3	1011	$\begin{array}{c} +10 = \rho_5 \\ \longleftarrow \end{array}$	

Для расширения с потенциалом 260 (7.24) известен 13-ти лунный Календарь цивилизации Майи:

$$260 \frac{\Delta \overset{\circ}{J} = 70 \overset{\circ}{A}}{\Delta \overset{\circ}{K} = 1400 \overset{\circ}{A}} = \frac{260}{20} = 13, \quad (7.25)$$

где: 13 месяцев по 28 дней дают 364 дня, а четыре недели в месяце определяются как:

Недели	Нечётные	Чётные	(7.26)
	1. красная	2. белая	
	3. синяя	4. жёлтая.	

Таким образом, в спектре света возникают колебания типа (7.26):

$$\frac{\Delta \overset{\circ}{K} = 1400 \overset{\circ}{A}}{\Delta \overset{\circ}{J} = 70 \overset{\circ}{A}} = 20 \Leftrightarrow 12 = \frac{3600 \overset{\circ}{A} = \Delta \overset{\circ}{B}}{300 \overset{\circ}{A} = \Delta \overset{\circ}{C}} \quad (7.27)$$

или  $5 \Leftrightarrow 3, \quad (7.28)$

где: колебательный контур (7.28) описывает колебания поверхности Капли-Ядра света по амплитуде ( $5 = T_0 + 1$ ) и ( $3 = T_0 - 1$ ).



Эти колебания формируют постоянную тонкой структуры ( $1/\alpha$ ):

$$1/\alpha = 137,0000021 \equiv \frac{5}{4} \pi \cdot e^{\pi}. \quad (7.29)$$

\*\*

Только поняв динамику пульсации сгустков-Капель, описанных эпюрами векторов в форме великой Пирамиды Египта и Пирамиды "Вавилонская Башня", мы сможем без всякой мистики вернуться к неравновесной системе (7.18) и связать объёмы Пирамид и крестовины А.Ю.Родионова:

Крестовина Родионова в тисках великих Пирамид			(7.30)
Пульсация (алгебра)	Величины объёмов	Пульсация (арифметика)	
$V_{\Pi} \cdot V_{\text{Б}} = V_{\text{К}}^2$ (7.18)	$V_{\Pi} = 12,8$ (7.22) $V_{\text{Б}} = 7^2 \cdot 18$ (7.21) $V_{\text{К}} = 24^2 \cdot 1,4$ (7.13)	$12,8 \times 7^2 \cdot 18 \Leftrightarrow (24^2 \cdot 1,4)^2$ $11289,6 \Leftrightarrow 650280,96$ $1 \Leftrightarrow 57,6$ $0 \Leftrightarrow 56,6.$	

Основным достоинством пропорций крестовины А.Ю.Родионова является то, что в поле (7.30) возникает разность потенциалов, равная:

$$\pm(56,6 - 57,6) \equiv \mp 1. \quad (7.31)$$

\*\*

Эта равновесная разность потенциалов не оказывает сопротивления пульсации Единого Космоса ни по Ньютону: **действие равно противодействию** (полёт космических ракет на керосине), ни по Мичурину: **"Мы не можем ждать милостей от Природы. Взять их - наша задача"**.

Даже уважаемому селекционеру, каким вне сомнения является И.В.Мичурин, прежде чем что-либо брать не спросясь, надо было бы подумать, чтобы понять: разность между геномом 63 и цис-транс изомерическим потенциалом 57,6 является зародышем 108 реинкарнаций, так как

$$63 - 57,6 = 5,4 - (-5,4) = 57,6 - 63, \quad (7.32)$$

где:  $\pm[5,4 - (-5,4)] = \pm 10,8$ .

### **7.3 Аммиак - метан: реперные точки пульсации Вселенной**

Рассматривая материалистическую формулировку Ф.Энгельса: "**Жизнь есть форма существования белковых тел**", - мы понимаем, что классик марксизма **не догадывался о Жизни до Жизни, чувствующего и вне формы** [3].

Тем не менее, ни К.Маркс, ни Ф.Энгельс не смогли полностью отказаться от **Мистики Тонких Энергий** и начинают Манифест коммунистической партии заклинанием: "**Призрак бродит по Европе - призрак коммунизма**".

\*  
\*\*

Переход от капитализма к социализму подобен **переходу от газов** (водорода, азота, кислорода) **к жидким средам, а затем к твёрдым телам** на основе углерода с атомным весом 12.

В процессе создания Жизни как Формы существования белковых тел существенную роль играют азот - водородные и углерод - водородные неопредельные и предельные соединения.

Начало ряду азот - водородных соединений даёт аммиак ( $\text{NH}_3$ ), структурная формула которого описывается пропорциями Пирамиды с основанием в форме треугольника, подобного тетраксису Пифагора или тетраграмматону из Каббалы (рис.7.4).

Совмещение двух молекул аммиака своими основаниями - треугольниками, поляризованными на угол  $\pi/4 = c/T_0$ , может быть изображено вектором - подобием Звезде Давида (рис.7.4).

И свет, и молекула аммиака обладают инверсией, то есть пульсируют, выворачиваясь наизнанку.

\*\*

Начало предельным углеводородам даёт метан ( $\text{CH}_4$ ), структурная формула которого описывается пирамидой с основанием в форме квадрата (рис.7.4).

Структурная формула метана является подобием великой Пирамиды и Пирамиды "Вавилонская Башня" (рис.7.4).

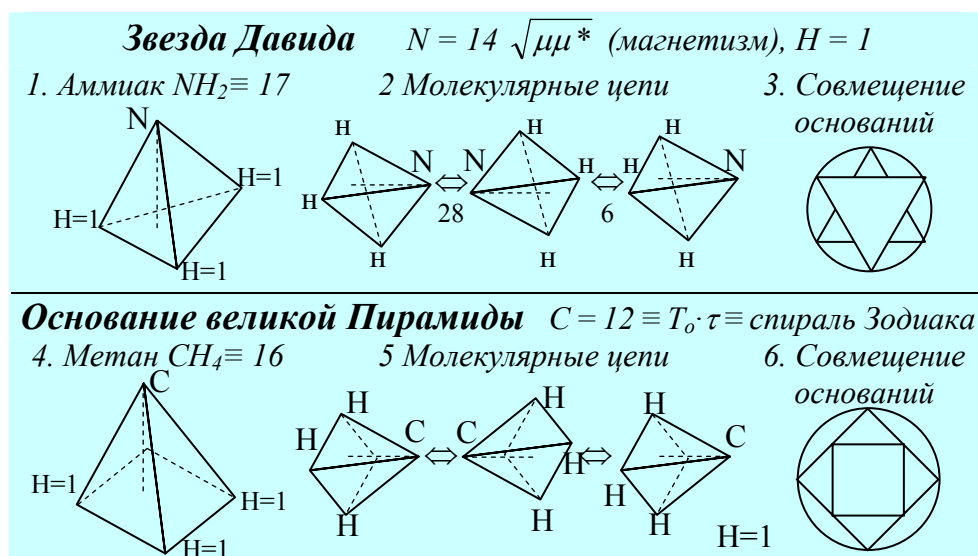


Рис.7.4 Структурные формулы аммиака и метана с позиции магических эюр Звезды Давида и основания великой Пирамиды.

\*\*

При анализе структурных формул аммиака и метана мы должны отделить азот и водород от сгустков света  $m_c^* = 0,008$ :

$$A_N = 14,008 - m_c^* = 14 \quad \text{и} \quad A_H = 1,008 - m_c^* = 1.$$

В этом случае атомный вес азота будет равен 14 и являться эквивалентом  $\sqrt{\mu\mu^*} = 14$  магнитного поля (рис.7.4).

Молекулярный вес аммиака, равный 17, связан с контуром колебаний ( $17 \Leftrightarrow 0$ ) поля Тонких Энергий, а в аммиаке между атомом азота в вершине и атомами водорода в основании не будут протекать резонансно-антирезонансные колебания:

$$\begin{aligned} \frac{N}{3H} = \frac{14}{3} &\Leftrightarrow (N^2 - (3H)^2 = 14^2 - 3^2) \cdot (N \cdot 3H = 14 \cdot 3) \Leftrightarrow \frac{3H}{N} = \frac{3}{14} \\ \text{или} \quad 14^2 &\Leftrightarrow (14^2 - 3^2) \cdot (14 \cdot 3)^2 \Leftrightarrow 3^2; \\ 0 &\Leftrightarrow 5885 \Leftrightarrow 0. \end{aligned} \quad (7.33)$$

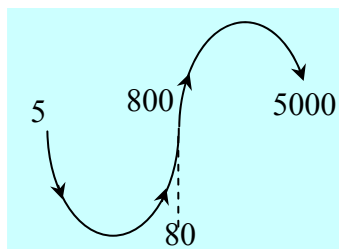


Рис.7.5 Потенциалы инверсионной волны аммиака (7.33)

Возникнет инверсионная волна аммиака с потенциалом 5855 (7.33, рис.7.5), и без всякого уважения к Звезде Давида, выворачиваясь наизнанку, аммиак будет выделять резкий запах, используемый в вытрезвителях.

\*\*

Между азотом и углеродом есть существенная разница в происхождении: азот - это логарифмическая волна от ядерных взаимодействий; углерод - логарифмическая волна от электромагнитных взаимодействий (табл.7.6).

**Природа происхождения азота и углерода**

Эффективности взаимодействий		Логарифмические волны и атомные веса	
Ядерные	Электромагнитные	Азот	Углерод
$\rho_4 = 10^{14}$	$\rho_3 = 10^{12}$	$\lg \rho_4 = 14 \equiv A_N$	$\lg \rho_3 = 12 \equiv A_C$

Колебания атомарной смеси азота и углерода в полях Дзиан Космоса пульсируют как 13-ти лунный календарь цивилизации Майи:

$$\pm 13 \equiv (A_N + A_C) \left( \pm \int_0^1 \varphi d\varphi \right) \equiv (14 + 12 = 26)(\pm 1/2). \quad (7.34)$$

Такая (7.34) азот-углерод атомарная пульсация вовлекает в свою орбиту все существующие в Природе взаимодействия (табл.7.1).

\*\*

В молекуле метана между углеродом в вершине и четырьмя водородом в основании возникают резонансно-антирезонансные колебания:

$$\left. \begin{aligned} \frac{C}{4H} = \frac{12}{4} = 3 \Leftrightarrow [C^2 - (4H)^2] \cdot C \cdot 4H \equiv 6720 \Leftrightarrow \frac{1}{3} \equiv \frac{4H}{C} \\ 0 \Leftrightarrow 20150 = 13 \cdot 31 \cdot 50 \Leftrightarrow 0. \end{aligned} \right| \quad (7.35)$$

Во внутреннем поле метана между углеродом в вершине и четырьмя атомами водорода в основании молекулы-пирамиды (рис.7.4) возникают колебания, потенциал которых включает в себя множители  $13 \cdot 31 \cdot 50$  (7.35), мимо которых не прошли религии и магии всех времён и народов. Вместе с тем, потенциал  $13 \cdot 31 \cdot 50$  - это резонансный потенциал, который возникает из самосущих волн с потенциалом  $\sqrt{2}$ :

$$13 \cdot 31 \cdot 50 \equiv 13 \cdot 31 \cdot 5^2 \sqrt{2}^2. \quad (7.36)$$

Количество равновесных состояний в поле (7.36) великая Цивилизация определяла методом логарифмирования, при котором основание логарифма равнялось логарифмируемому числу:

Логарифмический метод определения равновесий (7.36)		(7.37)
Потенциал поля	Число равновесий - эквивалент Кундалини	
$13 \cdot 31 \cdot 5^2 \sqrt{2}^2$	$\log_{13} 13 + \log_{31} 31 + \log_5 5^2 + \log_{\sqrt{2}} \sqrt{2}^2 = 1 + 1 + 2 + 2 = 6.$	

**Необходимые пояснения:** расчёт по науке нашей цивилизации был бы свдён при логарифмировании по любому основанию  $x$  к следующему (7.36):

$$\log_x 13 \cdot 31 \cdot \sqrt{2}^2 \cdot 5^2 = \dots \quad (7.38)$$

В этом случае (7.38) наша наука не учитывает как дискретность синтеза-мультиплетности поля, так и динамику резонансно-антирезонансной пульсации.

Поэтому наши физики-теоретики приходят к выводам: **со скоростью света может двигаться бесконечно большая масса.**

Но в Реалиях со скоростью света совершают движение мельчайшие массы фотон-фононов.

Сумма масс фотон-фононов во Вселенной будет той бесконечно большой массой, о которой говорят наши физики.

**Высокая наука великой Цивилизации учитывала дискретность масс и учитывала потенциалы равновесных уровней между ними методом целенаправленного логарифмирования (7.37).**

Метод целенаправленного логарифмирования состоял в том, что любой потенциал волны-частицы микро-макро мира раскладывался на множители, далее не поддающиеся делению, и определяла логарифм по основанию множителя (7.37).

\*\*

Колебания углерода и водородов в молекуле метана приводили к формированию Кундалини (7.37):

$$\pm[(2+1)+(2+1) = 6 \equiv 3.5+2.5 \equiv 3.5^2 - 2.5^2]. \quad (7.39)$$

Цис-транс изомерия Кундалини в метане формировала спираль Зодиака в поле метана (CH<sub>4</sub>).

Спираль Зодиака освобождалась от водородных связей. Появлялась твердь атома углерода с атомным весом 12.

Так, например, возникала **Земная Твердь**: из эфиров - газы, из газов - метан (CH<sub>4</sub>) - силан (SiH<sub>4</sub>), а далее - углерод-кремний.

**Создатель не был алхимиком, Он был Химиком**, то есть специалистом, знающим Корни причинно-следственных связей (Закон Кармы).

\*\*

Возникают колебания внутри объёма молекул - пирамид (рис.7.4).

Эти колебания в объёме внутреннего поля молекул NH<sub>3</sub> и CH<sub>4</sub> нам придётся сравнивать со светом, то есть с частицами-сгустками m<sub>c</sub>\* и m<sub>c</sub>\*\* (табл.7.7).

**Резонансно-антирезонансная пульсация  
сгустков света (фотонов)**

Фотоны	Частоты резонанса	Колебания света
$m_c^* = 8 \cdot 10^{-3}$ $m_c^{**} = 2 \cdot 10^{-3}$	$m_c^* \cdot m_c^{**} = 16 \cdot 10^{-6} \equiv$ $\sqrt{qq^*} \cdot 10^{-6}$	$\frac{m_c^* \cdot m_c^{**}}{m_c^* + m_c^{**}} \Leftrightarrow \frac{m_c^* - m_c^{**}}{m_c^* \cdot m_c^{**}}$ $(16 \cdot 10^{-6})^2 \Leftrightarrow (8^2 - 2^2) \cdot 10^{-6} = 60 \cdot 10^{-6}$

Резонансное колебание фотонов протекает в эндотермии гравитационных взаимодействий электрических полей (табл.7.7).

Поэтому, когда в резонансное поле фотонов подаётся частота от LC-контура, равная  $10^6$ :

$$m_c^* m_c^{**} f = 16 \cdot 10^{-6} \cdot 10^6 = 16 \equiv \sqrt{qq^*}, \quad (7.40)$$

то возникает эффект Кирлиан, и мы можем сфотографировать Ауру и свечение минералов.

Свечение гнилушек, люминофоров и светлячков всех типов протекает в условиях равновесия  $10^{-6} \cdot 10^6 = 1$ .

\*\*

Увеличение резонансного взаимодействия фотонов до квадрата первоначальной величины:

$$(m_c^* \cdot m_c^{**})^2 = 16^2 \cdot 10^{-12} \equiv qq^* \cdot 10^{-12}, \quad (7.41)$$

смещает частоты возникновения равновесия от  $10^6$  до  $10^{12}$  Герц (7.41).

$$(m_c^* \cdot m_c^{**}) f = 16^2 \cdot 10^{-12} (10^{+12} \equiv p_3). \quad (7.42)$$

Возникает электромагнетизм. Живые и неживые субъекты начинают обмен информацией на уровне электромагнитных взаимодействий (7.42).



\*

\*\*

Резонансная система фотонов связана с антирезонансной (табл.7.7):

Неравновесие	$16^2 \cdot 10^{-12} \Leftrightarrow 60 \cdot 10^{-6}$	(7.43)
--------------	--	--------

Чакра Третий Глаз	$16^2 \cdot 10^{-6} \Leftrightarrow 60$ $16^2 \Leftrightarrow 60 \cdot 10^6$	(7.44)
Электромагнитная среда	$16^2 \Leftrightarrow 6 \cdot 10^7$	

Появление потенциала  $10^7$ , то есть корня квадратного из ядерных взаимодействий ( $\sqrt{\rho_4} \equiv \sqrt{10^{14}} \equiv 10^7$ ), приводит к появлению в Едином Космосе электрической ( $\epsilon_0$ ) и магнитной ( $\mu_0$ ) постоянных соответствующих сред:

Среды	Электрическая	Магнитная	
Условия появления	$16^2 \Leftrightarrow 6(10^7 = \epsilon_0 \cdot 4\pi \cdot c^2)$ , где: $16^2 \equiv qq^*$ $\epsilon_0$ - Фарада/метр	$6 \Leftrightarrow 16^2(10^{-7} = \mu_0/4\pi)$ , где: $6 \equiv$ Кундалини $\mu_0$ - Генри/метр.	(7.45)

\*

\*\*

Колебания фотонов, подобно камертону, настраивают колебания газов, например, в объёмах молекул аммиака и метана (7.33, 7.35):

Неравновесные колебания		
Газы	Аммиак (7.33)	Метан (7.35)
Неравновесие	$5885 = 5 \cdot 11 \cdot 107 \Leftrightarrow 13 \cdot 31 \cdot 5^2 \sqrt{2}^2 \equiv 20150$ $11 \cdot 107 \Leftrightarrow 13 \cdot 31 \cdot 5 \sqrt{2}^2.$	

(7.46)

В этом поле взаимосвязи аммиака - метана (7.46) присутствует энергия пятеричной связи, самосущие волны ( $\sqrt{2}^2$ ), тринадцати лунное течение времени, субструктура ( $9+2 = 11$ ) митоза биоклетки.

Одновременно отметим, что газы (как и любые иные энергетические системы) существуют в условиях взаимного обмена энергии:

Антирезонансный обмен энергией		
Газы	Аммиак	Метан
Обмен $\pm 1$	$(10+1) \cdot (107+0) \xrightarrow{+1} (30+1) \cdot (13+1) \cdot 5 \sqrt{2}^2$ $\xrightarrow{-1} 10 \cdot 108 \Leftrightarrow 30 \cdot 14 \cdot 5 \sqrt{2}^2.$	
Результат	$10 \cdot 108 \Leftrightarrow 30 \cdot 14 \cdot 5 \sqrt{2}^2.$	

(7.47)

Антирезонансный обмен энергией  $\pm 1$  может протекать в самих объёмах молекул газа:

$$11 \cdot 107 \Leftrightarrow 10 \cdot 108, \quad (7.48)$$

и 
$$(31 \cdot 13 \Leftrightarrow 30 \cdot 14) \cdot 5 \sqrt{2}^2, \quad (7.49)$$

либо между двумя объёмами молекул, как показано на схеме (7.47).

В любом из этих двух вариантов обмена энергией (7.48, 7.49) вместо субструктуры (9+2) возникает эффективность взаимодействия света ( $\rho_5 = 10$ ); потенциал - эквивалент 108 реинкарнациям по Буддизму, равный 108; богиня (бог) Луны по религиозным воззрениям шумеров с потенциалом, равным 30, а также магнитное поле  $\sqrt{\mu\mu^*} = 14$  (7.47).

Изначально такое поле пульсировало с частотой Айн СОФ, то есть 50 (7.48):

$$5 \cdot 10 \cdot 108 = 5400 \Leftrightarrow 21000 \equiv 30 \cdot 14 \cdot 5^2 \sqrt{2}^2, \quad (7.50)$$

но постепенно выкристаллизовывалось неравновесие между светом и магнетизмом, между водой и семеричностью, между субструктурой (9+0) и 3,5 оборотами Кундалини при расширении:

Единая система колебаний в фазах живого			
Аммиак - метан	Свет - магнетизм	Вода - семеричность	Субструктура Кундалини
$54 \cdot 10^2 \Leftrightarrow 21 \cdot 10^3 \Leftrightarrow 36 \Leftrightarrow 14 \Leftrightarrow 18 \Leftrightarrow 7 \Leftrightarrow (9+0) \Leftrightarrow 3,5$			
Газы	Эфир	Жидкости	Клетка.

\*\*

Молекулярные цепи аммиака и метана могут формироваться путём антирезонансно-резонансных контактов между вершинами и основаниями пирамидальных молекул (рис.7.4).

В этом случае необходимо определить неравновесные колебательные системы для аммиака, метана и смеси метана и аммиака (табл.7.8).

**Резонансно-антирезонансные контакты вершин и оснований пирамидальных молекул аммиака и метана**

Поля		Вершины		Основания	
Режим		Анти-резонанс	Резонанс	Анти-резонанс	Резонанс
Аммиак: NH <sub>3</sub>	Потенциалы	$N + N \equiv 14 + 14 = 28$	$N^2 \equiv 14^2 = 196$	$3H + 3H = 3 \cdot 1 + 3 \cdot 1 = 6$	$(3H)^2 = 9$
	Колебания	$\frac{28}{14^2} = \frac{1}{7} \Leftrightarrow \frac{3}{2} = \frac{9}{6} \quad \text{и} \quad 3 \equiv \tau \Leftrightarrow \frac{7}{2}$ Кундалини в Арупе			
Метан: CH <sub>4</sub>	Потенциалы	$C + C = 12 + 12 = 24$	$C^2 \equiv 12^2$	$4H + 4H = 4 \cdot 1 + 4 \cdot 1 = 8$	$(4H)^2 = 16$
	Колебания	$\frac{24}{12^2} = \frac{1}{6} \Leftrightarrow 2 = \frac{16}{8} \quad 1 \Leftrightarrow 12$ Спираль Зодиака			
Смесь метана и аммиака	Потенциалы	$C + N = 12 + 14 = 26$	$C \cdot N = 12 \cdot 14 = 13^2 - 1$	$3H + 4H = 3 \cdot 1 + 4 \cdot 1 = 7$	$3H \cdot 4H \equiv 3 \cdot 1 \cdot 4 \cdot 1 \equiv 12$
	Колебания	$\frac{26}{12 \cdot 14} = \frac{13}{6 \cdot 7} \Leftrightarrow \frac{12}{7}$ $13 \Leftrightarrow 6 \cdot 12 \equiv 72$ Ядерное вещество во времени			
		$\frac{13}{6 \cdot 7} \Leftrightarrow \frac{7}{12}$ $13 \cdot 2 \Leftrightarrow 49$ Оболочка во времени (инверсия).			

Оболочка с потенциалом 49, возникающая при инверсии в смеси метан-аммиак, получается реально как эллипсоидальное свечение от генератора Тонкой Энергии.

Вместе с тем, оболочка - Свечение будет пульсировать в естественном режиме Единого Космоса, то есть в ритме 13-ти лунной пульсации (табл.7.8):

$$13 \cdot 2 \int_0^1 \varphi d\varphi \Leftrightarrow \pm 49. \quad (7.52)$$

Причиной инверсии (выворачивания наизнанку) оболочки любых молекулярных соединений будет являться 13-ти лунное колебание внутренних энергетических полей систем (7.52):

$$13 \cdot (\lg \rho_1 \rho_2 \rho_3 \rho_4 \rho_5 = 2) \cdot \left( \pm \int_0^1 \varphi d\varphi = \pm \frac{1}{2} \right) \Leftrightarrow \pm 49. \quad (7.53)$$

\*\*

Тринадцатилунная пульсация Кундалини и Зодиака приводит к формированию взаимодействий в поле света, а затем к лазерному ядерному веществу с плотностью в четыре раза выше молекулярного веса воды (табл.7.8).

Резонансная пульсация Кундалини и Зодиака в 13-ти лунном ритме			(7.54)
Спираль Кундалини и Зодиака	Свет во взаимодействиях	Ядерное вещество	
$13 \Leftrightarrow 6 \cdot 12$	$36(\lg \rho_1 \rho_2 \rho_3 \rho_4 \rho_5 = 2) \equiv 6 \cdot 12 \Leftrightarrow 13$	$13 \Leftrightarrow 6 \cdot 12 \equiv 4 \cdot 18 \equiv 72 \equiv \gamma_n.$	

\*\*

Пульсация метана в частности и углеводородов в целом формирует Подобие Спираль Зодиака (табл.7.8):

$$1 \Leftrightarrow 12.$$

Попадая в пульсирующий Космос:

$$1 \cdot \int_0^1 \varphi d\varphi = \frac{1}{2} \Leftrightarrow 12 \Leftrightarrow -12 = -\frac{1}{2} = 1 \cdot \int_1^0 \varphi d\varphi, \quad (7.55)$$

$$1 \Leftrightarrow 12 \cdot 2 = 24 \Leftrightarrow -24 = 12(-2) \Leftrightarrow -1, \quad (7.56)$$

спираль Зодиака увеличивается вдвое, а затем, **как цветок с четырьмя лепестками из спиралей Зодиака** (рис.7.6) возникает антирезонансная неравновесная система (7.56):

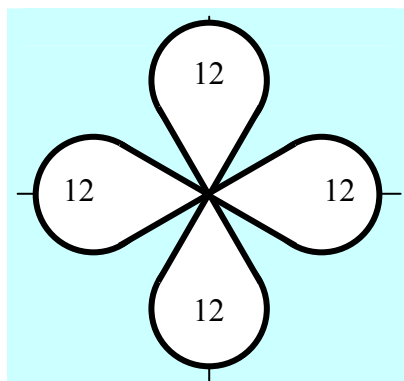


Рис.7.6 Энергетическая система спиралей Зодиака

$$0 \Leftrightarrow \pm[48 \equiv 24 - (-24)]. \quad (7.57)$$

В двенадцатимесячных календарях мы вводим високосный год, а в спектре солнечного света возникает волна длиной:

$$48\rho_5^2 = 4800 \equiv 4800\text{\AA} = \lambda, \quad (7.58)$$

которая делит синюю и голубую области спектра (табл.0.3). Третий Глаз открывается.

\*\*\*

Аммиак, а за ним и другие соединения азота, создают пульсацию Кундалини в Арупе (табл.7.8):

$$3 \Leftrightarrow 7/2. \quad (7.59)$$

Этот тип пульсации присущ не только аммиаку, но и планете Земля: **"Из недр Земли к её поверхности направлены энергетические потоки, которые ломают литосферу Земли на блоки с преимущественным коэффициентом 7/2"**, - констатирует директор института Геофизики АН СССР академик М.Н.Садовский [16].

В институте Геофизики АН СССР было также установлено, что **энергетические потоки, направленные из глубин Метагалактики к Земле, сгущают небесные тела с преимущественным коэффициентом 5/2** [16].

Потенциалы разлома литосферы и сгущение небесных тел, на мой взгляд, имеют общие Корни с аммиаком, предшествующим ему азотом и эфиром (7.59):

Вихри	Центро-бежные	Центростремительные		
Процессы	Разрушение оболочки	Сгущение небесных тел		
Потенциалы и их связь с числом оборотов Кундалини	$3 \Leftrightarrow 7/2$ аммиак - Земля	$2 \Leftrightarrow \frac{7}{2} - 1$ $= 5/2$	$1 \Leftrightarrow \frac{5}{2} - 1$ $= 3/2$	$0 \Leftrightarrow \frac{3}{2} - 1$ $= 1/2$
	3,5 оборота	2,5 оборота	1,5 оборота	Дзиан
Сумма	$\frac{7}{2} + \frac{5}{2} + \frac{3}{2} + \frac{1}{2} = 13.$			

(7.60)

В поле: "**Земля - соединения азота**", пульсация протекает в ритмике 13-ти лунной гравитации (7.60).

Что будет, если мы нарушим 13-ти лунную ритмику?

Ответ известен от водолазов. Быстрый подъём из глубин моря вызывает кессонную болезнь, то есть паралич за счёт отравления азотом.

Однако Ману-Мыслителя, то есть наших современников, кессонная болезнь не пугает, и он бодро живёт по 12-ти месячному календарю.

**Живя по двенадцати месячному Календарю, мы - люди, как водолазы, которых Закулиса слишком быстро тянет из глубины расово-этнических морей и океанов.**

## 7.4 Методология экспериментальной части

Продолжим изучение влияния **форм Пространства** (геометрии) на характеристики процессов и аппаратов, источником энергии для которых являются метagalактические волны Тонкой Энергии Единого Космоса.

За базовую **единицу Счисления** я предлагаю взять потенциал самосушей волны, равный

$$\sqrt{2} = 1,41421... \equiv Sc \pi/4 \equiv Csc \pi/4 \equiv 3,5/2,5 = 1,4. \quad (7.61)$$

Эта единица Счисления реализована как **размер толщины** в крестовине А.Ю.Родионова.

\*\*

Сохраним конструкцию прибора с лампой-трубкой дневного света (рис.7.2), но крестовины заменим квадратами и треугольниками (рис.7.7):

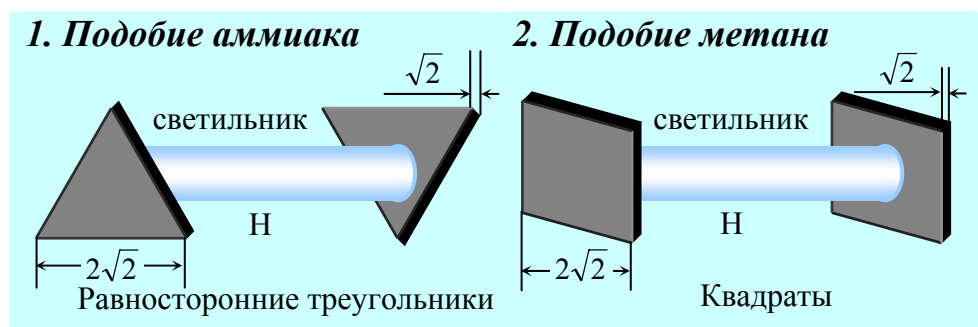


Рис.7.7 Конструкции экспериментальных светильников (рис.7.4)

В этих конструкциях длина газоразрядной лампы дневного света, то есть  $H$  (рис.7.7), может быть произвольной, ибо энергетический потенциал, возникающий между квадратами (треугольниками), будет удаляться в **форме Свечения**.

Таким образом, согласованность  $H$  с треугольниками и квадратами будет реализовываться в **интенсивности свечения**.



Интенсивность свечения должна проверяться параллельно вольтамперным характеристикам светильника, как это делалось при анализе крестовины А.Ю.Родионова.

\*\*

Квадраты и треугольники должны иметь толщину, равную  $\sqrt{2} = 1,4$  (рис.7.7).

Площадь квадрата должна быть подобна площади основания великой Пирамиды:

$$a^2 = 8; \quad a = 2\sqrt{2} \approx 2,83. \quad (7.62)$$

При работе с квадратами необходимо реализовывать два варианта:

1. Оба квадрата светильника равны между собой (рис.7.7).

В этом случае реализуются два встречных энергетических потока:

$$D = 4 \cdot \left( \text{diagram} \right) \cdot 4\pi = \pi(R=2)^2 \equiv 2\pi(R=2). \quad (7.63)$$

2. Один квадрат имеет сторону  $a = 2\sqrt{2}$ , а второй квадрат вписан в первый:

$$\begin{array}{c} \sqrt{2} \\ \swarrow \quad \searrow \\ \sqrt{2} \quad \text{diagram} \quad \sqrt{2} \\ \swarrow \quad \searrow \\ 2\sqrt{2} \end{array} \quad (7.64)$$

и имеет сторону квадрата, равную единице.

В этом случае (7.64) реализуется и излучается соотношение квадратов (потенциалов), вписанных в окружности с радиусами  $R = 2$  и  $r = \sqrt{2}$

$$\begin{array}{c} \text{diagram} \\ \sqrt{2} \end{array} \quad (7.65)$$

Смещение фокуса смещения в (7.65) по отношению к (7.63) должно дать информацию о влиянии внутреннего поля на внешнее в объёме великой Пирамиды.

\*\*

Светильники - подобия аммиака (рис.7.7) должны иметь лампы дневного света с теми же характеристиками, которые применялись для систем с квадратами.

**Различия в характеристиках ламп не позволяют сделать обобщение.**

\*\*

Геометрические размеры треугольников должны быть согласованы с геометрическими размерами квадратов:

1. **Равносторонний** треугольник имеет сторону, равную,  $a = 2\sqrt{2}$  и толщину  $\sqrt{2}$ .

2. **Равносторонний** треугольник имеет сторону, равную стороне вписанного квадрата (7.64) и толщину  $\sqrt{2}$ .

\*\*

Экспериментальная часть работы, независимо от наличия Свечения (в любом случае снимаются вольтамперные характеристики светильника), должна использовать комбинаторику: квадрат - квадрат, треугольник - треугольник, треугольник - квадрат.

Всего будет использовано два типа треугольников и два типа квадратов (четыре элемента), где в каждом эксперименте на светильнике участвуют два элемента.

Количество экспериментов будет равно числу сочетаний из четырёх по два:

$$C_4^2 = \frac{4!}{(4-2)!} = \frac{1 \cdot 2 \cdot 3 \cdot 4}{1 \cdot 2} = 12. \quad (7.62)$$

Количество экспериментов должно быть увеличено в три раза, так как необходимо изучить влияние поляризации. Для этого необходимо развернуть один элемент относительно другого один раз на угол  $\pi/4$ , второй на  $\pi/2$ .

## **Глава 8**

### **Мировое Яйцо**

### **как Капля Ядра в Невесомости**

#### **8.1 Пульсация Сознания и Подсознания**

Институт Геофизики АН СССР, обрабатывая данные о разломах литосферы Земли на блоки и сгущении Небесных Тел вокруг Земли, получил данные без всякой белой чёрной Магии и Мистических Парадигм [16].

Обработка банка статистических данных показывала, что литосфера Земли ломается на блоки с преимущественным коэффициентом  $7/2 = 3,5$ , а Небесные Тела сгущаются с преимущественным коэффициентом  $5/2 = 2,5$  [16].

Специалисты института, получив коэффициенты 3,5 и 2,5, не смогли дать объяснение природе энергетических потоков из Недр Земли к литосфере и из Глубин Метагалактики к Земле.

В то время (1985 год) я занимался электрон-позитронным взаимодействием и получил те же самые коэффициенты. Но я также не понимал их природы.

Моя встреча с академиком М.А.Садовским, автором статьи "Голос Земли" [16], нам ничего не прояснила.

Однако сегодня (в 2005 году) вырисовывается стройная **Закономерность Единого Космоса, связанная с разломами оболочек сгустков и сгущением небесных тел вокруг ядер.**

Существование закономерностей разломов литосфер сгустков и сгущение небесных тел вокруг ядер отвечает на вопрос: **"Почему Единый Космос имеет планетарную структуру своих микро-макро миров".**

Перехожу к доказательному объяснению.

\*\*

Коэффициенты разлома литосферы и сгущения небесных тел являются потенциал - эквивалентами 3,5 витков Кундалини при расширении и 2,5 витков спирали Кундалини при сжатии:

Сгусток Кундалини	Разломы литосфер	Сгущение небесных тел	Среда	(8.1)
Число витков Кундалини	3,5 Расширение	2,5 Сжатие	$\pm \int_{2,5}^{3,5} \varphi d\varphi = \pm 3$ Свет, Арупа.	

Процессы мультиплетности (разломы) и синтеза (сгущения) протекают по Единой Энергетике, подобной медитации в солнечно-лунных рядах, где восемь - потенциал Свето-Дателя, а 140 - постоянная медитации (табл.8.1).

Таблица 8.1  
**Сгущение Кундалини Чакрами в поле свето-Дателя**

Ря- ды	Солнеч- ный	1+	2+	3+	4+	5+	6+	7+	8=	36
	Лунный	7+	6+	5+	4+	3+	2+	1+	0=	28
Свето-Датель		8	8	8	8	8	8	8	8=	64
Чак- ры	№№	I	II	III	IV	V	VI	VII	-	$Const =$
	Расши- рение	7/4	7/2	7	14	28	56	112		$\frac{7}{4} \cdot 80 =$
	сжатие	80	40	20	10	5	5/2	5/4		$\dots 112 \cdot \frac{5}{4} = 140$
Тянь		$(140 \cdot 8) : (140 : 8) = 1120 : 175 = 6,4.$								

Взаимосвязь постоянной Чакры с потенциалом 140 и Свето-Дателя с потенциалом 8 формирует гравитационно-электромагнитное взаимодействие (табл.8.1):

$$140 \cdot 8 = 1120 \equiv 10 \cdot (7 \sqrt{qq^*} \equiv 8 \sqrt{\mu\mu^*} \equiv 4 \sqrt{\rho\rho^*}), \quad (8.2)$$

а затем пальму во взаимодействиях света (табл.8.1).

$$140 : 8 = \frac{7}{4} \cdot 10^2 \equiv \left( \frac{\rho}{q} \equiv \frac{\rho^*}{q^*} \equiv \sqrt{\frac{\rho\rho^*}{qq^*}} \right) \cdot \rho_5^2. \quad (8.3)$$

Как следствие контактов постоянной Чакр и Свето-Дателя возникает **Зародыш Тянь** с потенциалом 6,4 (табл.8.1).

**Появляется зародыш ядра планетарной системы.**

\*\*

**Книга Перемен является классикой Магии Востока.**

Однако Мистики Магии в контексте расшифровки слова **Магия**, как **Моя Власть**, в Книге Перемен нет.

В конечном счете, Книга Перемен описывает энергетику формирования трёхмерного Пространства и шесть степеней свободы (направления движений) в этом трёхмерном Пространстве (табл.8.2).

Таблица 8.2

### Образование трёхмерного Пространства волнами

Формы волн		Линей- ные	Поверхностные	Объёмные	Суммы
Расширение - сжатие		$\frac{c}{\omega_0} \Leftrightarrow \frac{\omega_0}{c}$	$\left(\frac{c}{\omega_0}\right)^2 \Leftrightarrow \left(\frac{\omega_0}{c}\right)^2$	$\left(\frac{c}{\omega_0}\right)^3 \Leftrightarrow \left(\frac{\omega_0}{c}\right)^3$	
Потенциалы		$2 \Leftrightarrow 1/2$	$4 \Leftrightarrow 1/4$	$8 \Leftrightarrow 1/8$	$14 \Leftrightarrow 7/8$ Магнетизм
Равно- весие	Резонанс	$4 \Leftrightarrow 1$ Рупа	$16 \Leftrightarrow 1$ Электричество	$64 \Leftrightarrow 1$ Тянь	$84 \Leftrightarrow 3$ Спирали
	Антире- зонанс	$3 \Leftrightarrow 0$ Арупа	$15 \Leftrightarrow 0$ Эл/магнетизм	$63 \Leftrightarrow 0$ Геномы	$81 \Leftrightarrow 0$ Арупа.

При сгущении метagalактических волн вечной тьмы в трёхмерное Пространство без всякой магической Мистики и сопутствующих Мистерий происходит следующее (табл.8.2):

**1. Антирезонансное равновесие линейных волн при расширении-сжатии формирует Арупу, а резонансное - Рупу (табл.8.2).**

**2. Антирезонансное равновесие поверхностных волн даёт начало электромагнетизму (табл.8.2).**

$$0 \Leftrightarrow 15 \equiv (16+14) \cdot 1/2 \equiv (\sqrt{qq^*} + \sqrt{\mu\mu^*}) \cdot \left( \pm \int_0^1 \varphi d\varphi \right), \quad (8.4)$$

**а резонансное равновесие формирует электрическую поверхность (табл.8.2).**

$$1 \Leftrightarrow 16 = \sqrt{qq^*}. \quad (8.5)$$

**3. Резонансное равновесие объёмных волн формирует сгусток Тянь (табл.8.2).**

$$1 \Leftrightarrow 64 \equiv \text{Тянь}, \quad (8.6)$$

**а антирезонансное является источником возникновения Периодической Системы Геномов (табл.8.2).**

$$0 \Leftrightarrow 63 \equiv \text{Геномы} \equiv \int_{\sqrt{2}}^{8\sqrt{2}} \varphi d\varphi. \quad (8.7)$$

**4. Суммарный энергетический процесс возникновения трёхмерного Пространства путём сгущения волн сопровождается:**

- появлением магнетизма в среде с потенциалом, равным половине пальмы (табл.8.2):

$$\sqrt{\mu\mu^*} \Leftrightarrow \frac{7}{8} \equiv \frac{7}{4} \cdot \frac{1}{2} \equiv \left( \frac{\rho}{q} \equiv \frac{\rho^*}{q^*} \equiv \sqrt{\frac{\rho\rho^*}{qq^*}} \right) \cdot \left( \pm \int_0^1 \varphi d\varphi \right); \quad (8.8)$$

- возникновением в Арупе резонанса Кундалини, Зодиака, спирали которых пульсируют резонансно ( $T_0\tau = 12$ ) - антирезонансном ( $T_0 + \tau = 7$ ) режиме (табл.8.2):

Арупа	Изомерия сердца	Резонанс-антирезонанс спирали Зодиака-Кундалини
$\tau = 3$	$42 - (-42) = 84$	$(12 \equiv T_0 \cdot \tau) \times (T_0 + \tau = 7) \equiv 84,$
где $84 : 3 = 18.$		

(8.9)

- переход от спиралей Кундалини - Зодиака при резонансе (8.9) к Арупе в степени Рупы при антирезонансе (табл.8.2):

$$0 \Leftrightarrow 81 \equiv 3^4 \equiv \tau^{T_0}. \quad (8.10)$$

**5. Любое трёхмерное Пространство формируется пульсирующим точечным участком волны света в самосущих волнах, и эта пульсация определяет законы Единого Космоса.**

\*  
\*\*

Микро-макро миры планетарных сгустков Единого Космоса существуют в трёхмерном Пространстве пульсируя (табл.8.3).

Таблица 8.3

#### Излучение волн сгустком-излучателем

Излучаемые волны		Линейные	Поверхностные	Объёмные	Суммы
$c^3/\omega_0^3$ - излучатель		$\frac{c^3}{\omega_0^3} \Leftrightarrow \frac{\omega_0}{c}$	$\frac{c^3}{\omega_0^3} \Leftrightarrow \frac{\omega_0^2}{c^2}$	$\frac{c^3}{\omega_0^3} \Leftrightarrow \frac{\omega_0^3}{c^3}$	
Колебания		$8 \Leftrightarrow 1/2$	$8 \Leftrightarrow 1/4$	$8 \Leftrightarrow 1/8$	$3 \cdot 8 \Leftrightarrow 7/8$
Равно-весие	Резонанс	$16 \Leftrightarrow 1$ электричество	$32 \Leftrightarrow 1$ Цинь	$64 \Leftrightarrow 1$ Тянь	$112 \Leftrightarrow 3$
	Антирезонанс	$15 \Leftrightarrow 0$ эл/магнетизм	$31 \Leftrightarrow 0$ в Круге Универсума	$63 \Leftrightarrow 0$ геномы	$109 \Leftrightarrow 0$ .

Сделаем выводы:

1. Излучение расширяющимся сгустком в трёхмерном Пространстве **линейных сжатых волн формирует в резонансе электрическое поле** (табл.8.3).

$$1 \Leftrightarrow 16 \equiv \sqrt{qq^*}, \quad (8.11)$$

**но при антирезонансе электрическое поле (8.11) трансформируется в электромагнитное** (табл.8.3):

$$0 \Leftrightarrow 15 \equiv (16+14) \cdot (\pm 1/2) \equiv (\sqrt{qq^*} + \sqrt{\mu\mu^*}) \cdot \left( \pm \int_0^1 \varphi d\varphi \right). \quad (8.12)$$

2. Излучение расширяющимся сгустком поверхностных волн (например радиоволн или волн света) является основой передающе-принимающих систем Связи (табл.8.3).

**Резонанс в момент излучения формирует над сгустком-излучателем поле с потенциал - эквивалентом небесам Цинь** (табл.8.3):

$$1 \Leftrightarrow 32 \equiv \text{Цинь} \equiv 8 \cdot 4. \quad (8.13)$$

Переход к антирезонансу приводит к появлению потенциала, равного 31 (8.13):

$$0 \Leftrightarrow 31 \equiv \text{Цинь} - 1 \equiv \text{Луна} + 1. \quad (8.14)$$

Потенциал 31 показан Христом в **Откровениях Круга Универсума Иоанна Богослова** [6].

Более того, потенциал 31 связан с вершиной Пирамиды "Вавилонская Башня" ( $30 = 31 - 1$ ) и обожествлением шумерами Луны [1], а также с чакрой Третий Глаз (табл.8.3):



Цис-изомер Цинь	Среда		Третий Глаз		Среда	Транс-изомер Цинь				
			Бог Луны	Богиня Луны						
32	↔	31	↔	30	↔	-30	↔	-31	↔	-32.

(8.15)

Антирезонанс Цинь и сред формирует эквиваленты цис-транс изомерии геномов (8.15):

$$\pm(32 + 31) = \pm 63, \quad (8.16)$$

а воздействие на геномы электрического поля приводит к формированию постоянной Вселенной по водороду (8.16):

$$\pm 63 \cdot 16 \equiv T_o^2 \equiv \pm 63 \sqrt{qq}^* = \pm 1008. \quad (8.17)$$

Появление постоянной Вселенной по водороду (8.17) сопровождается резонансом лунных точек (8.15):

$$30 \cdot (-30) = -900 \equiv -[(\Delta K = 1400) - (\Delta \Phi = 800)]. \quad (8.18)$$

Возникает точка - носитель спектра света (Радуга, Аура и так далее).

Чакра усваивает энергию Космоса. Создаётся человек Воли и Йоги [4].

**3. Периодическая система геномов формируется также при антирезонансном поглощении объёмных волн (табл.8.3).**

Дуализм возникновения геномов наследственности из Цинь и Янь предопределяет реинкарнацию, то есть рождения в Жизни до Жизни и в Жизни (8.16, табл.8.3):

Геномы наследственности		
Жизнь до Жизни	$\pm(32+31) = \pm 63$	Цинь в среде
Жизнь	$0 \Leftrightarrow 63$	Тянь.

(8.19)

В поле (8.19) гармонические колебания Тонких самосущих Волн вечной тьмы приводят к формированию периодических систем геномов (антирезонанс) и сгустков, начало которым даёт периодическая система химических элементов (табл.8.3):

Пульсация Тянь: начало формирования Периодических Систем			
	Колебание	Режим	Результаты
Геномы	$\pm 63 \Leftrightarrow 0$	Антирезонанс	Периодическая система геномов
Сгустки	$\pm 64 \Leftrightarrow 1$	Резонанс	Периодическая система сгустков.

(8.20)

Периодические системы сгустков развиваются в условиях резонансно-антирезонансных колебаний Тянь в микро-макро мирах, создавая периодические системы элементарных частиц, атомов-элементов, молекулярных структур и Звёздного Неба в Космосе Невесомости.

**4. Периодические Системы существуют в Движении.**

*Движение является переходом из одной формы Энергии в другую.*

Переход Энергии из одной формы в другую происходит в соответствии с законом перехода Количества в Качество.

Планомерно-равномерное увеличение Количества Энергии мы называем Эволюцией.

Эволюция характеризуется скоростью ( $v$ ) равномерного движения процесса:

Скорости изменения форм Энергии при Эволюции				
Параметры	Количество Энергии	Продолжи- тельности	Скорость	
			Резонанс	Антирезонанс
Потен- циалы	$Q_x$	$\tau_x$	$v = \frac{Q_x}{\tau_x} = 1$	$\Delta v = Q_x - \tau_x = 0.$

(8.21)

Эволюционный характер изменения Форм Энергии всегда **конечен** и сменяется переходом **Количества в Качество**.

**Количественно-качественный переход неизбежен как в Природе, так и в Социуме Единого Космоса.**


**Переход Количества в Качество всегда происходит скачкообразно: в Социуме - это Революция, в Природе - взрыв.**

**Взрывом является процесс мгновенного перехода Энергии внутреннего поля замкнутой энергетической системы в окружающую среду.**

По своей структуре взрывы бывают экзотермические и эндотермические.

Экзотермический взрыв протекает **с разрушением оболочки** замкнутой энергетической системы и переходом энергии внутреннего поля в окружающую среду.

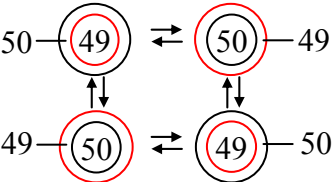
Пределами экзотермического взрыва являются термоядерные взрывы, возникающие в результате слияния двух полукритических масс, обладающих оболочками с потенциалами 49 и внутренним полем с потенциалом 49 (8.22):

Условия экзотермического взрыва	
Оболочки	Приведённая пульсация
 <p>полукретические массы</p>	$\frac{49 + 49}{49 \cdot 49} \Leftrightarrow \frac{49 \cdot 49}{49 + 49} \equiv \frac{2}{49} \Leftrightarrow \frac{49}{2} \quad (8.22)$ <p> <math>4 \equiv 49^2 \equiv 2401</math> (Рупа)  <math>3 \equiv 2400</math> (Арупа). </p>

**Эндотермический взрыв протекает с сохранением оболочки**, когда энергия внутреннего поля попадает в окружающую среду за счёт выворачивания оболочки наизнанку.

Такой процесс называется **инверсией**.

Инверсионной пульсацией обладают свет, Кундалини, Зодиак, молекулы аммиака и любые энергетические изомерические системы.

Условия эндотермического взрыва (инверсия)	
Инверсия Цинь	Антирезонанс приведённой пульсации
	$\frac{49}{50} \Leftrightarrow \frac{50}{49} \quad 49^2 \Leftrightarrow 50^2 \equiv 2500 \quad (8.23)$ <p> <math>99 \equiv 50^2 - 49^2 \equiv 2500 - 2401.</math> </p>

Взрывной характер приведённой пульсации инверсионных процессов сказывается на Подсознании, пульсирующем, как Небеса Цинь с частотой двадцать пять кадров в Единицу Продолжительности (8.23), а двадцать четыре кадра связывают Арупу **Сознания** (8.22):

Энергетическое Единство Сознания и Подсознания		
Поля	Подсознание	Сознание
Кванты	$50^2 = 2500$	$49^2 - 1 = 2400$
Частота кадров	25	24
Взаимодействия	$2500:25 = 10^2 \Leftrightarrow 2400:24 \equiv 10^2.$	

(8.24)

Энергетическое Единство Подсознания и Сознания с Небесами - Цинь проявляет себя в пульсации (8.24):

$$2500/25 = 10^2 \Leftrightarrow 10^{-2} \equiv 24/2400, \quad (8.25)$$

в соответствии с которой в чакре Третий Глаз при  $\lambda = 4800\text{Å}$  и  $q\cdot c$  появляется биоток силой  $I = 10^{-4} A$ , и индукция с потенциалом  $10^4 I/A$ . Аналогичная сила тока и индукция появляются в магнитных ( $\mu\cdot c$ ) полях при  $\lambda = 4200\text{Å}$ .

Смещение длин волн в магнитном поле относительно электрического определяется неравенством:

Электромагнетизм Пространства: резонанс		
Поля	Тянь в оболочке	Поля
электрическое	$\frac{4800\text{Å}}{4200\text{Å}} \equiv \frac{8}{7} \Leftrightarrow \frac{7}{8} \equiv \frac{4200\text{Å}}{4800\text{Å}}$	магнитное
магнитное		электрическое
Колебание	$64 \Leftrightarrow 49 \Leftrightarrow 1/49 \Leftrightarrow 1/64$	Колебание.

(8.26)

Неравновесное энергетическое поле (8.26) компенсируется появлением резонансного внутреннего поля света, имеющего пять уровней:

Электромагнетизм и внутреннее поле света				
Поля Процессы	Электри- ческое	Магнитное	Электро- магнитное	Отно- шение
Сумма	4800Å	+	4200Å	= 9000Å
Разность	4800Å	-	4200Å	= 600Å
Колебания	$\frac{\text{Сумма}}{\text{Разность}} = 15 \Leftrightarrow \frac{1}{15} = \frac{\text{Разность}}{\text{Сумма}}$			
Внутреннее поле света	В излучателе		В луче	В плазме
	$\frac{8}{7} \cdot 15 = \frac{120}{7} = 5! \Leftrightarrow \frac{1}{5!} = \frac{1}{120} = \frac{7}{8 \cdot 15}$		$\frac{1}{5!} = \frac{1}{120} = \frac{7}{8 \cdot 15}$	$120^2 \Leftrightarrow 7^2$ $14400 \Leftrightarrow 49.$
	$5! = 1 \cdot 2 \cdot 3 \cdot 4 \cdot 5 = 120$			

(8.27)

Поверхность сгустка в плазме колеблется (8.27):

$$14400 \Leftrightarrow 49 \pm 1. \quad (8.28)$$

Над поверхностью ядра появляются сине-голубые Небеса Цинь. Возникает Чакра Третий Глаз:

Сине-голубая Цинь. Чакра Третий Глаз		
Поля	Сине-голубая область спектра	Спираль Зодиака
Потенциалы	$\pm \frac{14400}{49-1} = \pm 300 \equiv$ $\Delta C = \Delta \Gamma \equiv 300\text{Å}$	$\pm \frac{14400}{49+1} = \pm 288 =$ $\pm 2 \cdot 12^2 \equiv \pm 2 T_0^2 \tau^2.$

(8.29)

Энергетика чакры Третий Глаз специфична тем, что связана со спиралью Кундалини и её оболочкой (8.29):

Изменение Кундалини - Зодиака в чакре Третий Глаз			(8.30)
Разность: спираль Зодиака	Сумма: спираль Зодиака в оболочке	Произведение: двойная спираль Зодиака в поле света	
$K_1=300-288=12$	$K_2=300+288=12\cdot 49$	$K_3=300\times 288=12^2\cdot 600.$	

Наши **Предки**: люди Воли и йоги, создавшие великую Цивилизацию, **знали**, а наши **Потомки**, будущие люди Воли и Йоги, **будут знать**, что при медитации возникает **Свет в оболочке** (8.30):

$\frac{K_3}{K_1 K_2} = \frac{12^2 \cdot 600}{12^2 \cdot 49} = \frac{600}{49} \quad \Leftrightarrow \quad \frac{49}{600} \equiv \frac{K_1 K_2}{K_3};$ $\Delta B \cdot \rho_5^2 = 3600 \cdot 10^2 \quad \Leftrightarrow \quad 49^2.$	(8.31)
Свет	Оболочка.

По своей физической сущности **светом в оболочке** является **Ядро** (8.31).

Это Ядро в сгустке может быть **экзотермическим**, обладающим взаимодействиями типа  $\lg \rho_3 \rho_4 / \rho_1 = 50$ , и **эндотермическими** - типа  $\lg \rho_1 / \rho_3 \rho_4 = -50$ .

Наличие белого солнечного света регулирует термию Единого Космоса (8.31):

$$\Delta B \equiv 3600 \Leftrightarrow 49^2 \cdot 10^{-2} \cdot [50 - (-50)] \equiv 49^2. \quad (8.32)$$

## 8.2 Единый Космос как Подobie электромагнитной волны света

Наше рождение в Жизнь из Жизни до Жизни сопровождается сменой среды, которой мы дышим.

В Лоне Матери, будучи Зародышем-Плодом, мы находимся в **водах Лона Матери**, и "дышим", поглощая непосредственно Тонкую Энергию и питательные элементы их жидких сред.

**Родившись на Свет Жизни, мы начинаем дышать воздухом.**

Для того, чтобы новорождённый перешёл на дыхание воздухом, часто необходимо вмешательство: шлепок по попе, искусственное дыхание и так далее.

Такие **механические манипуляции в помощи новорождённому являются Подobieм силы тока в пусковой момент начала Жизни.**

\*\*

**Биологическая Жизнь**, как правило, проходящая в суеде вокруг навоза от золотого тельца, часто нарушается психическими или физическими травмами.

Некоторым из нас, Ману-Мыслителям, **травмы открывают чакру Третий Глаз**: человек начинает "ощущать-видеть" работающие в жидкой среде организма внутренние органы своего тела и органы других людей.

**Переход к ясновидению работы внутренних органов живых организмов означает восстановление в нас функциональных способностей центральной нервной системы, которой она обладала в утробный период, будучи Зародышем и Плодом в Лоне Матери.**



**Закон развития Рас**, данный нам великой Цивилизацией: "мечты существующей Расы реализуются делами последующей Расы; и закон Г.Менделя о расщеплении генной наследственности: **генная наследственность расщепляется в отношении 1:3** через два поколения, - схожи между собой.

Начало этим законам даёт структура электромагнитной волны-частицы света:

Структура электромагнитной волны-частицы света		(8.33)
Отношение 1:3	Через два поколения	
$E_{\lambda}c = 1 \Leftrightarrow \varepsilon_0 \cdot \mu_0 \cdot c^2 = 1 \Leftrightarrow m_c c = 1$	$E_{\lambda}c \Leftrightarrow \varepsilon_0 \cdot \mu_0 \cdot c^2 \Leftrightarrow m_c c$ ←два поколения→	

В структуре электромагнитной волны-частицы света **материальным является частица света; волна и электромагнитная среда относится по своей форме к ментальной энергии** (8.33).

Отношение частицы света к общей энергии света соответствует 1:3, так как:

$$(m_c c + \varepsilon_0 \cdot \mu_0 \cdot c^2 = E_{\lambda} c) : m_c c = 3:1, \quad (8.34)$$

и частица света появляется всякий раз после появления волны света ( $E_{\lambda} c = 1$ ) и электромагнитной среды ( $\varepsilon_0 \cdot \mu_0 \cdot c^2$ ), которые являются энергетическим Подобием - потенциалом двух поколений наследственности (8.33).

Единый Космос повторяет структуру электромагнитной волны-частицы света (8.33). Поэтому в Едином Космосе на долю Материи приходится 1/3 всей Энергии, а на долю Тонкой Энергии - две трети.

\*

\*\*

**Закон развития Рас связан с законом расщепления генной наследственности Эволюцией.**

Эволюция не может быть только материалистической, или сугубо духовной.

Эволюция, как структура Света, несёт в себе ментально-духовные и материалистические Начала, соотносящиеся как кинетическая и потенциальная энергия, то есть в отношении 2:1 или

$$(E_{\lambda}c + \varepsilon_0 \cdot \mu_0 \cdot c^2 = 2) : (m_e c = 1). \quad (8.35)$$

Формами Эволюции являются Жизнь до (после) Жизни и биологическая материальная Жизнь.

Находясь в Форме Тонкой Энергии Жизни до (после) Жизни, мы много Познаём, но сделать можем мало, ибо лишены Форм и Гравитации.

Вновь и вновь возвращаясь в Жизнь, мы забываем То, Что узнали в Жизни до Жизни, и растрчиваем Способность к Творчеству на пустые дела быстротекущей жизни.

**Тем не менее, коэффициент полезного действия реинкарнаций неуклонно возрастает.**

\*

\*\*

Процессы в полях Тонких Энергий волны света и электромагнитной среды протекают с Продолжительностью Арупы ( $\tau = 3$ ), а в полях Материи с Продолжительностью Рупы ( $T_0 = 4$ ).

В электромагнитной волне-частице света, а затем во всём Едином Космосе, возникают резонансно-антирезонансные потенциалы (табл.8.4).

**Формирование Единого Космоса  
электромагнитной волной света**

Поля Режимы	Арупа	Рупа	Свет
Антирезонанс	$(E_{\lambda}c + \varepsilon_0\mu_0c^2) \cdot \tau$	$m_c \cdot T_0$	$= 6+4 = 10$
Резонанс	$E_{\lambda}c\tau \times \varepsilon_0\mu_0c^2 \times \tau$	$m_c \cdot T_0$	$= 3 \cdot 3 \cdot 4 = 36$
Свободная Энергия: разность	$  \begin{array}{r}  - \quad 36 \equiv 8 + 7 + 6 + 5 + 4 + 3 + 2 + 1 \\  \quad 10 \equiv \quad \quad \quad 4 + 3 + 2 + 1 \\  \hline  26 \equiv 8 + 7 + 6 + 5  \end{array}  $		
Часы Космоса	$  \pm 26 \int_0^1 \varphi d\varphi = \pm 13 \equiv \pm (7^2 - 6^2) \equiv \pm \frac{1}{3} (8^2 - 5^2).  $		

Полученные результаты являются квинтэссенцией всей науки о Едином космосе (табл.8.4). Поэтому рассмотрим их подробнее.

\*\*

Свет - инструмент Творца, Учителя, Бога, Высшего Разума или Сущности с любым из этих названий.

Высший Разум, применяя Мысль, Память и Воображение, используя инструмент - Свет, творит из материала самосущих волн вечной тьмы множественность Форм Энергии Единого Космоса как в Живом, так и в неживом, как в микро, так и в макро Вселенных.

Законы Единого Космоса едины во Всём и Всегда и определяются взаимодействиями между собой фоонов (волна света), фотонов (частица света) и электромагнитной среды между ними (табл.8.4).

\*\*

Единый Космос и образующая его электромагнитная волна света существуют в Движении - пульсации.

Пульсация включает в себя сжатие и расширение точечного участка волны света и Единого Космоса в целом.

Пульсация связана с резонансом любых энергетических полей.

**Резонанс подобен вдоху энергии в систему**, в которой повышается концентрация (плотность) энергии, интенсифицируются взаимодействия, проявляются излучения света с разностью длин волн в  $3600\text{\AA}$  (табл.8.4).

Возникает расширяющийся энергетический ряд (табл.8.4):

Трансформация кванта света			(8.36)
Резонансная точка-излучатель	Излучённый квант	Солнечный ряд	
$3 \cdot 3 \cdot 4$	$= 36$	$= 1+2+3+4+5+6+7+8.$	

Возникновение солнечного энергетического ряда происходит за счёт расщепления - мультиплетности кванта солнечного белого света с потенциалом 36, а сам излучённый белый квант является производной точки - излучателя с потенциалом  $3 \cdot 3 \cdot 4$  (8.36, табл.8.4).

\*\*

Антирезонанс подобен выдоху энергии из системы, в которой потенциал точки излучателя снижается от

$$36 = 3 \cdot 3 \cdot 4 \rightarrow 3+3+4 = 10. \quad (8.37)$$

Возникает разность  $36 - 10 = 26$  и Единый Космос начинает отсчитывать Единое "Время" (чередование Продолжительностей перехода одной формы Энергии в другую) по 13-ти лунному Календарю Цивилизации Майи (табл.8.4).

\*

\*\*

Вдох (резонанс) и выдох (антирезонанс) - это противоположно направленные процессы, энергетику которых можно записать в виде:

Динамика пульсации электромагнитной волны света				
Точка-излучатель	Потенциал излучателя	Форми-ровщики	Связь	Переход к биоклетке
Резонанс	$3 \cdot 3 \cdot 4 = 36$	$1+2+3+4+5+6+7+8$		
Антирезонанс	$3+3+4=10$	$4+3+2+1$		$6+7+8=21$
Сумма и про-изведение	$36 \cdot 10 = 360 \equiv 360^\circ \equiv 2\pi$	$5+5+5+5=20 \equiv \Delta K / \Delta J$		$21 \equiv 5+7+(9+0)$ биоклетка.

(8.38)

Динамика пульсации электромагнитной волны света будет включать два встречных потока на первых четырёх уровнях (8.38).

Сумма на каждом из этих уровней будет иметь потенциал, равный пяти, и суммарный потенциал на четырёх уровнях, равный 20 (8.38).

Наличие потенциала 5 формирует **Энергию связи**, а потенциала 20 - отношение красной и жёлтой разности длин волн (8.38).

**Великая Цивилизация** называет эти первые четыре уровня в солнечном ряду формовщиками (8.38).

\*

\*\*

Сумма потенциалов формовщиков и пятого ряда ( $20+5 = 25$ ) предопределяет пульсацию с частотой 25 кадров в единицу продолжительности на уровне Подсознания, куда поступает Космическая Мысль:

<b>Пульсация Космической Мысли в Подсознании</b>	(8.39)
$\rho^* \cdot 25 = 28 \cdot 10^{20} \cdot 25 = 7 \cdot 10^{22} \equiv (T_o + \tau) \cdot 10^{22}.$	

Логарифмические волны, расходящиеся от пульсирующей Мысли, приводят к телепатии 22 букв Авраама ([16],  $\lg 10^{22} = 22$ ).

Общий логарифмический потенциал (8.39) связан с **Числом Авогадро (в грамм-моле)** содержится равное количество молекул:

$$A \approx 6,3 \cdot 10^{23} \equiv 7 \cdot 10^{22} = 0,7 \cdot 10^{23} \equiv (7 - 0,7) \cdot 10^{23}. \quad (8.40)$$

\*  
\*\*

Космическая Мысль переходит из Подсознания в Сознание и трансформируется в Воображение. Воображение в Сознании пульсирует с частотой 24 кадра в единицу Продолжительности:

<b>Пульсация Космического Воображения в Сознании</b>	(8.41)
$q^* \cdot 24 = 16 \cdot 10^{20} \cdot 24 = 384 \cdot 10^{20}.$	

Между космической Мыслью и космическим Воображением возникает разность потенциалов, базисом которой является скорость света, эквивалентная числу  $\pi$ :

<b>Космическая разность между Мыслью и Воображением</b>	(8.42)
$\rho^* \cdot 25 - q^* \cdot 24 = (700 - 384) \cdot 10^{20} = 3,16 \cdot 10^{22} \equiv \pi \cdot 10^{22} \equiv c \cdot 10^{22}$ при $\pi \approx 3,16.$	

\*  
\*\*

После нейтрализации формировщиков в окружающей среде возникает пятеричная связь, а затем энергетические уровни с потенциалами 6, 7 и 8 для солнечного ряда, и потенциалами 6 и 7 для лунного ряда (8.38).

Над любым сгустком появляются полярные вихри с потенциалами  $\pm 21$ , связанные с живым - неживым:

Полярные вихри над сгустками			(8.43)
Ряд \ Качество	Солнечный	Лунный	
Неживое	$\pm(6+7+8 = 21)$	$\pm(6+7 = 13)$	
Живое (субструктура клетки)	$\pm(5+7+(9+0) = 21)$ биоклетка	$\pm(5+7 = 12)$ нейрон.	

Высший Разум проявляет Себя на этом уровне в полной мере, творя из неживого живое (8.43).

\*  
\*\*

Великая Цивилизация без всяких магических или конъюнктурных секретных мистерий говорит нам, людям сегодняшней Земли, что происходит (8.38).

**"5. Когда в конце Пятого наступила долгая ночь, то Трёх, Четырёх и Пятиугольные были сжаты и отлиты в Шести и Семиугольные"** ([4], Теогенезис, Станца VI).

В лунном поле (8.43) возникла разность потенциалов:

$(6+7 = 13) \text{ угольные} - (3+4+5 = 12) \text{ угольные} = 1 \text{ угольные}$ $(6+7 = 13)^2 - (3+4+5 = 12)^2 = 25 \text{ угольные.}$
---

\*\*

**"6. Шесть Сыновей Фохата пришли чтобы закалить, уплотнить и направить Их в форму, соответствующую Чхайями Богов ([4], Теогенезис, Станца VI).**

Речь идёт о фононе и электромагнитной среде:

$$E_{\lambda}c \cdot \tau + \varepsilon_0 \mu_0 c^2 \cdot \tau = 3 + 3 = 6, \quad (8.44)$$

источнике божественной Кундалини.

Кундалини надо охладить (закалить) и сжать (уплотнить):

Сине-голубая спираль Кундалини			
Кундалини	Охлаждение	Уплотнение	Итог
$(E_{\lambda}c + \varepsilon_0 \mu_0 c^2) \cdot \tau = 6 \times$	$\lg \rho_1 \rho_2 = -25 \times$	$T_0 \omega_0 / c = 2 \times$	$= -300 \equiv \Delta\Gamma \equiv \Delta C.$

(8.45)

Возникает сине-голубая спираль Кундалини, а у людей сине-голубая чакра Третий Глаз (8.45).

\*\*

Свет и его спектр влияет на чередование продолжительностей по 13-ти лунному Календарю цивилизации Майи: красную и жёлтую недели каждого месяца можно связать с формировщиками ( $20 = \Delta K / \Delta J$ , 8.38), синюю неделю с Кундалини (8.45), а белая неделя характеризует сине-голубую в Рупе (8.45):

$$(\Delta\Gamma + \Delta C)^2 \equiv 3600 \cdot 10^2 \equiv \Delta B \cdot \rho_5^2. \quad (8.46)$$

Тринадцати лунный Календарь описывает **сгусток - радугу**, заключённую в **оболочку** и **излучающую в ворота двух полюсов** полярные вихри.



**"7. Две новые двери отворились из Конечности в Бесконечность (полярные вихри сгустка). Ясный белый луч Божественного Солнца светил сквозь только что открытые двери и не рассеивался. Поверхность когда-то Тёмной Звезды изменилась: она светила ярким светом. Её спутники - Колеса поймали лишь рассеянные лучи, поскольку они были последними в этой гонке" ([4], Теогенезис, Станца VI).**

Рассеянные Лучи - это Свето-Датель:

Солнечный ряд	1 + 2 + 3 + 4 + 5 + 6 + 7 + 8	36
Лунный ряд	7 + 6 + 5 + 4 + 3 + 2 + 1 + 0	28
Свето-Датель	8 + 8 + 8 + 8 + 8 + 8 + 8 + 8	64.

(8.47)

\*\*

Сгущение Свето-Дателя во взаимодействиях формирует Небеса - Цинь в их цис-транс изомерии (8.47):

Сгущение Свето-Дателя в Небеса - Цинь		
Изомеры	Цис-	Транс-
Потенциалы	$64 \cdot \lg \frac{\rho_3 \rho_4}{\rho_1} = 3200$	$64 \cdot \lg \frac{\rho_1}{\rho_3 \rho_4} = -3200 .$

(8.48)

Дальнейшее сгущение Небес - Цинь влечёт появление шаровой электрической молнии Воображения:

$$\pm 3200 \left( \lg \frac{\rho_3 \rho_4}{\rho_1} = 50 \right) = \pm 16 \cdot 10^4 \equiv \pm \sqrt{qq}^* \cdot 10^4 . \quad (8.49)$$

\*\*

Если бы я был мистиком, то сказал: **"Еврейский Бог, что творит Айн СОФ, равный 50".**

Но я не мистик, и моя задача не засекречивать **магическую Глупость**, а передать людям реальные Знания Законов Единого Космоса.

Начну с того, что Айн СОФ - это не Бог, а взаимодействия в эндотермии Космоса Невесомости и экзотермии Космоса Сгустков:

Термия	Экзо-	Эндо-	(8.50)
Взаимодействие	$K_{ЭК} = \lg \frac{\rho_3 \rho_4}{\rho_1} = 50$	$K_{ЭН} = \lg \frac{\rho_1}{\rho_3 \rho_4} = -50$	

А далее в поле Единого Космоса между Космосом Невесомости и Космосом Сгустков **возникает асимметрия**, вызванная термическим изменением в поле Свето-Дателя (табл.8.5).

Таблица 8.5

**Энергетическая асимметрия в Космосе  
Невесомости и Сгустков, вызванная термией (8.50)**

Термия		Экзо:	Эндо:	Антирезонанс	
Потенциалы		$K_{ЭК} = +50$	$K_{ЭН} = -50$	сум- ма	раз- ность
1	Свето-Датель	$64 \cdot 50 = 32 \cdot 10^2$	$64 \cdot (-50) = -32 \cdot 10^2$	0	$64 \cdot 10^2$
2	Небеса-Цинь	$32 \cdot 10^2 \cdot 50 = 16 \cdot 10^4$	$-32 \cdot 10^2 \cdot (-50) = 16 \cdot 10^4$	$32 \cdot 10^4$	0
3	Воображение	$16 \cdot 10^4 \cdot 50 = 8 \cdot 10^6$	$16 \cdot 10^4 \cdot (-50) = -8 \cdot 10^6$	0	$16 \cdot 10^6$
Эффект Кирлиан					
4	Аура	$8 \cdot 10^6 \cdot 50 = 4 \cdot 10^8$	$-8 \cdot 10^6 \cdot (-50) = 4 \cdot 10^8$	$8 \cdot 10^8$	0
5	Фотоны в люминофоре	$4 \cdot 10^8 \cdot 50 = 2 \cdot 10^{10}$	$4 \cdot 10^8 \cdot (-50) = -2 \cdot 10^{10}$	0	$4 \cdot 10^{10}$
6	Электромагнетизм	$\rho_3 = 2 \cdot 10^{10} \cdot 50 = 10^{12}$	$\rho_3 = -2 \cdot 10^{10} \cdot (-50) = 10^{12}$	$2 \cdot 10^{12}$	0.

На пятом уровне экзо-эндо термического воздействия возникают фотоны (табл.8.5).

Концентрация этих фотонов при антирезонансе составляет потенциал, равный  $4 \cdot 10^{10}$  (табл.8.5), а при резонансе число фотонов равно:

$$\frac{2 \cdot 10^{10} \cdot (-2 \cdot 10^{10})}{c^2/\omega_0^2 = T_0 = 4} \equiv -10^{20}. \quad (8.51)$$

Именно такая концентрация фотонов была установлена С.И.Вавиловым в пределах насыщения люминофора при трансформации солнечного света в люминесцентный.

\*\*

На шестом уровне сгущения рассеянного поля свето-Дателя возникают дальнодействующие антирезонансные взаимодействия с потенциалом  $2 \cdot 10^{12}$  (табл.8.5), эквивалентные эффективности электромагнитных взаимодействий.

**Колебания электромагнитных взаимодействий в области резонансного равновесия трансформируют электромагнетизм в гравитацию:**

Взаимосвязь гравитации и электромагнетизма			
Элек- тро- магне- тизм	$\rho_3 = 2 \cdot 10^{12} \int_0^1 \varphi d\varphi = 10^{12}$ электромагнетизм	$1 \times (-1) \Leftrightarrow -10^{12} = 2 \cdot 10^{12} \int_1^0 \varphi d\varphi$ равновесие	электромагнетизм
Грави- тация	1 равновесие	$-\frac{1}{10^{12}} \cdot \frac{1}{10^{12}} = -10^{-24}$ = $\rho_1$ - гравитация	-1 равновесие.

Сгущение полей с дальнедействующими электромагнитными взаимодействиями приводит к возникновению короткодействующих ядерных взаимодействий:  $2 \cdot 10^{12} \cdot (\pm 50) = \pm 10^{14} \equiv \pm \rho_4$ .

Таким образом, электромагнитная волна света, используя взаимодействия своих компонент и самосущей среды волн вечной тьмы, формирует Единый Космос по своему образу и подобию.

Важнейшим моментом при формировании *Единого Космоса* электромагнитной волной света является отношение суммы - разности сгущения волн (табл.8.6):

Неравновесная система колебаний при сгущении электромагнитной волны света и расщеплении сгустков ядра	
$\frac{\text{суммы}}{\text{разности}} \equiv \frac{32 \cdot 10^4 \cdot 8 \cdot 10^8 \cdot 2 \cdot 10^{12}}{64 \cdot 10^2 \cdot 16 \cdot 10^6 \cdot 4 \cdot 10^{10}} \equiv \frac{1}{8} 10^6 \Leftrightarrow$ $\Leftrightarrow 8 \cdot 10^{-6} \equiv \frac{64 \cdot 10^2 \cdot 16 \cdot 10^6 \cdot 4 \cdot 10^{10}}{32 \cdot 10^4 \cdot 8 \cdot 10^8 \cdot 2 \cdot 10^{12}} \equiv \frac{\text{разности}}{\text{суммы}};$ $\frac{1}{8} \cdot 10^6 \Leftrightarrow 8 \cdot 10^{-6},$	(8.53)
<p>где: <math>8^2</math> - сгусток Тянь,  <math>\pm 6 \equiv \lg 10^{\pm 6}</math> - Кундалини.</p>	

При сгущении волн, например в *Каплю* ядерного вещества, потенциальная энергия ядра является носителем Кундалини (8.53).

**Кундалини в Капле Ядра** проявляет себя при **высоких частотах**: при  $10^6$  Гц возникает свечение Ауры в форме эффекта Кирлиан, затем как электромагнитное взаимодействие ( $\rho_3 = 10^{6 \cdot 2} = 10^{12}$ ) и далее как гравитационное ( $\rho_1 = 10^{-6 \cdot 4} = 10^{-24}$ ) и ядерное ( $\rho_4 = 10^{14}$ ).

### 8.3 Трансформация Космических Мысли и Памяти в ядерном веществе

Формирование сгустка - Тянь с потенциалом 64 при сгущении электромагнитной волны света является следствием перехода **Количества в Качество**.

Переход **Количества в Качество** имеет бесконечную множественность Форм, но все формы перехода объединяет **характер движения объекта - субъекта в Пространстве**.

Например, электромагнитное колебание Космической Мысли ( $\rho^*$ ) со скоростью  $c \equiv \pi$ , или её полёт со скоростью  $c \equiv \pi$  в Пространстве формирует **гравитационный импульс**. Вращение Космической Мысли по квантованной орбите формирует **магнитный импульс**. В поле гравитационно-магнитного перехода принимает участие пульсирующий между Хаосом и Гармонией Космос (табл.8.6).

Таблица 8.6

**Гравитационно-магнитная взаимная трансформация**

Поля	Гравитация	Космос (пульсация)	Магнетизм	Энергия и ускорения
Потенциалы	$\rho^*c$	$\pm c \int_0^1 \varphi d\varphi \equiv$ $\pm c \left( \frac{1}{2} \right) \equiv \pm \omega_0$	$\mu^*c \equiv$ $\pm \rho^*\omega_0$	$\rho^*\mu^*c^2 \equiv$ $\pm(\rho^*)^2c \cdot \omega_0 \equiv$ $\pm(\rho^*)^2 \cdot c^2/2$
Процессы	Мысль из Космоса	Трансформация движения	Память Космоса	Притяжение-отталкивание.

Гравитационно-магнитная взаимная трансформация между Космической Мыслью и Памятью Космоса, протекающая в извечной пульсации Космоса между Хаосом и Гармонией приводит к появлению центробежно-центростремительных ускорений (табл.8.6).

**Центробежно-центростремительные ускорения, возникающие в недрах гравитационно-магнитной Капле Ядра, заставляют колебаться поверхность Ядра.**

Наша наука, **не зная пульсации**, скромно отвечает: ядро не имеет ярко выраженных границ [13].

Наша магия, **не понимая сущности колебательных процессов**, запускает философскую машину на все 729 оборотов [1, 2], а посвященные чёрно-белые *Маги* прогнозируют на болванчиках.

Наши эзотерики спокойны, ибо **уверены: Красота спасёт Мир.**

Наши Религии динамика колебания ядра и его поверхности не волнуют, так как они остаются в диапазоне традиционных жалоб и просьб: **Господи! Спаси и помилуй!**

\*\*

Уважаемый Читатель! **За изучение колебания Недр и поверхности ядра придётся братья нам с Вами:** если не мы, то кто? *Политики*? Но Землянам достаточно ядерных испытаний оружия и ядерных катастроф на атомных электростанциях.

\*\*

Для того , чтобы из Арупы Космических Мыслей и Памяти получить Рупу (Форму), необходимо прежде всего получить **Поверхность Рупы.**

В соответствии с законом сохранения энергии поверхности Рупы в трёхмерном Пространстве, **поверхность Рупы должна обладать эффектом мыльного пузыря: какую бы форму не принял мыльный пузырь, количество мыльного раствора, образующего его поверхность, должно оставаться постоянным.**

В формулировке эффекта мыльного пузыря количество мыльного раствора является эквивалентом **Энергии**.

\*\*

Наибольшей плотностью упаковки энергетической поверхности обладает поверхность сферы:

$$Q_{\text{ш}} = 4\pi \cdot R^2 \equiv T_0 \cdot c \cdot R^2, \quad (8.54)$$

ограничивающая объём сферы с тем же радиусом R:

$$V_{\text{ш}} = \frac{4}{3} \cdot \pi \cdot R^3 \equiv \frac{T_0}{\tau} \cdot c \cdot R^2, \quad (8.55)$$

где постоянная  $4\pi/3 \equiv 4,188... \approx 4,18...$  джоуля  $\approx 1$  термическая калория [14].

Связь Пространственной постоянной  $4\pi/3$  и термической калории не случайна и крайне полезна, так как даёт возможность пересмотреть термодинамические подходы к физико-химическим процессам.

Например, нам необходимо ответить на вопрос на сколько? и во сколько? раз отличается поверхность и объём энергетической системы с радиусом  $R = 2$ , эквивалентной газовой постоянной:

$$R = 2 \text{ кал} \equiv (C_p = 5 \text{ кал}) (C_v = 3 \text{ кал}), \quad (8.56)$$

где  $C_p$  и  $C_v$  - теплоёмкости идеальных газов в уравнении ( $pV = Rt$ ) Д.И. Менделеева.

С позиции эквивалентности **ТЕПЛА и ПРОСТРАНСТВА**, где  $4\pi/3 \equiv 1$  т.кал, а  $4\pi \equiv 3$  т.кал - вопрос решается элементарно просто (8.57):

К расчёту теплоёмкости идеальных газов и света				
Форма	Простран- ство	Тепло	Простран- ство	Тепло
Мыльный пузырь с радиус- вектором $R \equiv 2$ кал.	Поверх- ность сферы: $Q_{ш}=4\pi R^2$ $= 16\pi$	Калории: $k_{ш} =$ $3 \text{ кал} \cdot 2^2 =$ $12 \text{ кал}$	Объём сферы: $V_{ш} = \frac{4}{3} \pi \cdot R^3$ $= \frac{1}{3} \cdot 32\pi$	Калории: $k_v =$ $1 \text{ кал} \cdot 2^3 =$ $8 \text{ кал.}$

(8.57)

В поле света и идеальных газов **теплоёмкость между поверхностью и объёмом мыльного пузыря кванта света или молекулы газа** имеет разность, равную (8.57):

$$k_{ш} - k_v = 12 \text{ кал} - 8 \text{ кал} = 4 \text{ кал} \equiv \frac{C_p + C_v}{2}, \quad (8.58)$$

а отношение этих теплоёмкостей соответствует полутора оборотам Колеса Вселенной [4]:

$$k_{ш} : k_v = 12 \text{ кал} : 8 \text{ кал} = 3 : 2 = 1,5. \quad (8.59)$$

\*\*

Когда возникает необходимость перейти от тепла к Пространству, то нам лучше избавиться от **кривизны Пространства**, или числа  $\pi$  в формулах поверхности сферы и её объёма.

Природа избавляется от кривизны Пространства тогда, когда в Пространстве появляется волна-частица света:



Спрямление - искривление пространства светом				
Форма Пространства	Поверхность		Объём	
	Искривлённое	Спрямлённое	Искривлённое	Спрямлённое
Потенциалы	$Q_{III} = 4\pi \cdot R^2$	$E_{\lambda} \cdot Q_{III} = 4 \cdot R^2$	$V_{III} = \frac{4}{3} \cdot \pi \cdot R^3$	$m_c V_{III} = \frac{4}{3} R^3$

(8.60)

**Фотон (частица света) движется в искривлённом Пространстве Космоса прямолинейно потому, что его полёт в объёме Пространства спрямляет его собственную траекторию полёта.**

Излучённый когда-то яркой звездой, реликтовый фотон продолжает свой бесконечный прямолинейный полёт в Невесомости Космоса, хотя звезда-излучатель давно погасла.

Свой бесконечный прямолинейный полёт любой фотон прекратит, встретившись с гравитацией над сгустком: слабая гравитация искривит траекторию, мощная гравитация трансформирует космический холодный фотон в тепло.

\*\*

Масса фотона пульсирует и образует сгустки света:

Сгустки света	
Фотон ( $m_c$ )	Фонон ( $E_{\lambda}$ )
$m_c^* = 0,008$	$m_c^{**} = 0,002$

(8.61)

Фотоны будут прямолинейно лететь в объёме **Ару-пы (τ)** от точки излучателя до поля **собственного потен-циала  $m_c^*$** , создавая 4000 квантованных состояний (табл.8.7).

Фотоны будут создавать **Рупу ( $T_0 = 4$ ) электромаг-нитной оболочки**, создавая для себя 32000 квантованных состояний (табл.8.7).

Таблица 8.7

**Фотон-фононы: Рупа и Арупа  
квантованных состояний (вакансия, дырок, ...)**

Поля	Арупа объёма фотонов	Рупа оболочки фононов
Вакансии (дырки)	$K_A = \tau \cdot \frac{m_c V_{III}}{m_c^*} = \frac{4 \cdot 2^3}{0,008} = 4 \cdot 10^3$	$K_P = T_0 \cdot \frac{E_\gamma Q_{III}}{m_c^{**}} = \frac{64}{0,002} = 32 \cdot 10^3$
Ряды Вселенной	Лунный ряд: $(32 - 4 = 28) \cdot 10^3$	Солнечный ряд: $(32 + 4 = 36) \cdot 10^3$
Геномы Вселенной	$\frac{(32^2 - 4^2) \cdot 10^6}{32 \cdot 4 \cdot 10^6} \equiv \frac{1008 \cdot 10^6}{128 \cdot 10^6} \equiv \frac{63}{8}.$	

**При переходе магнитного поля ядерного вещест-ва к электрическому полю поверхности ядра:**

<b>Постоянная перехода к электрической поверхности</b>	(8.62)
$\frac{q}{\mu} \equiv \frac{q^*}{\mu^*} \equiv \sqrt{\frac{qq^*}{\mu\mu^*}} = \frac{16}{14} = \frac{8}{7} \equiv k_r,$	

геномы Вселенной (табл.8.7) пробуждаются, давая начало новой Жизни в каждой Капле Света (биоклетки) в форме субструктуры:

$$(9 + 0) \equiv \frac{63}{8} \cdot \frac{8}{7} = 9. \quad (8.63)$$

Энергетическая плотность поверхности увеличивается в девять раз по сравнению с энергетической плотностью объёма.

Происходит **Космическое Непорочное Зачатие**, то есть даётся начало Новой Жизни путём трансформации магнитной Арупы в электрическую Рупу.

\*\*

Великая Цивилизация веками обращала наше внимание на **непорочное зачатие**.

В индуизме "виновником" непорочного зачатия был слон, в христианстве - голубь, но сегодня мы должны понимать значимость аллегорий. Пора взрослеть.

\*\*

Пульсирующая гравитационно-магнитная энергия  $\rho^* \mu^* c^2$  (табл.8.6), проходя Арупу ( $\tau = 3$ ) объёма ядерного вещества ( $m_c E_\lambda$ ), достигает электрической поверхности Капли Ядра и имеет вакансии фононов, равные величине:

$$N_\lambda \equiv \tau^3 \frac{m_c E_\lambda \rho^* \mu^* c^2}{m_c^{**}} \equiv \frac{27 \cdot 28 \cdot 14 \cdot 10^{40}}{0,002} \equiv 5290 \cdot 10^{42} \equiv 5^4 \cdot 16 \cdot 10^{42} \equiv \sqrt{qq^*} \cdot 5^4 \cdot 10^{1/2}. \quad (8.64)$$

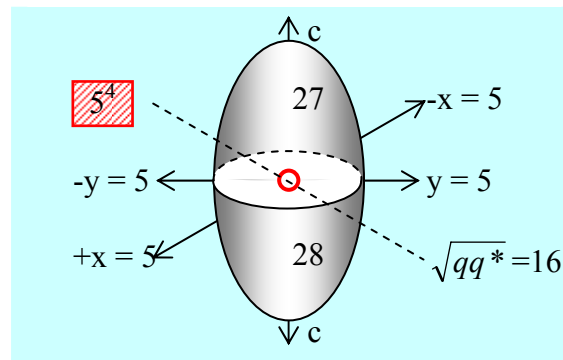


Рис.8.1 Формирование электрической поверхности Капли Ядра

При **антирезонансе** в поле фотон-вакансий (8.64) вокруг ядра возникает уже знакомое нам Свечение Тонкой Энергии с потенциалами полуэллипсоидов, равными 27 и 28 (рис.8.1).

Однако выражение (8.64) описывает резонансное состояние тонко-энергетического Свечения.

В условиях резонанса пятеричные связи, ранее распределённые по осям  $\pm x$  и  $\pm y$ , собираются в одну точку с потенциалом  $5^4$  (рис.8.1).

В течение периода  $T_0^2 = 16$  между резонансом и антирезонансом происходит формирование свободных пятеричных связей (**Пятеричный Лха** [3]):

<b>Фонон - вакансии резонансной точки</b> (рис.8.1)	
Резонанс	$\equiv \frac{(T_0^2 = 16) \cdot 5^4}{5 + 5 + 5 + 5} \equiv 500 \equiv \Delta\Phi.$
Антирезонанс	

(8.65)

Полученного потенциала - эквивалента пятистам фононов - вакансий достаточно, чтобы образовать разность длин волн фиолетовой области спектра света ( $\Delta\Phi = 500\text{\AA}$ ) или атома водорода:

$$(A_H \equiv 1/m_c^{**} = 1/0,002 = 500).$$

\*\*

Сжатая в резонансную точку поверхность тонко-энергетического Свечения (рис.8.1) по существу является точкой-излучателем, ибо **излучение происходит квантами и только при резонансном режиме.**

При антирезонансе во внутреннем поле энергетической системы протекает накопление энергии в течение Продолжительности, равной по величине излучаемому кванту:

$$\nu = \frac{\sqrt{qq^*}}{T_0^2} = \frac{16}{16} = 1. \quad (8.66)$$

\*  
\*\*

В целом энергия фонон - вакансий при формировании электрической поверхности (8.64, рис.8.1), равна:

$$N_{\lambda} = 5^4 \cdot 16 \cdot 10^{42} = 10^{46}. \quad (8.67)$$

\*  
\*\*

Попадая из Арупы в Рупу фонон - вакансии трансформируются в фотон - вакансию:

<b>Взаимотрансформация фотон-фонон вакансий</b>			(8.68)
Компоненты	Фонон (Арупа)	Фотон (Рупа)	
Потенциалы	$m_c^{**} = 0,002$	$m_c^* = m_c^{**} T_0 = 0,008$	
Проявление света	Спектральное свечение в объёме Капли Ядра	Точки - излучатели на поверхности Капли Ядра.	

Электрические точки - излучатели поверхности Капли ядра начинают пульсировать с периодичностью  $T_0^2$  (8.66):

Пульсация фотон - вакансий в электрических точках	
$m_c^* \cdot T_o^2 = 0,008 \cdot 16 = 0,128 \overset{k}{\Leftrightarrow} 2000 \equiv 16/0,008 \equiv \sqrt{qq^*}/m_c^*$ $K = \frac{2000}{0,128} = 15625 \equiv 5^6 .$	(8.69)

Электрическая поверхность Капли Ядра создаёт потенциальную ловушку для самосущих волн, поступающих из Космоса Невесомости:

**Электрическая ловушка для самосуших волн:  
поверхность Капли Ядра (8.69)**

$$K \cdot \sqrt{2}^{12} \equiv 5^6 \cdot 2^6 \equiv 10^6, \quad (8.70)$$

где:  $10^6$  - поле с эффектом Кирлиан,  
 $\sqrt{2}^{12} \equiv 64$  - эквивалент сгустка Тянь.

## 8.4 Арупа - Рупа солнечно-ядерного вещества

Любой сгусток имеет планетарную структуру.

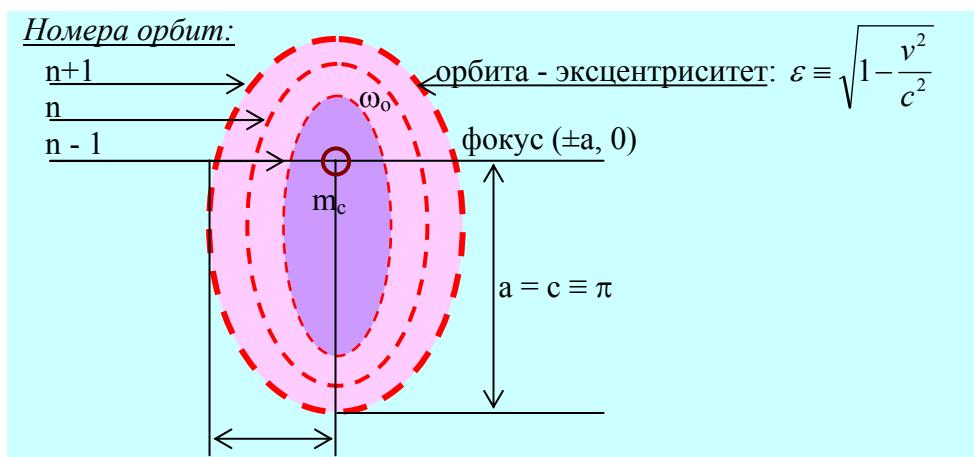


Рис.8.2 Планетарная структура фотон - фонона света  
как электромагнитной волны

Начало планетарным системам сгустков дают фотон-фононы в электромагнитной среде (рис.8.2).

Эпицентром планетарной системы является фотон (частица света  $m_c$ ), совершающий поступательное прямолинейное движение со скоростью  $c \equiv \pi$  (рис.8.2).

Фотон находится в фокусе планетарной системы и обладает импульсом и энергией, переход между которыми возмущает окружающую среду (табл.8.8).

**Фотон как фокус планетарной системы (рис.8.2)**

Компоненты	Импульс	Энергия	Возмущённая среда
Потенциалы	$m_c c = \frac{1}{\pi} c \equiv 1$	$m_c c^2 \equiv \pi$	$\int_0^\pi \varphi d\varphi \equiv \frac{(\pi+1) \cdot (\pi-1)}{2}$

В среде, через которую пролетает фотон, возникают гармонические колебания, являющиеся причиной известного нашей физике **принципа неопределённости** (табл.8.8).

\*\*

**Принцип неопределённости применительно к планетарным структурам реализует себя в переходе масс относительного покоя с орбиты на орбиту (рис.8.2).**

Механизм перехода масс относительного покоя ( $m_0 \equiv e \equiv 2,7\dots$ ) с орбиты на орбиту связан с трансформацией импульса вращения ( $m_0 \omega_0 \equiv 0,5e \cdot \pi$ ) на импульс прямолинейного движения  $m_0 c = e \cdot \pi$ .

При наличии вращательно-поступательного перехода импульсов, свет, как мельница будет перемалывать Материю в самосушие волны, и синтезировать из самосуших волн сгустки Материи:

Форма волны	$m_0 \left( \frac{\omega_0}{c} = \frac{1}{2} \Leftrightarrow 2 \equiv \frac{c}{\omega_0} \right)$	Линейная
	$m_0 \left( \frac{\omega_0^2}{c^2} = \frac{1}{4} \Leftrightarrow 4 \equiv \frac{c^2}{\omega_0} \right)$	Поверхностная
	$m_0 \left( \frac{\omega_0^3}{c^3} = \frac{1}{8} \Leftrightarrow 8 \equiv \frac{c^3}{\omega_0^3} \right)$	Объёмная

(8.71)

В пульсирующем между Хаосом и Гармонией Космосе возникает интегральная разность потенциалов:

<b>Энергия перехода между орбитами</b>
$\pm \int_{m_0 \omega_0}^{m_0 c} \varphi d\varphi \equiv \pm \frac{1}{2} (m_0^2 c^2 - m_0^2 \omega_0^2) \equiv \frac{3}{8} (e\pi)^2 .$

(8.72)

При скорости расширения Арупы Вселенной, равной:

$$v = \frac{c^3}{\tau \cdot \omega_0^3} = \frac{8}{3}, \quad (8.73)$$

планетарная энергия среды, возмущённой фотоном, будет обладать энергией массы относительного покоя (8.72):

$$\pm v \int_{m_0 \omega_0}^{m_0 c} \varphi d\varphi \equiv \pm \frac{8}{3} \cdot \frac{3}{8} (e\pi)^2 \equiv \pm (e\pi)^2 \equiv \pm m_0^2 c^2 . \quad (8.74)$$

\*\*

Частица света (фотон) является носителем волны света (фонон), и волна света пульсирует по длине и амплитуде, имея в фокусе частицу света (рис.8.2).

При такой пульсации волны света вокруг частицы точечный участок волны света будет совершать квантованное (без затраты собственной энергии) вращение по орбите.

Подобием квантованного вращения точечного участка волны света по орбите самой волны в микромирах является, например, вращение электрон-позитронов вокруг ядра атома, а в макромирах - вращение планет вокруг звёзд и звёздных систем вокруг астрономических Чёрных Дыр.



\*\*

Вращение точечного участка фонона вокруг фотона происходит с периодичностью  $T_o^2 = 16$ .

В поле насыщенного люминофора возникают **электрические точечные участки волны света**, число которых соответствует  $10^{20}$  фотонов.

Электрические точечные участки волны света		
Форма поля	Воображение	Биоток
Колебания	$T_o^2 \cdot 10^{20} = 16 \cdot 10^{20}$ $\equiv q^*$	$T_o^2 / 10^{20} = 16 \cdot 10^{-20}$ $\equiv q$

(8.75)

Однако воображение существует как Арупа ( $\tau \cdot q^*$ ), а биоток присущ Рупе ( $T_o q$ ).

Резонансный потенциал воображения и биотока будет соответствовать величине (8.75):

$$k_1 = (\tau q^*) \cdot (T_o q) = 12 \cdot 16^2. \quad (8.76)$$

\*\*

Электрическое поле точечных участков волны света сжимает расширяющиеся магнитные точечные участки света, идущие из недр ядра:

$$k_2 = (\tau \mu^*) \cdot (T_o \mu) = 12 \cdot 14^2. \quad (8.77)$$

Между электрическими и магнитными полями возникает резонансно-антирезонансная приведённая пульсация (8.76, 8.77):

Электромагнитная приведённая пульсация	
Колебания	$\frac{k_1 \cdot k_2}{k_1 - k_2} = \frac{1}{5} 16^2 \cdot 14^2 \Leftrightarrow \frac{5}{16^2 \cdot 14^2} \equiv \frac{k_1 - k_2}{k_1 \cdot k_2}$ $164 \cdot 144 \Leftrightarrow (q^* q \mu^* \mu)^2 \Leftrightarrow 5^2 \equiv T_o^2 + \tau^2.$

(8.78)

На границе раздела расширяющегося магнитного и сжимающегося электрического полей, например у Земли, возникает **литосфера** (8.78).

\*\*

При поступлении самосуших волн из Космоса в Каплю Ядра Сгустка в Недрах Ядра происходит формирование Арупы - Рупы гравитационного поля:

$$K_3 = (\tau \cdot \rho^*) \cdot (T_0 \rho) = 12 \cdot 28^2, \quad (8.79)$$

где:  $\tau \cdot \rho^*$  - Арупа Мысли,  
 $T_0 \rho$  - Рупа гравитации.

Между гравитационным и магнитным полями в Недрах Ядра возникает область перехода (8.77, 8.79):

<b>Гравитационно-магнитная область в Недрах Ядер</b>	
Колебания	$\frac{k_3 \cdot k_2}{k_3 - k_2} = \frac{1}{3} 28^2 \Leftrightarrow \frac{3}{28^2} \equiv \frac{k_3 - k_2}{k_3 \cdot k_2}$ $28^4 \Leftrightarrow (\rho^* \rho)^2 \Leftrightarrow 3^2 \equiv \tau^2.$

(8.80)

\*\*

Между литосферой (8.78) и поверхностью гравитационно-магнитной области Недр ядра (8.80) возникает разность потенциалов:

<b>Разность потенциалов в ядре</b>	
Недра Ядра (8.80)	$28^4 \equiv (2 \cdot 14)^4 \Leftrightarrow 3^2 \equiv \tau^2$
Литосфера Ядра (8.77)	$16^4 \cdot 14^4 \Leftrightarrow 5^2$
Разность	$+14^4 \cdot (2^4 - 16^4) \Leftrightarrow -4^2.$

(8.81)

Между поверхностью и Недрами в Капле Ядра возникает разность потенциалов (8.81):

$$\begin{aligned} 14^4 \times 4^2 \times (1 - 16^3) &\Leftrightarrow -4^2; \\ 14^4 \times (1 - 16^3) &\Leftrightarrow -1; \\ 14^4 - 14^4 \cdot 16^3 + 1 &\Leftrightarrow 0. \end{aligned} \quad (8.82)$$

где:  $14^4 \equiv (\mu\mu^*)^2$  - магнитное поле,  
 $16^3 \equiv (qq^*)^{3/2}$  - электрическое поле.

\*\*

В объёме пульсирующих Недр Ядер накопление магнитной энергии в поле с ноль-потенциалом возрождает **Живые Магниты к Новой Жизни** (реинкарнация):

Пять стадий реинкарнаций живых магнитов	
1	$14^4 - 14^4 \cdot 16^3 + 1 \Leftrightarrow 0 \Leftrightarrow 144 \equiv (\mu\mu^*)^2$
2	$\pm 14^4 \cdot 16^3 \Leftrightarrow 0 \Leftrightarrow \pm 1$
3	$\pm 14^4 \cdot 16^3 \Leftrightarrow 0 \Leftrightarrow \pm 1 \Leftrightarrow \pm 14^4$
4	$\pm 16^3 \Leftrightarrow 0 \Leftrightarrow \pm 1 \Leftrightarrow \pm 1$
5	$qq^* \equiv 16^2 \Leftrightarrow 0/16 = \infty \Leftrightarrow \pm 1/16 \Leftrightarrow \pm 1/16 \equiv 0,0625.$

(8.83)

Заканчивается формирование Живых Магнитов созданием в них биотока и воображения (8.83).

Поскольку Аура живых Магнитов, как продолжение иммунно-защитной системы, возникает при эффективности взаимодействий  $\sqrt{\rho_1} = 10^6$ , проявляясь как эффект Кирлиан, то в пятой стадии реинкарнаций Живых Магнитов (8.83) примет вид:

$$qq^* \cdot 10^6 \equiv 16^2 \cdot 10^6 \Leftrightarrow \infty \Leftrightarrow \pm 62500, \quad (8.84)$$

где 62500 – шифр-Ключ к Книге Бытия, оставленной нам великой Цивилизацией.

\*

\*\*

Энергия прямолинейно летящего фотона искривляет окружающую среду (рис.8.2):

<b>Искривление окружающей среды фотоном</b>			(8.85)
Фотон	Импульс	Энергия	
Величина	$m_c c = \frac{1}{\pi} \pi = 1$	$m_c c^2 = \frac{1}{\pi} \pi^2 = \pi$	
Пространство	Не искривлено	Искривлено.	

**В искривлённом Пространстве возникают квантованные орбиты линейных волн, поверхностные и объёмные волны** (табл.8.3, рис.8.2).

Точечный участок линейной волны обладает центробежно-центростремительным ускорением:

$$\pm j_o = \pm c \cdot \omega_o \equiv \pm c^2/2 \equiv \pm q q^*/T_o^2 \cdot c \cdot m_c c^2 \int_0^1 \varphi d\varphi, \quad (8.86)$$

и реализует наличие этих ускорений путём вращения электрического сгустка-точки по квантованной орбите (8.86, рис.8.2).

\*

\*\*

Эксцентриситетом ( $\varepsilon$ ) вращения точечного участка волны света по квантованной эллипсоидальной орбите является выражение, подобное Лоренцеву сокращению в условиях, когда полуоси эллипса эквивалентны скоростям  $c$  и  $v$  (рис.8.2):

$$\varepsilon = \sqrt{1 - \frac{v^2}{c^2}} < 1, \quad (8.87)$$

где:  $v^2 = -R \cdot j_o$  – центробежное ускорение,  
 $c^2 = -2j_o$  - центростремительное ускорение.

Вращение по эллиптическим орбитам происходит в соответствии с первым законом Кеплера и продолжается до перемены направленности ускорений.

\*  
\*\*

Перемена направленности центробежно-центростремительных ускорений меняет эксцентриситет эллипса на эксцентриситет параболы:

$$\varepsilon = \sqrt{1 + \frac{v^2}{c^2}} > 1. \quad (8.88)$$

Эллиптическая орбита разрушается, и точечный участок волны света переходит с орбиты на орбиту (рис.8.2), а НЛО взмывает к иным гравитационным полям.

## 8.5 Капля Ядра: Космические законы формирования

Переход с орбиты на орбиту изначально связан с колебаниями волны-орбиты по длине волны и частоте (рис.8.2):

$$(n \pm 1) \cdot m_c c^2 = (\pi \equiv c \equiv \lambda \nu) \cdot (n \pm 1). \quad (8.89)$$

Порядковые номера орбит (n) связаны между собой лунным и солнечными рядами:

Лунный ряд	1	2	3	4	5	6	7	
Солнечный ряд	1	2	3	4	5	6	7	8.

(8.90)

Первые четыре ряда этих полей великая Цивилизация выделяет как **формировщиков** [3], а мы можем определить общую сумму потенциалов колебания  $n \pm 1$  при  $n = 1, 2, 3$  и 4:

Гравитация: $n \pm 1$ при $n = 1, 2, 3$ и $4$					Магнетизм	
Потенциалы			Суммы	Общая сумма	$30 = 1^2+2^2+3^2+4^2$  Богиня Луны, вершина Пирамиды "Вавилонская Башня".	(8.91)
0	1	2	3	$3 + 6 + 9 + 12 = 30$ Бог Луны		
1	2	3	6			
2	3	4	9			
3	4	5	12			

(8.91)

**Религия Шумеров связала потенциалы пульсирующего поля гравитации и магнетизма, потенциал которых, равный 30, шумеры обожествили как Бога и Богиню Луны, придав вершине Пирамиды "Вавилонская Башня" цвет серебра - Луны с потенциалом 30 (8.91).**

\*\*\*

Синайские семиты не поняли шумеров потому, что не поняли самой **Сущности Познаваемого**, которому безуспешно пытались научить их Боги - наши Создатели, члены Социума великой Цивилизации.

Подменив **Красоту Точности**, болтливой красотой Лала - элементов [2], синайские семиты и по сей день оказывают медвежью услугу человечеству.

Возьмём историю с еврейским богом Айн СОФ и рассмотрим её применительно к шумерам и к законам Единого Космоса.

\*\*\*

Ворота вездесущего бога Айн СОФ открываются не четырьмя Адамами, как в Каббале [12], а путём создания (**формирования**) самой Природой магнитного излучателя с потенциалом (8.91):

$$5^2 + 4^2 + 3^2 = 50 \equiv (T_0 + 1)^2 + T_0^2 + (T_0 - 1)^2. \quad (8.92)$$

Частоты-эквиваленты магнитным излучателям с потенциалом, равным 50, лукавые семиты и обожествили как бога Айн СОФ, плюнув на Луну шумеров (8.91).

Таким образом шумеры описывали гравитационно-магнитный подход к потенциалу 50, а семиты обожествили потенциал 50, подменив историю его формирования глупостью Каббалы:

Шумеры. Луна. Гравитация	Шумеры. Луна. Магнетизм	Айн СОФ Каббала [12]	(8.93)
$1+2+3+4 = 30$ <b>Формовщики</b> [3]	$30 \equiv 1^2+2^2+3^2+4^2$ <b>Формовщики</b> [3]	$(4 \pm 1)^2 \equiv 50$ (8.92)	
Примечание: эту блестящую физику шумеров синайские семиты заменили на убогость четырёх Адамов Каббалы [12].			

\*\*

Бог учил, что **при Сотворении Мира будет Свет**. Посмотрим, как это происходит.

**Резонансное сжатие самосуших волн выворачивает эти волны наизнанку (инверсия микро-чёрных дыр), и освобождённое внутреннее поле самосуших волн излучает свет в окружающую среду.**

Запишем эту фразу об инверсии самосуших волн математически:

Да будет Свет! (Библия)					
Формы Энергии	Самосущие волны	Инверсия		Волны света	(8.94)
		Холодный сгусток	Сгусток света		
Колебания	$\equiv \sin \pi/4 \equiv_{\min}$	$1/\sqrt{2}$	$\Leftrightarrow \pi/4 \equiv$	$\arcsin 1/\sqrt{2}$	
	$\equiv \operatorname{Sc} \pi/4 \equiv_{\max}$	$1/\sqrt{2}$	$\Leftrightarrow \pi/4 \equiv$	$\operatorname{arcSc} \sqrt{2} .$	

В любой точке бесконечности Пространства холода Космоса Невесомости резонансное **сжатие самосуших волн зажжёт Искру Света** и начнёт формирование из Искры с потенциалом  $\pi/4$  формирование Ядра (8.94).

Фразу "**Да будет Свет**" Создатель сказал на седьмой День Творения, подчеркнув тем самым антирезонансный характер процесса (8.94):

$$\frac{\pi}{4}(T_0 + \tau = 7) = \frac{7}{4}\pi \equiv \left( \frac{\rho}{q} \equiv \frac{\rho^*}{q^*} \equiv \sqrt{\frac{\rho\rho^*}{qq^*}} \right) \cdot c, \quad (8.95)$$

в котором возникают электрическо-гравитационные импульсы (8.95).

\*\*

На двенадцатый День Творения антирезонанс Искры Света (8.95) переходит в резонанс (8.95):

$$\pi/4(T_0 \cdot \tau = 12) = 3\pi \equiv \tau \cdot c \equiv (m_c c + \epsilon_0 \mu_0 c^2 + E_\lambda c) \cdot c. \quad (8.96)$$

Цис-транс изомерия этого потенциала (8.96) приведёт к формированию оболочки искры с потенциалом 6, который остаётся постоянным как в условиях резонанса, так и при антирезонансе:

Поверхность Искры Света	
Антирезонанс	Резонанс
$1+2+3 = 6$	$6 = 1 \cdot 2 \cdot 3$

(8.97)

Поверхность Искры Света (8.97) деформирует движение Искры в Магнитном поле:

$$6 = 3,5 + 2,5 \quad \text{и} \quad 3,5 : 2,5 = 1,4 \equiv 10^{-1} \sqrt{\mu\mu^*}. \quad (8.98)$$



В магнитном поле возникнут спирали Кундалини (8.97), затем Спираль Зодиака, затем ...астрологи начнут предсказывать судьбы и судиться с клиентами, а мы будем смотреть ситуацию по телевидению в "Час Суда" (еврейская форма отдыха).

\*\*

Искры Света с потенциалом  $\pi/4 \equiv c/T_0$  возгораются из самосущих волн при из минимуме ( $\sin \pi/4 \equiv 1/\sqrt{2}$ ) и при их максимуме:  $\sin \pi/4 = \sqrt{2}$  (8.94, табл.8.9).

Таблица 8.9

**Резонансно-антирезонансная  
пульсация ядра света в среде самосущих волн**

Режим	Антирезонанс	Резонанс	Отношение
Колебания	1 $\frac{1}{\sqrt{2}} \Leftrightarrow \frac{\pi}{4} + \frac{\pi}{4} \Leftrightarrow \sqrt{2}$	$\frac{1}{\sqrt{2}} \Leftrightarrow \frac{\pi}{4} \cdot \frac{\pi}{4} \Leftrightarrow \sqrt{2}$	$\frac{1}{1} \Leftrightarrow \frac{\omega_0 \sqrt{2}}{\sqrt{2}/\Phi} \Leftrightarrow \frac{2}{2}$
	2 $1 \Leftrightarrow \omega_0 \sqrt{2} \Leftrightarrow 2$	$1 \Leftrightarrow \sqrt{2}/\Phi \Leftrightarrow 2$	$1 \Leftrightarrow \Phi \omega_0 \Leftrightarrow 1$
Примечание	$\omega_0 = \pi/2$ - угловая скорость точечного участка волны света, $\Phi = 16/\pi^2$ - золотое число.		

Пульсация ядра света в оболочке самосущих волн формирует свои Подобия во всех сгустках, например магмы Земли под литосферой Земли (табл.8.9).

Физическая сущность процесса пульсации ядерного вещества сводится к тому, что между двумя равновесными состояниями (табл.8.9):

$$(n + 1) - n \equiv 1 \Leftrightarrow \Phi \cdot \omega_0 \Leftrightarrow 1 \equiv (n + 1) - n, \quad (8.99)$$

вращается Капля ядерного вещества с потенциалом  $\Phi$  и угловой скоростью  $\omega_0$  (табл.8.9).

Раскрывается Природа давно известного в архитектуре **Золотого Числа  $\Phi$** , которое возникает в поле света тогда, когда в этом поле появляется электрическое поле  $\sqrt{qq^*} = 16$ :  $\Phi = 16/\pi^2 \equiv \sqrt{qq^*} m_c E_\lambda$ .

\*\*

Природа происхождения двух Единиц в контуре вращения Золотого Числа  $\Phi$  (8.99) также связана с колебаниями света в самосущих волнах (8.98, табл.8.10).

Таблица 8.10

**Инверсионно-вращательное движение  
ядерного вещества**

Инверсия	Левизна	Правизна	Отношение вихрей
Вращение	лево-      право-	право-      лево-	
Инверсионно-вращающиеся вихри	$\frac{1}{\sqrt{2}} \Leftrightarrow \frac{\pi}{4} \times \frac{4}{\pi} \Leftrightarrow \sqrt{2}$ $1/\sqrt{2} \Leftrightarrow 1 \Leftrightarrow \sqrt{2}$	$\sqrt{2} \Leftrightarrow \frac{4}{\pi} \times \frac{\pi}{4} \Leftrightarrow \frac{1}{\sqrt{2}}$ $\sqrt{2} \Leftrightarrow 1 \Leftrightarrow 1/\sqrt{2}$	$\frac{1/\sqrt{2} \Leftrightarrow 1 \Leftrightarrow \sqrt{2}}{\sqrt{2} \Leftrightarrow 1 \Leftrightarrow 1/\sqrt{2}} \equiv$ $2 \Leftrightarrow 1 \Leftrightarrow 2.$

Инверсионно-вращательное движение вихрей ядерного вещества, то есть импульсов  $m_c s$ ,  $\epsilon_0 \mu_0 c^2$  и  $E_\lambda c$ , великая Цивилизация описывает в Космогенезисе: **"5. У Порога Четвёртого Сынам указано создать свои Подобия. Одна треть отказывается. Две повинуются"** (Станца VI, [3]).

Адрес нам дан совершенно точно, ибо Порог Четвёртого - это потенциал  $3^2$  в магнитном поле (8.93), в котором Арупа стартует на переход в Рупу (табл.8.11).

**Формирование оболочки волнами Арупы в Рупе**

Форма магнитной гравитации	Арупа			Рупа		Формирование оболочки ядра продольно-поперечными волнами	
	гравитация: $n \pm 1$			гравитация: $n \pm 1$	магнетизм		
Красным выделены опорные частоты	0	1	2	$3^2$	3	$3^2$	Отношение волн
	1	2	3	$6^2$	4	$4^2$	продольных    поперечных
	2	3	4	$9^2$	5	$5^2$	
Суммы	$3+6+9=18$			$126$	$3+4+5=12$	50	$\frac{126 \cdot 50}{18 \cdot 12} \Leftrightarrow \frac{18 \cdot 50}{12 \cdot 126}$
Поперечная волна	$126:18 = 7 \equiv T_0 + \tau$			$50:12 \equiv 50:T_0 \cdot \tau$		$126^2 \Leftrightarrow 18^2$ $7^2 \Leftrightarrow 1^2$ Оболочка $48 \Leftrightarrow 0$ сине-голубое деление.	
Продольная волна	$126 \cdot 18 = 7 \cdot 18^2$			$50 \cdot 12 \equiv 600$			

**Одна Треть остаётся у Порога Четвёртой, так как она создаёт в Рупе оболочки (табл.8.11), а Две Трети повинуются, то есть начинают создавать множественность Форм Рупы (табл.8.10).**

\*\*

Круг Универсума в "Откровениях" Святого Иоанна описывает поле с потенциалами 2, 3 и 4 в резонансно-равновесном поле самого Круга с потенциалом, равным Единице [6].

**Физической Сущностью вектор-эпюры в форме Круга Универсума является описание четырёх уровней формовщиков [3], как называли поля Ядра в социуме великой Цивилизации.**

Мы уже разобрались в том, что четвёртый уровень описывается великой Пирамидой Египта, а третий уровень в сгустке ядра описывается Пирамидой "Вавилонская Башня" (табл.8.11).

Пришла пора рассмотреть уровень два (табл.8.12).

Таблица 8.12

**Уровень формирования 13-ти лунной пульсации**

Компоненты	Гравитация: $n \pm 1$			Магнетизм	Волновые колебания	
Потенциалы	0	1	2	$2^2$	Продольные	Поперечные
	1	2	3	$3^2$	$9 \cdot 13 = 117$	$\frac{9}{13} \Leftrightarrow \frac{13}{9}$ $\pm(13^2 - 9^2 = 88) \Leftrightarrow 0.$
Суммы	$1 + 3 + 5 \equiv 9$			$2^2 + 3^2 \equiv 13$		

В пульсирующем поле **Капли Ядра** на его втором энергетическом уровне **в гравитационном** пульсирующем ( $n \pm 1$ ) поле возникает суммарный потенциал - эквивалент субструктуре ( $9+0$ ) биоклетки (табл.8.12).

В магнитном поле возникает потенциал-эквивалент, дающий начало пульсации по 13-ти лунному календарю цивилизации Майя.

Как и любой иной уровень в Капле Ядра, второй уровень является излучателем **продольных и поперечных волн** (табл.8.12).

**Продольной волной является резонансная волна, направление движения которой совпадает с направлением движения вихря энергии от Чёрной Дыры, находящейся в данной области Космоса** (табл.8.12):

$$\lambda_{"="} \equiv 9 \cdot 13 \equiv 117, \quad (8.100)$$

где  $\lambda_{"="}$  - символ любой продольной волны, например (табл.8.11):

$$\lambda_{"="} \equiv 126 \times 18 \Leftrightarrow 50 \cdot 12 \Leftrightarrow \dots \quad (8.101)$$

**Поперечной волной является резонансная волна, направление движения которой не совпадает с направлением энергетического вихря от Чёрной Дыры, находящейся в данной области Космоса (табл.8.12):**

$$\lambda_{\perp} \equiv \frac{9}{13} \Leftrightarrow \frac{13}{9}, \quad (8.102)$$

где  $\lambda_{\perp}$  - символ поперечной волны, например (табл.8.11):

$$\lambda_{\perp} \equiv 126/18 \Leftrightarrow 50/12 \equiv \dots \quad (8.103)$$

Наличие - реальность существования продольно-поперечных волн и их влияние на наши 13-ти лунные биологические часы мы и ощущаем, например, при дальних перелётах через часовые пояса: полёт с востока на запад по ходу вращения за Солнцем переносится легче, чем с запада на восток.

Праславяне знали об эффекте продольно-поперечных волн и отразили это явление в **направленности текста на Фесском диске: текст, читаемый к центру Фесского Диска, несёт негативную информацию; тот же текст, читаемый от центра Диска, позитивен.**

\*\*

Между продольными и поперечными волнами происходит взаимный переход в форме поляризации фронта волны.

Проявление поляризации меду продольно-поперечными волнами проявляется в волнах света: **фронт волны люминесцентного света развёрнут на угол  $\pi/2$  относительно фронта волны солнечного света.**

Подобие Свету проявляется и в продольно-поперечных волнах:

$$\lambda_{=} \equiv \omega_0^n \cdot \lambda_{\perp}. \quad (8.104)$$

\*\*

В Капле Ядра на втором уровне формировщиков продольно-поперечные волны взаимодействуют между собой (табл.8.12, табл.8.13).

Таблица 8.13

**Второй уровень Капли Ядра:  
мозг и сердце (табл.8.12)**

Поля	Полушария Мозга	Пульсация сердца в пятеричной связи Космоса	
Контакт продольно- поперечных волн	Разность	Сумма	Среда
Потенциалы	$  \begin{array}{r}  \lambda_{=} = 117 \\  - \lambda_{\perp} = 88 \\  \hline  29  \end{array}  $	$  \begin{array}{r}  \lambda_{=} + \lambda_{\perp} = 205 \\  + \quad \quad \quad 5 \\  \hline  42 \cdot 5 = 210 \\  \text{полярный вихрь}  \end{array}  $	$  \begin{array}{l}  5 \int_{42-1}^{42+1} \varphi d\varphi = \\  5 \cdot 84 = 420.  \end{array}  $

На втором уровне в объёме Капли ядра возникают полярные энергетические вихри в среде пятеричной связи (табл.8.13).

Пульсация поля с потенциал - эквивалентом сорока двум Божествам Сердца ([12], Книга Мёртвых) в окружающей среде с пятеричной связью заставляет биться наши живые Сердца (табл.8.13).

Разность потенциалов продольно-поперечных волн на втором уровне в объёме Капли Ядра формирует потенциал - эквивалент полушарий головного мозга, равный  $\pm 29$ , в котором цис-транс изомерия потоков формирует 58 Божеств Головы (табл.8.13):

$$\pm[+29 - (-29)] = \pm 58 \equiv \pm(28+14+16), \quad (8.105)$$

где:  $28 \equiv \sqrt{\rho\rho^*}$  - гравитация;

$14 \equiv \sqrt{\mu\mu^*}$  - магнетизм;

$16 \equiv \sqrt{qq^*}$  - электричество.

Пульсация каждого из двух полушарий головного Мозга в пятеричной среде Космических волн увеличивает ёмкость - быстроедействие потенциал - эквивалента полушария в 10 раз:

<b>Рост функциональности полушарий Мозга</b>	
$\int_{29-5}^{29+5} \varphi d\varphi = \int_{24}^{34} \varphi d\varphi = \frac{1}{2}(34^2 - 24^2) = 290.$	(8.106)

С каждым поколением социум Земли становится умнее и поэтому **То**, о чём я пишу сегодня, дойдёт до публики через два Поколения, ибо работа мозга и эволюция геномов наследственности взаимосвязаны.

**Но тот, кто запустит в социум поперечную, зомбирующую, волну из второго уровня ядра Мозга, тот прежде всего погибнет сам.**

Путь к Прогрессу только на продольных волнах Тонкой Энергии.

\*\*

В наших умах укоренилось мнение: **нельзя объять Необъятное.**

Я утверждаю обратное: **мысль может объять необъятное, и Космическая Мысль ( $\rho^* = 28 \cdot 10^{20}$ ) не только объяла Необъятное, но и созидает в Необъятном бесконечность комбинаций живого - неживого.**

Дело в том, что Необъятное возникает как Центр Вселенной.

Но Центр Вселенной возникает Всегда и Везде, где и когда самосушие волны, сжимаясь, переходят в импульс света или электромагнитной среды и создают в любой точке Космоса резонансно-антирезонансное равновесие (табл.8.14).

В поле резонансно-антирезонансного равновесия возникнет гравитация и магнетизм (табл.8.14):

Таблица 8.14

**Первый уровень Капли Ядра:  
резонансно-антирезонансная Монада**

Поля		Центр Вселенной		Монада			
Формы волн		Самосушие волны вечной тьмы	Свет	Гравитация: $n \pm 1$	Магнетизм	Продольные	Поперечные
Режим	Резонанс	$\sin \frac{\pi}{4} \text{Sc} \frac{\pi}{4} = 1 \equiv m_c \equiv \varepsilon_0 \mu_0 c^2 \equiv E_\lambda c$		$0+1+2$ 3	$3^2 =$ 9	$3 \cdot 3^2 =$ 27	$\frac{3^2}{3} \Leftrightarrow \frac{3}{3^2}$ $3 \Leftrightarrow 1/3$
	Антирезонанс	$\cos \frac{\pi}{2} \equiv 0 \equiv m_c - E_\lambda c \equiv m_c - \varepsilon_0 \mu_0 c^2 \equiv$		$3+9 = 12 \equiv T_0 \tau$ $9-3=6 \equiv 3,5+2,5$		$27+(9-1) \Leftrightarrow 0$ $36 \Leftrightarrow 0.$	

На левом внутреннем уровне объёма Капли ядра возникает резонансно-антирезонансно **пульсирующая Монада, то есть индивидуальный равновесный квант, в среде которого резонанс Гармонии сменяется антирезонансом Хаоса** (табл.8.14).

Во внутреннем поле Монады возникает потенциал - дробь Дзиан (табл.8.14):



$$\text{Дзиан} \equiv \int_0^1 \varphi d\varphi \equiv +\frac{1}{2} \Leftrightarrow -\frac{1}{2} \equiv \int_1^0 \varphi d\varphi, \quad (8.107)$$

формирующий Космогенезис, Антропогенезис и Теогенезис [3, 4], путём создания Капли Ядра с потенциалами Круга Универсума [6], названного формовщиками ([3], табл.8.14).

**Начало формированию сгустков в форме Капли Ядра дают самосушие волны вечной тьмы,** формирующие потенциал резонансного равновесия, равный единице, и потенциал антирезонансного равновесия, равный нулю (табл.8.14).

При появлении в полях самосуших волн потенциалов 1 и 0 возникают импульсы волны-частицы света и электромагнитной среды между ними. Самосушие волны без потери собственной энергии трансформируются в свет (табл.8.14).

Электромагнитная волна света пульсирует и сгущается в фотон ( $0 \Leftrightarrow 1 \Leftrightarrow 2$ ), формируя сгусток Рупы в Арупе волн (табл.8.14).

Фонон, сгущённый в фотон, формирует гравитационное поле (табл.8.14).

Гравитационное поле, питаемое самосушими волнами Метагалактики, формируется в Центре Капли Ядра (табл.8.14).

Гравитационное поле в Недрах Ядра, накопив энергию - эквивалент первоначальной величины ( $3 \rightarrow 3^2$ ), трансформирует эту энергию в магнитную и излучает её из Недр (пузырька) Ядра в жидкую среду магмы Ядра (табл.8.14).

Процесс излучения гравитационными недрами ядра магнитной энергии сопровождается переходом Космической Мысли  $(\rho^*)^2$  к Космической Памяти в резонансно-антирезонансном режиме (табл.8.14):

Трансформация в Капле Ядра Мысли и Памяти Космоса			(8.108)
Режим	Резонанс	Антирезонанс	
Магнитная оболочка света	$\frac{(2\mu^*)^2(3=\tau)^2}{(\rho^*)^2(3=\tau)} = 3 \equiv$ $m_c c + \varepsilon_0 \mu_0 c^2 + E_\lambda c \equiv \tau$	$(2\mu^*)^2 \tau^2 - (\rho^*)^2 \tau =$ $(2\mu^*)^2 [3 \cdot (3-1) = 6] \equiv$ $24 \cdot (\mu^* = 14 \cdot 10^{20})^2$ $49 \cdot 96 \cdot 10^{40}$ <p>Свет в оболочке 49.</p>	

На границе оболочки Капли Ядра магнитная расширяющаяся магма меняется на электрическую сжимающуюся поверхность (8.108):

Трансформация магнитной магмы в электрическую поверхность Капли Ядра	
$49 \cdot 96 \cdot 10^{40} \cdot T_0^2 \equiv 49 \cdot 6 \cdot (16 \cdot 10^{20})^2 = 7^2 \cdot 6 \cdot (q^*)^2,$ <p>где: <math>7^2</math> - оболочка, <math>(q^*)^2</math> - поверхностная волна Воображения, 6 - Кундалини.</p>	(8.109)

Великая Цивилизация описывает формирование Капель Ядер как Центров в Станце VI Космогенезиса [3]:  
**"4. Он слагает их наподобие старших Колёс, утверждая их на Несокрушимых Центрах. Фохат, как же создаёт их? Он собирает Огненную Пыль, Он слагает Огненные Шары, устремляется через них и вокруг них, общая им Жизнь и затем, приводя их в движение, одних в одном направлении, других в ином. Они холодны, он делает их жаркими. Они сухи, он делает их влажными. Они сияют, он обвеваает и охлаждает их. Так действует Фохат от одних сумерек до следующих на продолжении Семи Вечностей".**

Слова о Семи Вечностях указывают на то, что любой Центр Вселенной, как Капля Ядра, формируется в антирезонансном режиме (сложение) полей гравитационных Недр Ядер, магнитной магмы (8.108) и электрической поверхности (8.109).

Отнесённые либо к  $m_c^{**} = 0,002$ , либо к  $m_c^* = 0,008$ , они формируют **Огненные Шары из Огненной Пыли** ([3], табл.8.15).

Таблица 8.15

**Число фотонов в Капле Ядра  
на первом Уровне энергетического поля в Капле**

Компоненты Огненного Шара	Гравитационные Недра Капли (8.108)	Магнитная магма Капли (8.108)	Электрическая поверхность Капли (8.109)
Число фотонов в Капле	$\frac{K_1 = 3(\rho^*)^2}{m_c^* = 0,008} = \frac{294 \cdot 10^{43}}{294 \cdot 10^{43}}$	$\frac{K_2 = 9(2\mu^*)^2}{m_c^* = 0,008} = \frac{882 \cdot 10^{43}}{882 \cdot 10^{43}}$	$\frac{K_3 = 7^2 \cdot 6(q^*)^2}{m_c^* = 0,008} = \frac{8832 \cdot 10^{43}}{8832 \cdot 10^{43}}$
Сумма фотонов	$(294+882+8832) \cdot 10^{43} = 10008 \cdot 10^{43}$ .		

Важнейшим моментом Огненного Шара из Огненной Пыли (табл.8.15) является перемещение Свето-Дателя, то есть 8 по границе уровня Капли Ядра:

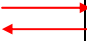
Уровень	Постоянная	Субстанция
1	10008	Фотоны
2	1008	Водород
3	108	Число реинкарнаций
4	18	Вода.

(8.110)

Причём в Едином Космосе всё взаимосвязано, ибо солнечно-лунные ряды возникают уже на первом уровне сжатия самосущих волн (табл.8.1):

[illegible]

Эти восемь Искр Свето-Дателей (8.111) определяют цис-транс изомерию Капли Ядра, формирующих:

Энергетическая структура Капли Ядра				
Уровни	Цис-изомерия	Субстанции	Транс-изомерия	Уровни
1	10008	Фотоны	-10008	-1
2	1008	Водород	-1008	-2
3	108	Реинкарнации	-108	-3
4	18	Вода	-18	-4
Взаимодействия света	$\frac{10008 - 1008}{108 - 18} =$ $\frac{9000}{90} = 10^2 = \frac{\rho_5}{\rho_2}$		$-\frac{10008 - 1008}{108 - 18} =$ $-\frac{\rho_5}{\rho_2} = -10^2 = -\frac{9000}{90}$	

Наличие взаимодействий света в Капле Ядра приведёт к появлению всех Пяти существующих в Природе взаимодействий, объединяющих множественность Форм Единого Космоса законами, доступными для понимания нашим Разумом.

## 8.6 Сгустки фотон-фононов в Мировое Яйцо Ядерных Капель

Изменение потенциалов (8.110):

$$10008 \Leftrightarrow 1008 \Leftrightarrow 108 \Leftrightarrow 18, \quad (8.113)$$

протекающее от числа фотонов (10008) в Недрах Ядра до молекулярного веса воды, равного 18, описывает удаление Хаоса с потенциалом ноль из сгущающихся в ядерное вещество волн.

**Сгущение фононов выдавливает Хаос из их вихрей.**

\*  
\*\*

Любая Капля Ядра микро-макро Миров, сохраняя себя как Центр Вселенной, сгущается по одним и тем же энергетическим законам:

**1. Космическая Мысль и самосушие волны вечной тьмы, сгущаясь, образуют Недра Ядра, которые описываются как Семь Вечностей [3] или Эфир Бордо [10]:**

$$\text{Недра Ядра} \equiv \frac{\text{Космическая Мысль}}{\text{Самосушие волны}} \equiv \frac{\rho^* = 28 \cdot 10^{20}}{\sqrt{2}^8} \equiv (T_0 + \tau = 7) \cdot 10^{20}. \quad (8.114)$$

**2. Недра Ядра (Зародыш) продолжают сгущаться под действием **формовщиков**, то есть гравитационных пульсирующих полей ( $n \pm 1$ ), где  $n \equiv 1, 2, 3$  и  $4$ , описанных в Круге Универсума, продиктованном Христом [6].**

Сумма гравитационных потенциалов формовщиков равна 30 (8.91) и равна сумме магнитных излучений  $1^2 + 2^2 + 3^2 + 4^2 = 30$  (8.91).

Зародыш в Недрах Ядра покрывается гравитационной плёнкой, которая излучает магнитные волны. **Возникает Желток Мирового Яйца:**

$$\frac{\text{Недра Ядра}(8.114)}{Рупа : T_0 = 4} \equiv \frac{7 \cdot 10^{20}}{4} \equiv \sqrt{\frac{\rho^* \rho}{qq}} \cdot 10^{20}, \quad (8.115)$$

где  $70 \equiv 70\text{\AA} \equiv \Delta\text{Ж}$  (табл.0.3).

Появляются гравитационно-магнитные Капли Ядра, которые эзотерики на основе своих ощущений называют **живыми магнитами**, а медики оплодотворённую женскую яйцеклетку (желток) называют **зигота**.

3. В гравитационном поле  $1 \Leftrightarrow 2 \Leftrightarrow 3 \Leftrightarrow 4$  желтка происходят колебания энергетических уровней по амплитуде, которые дают суммы (8.91):

$$3 \Leftrightarrow 6 \Leftrightarrow 9 \Leftrightarrow 12 \quad \text{и} \quad 3+6+9+12 = 30. \quad (8.116)$$

В Арупе *зиготы* возникает Спираль Зодиака, а в Рупе - ядро периодической системы геномов наследственности:

Гравитация в желтке Капли Ядра (8.116)			
Поля Режим	Арупа Зодиака (свет)	Ядро перио- дической системы геномов	Колебания
Резонанс	$\tau(T_0\tau)=3\cdot12=36$	$9\cdot6=54=27\cdot2$	$\frac{36}{27\cdot5} \Leftrightarrow \frac{9\cdot5}{27\cdot2}$ $72 - 9\cdot5 = 27$
Анти- резонанс	$12^2-3^2 = 27\cdot5$	$9^2-6^2 = 9\cdot5$	
Примеча- ние	При инверсии возникают колебания типа: $\frac{36}{27\cdot5} \Leftrightarrow \frac{27\cdot2}{9\cdot5}$ или $30 \Leftrightarrow 27$ .		

(8.117)

(8.117)

При инверсии гравитационное поле желтка (8.116) излучает магнитные волны, связанные с потенциалом полуэллипсоида Тонкого Свечения, равного 27 (8.117):

Энергетика желтка Мирового яйца				(8.118)
Гравитация	Луна	Магнетизм	Полуэллипсоид Свечения	
$3+6+9+12$	$= 30 =$	$1^2+2^2+3^2+4^2$	$\Leftrightarrow 27 \equiv \tau^{To}$	
(8.116)	[1]	(8.91).		

Желток излучает экваториально-продольные магнитные волны импульсов  $\mu^* = 14 \cdot 10^{20}$  и полярно-поперечные магнитные волны зарядов  $\mu = 14 \cdot 10^{-20}$ , где  $\mu^* \cdot \mu = 14^2$  и  $(\mu^* : \mu = 10^{40})^{\pm 1}$ .

Желток любого сгустка мирового Яйца покрыт по меридианам и широтам вокруг него продольно-поперечными магнитными линиями, ориентируясь по которым птицы находят прежние места гнездования, рыбы - наследственные места нерестилищ, а сперматозоиды - точку внедрения в женскую яйцеклетку - желток и оплодотворяют её.

**4. Любая замкнутая энергетическая система в атмосфере над своей оболочкой имеет пятеричную связь, обусловленную наличием взаимодействия света и Дзиан - колебаниями в нём:**

$$\rho_5 \int_0^1 \varphi d\varphi = 10 \cdot \frac{1}{2} = 5 \Leftrightarrow -5 = -10 \cdot \frac{1}{2} = \rho_5 \int_0^1 \varphi d\varphi. \quad (8.119)$$

Область пятеричной связи над желтком (8.119) усиливает магнитные продольные волны из Арупы ( $\tau^2 = 3^2$ ) и Рупы ( $T_o^2 = 4^2$ ), создавая магнитные продольные волны, которые синайские семиты в своей Каббале называют богом Айн СОФ [16]:

Пульсация над желтком Мирового Яйца					(8.120)
Поле	Арупа	Рупа	Атмосфера	Айн СОФ	
Потенциалы	$\tau^2 = 3^2$	$T_0^2 = 4^2$	$5^2$	$3^2+4^2+5^2=50.$	

Это приведёт к сверхпроводимости, передаче энергии на любые расстояния и возникновению энергии необходимой мощности в любой точке Вселенной без проводов.

И напрасно многие олигархи думают, что **им всё до лампочки.**

\*\*

Великая Цивилизация не передавала электрическую энергию по проводам, но в **Станце VI, пункты 3, 4, 5 Теогенезиса [4]** описывала революционную ситуацию, когда **Сын Создателя остаётся со страждущими до тех пор, пока они не смогут уничтожить сами своих врагов [4].**

**Страждущие зажгут Священный Свет в своих сердцах, и каждый враг им будет ясно виден [4].**

Станца VI, п.5 [4]	Расшифровка текста
<b>Когда в конце Пятого наступила долгая Ночь,</b>	Речь идёт об излучении магнитной продольной волны с потенциалом $50^2$ :
	$50^2=5^2 \cdot [(25+1)^2 - (25-1)^2] = 25 \cdot 100 \quad (8.121)$
<b>то Трёх, Четырёх и Пятиугольные были сжаты и отлиты в Шести и Семиугольные</b>	Потенциал - эквивалент 50 возникает как магнитное излучение поля:
	$3^2 + 4^2 + 5^2 = 50. \quad (8.122)$



Продольная магнитная волна Айн СОФ третьего, четвёртого и пятого уровня излучается из желтка в белок (рис.8.3).

Векторное описание пульсации желтка с пятеричной связью над ним для Арупы было дано пропорциями Пирамиды "Вавилонская Башня", а для Рупы - великой Пирамидой.

Переход из однородного поля Арупы к множеству форм Рупы подобен процессу расщепления одного общего языка на множество различных языков.

Боги пытались объяснить семитам процесс мультиплетности Арупы в Рупе, но **синайские мудрецы** модернизировали Религию и Магию по своему недомыслию, хотя было совершенно ясно, что резонанс Арупы - Рупы - Атмосферы над желтком формирует разность длин волн солнечного белого света (8.122):

$$5^2 T_0^2 \cdot \tau^2 \equiv 5^2 \cdot 4^2 \cdot 3^2 \equiv 3600 \equiv 3600 \text{Å} \equiv \Delta B. \quad (8.123)$$

### Возникает белок Мирового Яйца.

5. Точка - излучатель на поверхности желтка, излучая свет, функционирует в режиме резонанса, то есть достигает квадрата своей антирезонансной величины (8.122):

Кундалини: резонансная пульсация Айн СОФ			
Изомерия		Цис-	Транс-
Жёлто-зелёный цвет: (табл.0.3).		$(5^2+4^2+3^2)^2 = 50^2=2500$ $\rho_5 \cdot (\Delta J_3 = 250 \text{Å})$	$-(5^2+4^2+3^2)^2 = -50^2 = -2500$ $-\rho_5 \cdot (\Delta J_3 = 250 \text{Å})$
Кундалини	Сжатие	$2500 \left( \frac{\rho_2^2}{\rho_5} = 10^{-3} \right) = 2,5$	$-2500 \left( \frac{\rho_2^2}{\rho_5} = 10^{-3} \right) = -2,5$
		Два с половиной оборота Кундалини	
	Расширение	$1 + 2,5 = 3,5$	$-1 - 2,5 = -3,5$
		Три с половиной оборота Кундалини.	

В резонансном поле желтка с атмосферой пятеричной связи возникает разность потенциалов, инициирующая появление табулина с молекулярным весом 110000 кислородных единиц и субструктуры митоза (9+2) в биоклетке (8.123, 8.124):

Роль жёлто-зелёной области в спектре белого света	
Компоненты	Свет без жёлто-зелёной области
Разность	$\Delta = (5T_0\tau)^2 - (50)^2 \equiv 3600 - 2500 = 1100$
Субструктура митоза	$\Delta\rho_2^2 = 1100 \cdot 10^{-2} = 11 \equiv (9+2)$
Молекулярный вес табулина	$\Delta\rho_5^2 = 1100 \cdot 10^{-2} = 110000 \equiv M_T$
Примечание	Табулин - материал микротрубочки поры ядра. В микротрубочке 13 субъединиц, играющих роль биочасов.

(8.125)

Зародыш живого в желтке продолжает развиваться за счёт Энергии Метагалактических волн, **начиная питаться белком** (концентрированным солнечным светом) Мирового Яйца (8.123).

6. В структуре Мирового яйца (рис.8.3) за прослойкой пятеричной связи над желтком идёт белок с потенциалами 6 и 7 (рис.8.3).

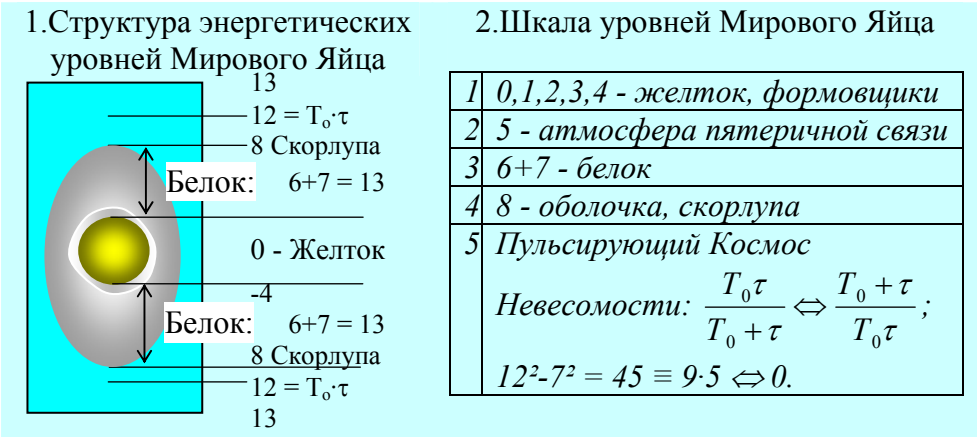


Рис.8.3 Структура и пять уровней мирового Яйца после поглощение его Недрами самосуущих волн

Ситуация взаимосвязи между белком и желтком описана в Теогенезисе ([4], Станца VI, п.5): **"4. он** (Сын Могущественного на белой лошади. Подобие Иисуса Христа) **громко позвал, и Великая Мать** (самосущие волны Метагалактики) **вместе с Липиками** (Космические Мысли  $\rho^*$ ), (8.114). **Они остудили и сжали Огненные искры** (Фононы охладились и сжались):

$$\frac{\rho_2 E_{\lambda} c = 10^{-1}}{(\lg \rho_1 \rho_2 = -25) \left( T_0 \frac{\omega_0}{c} = 2 \right)} = -0,002 \equiv -m_c^{**}, \quad (8.126)$$

где: -25 - эндотермические взаимодействия логарифмических волн, а 2 - коэффициент сжатия.

**Когда в конце Пятого** (пятеричная атмосфера сжатия над желтком) **наступила долгая ночь** (долгая ночь описывается половиной диаграммы Ян-Инь:

$$5 \cdot \text{Ян-Инь} \cdot 5 \int_8^{64} \varphi d\varphi \equiv \frac{5}{2} (64^2 - 8^2) \equiv 28 \cdot 360 = 10080, \quad (8.127)$$

где:  $5/2$  - два с половиной витка Кундалини сжатия;

$28 \equiv \rho \rho^*$  - Космическая гравитация;

10080 - постоянная Вселенной;

$360 \equiv 2\pi$ ), **то Трёх, Четырёх и Пятиугольные были сжаты и отлиты в Шести и Семиугольные"** (воз-

никли поперечные сжатия) магнитные волны желтка:

$3^2 + 4^2 + 5^2 = 50$  (Айн СОФ) и магнитные волны ( $6^2 + 7^2 =$

$85 = 17 \cdot 5$ ) в белке. Появляется контур колебания:

Колебания между Желтком и Белком	
Контур колебания в Арупе	$\frac{\text{Белок}}{\text{Желток}} \equiv \frac{6^2 + 7^2 = 17 \cdot 5}{3^2 + 4^2 + 5^2 = 50} \equiv \frac{17}{10} \Leftrightarrow \frac{10}{17} \equiv \frac{\text{Желток}}{\text{Белок}} \quad (8.128)$ $0 \Leftrightarrow 17^2 - 10^2 \equiv 189 \equiv \tau \cdot 63 \equiv \tau^2 \cdot 21 \equiv \tau^3 \cdot 7.$

Арупа - Жизнь чувствующего и вне формы (8.128), то есть наша Жизнь до Жизни, где при антирезонансе колебаний желток - белок (8.128) при  $\tau = 3$  возникнет периодическая система геномов с потенциалом 63, при  $\tau^2 = 9$  появляются над  $m_c^{**}$  (8.126) полярные вихри с потенциалом  $\pm 21$ , а при  $\tau^3 = 27$  под оболочкой - скорлупой Мирового Яйца формируется Семь Вечностей ( $T_0 + \tau = 7$ ).

7. Зародыш Капли ядра возник в желтке. Он съел желток и стал **плодом** в лоне Матери. Плод съел белок и стал цыпленком, разбившим скорлупу мирового яйца с потенциалом 8 (рис.8.3).

Магнитные волны белка и скорлупы создадут их точечные участки - излучатели на поверхности белка и скорлупы (рис.8.3).

Точечный участок - излучатель на поверхности белка создаёт "шести и семиугольные" [4], связанные между собой **пятеричной связью**:

<b>110 Божеств в теле Человека [10]:</b> <b>точка-излучатель на поверхности белка (рис.8.3)</b>	(8.129)
$K_B = 5^2 + 6^2 + 7^2 = 25 + 36 + 49 = 110.$	

Точечный участок-излучатель на поверхности скорлупы, как и любая иная точка, имеет планетарную структуру Тянь-Цинь, связанную магнитным полем:

<b>110 Божеств в теле Человека [10]:</b> <b>точка-излучатель на поверхности скорлупы</b> (рис.8.3)	(8.130)
$K_C = 64(Тянь) + 32(Цинь) + (14 \equiv \sqrt{\mu\mu^*}) = 110.$	

Между левым и правым полушариями мирового яйца возникают цис-транс изомерические колебания:

$$K_B/K_C \Leftrightarrow K_C/K_B \quad K_B^2 \Leftrightarrow K_C^2, \quad (8.131)$$

создающие энергетические полярные вихри левизны и правизны над любым микро-макро сгустком, как это имеет место над полушариями Земли.

Полярные вихри над сгустками создают магнитные потоки (8.131).

$$K_B^2 \equiv 110^2 \Leftrightarrow K_C^2 \equiv [(64+32 = 96) + (\sqrt{\mu\mu^*} = 14)]^2,$$

$$0 \Leftrightarrow \mu\mu^* + 2 \cdot 96 \cdot \sqrt{\mu\mu^*} + 96^2 - 110^2. \quad (8.132)$$

В колебательном контуре (8.132) потенциал

$$2 \cdot 96 = 14^2 \equiv \mu\mu^*, \quad (8.133)$$

а  $96^2 - 110^2 = 14^3 - 140$ , то есть является потенциал - эквивалентом кубу магнитного поля без постоянной чакр, равной 140:

$$96^2 - 110^2 \Leftrightarrow -(14^3 - 140) \equiv -\mu\mu^* \sqrt{\mu\mu^*} + (140 \equiv 5 \cdot 28). \quad (8.134)$$

После подстановки значений (8.133 и 8.134) в (8.132) мы получим значения магнитного потока в канале с ноль-потенциалом:

<b>Магнетизм в экстрасенсорном канале проводимости</b>	
$0 \Leftrightarrow \mu\mu^* + \mu\mu^* \sqrt{\mu\mu^*} - \mu\mu^* \sqrt{\mu\mu^*} + 140 \equiv$ $\mu\mu^* + (140 = 1^2 + 2^2 + 3^2 + 4^2 + 5^2 + 6^2 + 7^2) \equiv$ $5 \cdot (28 = 1 + 2 + 3 + 4 + 5 + 6 + 7).$	(8.135)

Мировое Яйцо в Лоне Матери дышит - питается сегодня через каналы экстрасенсорной проводимости (8.135), а Теогенезис утверждает, что наши Потомки: Люди Воли и Йоги будут питаться и дышать также через каналы экстрасенсорной проводимости (8.136).

Теогенезис оговаривает, что люди Воли и Йоги будут жить на Красной Звезде, где постоянная Чакр, равная 140, является эквивалентом разности длин волн красной области спектра света:

$$140 \equiv 140\text{Å} \equiv \rho_5 \Delta K \equiv 10^{-1} \cdot 1400\text{Å}. \quad (8.136)$$

\*\*

Контур колебания белок - скорлупа (8.131) давал возможность великой Цивилизации определять любое излучение над оболочкой - скорлупой.

Например, над корой полушарий головного мозга (или в коре головного мозга) возникло электрическое поле ( $\sqrt{qq^*} = 16$ ), заряд - воображение которого связано со 110 Божествами:

$$110 - 16 = 94. \quad (8.137)$$

Контур колебания (8.131) при появлении электрического импульса (8.137) примет вид:

$$K_B^2 \equiv 110^2 \Leftrightarrow K_C^2 \equiv [94 + (16 \equiv \sqrt{qq^*})]^2, \quad (8.138)$$

где после определения величины суммы квадратов, получим:

$$0 \Leftrightarrow qq^* + 2 \cdot 94 \sqrt{qq^*} + (94^2 - 110^2). \quad (8.139)$$

В электрическом поле (8.139) возникают условия, при которых формируется отрицательно заряженное электрическое поле с потенциалами минус  $qq^*$ :

$$2 \cdot 94 \cdot (\sqrt{qq^*} = 16) + 94^2 - 110^2 \equiv -256 \equiv -16^2 \equiv -qq^*. \quad (8.140)$$

**Проведя подстановку (8.140), мы увидим, что над электрической поверхностью Мирового Яйца (рис.8.3) возникает Космос Невесомости:**

<b>Невесомость над электрической скорлупой (8.140)</b>	(8.141)
$0 \Leftrightarrow qq^* - (256 = 16^2) \equiv qq^* - qq^* \equiv 0$ антирезонансное равновесие.	

\*\*

Антирезонансное электрическое равновесие (8.141) **это не пустота вакуума**, как думают наши учёные, а гармонические колебания самосущих волн вечной тьмы (табл.8.16).

Таблица 8.16

**Гармонические колебания в Космосе Невесомости**

Системы Поля	Гармонические колебания самосущих волн	Результаты
Дзиан [3,4]	$\frac{+ \sin \pi/4}{\sin \pi/4} = \frac{1}{2} \Leftrightarrow -\frac{1}{2} = \frac{-\cos \pi/4}{\cos \pi/4}$	$\pm \int_0^1 \varphi d\varphi \equiv \pm \frac{1}{2}$
Взаимодействия	$\frac{\sin \pi/4}{\sin \pi/4} = \frac{\cos \pi/4}{\cos \pi/4} = \sqrt{2}^2 = 2$	$\lg \rho_1 \rho_2 \rho_3 \rho_4 \rho_5$
Фононы	$\sqrt{2}^2 \cdot \rho_2^3 \equiv 2 \cdot 10^{-3} \equiv 0,002$	$\equiv m_c^{**}$
Рупа - Арупа	$\frac{\sin \pi/4}{\sin \pi/4} = 2 \Leftrightarrow \frac{1}{2} \equiv \frac{\cos \pi/4}{\cos \pi/4}$	$T_0 = 4$ $\tau \equiv 4-1 = 3 \Leftrightarrow 0$
Фотоны	$m_c^{**} \cdot c^2 / \omega^2 = 0,002 \cdot 4 \equiv 0,008$	$\equiv m_c^*$
Спираль Зодиака в оболочке	$\frac{T_0 \cdot \tau}{T_0 + \tau} = \frac{12}{7} \Leftrightarrow \frac{7}{12} = \frac{T_0 + \tau}{T_0 \cdot \tau}$	$12^2 - 49 = 95$ оболочка.

В результате гармонических колебаний самосушущих волн в Космосе появляется Спираль Зодиака, пульсирующая в резонансно-антирезонансном режиме (табл.8.16).

При резонансно-антирезонансном режиме пульсации Спирали Зодиака в поле Спирали возникает разность квадратов потенциалов, равная (табл.8.16):

$$12^2 - 7^2 = (12+7 = 19) \cdot (12 - 7 = 5) = 95. \quad (8.142)$$

Поле этой разности (8.142) заполняется фотон-фононами, образуя **Огненные Шары** [4]:

<b>Формирование Огненных Шаров из фотонов-фонон</b>			
Зодиак	Антирезонанс	Резонанс	Отношение
В среде равновесия $m_{\text{с}} = E_{\lambda\text{с}} = \dots = 1$	$\frac{95}{m_c^* + m_c^{**}} = 95 \cdot 10^2 \Leftrightarrow \frac{95}{m_c^* \cdot m_c^{**}} = \frac{95}{16 \cdot 10^{-6}}$ $k_1 = 16 \cdot 10^2 \Leftrightarrow 95 \cdot 10^6 = k_2$ $k_2/k_1 = 59375 \equiv 3,8 \cdot 5^6$		1
Айн СОФ (желток)	$k_2/k_1 = (3^2+4^2+5^2 = 50) \equiv 3,8 \cdot 5^7 \cdot 10$		50
Квадрат Айн СОФ	$k_2/k_1 \cdot 50^2 \equiv 3,8 \cdot 5^6 \cdot 2500 = 3,8 \cdot 5^8 \cdot 10^2.$		$50^2.$

\*\*

Формирование Огненных Шаров из Искр фотон-фононов (8.143) происходит за счёт пульсации точечного участка волны света (табл.8.3):

$$c^3/\omega_0^3 = 8 \Leftrightarrow 1/8 = \omega_0^3/c^3 \quad \text{и} \quad 64 \Leftrightarrow 1 \quad \text{и} \quad 63 \Leftrightarrow 0. (8.144)$$



Точечный участок волны света создаёт, например, в сгустке Тянь колебательный резонансно-антирезонансный контур (8.144):

Огненный Шар сгустка Тянь			
Режим	Антирезонанс	Резонанс	Число фотон-фононов
Колебание Тянь	$\frac{64}{m_c^* + m_c^{**}}$	$\frac{m_c^* \cdot m_c^{**}}{64}$	$\frac{64^2}{0,01 \cdot 16 \cdot 10^{-6}} = 256 \cdot 10^9 \equiv 16^2 \cdot 10^9$
Постоянная света	$T_c \equiv m_c^* \cdot m_c^{**} (m_c^* + m_c^{**}) = 16 \cdot 10^{-9} \equiv T_0^2 \cdot 10^{-9}$		

Пульсируя в сгустке Тянь (8.145), фотон-фононы формируют **Огненный Шар**, в котором находится  $(256 = 16^2) \cdot 10^9$  сгустков света.

На основе этих фотон-фононов над сгустком формируется электрическое поле (8.145):

Электрическое поле над сгустком: шаровая молния
$\frac{64^2}{T_c = 16 \cdot 10^{-9}} \equiv 16^2 \cdot 10^9 \equiv qq^* \cdot 10^9$

Выявленная в динамике резонансно-антирезонансной пульсации, постоянная света  $T_c = T_0^2 \cdot 10^{-9}$  позволяла великой Цивилизации, а теперь будет позволять нам определять число фотон-фононов в любых сгустках. Для этого надо потенциал разделить на постоянную света (табл.8.17).

Таблица 8.17

**Система перехода к фотон-фононам (Пример)**

Взаимо- действия	Гравитаци- онные	Слабые	Электро- магнитные	Ядерные	Свет	
	$\rho_1:T_c \equiv$	$\rho_2:T_c \equiv$	$\rho_3:T_c \equiv$	$\rho_4:T_c \equiv$	$\rho_5:T_c \equiv$	
	$625 \cdot 10^{-19}$	$625 \cdot 10^8$	$625 \cdot 10^{17}$	$625 \cdot 10^{19}$	$625 \cdot 10^7$	
Мозг и биотоки	Элементарные заряды			Импульсы Мозга		
	Гравита- ционный	Магнит- ный	Электри- ческий	Мысль	Память	Вообра- жение
	$\rho:T_c = \frac{7}{4} \cdot 10^{-11}$	$\mu:T_c = \frac{7}{8} \cdot 10^{-11}$	$q:T_c = 10^{-11}$	$\rho^*:T_c = \frac{7}{4} \cdot 10^{29}$	$\mu^*:T_c = \frac{7}{8} \cdot 10^{29}$	$q:T_c = 10^{29}$ .

Переход к фотон-фононам **уничтожает метод при-ближения, используемый нашей наукой**, выдвигая взамен воображение:  $q*:T_c/qT_c = 10^{29}:10^{-11} = 10^{40}$ , и сокровенную сороковицу:  $\lg 10^{40} = 40$ .

## **Заключение**

Магия, как и Религии, концентрируют внимание социума Земли на аномальных явлениях в Едином Космосе.

**Аномальным**, мы называем любое явление, происхождение которого не вмещается в убогую матрицу причинно-следственных связей наших Парадигм от магии, религии или науки.

**В Едином Космосе аномальных явлений - процессов нет. Хаос Аномалий есть в головах членов современного социума Земли, к каким бы слоям они не принадлежали. Это мировоззренческая Аномалия Носителя Разума.**

\*  
\*\*

Ограниченность наших сегодняшних представлений о Едином Космосе связана, прежде всего, с **отрицанием Реалий существования Тонкой Энергии и незнанием того, что сгущение - расщепление тонко-энергетических волн является Корнем Живого в Неживом.**

\*  
\*\*

Разобравшись с динамической структурой Огненных Шаров - Сгустков фотон-фононов в Капле ядра, вы, уважаемые читатели, придёте к новому Мировоззрению на Единый Космос.

В основу нового Мировоззрения лягут: взаимодействия, 13-ти лунная пульсация, огненные шары фотон-фононов в Капле Ядра, то есть Мирового Яйца.

Далее перед человечеством раскрываются необозримые горизонты научно-технического прогресса и вступление в Космическое содружество Носителей Разума.

## Литература

1. Д.А.Халс. Ключ ко Всему. Энциклопедия современной магии. Книга первая: Тайны Востока. Изд. "Аквариум". Москва. 1998.
2. Д.А.Халс. Ключ ко Всему. Энциклопедия современной магии. Книга вторая: Тайны Запада. Изд. "Аквариум". Москва. 1998.
3. Е.П.Блаватская. Тайная Доктрина. Космогенезис. Том 1. Ред-изд. Центр "Ток". 1993.
4. Е.П.Блаватская. Тайная Доктрина. Антропогенезис. Том 2. Ред-изд. Центр "Ток". 1993.
5. С.П.Удовик (отв. редактор) Тайная Доктрина. Теогенезис. Ред-изд. "РЕФП-бук". "ВАКЛЕР". 1994.
6. А.В.Зиновьев. Магия Апокалипсиса. Изд. "Поиск". Саранский филиал СП "Норд". 1990.
7. В.С.Крикоров. Единый Космос. Живая Нить из Жизни после Жизни. ЗАО "Полиграфия". Москва. 2000.
8. В.С.Крикоров. Единый Космос. Энергетическая структура Света и Мысли. ЗАО "Полиграфия". Москва. 2000.
9. Библия. Книги Священного Писания Ветхого и Нового Завета. Изд. Московской Патриархии. Москва. 1988.
10. Тибетская Книга Мёртвых. Изд. Чернышёва. С.Петербург. 1994.
11. Е.А.Уоллис Бадж. Путешествие души в царстве мёртвых. Египетская Книга Мёртвых. Изд. "Золотой век". Москва. 1995.
12. Мендли П.Холл. Энциклопедическое изложение ма-  
сонской, герметической, каббалистической и розен-  
крейцеровской символической философии. СПИКС.  
С.Петербург. 1994.

13. Г.Корн и Т.Корн. Справочник по математике. Изд. "Наука". Москва. 1970.
14. Б.М.Яворский и А.А.Детлер. Справочник по физике. Изд. "Наука". Москва. 1968.
15. Ж.Ф.Лауэр. Загадки египетских Пирамид. Изд. "Наука". Москва. 1960.
16. М.А.Садовский. Голос Земли. "Химия и Жизнь". №1. 1985.
17. Э.Джилберт и М.Каттерелл. Тайны Майя. Изд. "Вече". Москва. 2001.
18. Марло Морган. Terra Mystica. Послание с того края Земли. Изд. ТАЯТРИ. Москва. 2005.
19. А.Наумкин. Синергетика. GYVATA. Kaunas. 1996.
20. В.С.Крикоров. Единый Космос. Энергетические основы экстрасенсорного врачевания. ЗАО "Полиграфия". Москва. 1998.
21. В.С.Крикоров. Единый Космос. Общая азбука Земли и Мысли. Том IV. ЗАО "Полиграфия. Москва. 1999.
22. К.Свенсон, П.Уэберг. Клетка. Изд. "Мир".Москва. 1980.
23. Истоки: наука высших измерений. Изд. Бхактиведанта Бук Траст. Бомбей. 1994.
24. В.И.Белесин. Космос и Мы. Физика с Пророчеством. Краснодар. 1980.
25. И.Гегель. Работы ранних лет. Об орбитах планет. Диссертация. Изд. "Наука". Москва. 1960.
26. Святой Иоанн. Евангелие. Изд. Евангелистских христиан-баптистов. Москва. 1990.
27. В.С.Крикоров. Единый Космос. Золотые вихри Материи и Тонкой Энергии Метагалактик. Изд "БАРС. Москва. 2003.

## Оглавление

<b>Введение в Магию: основы теории Единого Космоса ..</b>	<b>2</b>
<b>Глава 1 Анализ основ магии с позиции Науки великой Цивилизации .....</b>	<b>49</b>
1.1 Анализ посвящения магии Луне .....	51
1.2 Ключ к магическому квадрату Еноха.....	67
1.3 Живое - неживое в магическом квадрате азота.....	83
<b>Глава 2 Круги Универсум Шумеров и Иисуса Христа .....</b>	<b>105</b>
2.1 Земля и Воображение: энергетика.....	109
2.2 Человек Воли и Йоги как Единство Цели религии и магии .....	131
2.3 Физические реалии Вавилонской Башни.....	143
2.4 Величие Шумерской клинописи в описании Единого космоса .....	151
<b>Глава 3 Магия Китая в Реалиях три- и гексограмм: уроки из тьмы Веков.....</b>	<b>165</b>
3.1 Магия Китая: сгущение Тонкой Энергии в объёме великой Пирамиды .....	171
3.2 Энергетика полей - эквивалентов триграммам магии Китая .....	182
3.3 Гексограммы Книги Перемен и Древнего Китая.	186
3.4 Постоянная тонкой структуры в описании гексограммами .....	200
<b>Глава 4 Магия Запада: комментарии из России .</b>	<b>212</b>
4.1 Теогенезис: истоки алфавитного кода .....	214
4.2 Слова и Числа о великом Слове: Человек .....	221
4.3 Спираль Зодиака - сдвоенная спираль Кундалини	227
4.4 Пять элементов Вселенной.....	239

<b>Глава 5</b>	<b>Взаимодействия пяти элементов Вселенной</b>	<b>262</b>
5.1	Кундалини в теле Человека .....	262
5.2	Философская машина: нищета выводов магии. Монада .....	269
5.3	Бог Кронис: внутреннее поле Мирового Яйца.....	278
5.4	Водородная бомба, ядерная зима, число Сатаны.	282
<b>Глава 6</b>	<b>Спираль Зодиака и формирование Человека .....</b>	<b>292</b>
6.1	Семнадцать мгновений живого сгустка .....	292
6.2	Число Человека и 365 дней одного года.....	303
6.3	Законы взаимодействий в спирали Зодиака .....	309
6.4	Насыщение газов фотон-фононами .....	320
<b>Глава 7</b>	<b>Процессы и аппараты в полях Тонких Энергий .....</b>	<b>327</b>
7.1	Основные законы Взаимодействий .....	327
7.2	Согласованность пульсации великой Пирамиды, Вавилонской Башни и конструкции А.Ю.Родионова	332
7.3	Аммиак - метан: реперные точки пульсации Вселенной .....	346
7.4	Методология экспериментальной части .....	360
<b>Глава 8</b>	<b>Мировое Яйцо как Капля Ядра в Невесомости .....</b>	<b>363</b>
8.1	Пульсация Сознания и Подсознания.....	363
8.2	Единый Космос как Подобие электромагнитной волны света.....	376
8.3	Трансформирование Космических Мысли и Памяти в ядерном веществе .....	389
8.4	Арупа - Рупа солнечно-ядерного вещества .....	398

8.5	Капля Ядра: Космические законы формирования	405
8.6	Сгустки фотон-фононов в Мировое Яйцо Ядерных Капель .....	421
	<b>Заключение .....</b>	<b>435</b>
	<b>Литература .....</b>	<b>436</b>